

สีและความสว่างของผิวคนไทย

COLOR AND LIGHTNESS OF THAI SKIN TONE



ณัชชิตา ภัทรโสภณกุล

วิทยานิพนธ์นี้เป็นส่วนหนึ่งของการศึกษาตามหลักสูตร  
ปริญญาวิทยาศาสตรมหาบัณฑิต สาขาเทคโนโลยีสีและการออกแบบ

คณะเทคโนโลยีสารสนเทศ

มหาวิทยาลัยเทคโนโลยีราชมงคลธัญบุรี

ปีการศึกษา 2564

ลิขสิทธิ์ของมหาวิทยาลัยเทคโนโลยีราชมงคลธัญบุรี

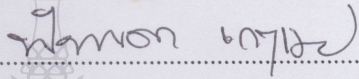
# สีและความสว่างของผิวคนไทย

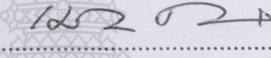
ณัชธิดา ภัทรโสภณกุล


วิทยานิพนธ์นี้เป็นส่วนหนึ่งของการศึกษาตามหลักสูตร  
ปริญญาวิทยาศาสตรมหาบัณฑิต สาขาเทคโนโลยีสีและการออกแบบ  
คณะเทคโนโลยีสารสนเทศ  
มหาวิทยาลัยเทคโนโลยีราชมงคลธัญบุรี  
ปีการศึกษา 2564  
ลิขสิทธิ์ของมหาวิทยาลัยเทคโนโลยีราชมงคลธัญบุรี


หัวข้อวิทยานิพนธ์ สีและความสว่างของผิวคนไทย  
Color and Lightness of Thai Skin Tone  
ชื่อ-นามสกุล นางสาวณัชชิตา ภัทรโสภณกุล  
สาขาวิชา เทคโนโลยีสีและการออกแบบ  
อาจารย์ที่ปรึกษา ผู้ช่วยศาสตราจารย์จันทร์ประภา พ่วงสุวรรณ, วท.ด.  
อาจารย์ที่ปรึกษาร่วม ศาสตราจารย์มีสีโอะ อีเคดะ, Ph.D.  
ปีการศึกษา 2564

คณะกรรมการสอบวิทยานิพนธ์

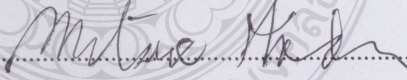
  
..... ประธานกรรมการ  
(รองศาสตราจารย์พิชญดา เกตุเมฆ, Ph.D.)

  
..... กรรมการ  
(ผู้ช่วยศาสตราจารย์กิติโรจน์ รัตนเกษมสุข, Ph.D.)

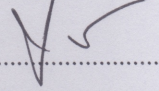
  
..... กรรมการ  
(ผู้ช่วยศาสตราจารย์อูร์วิศ ตั้งกิจวิวัฒน์, Ph.D.)

  
..... กรรมการ  
(ผู้ช่วยศาสตราจารย์ไววุฒิ วุฒิอรรถสาร, ปร.ด.)

  
..... กรรมการ  
(ผู้ช่วยศาสตราจารย์จันทร์ประภา พ่วงสุวรรณ, วท.ด.)

  
..... กรรมการ  
(ศาสตราจารย์มีสีโอะ อีเคดะ, Ph.D.)

คณะเทคโนโลยีสื่อสารมวลชน มหาวิทยาลัยเทคโนโลยีราชมงคลธัญบุรี อนุมัติวิทยานิพนธ์ฉบับนี้  
เป็นส่วนหนึ่งของการศึกษาตามหลักสูตรปริญญาวิทยาศาสตรบัณฑิต

  
..... คณบดีคณะเทคโนโลยีสื่อสารมวลชน  
(ผู้ช่วยศาสตราจารย์ประภากร ดลกิจ, ศษ.ด.)

วันที่ 1 เดือน พฤศจิกายน พ.ศ. 2564

หัวข้อวิทยานิพนธ์	สีและความสว่างของผิวคนไทย
ชื่อ-นามสกุล	นางสาวณัชชิตา ภัทรโสภณกุล
สาขาวิชา	เทคโนโลยีสีและการออกแบบ
อาจารย์ที่ปรึกษา	ผู้ช่วยศาสตราจารย์จันทร์ประภา พวงสุวรรณ, วท.ด.
อาจารย์ที่ปรึกษาร่วม	ศาสตราจารย์มีสีโอะ อีเคตะ, Ph.D.
ปีการศึกษา	2564

## บทคัดย่อ

การวิจัยครั้งนี้มีวัตถุประสงค์เพื่อศึกษาปัจจัยที่มีผลต่อสีและความสว่างของผิวคนไทย โดยทำการศึกษาปัจจัยทั้งหมด 4 ปัจจัย ได้แก่ เพศ ภูมิภาคที่กำเนิด สถานที่ทำงาน และวิเคราะห์ สารเมลานินและฮีโมโกลบิน กลุ่มตัวอย่างที่ใช้มีจำนวนทั้งหมด 171 คน ที่มีช่วงอายุตั้งแต่ 24 – 70 ปี จาก 6 ภูมิภาค คือ ภาคกลาง ภาคเหนือ ภาคใต้ ภาคตะวันออก ภาคตะวันออกเฉียงเหนือ และภาค ตะวันตก และสถานที่ทำงานแบ่งเป็นทำงานกลางแจ้งและทำงานภายในอาคาร โดยใช้เครื่องมือวัดสีแสงรุ่น CS-100A ยี่ห้อ Konica Minolta โดยตำแหน่งการวัดค่าสีผิวคือ แก้มด้านซ้ายและขวา หน้าผาก คาง และใต้แขน จากนั้นวิเคราะห์ผลข้อมูลสีผิวโดยใช้ระบบสี CIEL\*a\*b\* และ CIEL\*C\*h\* และวิเคราะห์ สารเมลานินและฮีโมโกลบินจากค่าการสะท้อนเชิงสเปกตรัมของผิว ใช้สถิติ T-test และ One-way ANOVA ในการบอกค่าความแตกต่างของสีผิวในแต่ละปัจจัยที่ศึกษาที่ระดับนัยสำคัญที่ 0.05

ผลการศึกษาพบว่า เพศหญิงมีค่าความสว่างของผิว  $L^*$  ที่มากกว่าเพศชายที่ระดับนัยสำคัญ 0.05 ของทุกบริเวณการวัด โดยมีค่าเฉลี่ยอยู่ที่ 60.08 และ 55.78 ตามลำดับ ค่าความแดงของผิวที่เพศหญิง มากกว่าเพศชายที่ระดับนัยสำคัญ 0.05 เฉพาะใต้แขนเท่านั้น โดยมีค่าเฉลี่ยอยู่ที่ 12.12 และ 11.19 ตามลำดับ ส่วนค่าความเหลืองไม่มีความแตกต่างกันอย่างมีนัยสำคัญระหว่างทั้งสองเพศ ส่วนปัจจัยทาง ภูมิภาค พบว่า ทั้ง 6 ภูมิภาคมีความแตกต่างกันของค่าความสว่าง ค่าความแดง และค่าความเหลืองที่ระดับ นัยสำคัญ 0.05 ในทุกบริเวณการวัด โดยภาคเหนือจะมีค่าความสว่างของผิวมากที่สุดอยู่ที่ 65.08 และภาคใต้จะมีค่าความสว่างน้อยที่สุดอยู่ที่ 48.36 นอกจากนี้ภาคตะวันตกมีค่าความแดงมากที่สุดโดยเฉลี่ย อยู่ที่ 15.56 และภาคเหนือมีค่าความแดงน้อยที่สุดโดยเฉลี่ยอยู่ที่ 11.05 ภาคตะวันตกมีค่าเฉลี่ยความเหลือง สูงสุดที่ 19.07 และภาคเหนือมีค่าเฉลี่ยความเหลืองน้อยที่สุดอยู่ที่ 16.46

ส่วนปัจจัยสถานที่ทำงาน พบว่า คนทำงานกลางแจ้งมีค่าความสว่างที่ต่ำกว่าคนทำงานในอาคาร อย่างมีนัยสำคัญของทุกบริเวณการวัดที่ระดับนัยสำคัญ 0.05 โดยมีค่าเฉลี่ยอยู่ที่ 53.46 และ 60.09 ตามลำดับ ค่าความแดงของคนทำงานกลางแจ้งสูงกว่าคนทำงานในอาคารอย่างมีนัยสำคัญเฉพาะบริเวณ หน้าผากที่ระดับนัยสำคัญ 0.05 โดยค่าเฉลี่ย  $a^* = 14.74$  และ 13.61 ตามลำดับ ส่วนค่าความเหลืองของคนทำงานกลางแจ้งจะสูงคนทำงานในอาคาร โดยค่าเฉลี่ย  $b^* = 19.10$  และ 18.01ตามลำดับ การวิเคราะห์ ค่าการสะท้อนเชิงสเปกตรัม ผิวนิว ผิวสองสี และผิวดำ แสดงให้เห็นว่า ค่าการสะท้อนเชิงสเปกตรัมลดลง ในช่วงความยาวคลื่น 520-610 นาโนเมตรที่เห็นได้ชัดในคนผิวดำ

**คำสำคัญ:** สีผิวคนไทย เพศ สถานที่ทำงาน ภูมิลำเนา ไบหน้า



<b>Thesis Title</b>	Color and Lightness of Thai Skin Tone
<b>Name-Surname</b>	Miss Nutticha Pattarasoponkun
<b>Program</b>	Color Technology and Design
<b>Thesis Advisor</b>	Assistant Professor Chanprapha Phuangsuan, Ph.D.
<b>Thesis Co-advisor</b>	Professor Mitsuo Ikeda, Ph.D.
<b>Academic Year</b>	2021

## ABSTRACT

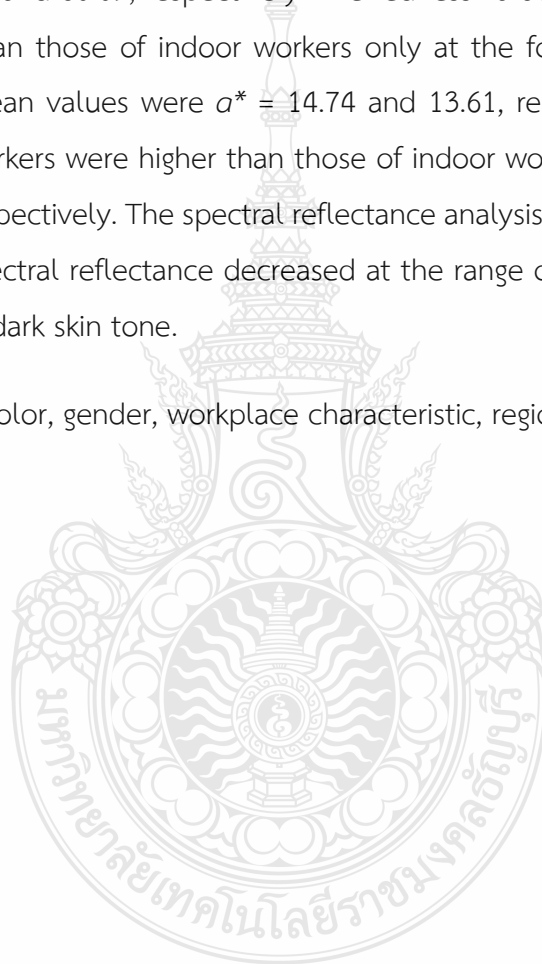
The purpose of this research was to study factors affecting the color and lightness of Thai skin tone. Four factors were studied: gender, region of origin, workplace, and melanin and hemoglobin. The samples were 171 people in total, and their ages ranged from 24 to 70 years old. They were from 6 regions: the Central, North, South, East, Northeast, and West. The workplace was divided into outdoor and indoor. The skin color of five body locations was measured with a color luminometer, CS-100A Konica Minolta. The explored positions were left and right cheek, forehead, chin, and inner arm. The skin color data were analyzed by the CIEL\*a\*b\* and CIEL\*C\*h\* color systems while melanin and hemoglobin were analyzed based on the spectral reflectance of skin. Statistical t-test and One-way ANOVA were performed to confirm the difference of skin tone in each variable by significance level of .05.

The study results revealed that females had higher skin lightness  $L^*$  than those of males at a significance level of .05 in all measured areas. The mean values were 60.08 followed by 55.78. The skin redness of females was higher than those of males only at the inner arm area with a significant level of .05 and mean values of 12.12 and 11.19, respectively. The yellowness values were not significantly different between two genders. As for regional factors, all 6 regions had different values of lightness, redness, and yellowness at a significant level of .05 in all positions. The North had the highest skin lightness at 65.08, whereas the South had the lowest skin lightness at 48.36. In addition, the West had the

highest redness at an average of 15.56, while the North had the lowest redness at an average of 11.05. The West had the highest mean value of yellowness at 19.07, and the North had the lowest mean value of yellowness at 16.46.

Regarding the workplace, the outdoor workers had significantly lower skin lightness than those of indoor workers in all positions with .05 level of statistical significance and mean values of 53.46 and 60.09, respectively. The redness values of outdoor workers were significantly higher than those of indoor workers only at the forehead with a significance level of .05. Their mean values were  $a^* = 14.74$  and  $13.61$ , respectively. The yellowness values of outdoor workers were higher than those of indoor workers with an average of  $b^* = 19.10$  and  $18.01$ , respectively. The spectral reflectance analysis of white, tan, and dark skin indicated that the spectral reflectance decreased at the range of 520-610 nm which could be clearly noticed in dark skin tone.

**Keywords:** Thai skin color, gender, workplace characteristic, region, face



## กิตติกรรมประกาศ

วิทยานิพนธ์ฉบับนี้สำเร็จลุล่วงไปได้ดี ด้วยความกรุณาและความอนุเคราะห์จาก ผู้ช่วยศาสตราจารย์ ดร. จันทรประภา พ่วงสุวรรณ และ Prof. Mitsuo Ikeda ผู้ซึ่งเป็นอาจารย์ที่ปรึกษาของผู้วิจัย ที่ได้กรุณาสละเวลาและให้คำแนะนำ คำปรึกษา รวมถึงให้แนวทางและข้อเสนอแนะในการปรับปรุงแก้ไขข้อบกพร่องของงานวิจัย เพื่อให้วิทยานิพนธ์ฉบับนี้มีความถูกต้องและสมบูรณ์ อีกทั้งยังให้วิชาความรู้ ข้าพเจ้ามีความรู้สึกราบซึ่งในความกรุณาและกราบขอบพระคุณเป็นอย่างสูงมา ณ โอกาสนี้

ขอกราบขอบพระคุณ รองศาสตราจารย์ ดร.พิชญดา เกตุเมฆ ที่ได้กรุณาสละเวลามาเป็นประธานกรรมการสอบวิทยานิพนธ์ อีกทั้งยังให้คำแนะนำเพื่อให้วิทยานิพนธ์ฉบับนี้มีความถูกต้องและสมบูรณ์

ขอกราบขอบพระคุณ ผู้ช่วยศาสตราจารย์.ดร.กิตติโรจน์ รัตนเกษมสุข ผู้ช่วยศาสตราจารย์.ดร.อุรวีศ ตั้งกิจวิวัฒน์ และผู้ช่วยศาสตราจารย์ ดร.ไววุฒิ วุฒิอรธสาร ที่ได้กรุณาสละเวลามาเป็นกรรมการสอบวิทยานิพนธ์และประสิทธิ์ประสาทวิชาความรู้ให้แก่ข้าพเจ้า และขอขอบคุณเจ้าหน้าที่ประจำคณะเทคโนโลยีสารสนเทศทุกท่านที่ให้ความช่วยเหลือและอำนวยความสะดวกในทุกเรื่องตลอดระยะเวลาของการศึกษาและดำเนินการวิจัย

ขอกราบขอบพระคุณ ผู้ช่วยศาสตราจารย์ ดร.ธิปไตย โสถถิวรรณ ที่ได้ให้คำปรึกษาและแนะนำทางด้านการวิเคราะห์สถิติ สำหรับการวิเคราะห์ผลข้อมูลในวิทยานิพนธ์ฉบับนี้

ขอขอบคุณผู้เข้าร่วมการทดลองทุกท่านที่สละเวลาในการทดลองในขั้นตอนการวัดสีผิวของวิทยานิพนธ์ฉบับนี้

ขอขอบคุณเพื่อนทุก ๆ คน ที่คอยให้คำปรึกษาในด้านต่าง ๆ และสุดท้ายขอขอบพระคุณครอบครัวที่คอยสนับสนุนและให้กำลังใจเสมอมา

นางสาวณัชชิตา ภัทรโสภณกุล



## สารบัญ

	หน้า
บทคัดย่อภาษาไทย.....	(3)
บทคัดย่อภาษาอังกฤษ.....	(5)
กิตติกรรมประกาศ.....	(7)
สารบัญ.....	(8)
สารบัญตาราง.....	(10)
สารบัญรูปภาพ.....	(13)
บทที่ 1 บทนำ.....	20
1.1 ความเป็นมาและความสำคัญของปัญหา.....	20
1.2 วัตถุประสงค์ของการวิจัย.....	22
1.3 สมมติฐานของการศึกษา.....	22
1.4 ขอบเขตของการวิจัย.....	23
1.5 ประโยชน์ที่คาดว่าจะได้รับ.....	23
บทที่ 2 เอกสารและงานวิจัยที่เกี่ยวข้อง.....	24
2.1 โครงสร้างของผิวหนัง.....	24
2.2 สีผิว.....	27
2.3 รังสีอัลตราไวโอเล็ต (Ultraviolet Radiation:UV).....	28
2.4 อาชีพ.....	31
2.5 ภูมิศาสตร์ของประเทศไทย.....	32
2.6 ระบบสี CIELAB.....	34
2.7 เครื่องมือวัดค่าสี.....	36
2.8 งานวิจัยที่เกี่ยวข้อง.....	39
บทที่ 3 วิธีการดำเนินการวิจัย.....	44
3.1 การเตรียมการทดลอง.....	44
3.2 ขั้นตอนการทดลอง.....	46
3.3 วิเคราะห์ผลการทดลอง.....	47

## สารบัญ (ต่อ)

	หน้า
บทที่ 4 ผลการวิเคราะห์ข้อมูล.....	49
4.1 ผลการวิเคราะห์ข้อมูลของการเลือกใช้เครื่องมือในการทดลอง.....	49
4.2 ผลการวิเคราะห์ข้อมูลของค่าสีและความสว่างของผิวคนไทย.....	51
4.3 ผลวิเคราะห์ข้อมูลเพิ่มเติมของสารเมลานินและฮีโมโกลบิน.....	110
บทที่ 5 สรุปผลการวิจัย การอภิปรายผลและข้อเสนอแนะ.....	117
5.1 สรุปผลการวิจัย.....	117
5.2 การอภิปรายผลการวิจัย.....	122
5.3 การอภิปรายผลการวิจัยเพิ่มเติม.....	124
5.4 ประโยชน์ของการวิจัย.....	132
5.5 ข้อเสนอแนะ.....	132
บรรณานุกรม.....	133
ภาคผนวก.....	138
ภาคผนวก ก แบบสอบถาม.....	139
ภาคผนวก ข กราฟการกระจายตัวของสีและความสว่างของผิวคนไทยตามปัจจัย.....	143
ภาคผนวก ค การวิเคราะห์สถิติของปัจจัยภูมิภาค.....	159
ประวัติผู้เขียน.....	250

## สารบัญตาราง

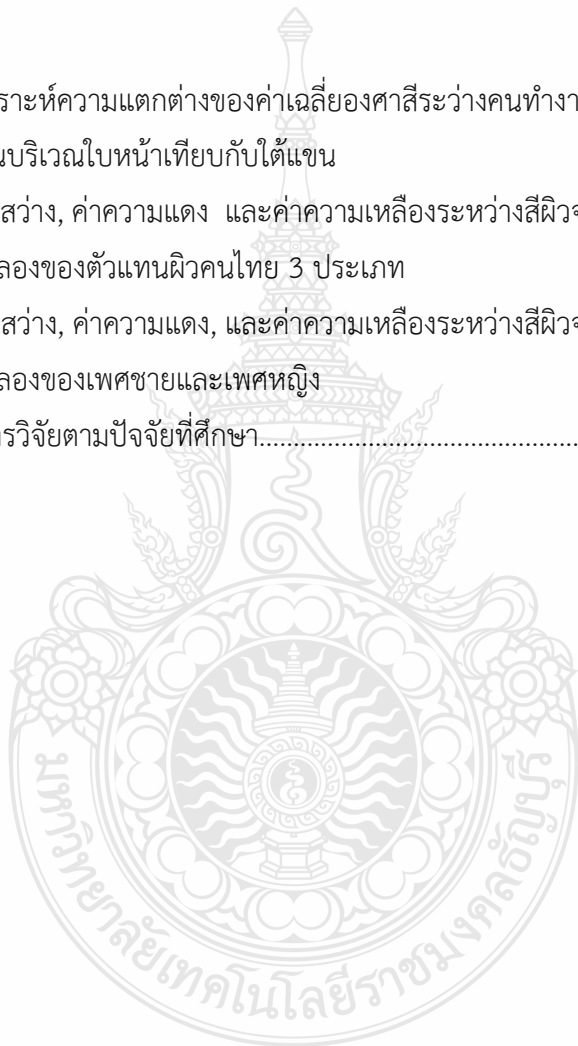
	หน้า
ตารางที่ 2.1 ข้อมูลจำเพาะของเครื่องมือยี่ห้อ Konica Minolta รุ่น Chroma Meter CS-100A.....	37
ตารางที่ 4.1 จำนวนผู้เข้าร่วมการทำลองแบ่งตามปัจจัยในการศึกษา.....	51
ตารางที่ 4.2 ค่าเฉลี่ยและส่วนเบี่ยงเบนมาตรฐานของค่าความสว่าง, ค่าความแดง.....	59
และค่าความเหลืองของบริเวณแก้ม หน้าผาก คาง และใต้แขนระหว่างเพศชายและเพศหญิง	
ตารางที่ 4.3 สถิติวิเคราะห์ความแตกต่างของค่าเฉลี่ยความสว่างระหว่างเพศชายและเพศหญิง.....	61
ตารางที่ 4.4 สถิติวิเคราะห์ความแตกต่างของค่าเฉลี่ยความแดงระหว่างเพศชายและเพศหญิง.....	61
ตารางที่ 4.5 สถิติวิเคราะห์ความแตกต่างของค่าเฉลี่ยความเหลืองระหว่างเพศชาย.....	62
และเพศหญิง	
ตารางที่ 4.6 สถิติวิเคราะห์ความแตกต่างของค่าเฉลี่ยความสว่าง, ความแดง.....	62
และความเหลืองระหว่างเพศชายและเพศหญิง ในบริเวณใบหน้า	
ตารางที่ 4.7 สถิติวิเคราะห์ความแตกต่างของค่าเฉลี่ยความสว่าง, ความแดง.....	63
และความเหลืองของเพศชายและเพศหญิง ในบริเวณใบหน้าเทียบกับใต้แขน	
ตารางที่ 4.8 ค่าเฉลี่ยและส่วนเบี่ยงเบนมาตรฐานของค่าความอิมตัวสีของบริเวณแก้ม.....	67
หน้าผาก คาง และใต้แขนระหว่างเพศชายและเพศหญิง	
ตารางที่ 4.9 สถิติวิเคราะห์ความแตกต่างของค่าเฉลี่ยความอิมตัวสีระหว่างเพศชายและ.....	68
เพศหญิง	
ตารางที่ 4.10 สถิติวิเคราะห์ความแตกต่างของค่าเฉลี่ยความอิมตัวสีระหว่างเพศชาย.....	68
และเพศหญิง ในบริเวณใบหน้าเทียบกับใต้แขน	
ตารางที่ 4.11 ค่าเฉลี่ยและส่วนเบี่ยงเบนมาตรฐานของค่าองศาสีของบริเวณแก้ม หน้าผาก คาง.....	72
และใต้แขนระหว่างเพศชายและเพศหญิง	
ตารางที่ 4.12 สถิติวิเคราะห์ความแตกต่างของค่าเฉลี่ยองศาสีระหว่างเพศชายและเพศหญิง.....	73
ตารางที่ 4.13 สถิติวิเคราะห์ความแตกต่างของค่าเฉลี่ยองศาสีระหว่างเพศชายและเพศหญิง.....	73
ในบริเวณใบหน้าเทียบกับใต้แขน	
ตารางที่ 4.14 ค่าเฉลี่ยและส่วนเบี่ยงเบนมาตรฐานของค่าความสว่าง, ค่าความแดง.....	78
และค่าความเหลืองของบริเวณแก้ม หน้าผาก คาง และใต้แขนระหว่าง 6 ภูมิภาค	

## สารบัญตาราง (ต่อ)

	หน้า
ตารางที่ 4.15 ค่าเฉลี่ยและส่วนเบี่ยงเบนมาตรฐานของค่าความสว่าง, ค่าความแดง.....	80
และค่าความเหลืองของบริเวณใบหน้าระหว่าง 6 ภูมิภาค	
ตารางที่ 4.16 ค่าเฉลี่ยและส่วนเบี่ยงเบนมาตรฐานของค่าความอิมตัวสีของบริเวณ.....	85
แก้ม หน้าผาก คาง และใต้แขนระหว่าง 6 ภูมิภาค	
ตารางที่ 4.17 ค่าเฉลี่ยและส่วนเบี่ยงเบนมาตรฐานของค่าองศาสีของบริเวณแก้ม หน้าผาก คาง.....	90
และใต้แขนระหว่าง 6 ภูมิภาค	
ตารางที่ 4.18 ค่าเฉลี่ยและส่วนเบี่ยงเบนมาตรฐานของค่าความสว่าง, ค่าความแดง.....	95
และค่าความเหลืองของบริเวณแก้ม หน้าผาก คาง และใต้แขนระหว่างคนทำงาน	
กลางแจ้งและในร่ม	
ตารางที่ 4.19 สถิติวิเคราะห์ความแตกต่างของค่าเฉลี่ยความสว่างระหว่างคนทำงาน.....	97
กลางแจ้งและในร่ม	
ตารางที่ 4.20 สถิติวิเคราะห์ความแตกต่างของค่าเฉลี่ยความแดงระหว่างคนทำงาน.....	97
กลางแจ้งและในร่ม	
ตารางที่ 4.21 สถิติวิเคราะห์ความแตกต่างของค่าเฉลี่ยความเหลืองระหว่างคนทำงาน.....	98
กลางแจ้งและในร่ม	
ตารางที่ 4.22 สถิติวิเคราะห์ความแตกต่างของค่าเฉลี่ยความสว่าง, ความแดง.....	98
และความเหลืองระหว่างคนทำงานกลางแจ้งและในร่ม ในบริเวณใบหน้า	
ตารางที่ 4.23 สถิติวิเคราะห์ความแตกต่างของค่าเฉลี่ยความสว่าง, ความแดง.....	99
และความเหลืองของคนทำงานกลางแจ้งและในร่ม ในบริเวณใบหน้าเทียบกับใต้แขน	
ตารางที่ 4.24 ค่าเฉลี่ยและส่วนเบี่ยงเบนมาตรฐานของค่าความอิมตัวสีของบริเวณแก้ม.....	103
หน้าผาก คาง ใต้แขน และบริเวณใบหน้า ระหว่างคนทำงานกลางแจ้งและในร่ม	
ตารางที่ 4.25 สถิติวิเคราะห์ความแตกต่างของค่าเฉลี่ยความอิมตัวสีระหว่างคนทำงาน.....	104
กลางแจ้งและในร่ม	
ตารางที่ 4.26 สถิติวิเคราะห์ความแตกต่างของค่าเฉลี่ยความอิมตัวสีของคนทำงาน.....	104
กลางแจ้งและคนทำงานในร่ม	

## สารบัญตาราง (ต่อ)

	หน้า
ตารางที่ 4.27 ค่าเฉลี่ยและส่วนเบี่ยงเบนมาตรฐานของค่าองศาสีของบริเวณแก้ม หน้าผาก.....	108
คาง ใต้แขน และบริเวณใบหน้า ระหว่างคนทำงานกลางแจ้งและในร่ม	
ตารางที่ 4.28 สถิติวิเคราะห์ความแตกต่างของค่าเฉลี่ยองศาสีระหว่างคนทำงานกลางแจ้ง.....	109
และในร่ม	
ตารางที่ 4.29 สถิติวิเคราะห์ความแตกต่างของค่าเฉลี่ยองศาสีระหว่างคนทำงานกลางแจ้ง.....	109
และในร่มในบริเวณใบหน้าเทียบกับใต้แขน	
ตารางที่ 4.30 ค่าความสว่าง, ค่าความแดง และค่าความเหลืองระหว่างสีผิวจริง.....	113
และสีผิวจำลองของตัวแทนผิวคนไทย 3 ประเภท	
ตารางที่ 4.31 ค่าความสว่าง, ค่าความแดง, และค่าความเหลืองระหว่างสีผิวจริง.....	116
และสีผิวจำลองของเพศชายและเพศหญิง	
ตารางที่ 5.1 สรุปผลการวิจัยตามปัจจัยที่ศึกษา.....	117





## สารบัญญภาพ (ต่อ)

หน้า

ภาพที่ 4.3 (ก) กราฟการกระจายตัวและค่าเฉลี่ยของค่าความแดง และค่าความสว่าง.....	53
ของบริเวณแก้ม หน้าผาก คาง และได้แขนของผิวคนไทย	
(ข) กราฟการกระจายตัวและค่าเฉลี่ยของค่าความเหลืองและค่าความสว่าง.....	54
ของบริเวณแก้ม หน้าผาก คาง และได้แขนของผิวคนไทย	
ภาพที่ 4.4 กราฟการกระจายตัวและค่าเฉลี่ยของค่าความอิมตัวสีและค่าความสว่าง.....	55
ของบริเวณแก้ม หน้าผาก คาง และได้แขนของผิวคนไทย	
ภาพที่ 4.5 กราฟค่าเฉลี่ยค่าความแดงและค่าความเหลืองของบริเวณแก้ม หน้าผาก คาง.....	56
และได้แขนระว่างเพศชายและเพศหญิง	
ภาพที่ 4.6 (ก) กราฟค่าเฉลี่ยค่าความแดงและค่าความสว่างของบริเวณแก้ม หน้าผาก คาง.....	57
และได้แขนระว่างเพศชายและเพศหญิง	
(ข) กราฟค่าเฉลี่ยค่าความเหลืองและค่าความสว่างของบริเวณแก้ม หน้าผาก คาง.....	58
และได้แขนระว่างเพศชายและเพศหญิง	
ภาพที่ 4.7 กราฟเปรียบเทียบค่าเฉลี่ยความแดงและความเหลืองระหว่างบริเวณใบหน้า.....	60
และบริเวณใต้แขนในเพศชายและเพศหญิง	
ภาพที่ 4.8 (ก) กราฟเปรียบเทียบค่าเฉลี่ยความแดงและค่าความสว่างระหว่างบริเวณ.....	60
ใบหน้าและบริเวณใต้แขนในเพศชายและเพศหญิง	
(ข) กราฟเปรียบเทียบค่าเฉลี่ยความเหลืองและค่าความสว่างระหว่างบริเวณใบหน้า.....	60
และบริเวณใต้แขนในเพศชายและเพศหญิง	
ภาพที่ 4.9 กราฟค่าเฉลี่ยความอิมตัวสีและค่าความสว่างของบริเวณแก้ม หน้าผาก คาง.....	64
และได้แขนระว่างเพศชายและเพศหญิง	
ภาพที่ 4.10 (ก) กราฟค่าเฉลี่ยความอิมตัวสีและค่าความแดงของบริเวณแก้ม หน้าผาก คาง.....	65
และได้แขนระว่างเพศชายและเพศหญิง	
(ข) กราฟค่าเฉลี่ยความอิมตัวสีและค่าความเหลืองของบริเวณแก้ม หน้าผาก คาง.....	66
และได้แขนระว่างเพศชายและเพศหญิง	
ภาพที่ 4.11 กราฟเปรียบเทียบค่าเฉลี่ยความอิมตัวสีและค่าความสว่างระหว่างบริเวณใบหน้า.....	67
และบริเวณใต้แขนในระว่างเพศชายและเพศหญิง	

## สารบัญภาพ (ต่อ)

หน้า

ภาพที่ 4.12 กราฟค่าเฉลี่ยของค่าสีและค่าความสว่างของบริเวณแก้ม หน้าผาก คาง.....	69
และใต้แขนระหว่างระว่างเพศชายและเพศหญิง	
ภาพที่ 4.13 (ก) กราฟค่าเฉลี่ยของค่าสีและค่าความแดงของบริเวณแก้ม หน้าผาก คาง.....	70
และใต้แขนระหว่างเพศชายและเพศหญิง	
(ข) กราฟค่าเฉลี่ยของค่าสีและค่าความเหลืองของบริเวณแก้ม หน้าผาก คาง.....	71
และใต้แขนระหว่างเพศชายและเพศหญิง	
ภาพที่ 4.14 กราฟเปรียบเทียบค่าเฉลี่ยค่าเฉลี่ยของค่าสีและค่าความสว่างระหว่างบริเวณใบหน้า.....	72
และบริเวณใต้แขนในระหว่างเพศชายและเพศหญิง	
ภาพที่ 4.15 กราฟค่าเฉลี่ยความแดงและความเหลืองของบริเวณแก้ม หน้าผาก คาง.....	75
และใต้แขนระหว่าง 6 ภูมิภาค	
ภาพที่ 4.16 (ก) กราฟค่าเฉลี่ยความแดงและเฉลี่ยความสว่างของบริเวณแก้ม หน้าผาก คาง.....	76
และใต้แขนระหว่าง 6 ภูมิภาค	
(ข) กราฟค่าเฉลี่ยความเหลืองและค่าเฉลี่ยความสว่างของบริเวณแก้ม หน้าผาก คาง.....	77
และใต้แขนระหว่าง 6 ภูมิภาค	
ภาพที่ 4.17 กราฟเปรียบเทียบค่าเฉลี่ยความแดงและความเหลืองระหว่างบริเวณ.....	79
ใบหน้าและบริเวณใต้แขนใน 6 ภูมิภาค	
ภาพที่ 4.18 (ก) กราฟเปรียบเทียบค่าเฉลี่ยความแดงและความสว่างระหว่างบริเวณใบหน้า.....	80
และบริเวณใต้แขนใน 6 ภูมิภาค	
(ข) กราฟเปรียบเทียบค่าเฉลี่ยความเหลืองและความสว่างระหว่างบริเวณใบหน้า.....	80
และบริเวณใต้แขนใน 6 ภูมิภาค	
ภาพที่ 4.19 (ก) กราฟเปรียบเทียบค่าเฉลี่ยความอิมตัวสีและความสว่างในบริเวณแก้ม หน้าผาก.....	82
คาง และใต้แขน ระหว่าง 6 ภูมิภาค	
(ข) กราฟเปรียบเทียบค่าเฉลี่ยความแดงและความอิมตัวสีในบริเวณแก้ม หน้าผาก.....	83
คาง และใต้แขน ระหว่าง 6 ภูมิภาค	
(ค) กราฟเปรียบเทียบค่าเฉลี่ยความเหลืองและความอิมตัวสีในบริเวณแก้ม หน้าผาก.....	84
แก้ม หน้าผาก คาง และใต้แขน ระหว่าง 6 ภูมิภาค	



## สารบัญภาพ (ต่อ)

หน้า

ภาพที่ 4.20 กราฟเปรียบเทียบค่าเฉลี่ยความอิมตัวสีและความสว่างระหว่างบริเวณใบหน้า.....	86
และบริเวณใต้แขนใน 6 ภูมิภาค	
ภาพที่ 4.21 (ก) กราฟเปรียบเทียบค่าเฉลี่ยความสว่างและค่าองศาสีในบริเวณแก้ม หน้าผาก.....	87
คาง และใต้แขน ระหว่าง 6 ภูมิภาค	
(ข) กราฟเปรียบเทียบค่าเฉลี่ยความแดงและค่าองศาสีในบริเวณแก้ม หน้าผาก.....	88
คาง และใต้แขน ระหว่าง 6 ภูมิภาค	
(ค) กราฟเปรียบเทียบค่าเฉลี่ยความเหลืองและค่าองศาสีในบริเวณแก้ม หน้าผาก.....	89
หน้าผาก คาง และใต้แขน ระหว่าง 6 ภูมิภาค	
ภาพที่ 4.22 กราฟเปรียบเทียบค่าเฉลี่ยความสว่างและค่าองศาสีระหว่างบริเวณใบหน้า.....	90
และบริเวณใต้แขนใน 6 ภูมิภาค	
ภาพที่ 4.23 กราฟค่าเฉลี่ยความแดงและความเหลืองของบริเวณแก้ม หน้าผาก คาง.....	92
และใต้แขนระหว่างคนทำงานกลางแจ้งและคนทำงานในร่ม	
ภาพที่ 4.24 (ก) กราฟค่าเฉลี่ยความแดงและความสว่างของบริเวณแก้ม หน้าผาก คาง.....	93
และใต้แขนระหว่างคนทำงานกลางแจ้งและคนทำงานในร่ม	
(ข) กราฟค่าเฉลี่ยความเหลืองและความสว่างของบริเวณแก้ม หน้าผาก คาง.....	96
และใต้แขนระหว่างคนทำงานกลางแจ้งและคนทำงานในร่ม	
ภาพที่ 4.25 กราฟเปรียบเทียบค่าเฉลี่ยความแดงและความเหลืองระหว่างบริเวณใบหน้า.....	96
และบริเวณใต้แขนในคนทำงานกลางแจ้งและในร่ม	
ภาพที่ 4.26 (ก) กราฟเปรียบเทียบค่าเฉลี่ยความแดงและความสว่างระหว่างบริเวณใบหน้า.....	96
และบริเวณใต้แขนในคนทำงานกลางแจ้งและในร่ม	
(ข) กราฟเปรียบเทียบค่าเฉลี่ยความเหลืองและความสว่างระหว่างบริเวณใบหน้า.....	96
และบริเวณใต้แขนในคนทำงานกลางแจ้งและในร่ม	
ภาพที่ 4.27 (ก) กราฟค่าเฉลี่ยความอิมตัวสีและความสว่างของบริเวณแก้ม หน้าผาก คาง.....	100
และใต้แขนระหว่างคนทำงานกลางแจ้งและคนทำงานในร่ม	
(ข) กราฟค่าเฉลี่ยความแดงและความอิมตัวของบริเวณแก้มหน้าผาก คาง.....	101
และใต้แขนระหว่างคนทำงานกลางแจ้งและคนทำงานในร่ม	

## สารบัญภาพ (ต่อ)

หน้า

ภาพที่ 4.27 (ค) กราฟค่าเฉลี่ยความเหลืองและความอิมตัวสีของบริเวณแก้มหน้าผาก คาง.....	102
และใต้แขนระหว่างคนทำงานกลางแจ้งและคนทำงานในร่ม	
ภาพที่ 4.28 กราฟเปรียบเทียบค่าเฉลี่ยความอิมตัวสีและความสว่างระหว่างบริเวณใบหน้า.....	103
และบริเวณใต้แขนในคนทำงานกลางแจ้งและในร่ม	
ภาพที่ 4.29 (ก) กราฟค่าเฉลี่ยของค่าสีและความสว่างของบริเวณแก้ม หน้าผาก คาง.....	105
และใต้แขนระหว่างคนทำงานกลางแจ้งและคนทำงานในร่ม	
(ข) กราฟค่าเฉลี่ยความแดงและค่าองศาสีของบริเวณแก้ม หน้าผาก คาง.....	106
และใต้แขนระหว่างคนทำงานกลางแจ้งและคนทำงานในร่ม	
(ค) กราฟค่าเฉลี่ยความเหลืองและค่าองศาสีของบริเวณแก้ม หน้าผาก คาง.....	107
และใต้แขนระหว่างคนทำงานกลางแจ้งและคนทำงานในร่ม	
ภาพที่ 4.30 กราฟเปรียบเทียบค่าเฉลี่ยของค่าสีและความสว่างระหว่างบริเวณใบหน้า.....	108
และบริเวณใต้แขนในคนทำงานกลางแจ้งและในร่ม	
ภาพที่ 4.31 กราฟค่าการสะท้อนเชิงสเปกตรัมของความยาวคลื่นตั้งแต่ 400-700 นาโนเมตร.....	110
ของตัวแทนผิวคนไทย 3 ประเภท	
ภาพที่ 4.32 กราฟเปรียบเทียบค่าการสะท้อนเชิงสเปกตรัม ของสีผิวจริงและสีผิวจำลองใน.....	111
ความยาวคลื่นตั้งแต่ 400-700 นาโนเมตร ของตัวแทนผิวคนไทย 3 ประเภท	
ภาพที่ 4.33 (ก) กราฟเปรียบเทียบค่าความแดงและความเหลืองระหว่างสีผิวจริงและสีผิวจำลอง.....	112
ของตัวแทนผิวคนไทย 3 ประเภท	
(ข) กราฟเปรียบเทียบค่าความแดงและความสว่างระหว่างสีผิวจริงและสีผิวจำลอง.....	112
ของตัวแทนผิวคนไทย 3 ประเภท	
(ค) กราฟเปรียบเทียบค่าความเหลืองและความสว่างระหว่างสีผิวจริงและสีผิวจำลอง.....	112
ของตัวแทนผิวคนไทย 3 ประเภท	
ภาพที่ 4.34 กราฟเปรียบเทียบค่าความสว่างระหว่างสีผิวจริงและสีผิวจำลองของตัวแทน.....	113
ผิวคนไทย 3 ประเภท	

## สารบัญภาพ (ต่อ)

หน้า

ภาพที่ 4.35 (ก) กราฟค่าการสะท้อนเชิงสเปกตรัมของความยาวคลื่นตั้งแต่ 400-700 นาโนเมตร.....114	
ของเพศชายและเพศหญิง	
(ข) กราฟเปรียบเทียบค่าการสะท้อนเชิงสเปกตรัมของสีผิวจริงและสีผิวจำลอง.....114	
ในความยาวคลื่นตั้งแต่ 400-700 นาโนเมตร ของเพศชายและเพศหญิง	
ภาพที่ 4.36 (ก) กราฟเปรียบเทียบค่าความแดงและความเหลืองระหว่างสีผิวจริงและ.....115	
สีผิวจำลองของเพศชายและเพศหญิง	
(ข) กราฟเปรียบเทียบค่าความแดงและความสว่างระหว่างสีผิวจริงและ.....115	
สีผิวจำลองของเพศชายและเพศหญิง	
(ค) กราฟเปรียบเทียบค่าความเหลืองและความสว่างระหว่างสีผิวจริงและ.....115	
สีผิวจำลองของเพศชายและเพศหญิง	
ภาพที่ 4.37 กราฟเปรียบเทียบค่าความสว่างระหว่างสีผิวจริงและสีผิวจำลองของ.....116	
เพศชายและเพศหญิง	
ภาพที่ 5.1 กราฟเปรียบเทียบการกระจายตัวของข้อมูลระหว่างงานวิจัยของวรรณรัตน์ วิรัชกุล.....125	
และงานวิจัยนี้ของค่าความสว่างและค่าความอิมพัลส์ของผิวคนไทย	
ภาพที่ 5.2 (ก) กราฟเปรียบเทียบค่าเฉลี่ยความแดงและความเหลืองของผิวคนไทย.....125	
ระหว่างงานวิจัยของวรรณรัตน์ วิรัชกุลและงานวิจัยนี้	
(ข) กราฟเปรียบเทียบค่าเฉลี่ยความแดงและความสว่างของผิวคนไทย.....126	
ระหว่างงานวิจัยของวรรณรัตน์ วิรัชกุลและงานวิจัยนี้	
(ค) กราฟเปรียบเทียบค่าเฉลี่ยความเหลืองและความสว่างของผิวคนไทย.....126	
ระหว่างงานวิจัยของวรรณรัตน์ วิรัชกุล และงานวิจัยนี้	
(ง) กราฟเปรียบเทียบค่าเฉลี่ยความอิมพัลส์และความสว่างของผิวคนไทย.....126	
ระหว่างงานวิจัยของวรรณรัตน์ วิรัชกุลและงานวิจัยนี้	
ภาพที่ 5.3 (ก) กราฟเปรียบเทียบการกระจายตัวของของค่าความแดงและความเหลือง.....127	
ของผิวระหว่างคนคอเคเซียนและคนไทย	
(ข) กราฟเปรียบเทียบการกระจายตัวของของค่าความอิมพัลส์และความสว่าง.....127	
ของผิวระหว่างคนคอเคเซียนและคนไทย	

## สารบัญภาพ (ต่อ)

	หน้า
ภาพที่ 5.4 (ก) กราฟเปรียบเทียบค่าเฉลี่ยความแดงและความเหลืองของฝักระหว่าง.....	128
คนคอเคเซียนและคนไทย	
(ข) กราฟเปรียบเทียบค่าเฉลี่ยความแดงและความสว่างของฝักระหว่าง.....	128
คนคอเคเซียนและคนไทย	
(ค) กราฟเปรียบเทียบค่าเฉลี่ยความเหลืองและความสว่างของฝักระหว่าง.....	129
คนคอเคเซียนและคนไทย	
(ง) กราฟเปรียบเทียบค่าเฉลี่ยความอิมตัวสีและความสว่างของฝักระหว่าง.....	129
คนคอเคเซียนและคนไทย	
ภาพที่ 5.5 (ก) กราฟเปรียบเทียบการกระจายตัวของของค่าความแดงและค่าความเหลือง.....	130
ของฝักระหว่างคนจีนและคนไทย	
(ข) กราฟเปรียบเทียบการกระจายตัวของของค่าความอิมตัวสีและค่าความสว่าง.....	130
ของฝักระหว่างคนจีนและคนไทย	
ภาพที่ 5.6 (ก) กราฟเปรียบเทียบค่าเฉลี่ยความแดงและความเหลืองของฝักระหว่างคนจีน.....	131
และคนไทย	
(ข) กราฟเปรียบเทียบค่าเฉลี่ยความแดงและความสว่างของฝักระหว่างคนจีน.....	131
และคนไทย	
(ค) กราฟเปรียบเทียบค่าเฉลี่ยความเหลืองและความสว่างของฝักระหว่างคนจีน.....	131
และคนไทย	
(ง) กราฟเปรียบเทียบค่าเฉลี่ยความอิมตัวสีและความสว่างของฝักระหว่างคนจีน.....	131
และคนไทย	

# บทที่ 1

## บทนำ

### 1.1 ความเป็นมาและความสำคัญของปัญหา

ผิวเป็นหนึ่งในองค์ประกอบของร่างกายและเป็นเนื้อเยื่อชั้นด้านนอกสุดของร่างกายมนุษย์ [1] ซึ่งการปรากฏตัวของสีผิวนั้นประกอบไปด้วย Hemoglobin และ Melanin โดย Hemoglobin เป็นส่วนประกอบอยู่ภายในเม็ดเลือดแดงทำหน้าที่ช่วยลำเลียงออกซิเจนไปยังส่วนต่าง ๆ ของร่างกายผ่านทางหลอดเลือดแดงที่อยู่ใต้ผิวหนัง ส่งผลให้เกิดเป็นสีผิว เช่น ผิวแดง หรือ ผิวเหลือง ส่วน Melanin หรือเม็ดสีที่ถูกสร้างจากเซลล์ที่เรียกว่า Melanocyte โดยปริมาณการเกิดของ Melanin จะส่งผลให้เกิดการปรากฏความสว่างของผิว [2] จึงทำให้มนุษย์มีลักษณะของสีผิวที่มีความแตกต่างกันออกไป

ความแตกต่างของสีผิวนั้น ไม่เพียงแต่จะขึ้นอยู่กับปริมาณที่เปลี่ยนแปลงไปของ Hemoglobin และ Melanin เท่านั้น ยังมีปัจจัยอื่น ๆ ที่สามารถทำให้สีและความสว่างของผิวเปลี่ยนแปลงได้ เช่น ความแตกต่างทางชาติพันธุ์ที่ส่งผลต่อสีผิวของมนุษย์ของ K. Xiao และคณะ [3] ที่ได้ทำการทดลองโดยการวัดผิวบริเวณต่าง ๆ ในร่างกายของคนหลายหลายชาติพันธุ์ ได้แก่ คนอังกฤษ คนจีน คนอิรัก และคนไทย พบว่า ความแตกต่างของความสว่างและความเป็นสีเหลืองของผิว มักเกิดจากความแตกต่างทางชาติพันธุ์ แต่ความแตกต่างของความเป็นสีแดง มักเกิดจากความแตกต่างของตำแหน่งของร่างกายที่ใช้วัดผิว หรือแม้กระทั่งช่วงระยะเวลาที่มีผลทำให้สีผิวเกิดการเปลี่ยนแปลงไปได้ ดังงานวิจัยของ Kumiko Kikuchi และคณะ [4] ที่ได้ทำการทดลองเกี่ยวกับช่วงระยะเวลาที่เปลี่ยนแปลงไปที่ส่งผลต่อสีผิวใบหน้าของผู้หญิงญี่ปุ่นเช่นกัน แต่ช่วงระยะเวลานานกว่านั้นคือ ช่วงระยะเวลา 25 ปี (ปี 1990-2015) โดยการวิเคราะห์หรือการเปลี่ยนแปลงของสีผิว รวมถึงวิเคราะห์การเปลี่ยนแปลงของ Hemoglobin และ Melanin ด้วย พบว่าสีผิวของผู้หญิงญี่ปุ่นมีการเปลี่ยนแปลงไปในช่วง 25 ปี เช่นกัน โดยผิวมีความสว่างที่เพิ่มขึ้น ทั้งนี้ยังพบว่าสาร Hemoglobin และ Melanin ที่ลดลงหรือมีการเปลี่ยนแปลงเมื่อระยะเวลาผ่านไป ซึ่งสาเหตุการเปลี่ยนแปลงของสีผิวใบหน้าของผู้หญิงญี่ปุ่นนั้น เกิดจากมีการรณรงค์ให้ความรู้เกี่ยวกับอันตรายจากแสงแดดหรือรังสีอัลตราไวโอเล็ต (UV) และยังมีรณรงค์ให้ป้องกันตนเองจากแสงแดดด้วย

รังสีอัลตราไวโอเล็ต เป็นคลื่นแม่เหล็กไฟฟ้า เมื่อร่างกายได้รับมาก ๆ นั้นจะทำให้เกิดอันตรายต่อผิวหนังของมนุษย์ เช่น ผิวเกิดรอยไหม้แดง ผิวหนังชั้นบนมีความหนามากขึ้นส่งผลให้การดูดซึมของสารต่าง ๆ ลดลง และเกิดการระคายเคืองต่อผิวได้ง่ายมากขึ้น ตลอดจนทำให้เกิดการเปลี่ยนแปลงของผิวทั้งในเรื่องของสีและความสว่างหรือผิวดูคล้ำขึ้นไปจากเดิม แต่การสัมผัสกับแสงแดดมักเป็นสิ่งที่ไม่สามารถที่จะหลีกเลี่ยงได้ ส่วนมากเป็นการได้รับแสงแดดโดยที่ไม่ได้ตั้งใจจากกิจกรรมที่ทำใน

ชีวิตประจำวันหรืออาชีพการทำงานที่มีความแตกต่างกัน [5] โดยปัจจุบัน การประกอบอาชีพเริ่มมีความหลากหลายมากขึ้น ส่งผลให้ลักษณะของสถานที่ที่ทำงานมีความแตกต่างกัน บางอาชีพอาจจะประกอบอาชีพอยู่ในที่โล่งแจ้งมีการสัมผัสกับแสงแดดมากกว่าการประกอบอาชีพที่อยู่ในที่ร่ม จึงอาจทำให้ความแตกต่างของอาชีพเป็นอีกปัจจัยหนึ่งที่ทำให้สีและความสว่างของผิวที่มีการเปลี่ยนแปลงไปจากเดิม และนอกจากนี้ปัจจัยอื่น ๆ เช่น ความแตกต่างของเพศ การอาศัยหรือเกิดอยู่ในสภาพแวดล้อมทางภูมิศาสตร์ที่แตกต่างกันอาจส่งผลต่อสีและความสว่างของผิวคนได้เช่นกัน

อย่างไรก็ตาม จากความหลากหลายทางสีผิวที่เกิดจากปัจจัยต่าง ๆ สามารถนำข้อมูลเหล่านั้นมาใช้ในการพัฒนาต่อวงการอุตสาหกรรมเครื่องสำอางหรือผลิตภัณฑ์เพื่อความงามได้ เช่น งานวิจัยของ Jean de Rigal และคณะ [6] ได้มีการนำความหลากหลายของสีผิวมาประยุกต์ใช้ในการสร้างเครื่องมือแบบใหม่ที่เรียกว่า แล็บวัตสีผิว และเครื่องมือนี้ยังสามารถนำไปประเมินประสิทธิภาพของผลิตภัณฑ์เพื่อความขาว (Whitening) จากการเปลี่ยนแปลงของสีผิวผู้เข้าร่วมการทดลอง เป็นต้น โดยชุดข้อมูลส่วนใหญ่ของแล็บวัตสีผิวของ Jean de Rigal และคณะ มักจะเป็นข้อมูลของคนต่างชาติ

แม้ว่าในประเทศไทย งานวิจัยของ วรณรัตน์ วิรัชกุล [7] ได้ทำการศึกษาเกี่ยวกับลักษณะเฉพาะเชิงสเปกตรัมของสีผิวคนไทย ที่เป็นนักศึกษาและบุคลากรในจุฬาลงกรณ์มหาวิทยาลัย โดยมีการวิเคราะห์ปัจจัยที่ส่งผลต่อสีผิวของคนไทย อาทิเช่น เพศ อายุ ภูมิภาค การทำกิจกรรมกลางแจ้ง เป็นต้น แต่ยังไม่มีการสำรวจปัจจัยความแตกต่างของลักษณะสถานที่ทำงาน รวมทั้งเครื่องมือที่ใช้วัดสีผิวเป็นแบบประเภทสัมผัสกับผิว จึงทำให้แรงกดดันขณะทำการวัดสีผิว อาจเป็นปัจจัยที่ส่งผลให้สีผิวมีความเปลี่ยนแปลงไป

จากที่กล่าวมาข้างต้น ผู้วิจัยได้เล็งเห็นถึงปัญหาของปัจจัยที่เกี่ยวข้องกับส่วนบุคคล ความแตกต่างทางภูมิภาคที่กำหนด ความแตกต่างของลักษณะสถานที่ทำงาน ที่อาจมีผลต่อการเปลี่ยนแปลงของสีและความสว่างผิวคนไทย จึงทำให้ผู้วิจัยประสงค์ที่จะศึกษาเรื่องสีและความสว่างของผิวคนไทย โดยใช้เครื่องมือวัดสีผิวประเภทไม่สัมผัสผิว เพื่อป้องกันปัจจัยด้านแรงกดขณะทำการวัดสีผิว อีกทั้งยังใช้กลุ่มตัวอย่างที่มีความหลากหลาย เพื่อให้องค์ความรู้ที่ได้จากการศึกษามาเป็นประโยชน์และสามารถนำประยุกต์ใช้ในวงการอุตสาหกรรมเครื่องสำอางหรือผลิตภัณฑ์เพื่อความงามได้

## 1.2 วัตถุประสงค์ของการวิจัย

เพื่อศึกษาปัจจัยที่มีผลต่อสีและความสว่างของผิวคนไทย

## 1.3 สมมติฐานการศึกษา

ผู้วิจัยได้ตั้งสมมติฐานออกเป็น 3 สมมติฐานตามปัจจัยที่อาจส่งผลต่อสีและความสว่างของผิวคนไทย ดังนี้

### 1.3.1 ปัจจัยความแตกต่างของเพศ

สมมติฐานทางวิจัย เพศชายมีค่าสีและค่าความสว่างของผิวที่แตกต่างกับเพศหญิง

$$\text{สมมติฐานทางสถิติ } H_0 : \mu_m = \mu_f$$

$$H_1 : \mu_m \neq \mu_f$$

โดยใช้สัญลักษณ์  $\mu_m$  แทน เพศชาย และ  $\mu_f$  แทน เพศหญิง

### 1.3.2 ปัจจัยความแตกต่างทางภูมิภาคที่กำเนิด

สมมติฐานทางวิจัย ภาคกลาง ภาคเหนือ ภาคใต้ ภาคตะวันออก ภาคตะวันออกเฉียงเหนือ และภาคตะวันตกมีค่าสีและค่าความสว่างของผิวที่ต่างกััน

$$\text{สมมติฐานทางสถิติ } H_0 : \mu_c = \mu_n = \mu_s = \mu_e = \mu_{ne} = \mu_w$$

$$H_1 : \mu_c \neq \mu_n \neq \mu_s \neq \mu_e \neq \mu_{ne} \neq \mu_w$$

โดยใช้สัญลักษณ์  $\mu_c$  แทน ภาคกลาง,  $\mu_n$  แทน ภาคเหนือ,  $\mu_s$  แทน ภาคใต้,  $\mu_e$  แทน ภาคตะวันออก,  $\mu_{ne}$  แทน ภาคตะวันออกเฉียงเหนือ และ  $\mu_w$  แทน ภาคตะวันตก

### 1.3.3 ปัจจัยความแตกต่างของลักษณะสถานที่ทำงาน

สมมติฐานทางวิจัย คนที่ทำงานกลางแจ้งมีค่าสีและค่าความสว่างของผิวที่แตกต่างกับคนที่ทำงานในร่ม

$$\text{สมมติฐานทางสถิติ } H_0 : \mu_o = \mu_i$$

$$H_1 : \mu_o \neq \mu_i$$

โดยใช้สัญลักษณ์  $\mu_o$  แทน คนที่ทำงานกลางแจ้ง และ  $\mu_i$  แทน คนที่ทำงานในร่ม

#### 1.4 ขอบเขตของการวิจัย

ในการศึกษาเรื่องสีและความสว่างของผิวคนไทยนั้น ผู้วิจัยได้ดำเนินการทดลองเพื่อศึกษาหาปัจจัยที่มีผลต่อสีและความสว่างของผิวคนไทย โดยมีปัจจัยหลัก ๆ ที่ทำการศึกษาดังนี้ คือ ความแตกต่างระหว่างเพศ ความแตกต่างทางภูมิภาคที่กำเนิด ความแตกต่างของลักษณะสถานที่ทำงานที่อาจมีผลต่อสีและความสว่างของผิวคนไทย จึงได้มีการกำหนดกลุ่มตัวอย่างเป็นบุคคลที่มีเชื้อชาติไทยเพศชายจำนวน 200 คน และเพศหญิงจำนวน 200 คน ที่มีช่วงอายุตั้งแต่ 24 – 70 ปี และได้กำหนดบุคคลที่มีถิ่นฐานที่เกิดต่างกันตามลักษณะทางภูมิศาสตร์ของไทยออกเป็น 6 ภาค ได้แก่ ภาคกลาง ภาคเหนือ ภาคใต้ ภาคตะวันออก ภาคตะวันออกเฉียงเหนือ และภาคตะวันตก จากนั้นได้จัดกลุ่มอาชีพออกเป็น 2 กลุ่ม โดยแบ่งตามลักษณะของสถานที่ทำงาน ได้แก่ กลุ่มคนทำงานในที่โล่งแจ้งเป็นประจำ กลุ่มคนทำงานในที่ร่มหรือในอาคารเป็นประจำ โดยใช้เครื่องมือวัดสียี่ห้อ Konica Minolta รุ่น Chroma Meter CS-100A ในการวัดสีและความสว่างของผิว และวัดทั้งหมด 5 ตำแหน่งของร่างกาย ได้แก่ แก้มด้านซ้าย แก้มด้านขวา หน้าผาก คาง และใต้แขน จากนั้นทำการวิเคราะห์ผลข้อมูลสีผิวโดยใช้ระบบสี CIELAB และวิเคราะห์ผลทางสถิติโดยใช้ ANOVA ที่ระดับนัยสำคัญที่ 0.05

#### 1.5 ประโยชน์ที่คาดว่าจะได้รับ

- 1.3.1 ได้องค์ความรู้และได้ทราบถึงปัจจัยที่มีผลต่อสีและความสว่างของผิวคนไทย
- 1.3.2 ได้ชุดข้อมูลเกี่ยวกับสีและความสว่างของผิวของคนไทยตามปัจจัยเรื่องความแตกต่างของเพศ ความแตกต่างของภูมิภาคที่แบ่งตามภูมิศาสตร์ของประเทศไทย ความแตกต่างของสถานที่ทำงาน



## บทที่ 2

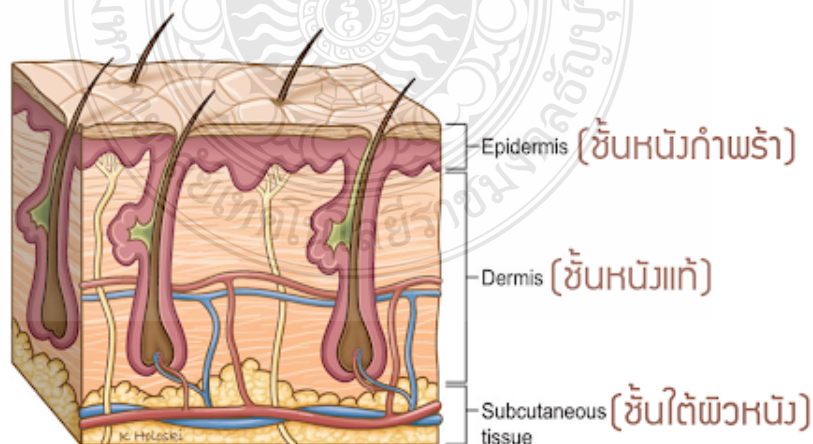
### เอกสารและงานวิจัยที่เกี่ยวข้อง

ในบทนี้ จะกล่าวถึงเอกสารและงานวิจัยที่เกี่ยวข้องในการศึกษาเรื่องสีและความสว่างของผิวคนไทย ดังนี้

- 2.1 โครงสร้างของผิวหนัง
- 2.2 สีผิว
- 2.3 รังสีอัลตราไวโอเล็ต (Ultraviolet Radiation:UV)
- 2.4 อาชีพ
- 2.5 ภูมิศาสตร์ของประเทศไทย
- 2.6 ระบบสี CIELAB
- 2.7 เครื่องมือวัดค่าสี
- 2.8 งานวิจัยที่เกี่ยวข้อง

#### 2.1 โครงสร้างของผิวหนัง

ผิวหนังเป็นอวัยวะที่ใหญ่ที่สุด มีขนาดประมาณ 1.5 ตารางเมตร และมีน้ำหนักประมาณ 1/20 ของน้ำหนักของร่างกาย [5] ทำหน้าที่ห่อหุ้มกระดูกและเป็นเนื้อเยื่อชั้นนอกสุดของร่างกายมนุษย์ [1] โดยผิวหนังของมนุษย์นั้นจะประกอบไปด้วยส่วนต่าง ๆ 3 ส่วน คือ ชั้นหนังกำพร้า ชั้นหนังแท้ และชั้นใต้ผิวหนังหรือชั้นไขมัน [2,5,10,11,12]



ภาพที่ 2.1 โครงสร้างของผิวหนัง

ที่มา: <http://www.idoctorhouse.com/library/physiology-skin>

### 2.1.1 ชั้นหนังกำพรั

เป็นชั้นผิวหนังที่อยู่ด้านนอกสุด ประกอบด้วยเซลล์อยู่ 3 ชนิด ซึ่งมีปริมาณและหน้าที่ที่ไม่เหมือนกัน

1) เซลล์คีราติโนไซต์ เป็นเซลล์หลักของผิวหนังชั้นบน มีประมาณร้อยละ 80-90 ของเซลล์ผิวหนังทั้งหมด ทำหน้าที่ควบคุมการระเหยและการดูดซึมของน้ำเข้าสู่ร่างกาย

2) เซลล์สร้างเม็ดสี มีประมาณร้อยละ 2-3 ของเซลล์ผิวหนังทั้งหมด มีการกระจายอยู่ทั่วผิวหนังและหนาแน่นมากที่สุดคือบริเวณใบหน้า ทำหน้าที่สร้างเม็ดสีเมลานิน ซึ่งช่วยในการดูดซับและสะท้อนแสงแดด เป็นการป้องกันอันตรายจากแสงแดดที่ผิวหนัง

3) เซลล์ลึงเกอร์ฮานส์ มีประมาณร้อยละ 1-1.5 ของเซลล์ผิวหนังทั้งหมด ทำหน้าที่เกี่ยวกับภูมิคุ้มกันและภูมิแพ้ของร่างกาย [5]

### 2.1.2 ชั้นหนังแท้

ส่วนประกอบที่สำคัญของชั้นหนังแท้คือ คอลลาเจน ที่มีปริมาณร้อยละ 75 ของผิวหนัง โดยส่วนประกอบสำคัญของคอลลาเจน คือ กลูคูมินโกลแคน ซึ่งเป็นส่วนสำคัญที่ทำให้ผิวหนังมีความชุ่มชื้นและเป็นส่วนสำคัญที่ช่วยป้องกันแรงกระแทกของผิวได้ และอีกสำคัญของชั้นหนังแท้คือ อีลาสติน ซึ่งมีปริมาณร้อยละ 5 ของผิวหนัง โดยชั้นหนังแท้ทำหน้าที่รองรับเส้นเลือด เส้นน้ำเหลือง เส้นประสาทพม และต่อมเหงื่อ และมีความหนามากกว่าชั้นหนังกำพรัอยู่ร้อยละ 90 [5]

### 2.1.3 ชั้นใต้ผิวหนัง

เป็นชั้นผิวหนังที่อยู่ด้านในสุด ประกอบไปด้วยเนื้อเยื่อไขมัน มักพบมากที่บริเวณหน้าท้องและต้นขา [11] ทำหน้าที่ป้องกันอวัยวะภายในจากแรงกระแทกกระแทก และเป็นส่วนสำคัญที่ทำให้ผิวหนังตึง ราบเรียบ และเนียนนุ่ม [5]

## 2.2 สีผิว

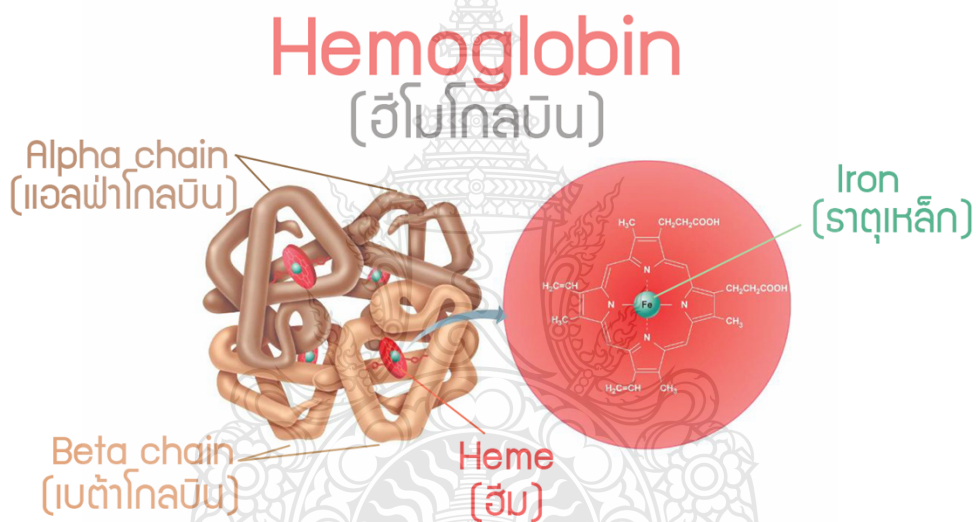
Erin C. Amerman [13] กล่าวไว้ว่า “สีผิว เป็นหนึ่งในคุณสมบัติทางกายภาพที่สามารถระบุตัวตนได้ง่ายมากที่สุดในมนุษย์”

### 2.2.1 การเกิดสีผิว

สีผิวที่มีความแตกต่างกันมักเกิดจากกรรมพันธุ์ที่ถูกถ่ายทอดจากรุ่นสู่รุ่น หรือเชื้อชาติที่เป็นตัวกำหนดให้มนุษย์มีสีผิวที่ต่างกัน นอกจากนี้สารในร่างกายยังเป็นอีกปัจจัยที่สามารถกำหนดให้มนุษย์มีความแตกต่างกันทางสีผิวอีกด้วย เช่น การไหลผ่านของเลือดที่หลอดเลือด (Hemoglobin) และเม็ดสี (Melanin) ที่บ่งบอกถึงความสว่างหรือคล้ำของผิว [14]

2.2.1.1 ฮีโมโกลบิน (Hemoglobin) เป็นโมเลกุลโปรตีนภายในเซลล์เม็ดเลือดแดง ซึ่งอยู่ในระบบไหลเวียนของเลือด สามารถเรียกอีกอย่างหนึ่งว่า ฮีม (Heme) ทำหน้าที่ดักจับแล้วส่งออกซิเจนไปเลี้ยงส่วน ๆ ของร่างกาย [13,14] ทำให้ผิวมีสีออกแดงหรือชมพู [11] มีธาตุเหล็กเป็นส่วนประกอบซึ่งเกิดจากโมเลกุลโปรตีน 4 ตัว ที่เรียกว่า สายโกลบูลิน (Globulin Chains) ประกอบไปด้วย อัลฟา 2 ตัว และเบต้า 2 ตัว โดยทั่วไปฮีโมโกลบินจะมีอยู่ 3 ชนิด ซีรวิคัม สุวรรณ [15] และ Amprohealth [16] ได้กล่าวเอาไว้ ซึ่งได้แก่

- 1) ฮีโมโกลบินเอ (Hemoglobin A)
- 2) ฮีโมโกลบินเอฟ (Hemoglobin F)
- 3) ฮีโมโกลบินเอ2 (Hemoglobin A2)



ภาพที่ 2.2 โครงสร้างของฮีโมโกลบิน

ที่มา: <http://www.idoctorhouse.com/library/physiology-rs/>

2.2.1.2 เมลานิน (Melanin) ถูกสร้างขึ้นภายในผิวหนังในเซลล์ที่เรียกว่า เมลาโนไซต์ (Melanocyte) โดยที่เมลานินจะมีสีแดงอมส้มไปจนถึงดำ และยังเป็นตัวกำหนดความสว่างของผิวมนุษย์ หน้าที่ที่สำคัญคือปกป้องรังสีจากแสงแดด ซึ่งการเพิ่มขึ้นของเมลานินเกิดจากการได้รับแสงอัลตราไวโอเล็ตหรือแสงยูวี ที่เป็นแสงจากดวงอาทิตย์ หากผิวสัมผัสกับแสงแดดมาก ๆ เม็ดสีเมลานินก็จะถูกสร้างขึ้นมาก ส่งผลให้เกิดสีผิวที่เปลี่ยนแปลงไป นั่นคือ จะทำให้ผิวดูคล้ำขึ้น [13] นอกจากนี้การเพิ่มขึ้นของเมลานินหรือการผลิตเมลานินจะมากหรือน้อย ยังขึ้นอยู่กับพันธุกรรมที่อยู่ใน DNA อีกด้วย [11] โดยเมลานินมีทั้งหมดอยู่ 2 ชนิด ตามที่ Thaihealthlife [17] ได้กล่าวเอาไว้ ซึ่งได้แก่

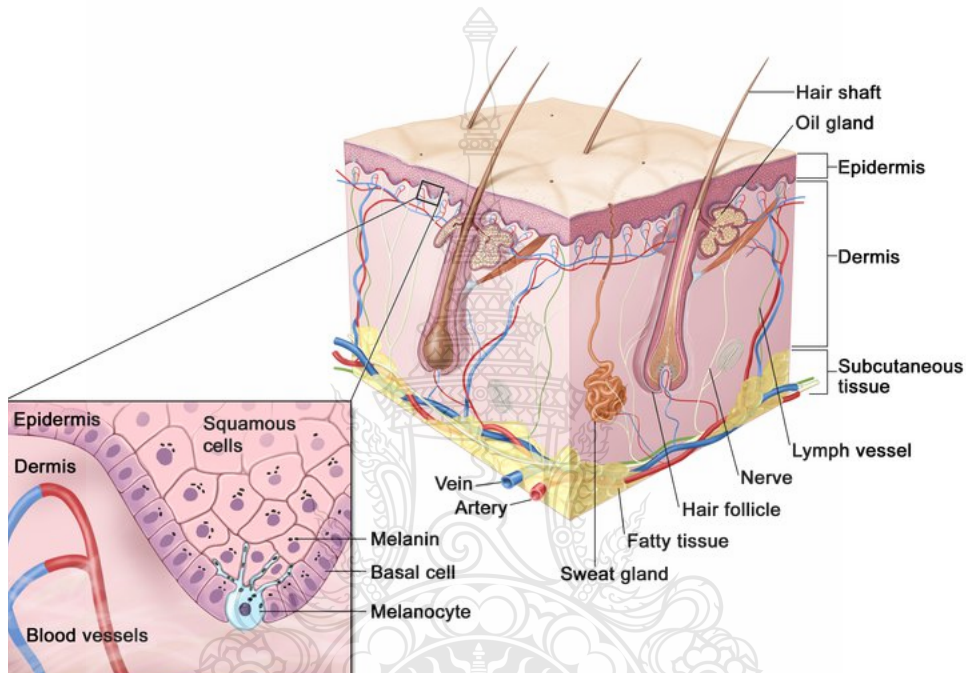
- 2.2.1.2.1 ยูเมลานิน (Eumelanin) เป็นรงควัตถุในผิวหนังของมนุษย์

หรืออยู่ในเส้นผมสีดำ เป็นต้น โดยยูเมลานินสามารถแบ่งออกเป็น 2 แบบ คือ

- 1) ยูเมลานินสีดำ โดยจะให้สีดำเมื่อมีเม็ดสีชนิดอยู่มาก
- 2) ยูเมลานินสีน้ำตาล ซึ่งจะทำให้เส้นผมมีสีน้ำตาลเมื่อมีเม็ดสีนี้ใน

ปริมาณมาก แต่ถ้าหากมีปริมาณน้อยจะทำให้เส้นผมเป็นสีน้ำตาลอ่อนหรือสีบรอนด์ ซึ่งจะพบมากในคนยุโรป

#### 2.2.1.2.2 พีโอเมลานิน (Pheomelanin) พบในเส้นผมสีแดงและสีขนของไก่



ภาพที่ 2.3 โครงสร้างของผิวกับเมลานोไซต์ (Melanocyte)

ที่มา: <https://www.cancer.gov/publications/dictionaries/cancer-terms/def/melanocyte>

#### 2.2.2 ชนิดของสีผิว

ชนิดของสีผิว เป็นผลมาจากปัจจัยของเชื้อชาติที่มีถิ่นอาศัย รวมถึงสภาพทางภูมิศาสตร์ของประเทศนั้น ๆ ที่แตกต่างกัน จึงทำให้มนุษย์มีสีผิวที่แตกต่างกันออกไป ดังนั้นชนิดของสีผิวสามารถแบ่งออกเป็น 4 ชนิดใหญ่ ๆ ได้แก่ [5]

- 1) คอคคาซอยด์ ผู้ที่มีสีผิวชนิดนี้ได้แก่ ชาวยุโรป ชาวเมดิเตอร์เรเนียน ชาวตะวันออกกลาง เป็นต้น ลักษณะทางกายภาพมักมีผิวหนึ่งเป็นสีน้ำตาลอ่อนหรือผิวขาว ผมอาจจะเป็นสีทองหรือสีดำ

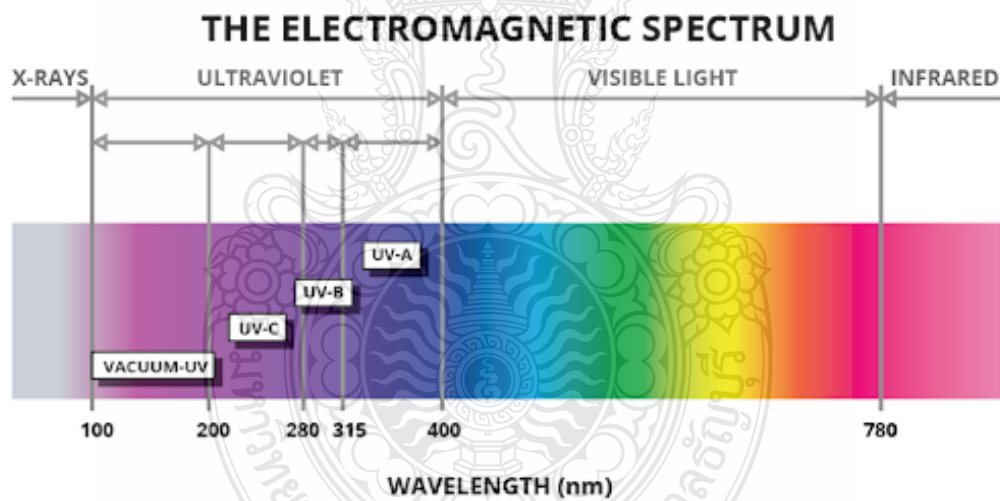
2) มองโกลอยด์ ผู้ที่มีสีผิวชนิดนี้ได้แก่ ชาวเอเชียตะวันออกเฉียงใต้ อินโดนีเซีย อเมริกานินเดียน เป็นต้น ลักษณะทางกายภาพมักมีผิวหนังเป็นสีน้ำตาลเข้ม มีผมเป็นเส้นตรง และสีดำ

3) นิกรอยด์ ผู้ที่มีสีผิวชนิดนี้ได้แก่ นิโกรและคนในทวีปแอฟริกา ลักษณะทางกายภาพมักมีผิวหนังเป็นสีดำ มีผมหยิกเป็นหลอดและมีสีดำ

4) ออสเตรลอยด์ ผู้ที่มีสีผิวชนิดนี้ได้แก่ คนพื้นเมืองในทวีปออสเตรเลีย ลักษณะทางกายภาพมักมีผิวหนังเป็นสีดำ มีผมหยิกเป็นคลื่นและมีสีดำ แดง หรือสีทอง

### 2.3 รังสีอัลตราไวโอเล็ต (Ultraviolet Radiation:UV)

รังสีอัลตราไวโอเล็ต (Ultraviolet Radiation:UV) เป็นคลื่นแม่เหล็กไฟฟ้าที่เกิดจากการแผ่รังสีของดวงอาทิตย์ โดยมีช่วงความยาวคลื่นอยู่ในช่วง 100 – 400 นาโนเมตร ซึ่งเป็นช่วงความยาวคลื่นที่สายตามนุษย์ไม่สามารถมองเห็นได้ [18]



ภาพที่ 2.4 สเปกตรัมของแสง

ที่มา: <http://www.huaqishengled.com/content/?381.html>

โดยรังสีอัลตราไวโอเล็ตประกอบไปด้วยรังสีอยู่ 3 ชนิด ได้แก่

1) UVA โดยมีช่วงความยาวคลื่นอยู่ที่ 315 – 400 นาโนเมตร เป็นรังสีที่มีปริมาณอยู่ในแสงแดดมากถึง 90% ซึ่งสามารถส่งผลกระทบต่อผิวหนังของมนุษย์ได้โดยตรง โดยจะไปทำลายคอลลาเจนที่ชั้นหนังแท้ ก่อให้เกิดรอยเหี่ยวย่น หรือจุดด่างดำได้

2) UVB โดยมีช่วงความยาวคลื่นอยู่ที่ 280 – 315 นาโนเมตร เป็นรังสีที่มีปริมาณในแสงแดดอยู่ 5% สามารถส่งผลกระทบต่อผิวหนังของมนุษย์ได้เช่นกัน เมื่อสัมผัสกับแสงแดดโดยตรงทำให้เกิดการหลุดลอกของผิวหนังชั้นหนังกำพวด

3) UVC โดยมีช่วงความยาวคลื่นอยู่ที่ 100 – 280 นาโนเมตร เป็นรังสีที่อันตรายมากที่สุด แต่ไม่สามารถผ่านเข้ามาสู่ผิวโลกได้ เนื่องจากจะถูกชั้นโอโซนดูดซับแสงเอาไว้

2.3.1 ปฏิกริยาของผิวหนังต่อรังสีอัลตราไวโอเล็ต เกิดขึ้นได้ 2 ระยะ คือ ระยะแรกและระยะหลัง [5]

โดยระยะแรกอาจสามารถเกิดปฏิกริยาได้ 6 อย่าง ได้แก่

1) ผิวไหม้แดด กล่าวคือ เมื่อผิวหนังถูกสัมผัสกับแสงแดดในช่วงระยะเวลาหนึ่ง จะทำให้ผิวหนังมีสีแดงในบริเวณที่ถูกแสงแดด เนื่องจากรังสีอัลตราไวโอเล็ตไปทำลายเคอร์ราทีโนไซต์ที่ชั้นหนังกำพวดและเซลล์ของผนังหลอดเลือด ทำให้ปล่อยสารสารไฮโดรไลติกเอนไซม์และสารที่มีโมเลกุลต่ำออกมารอบ ๆ หลอดเลือดฝอย จึงก่อให้เกิดการอักเสบ แดง บวม ร้อน

2) ผิวคล้ำ ส่วนมากมักเกิดจากรังสีอัลตราไวโอเล็ตช่วยความยาวคลื่นยาว อาจทำให้เกิดผิวคล้ำเมื่อผิวถูกสัมผัสกับแสงแดด และจางลงหรือหายใน 6-8 ชั่วโมง แต่ถ้าสัมผัสกับรังสีอัลตราไวโอเล็ตในช่วงความยาวคลื่นสั้นในปริมาณที่มาก อาจทำให้เกิดผิวคล้ำเป็นระยะเวลาที่นานถึง 48-72 ชั่วโมง หรือเป็นสัปดาห์ และจะค่อย ๆ จางลง

3) ผิวหนังชั้นบนหนาขึ้น ซึ่งเป็นปฏิกริยาการป้องกันจากรังสีอัลตราไวโอเล็ต หลังจากผิวหนังสัมผัสกับรังสีอัลตราไวโอเล็ตช่วงความยาวคลื่นสั้น จึงทำให้ผิวหนังชั้นบนสุดหนาขึ้นอย่างเห็นได้ชัดในเวลา 1 สัปดาห์

4) การสร้างวิตามินดี โดยรังสีอัลตราไวโอเล็ตจะเป็นตัวสร้างวิตามินดี ซึ่งจะถูกรวมกับโปรตีนในเลือด ทำหน้าที่ซ่อมแซมและสร้างกระดูก

5) เล็บไม่ติดเนื้อ เป็นอาการของการแพ้แสงแดดที่เกิดจากรังสีอัลตราไวโอเล็ต

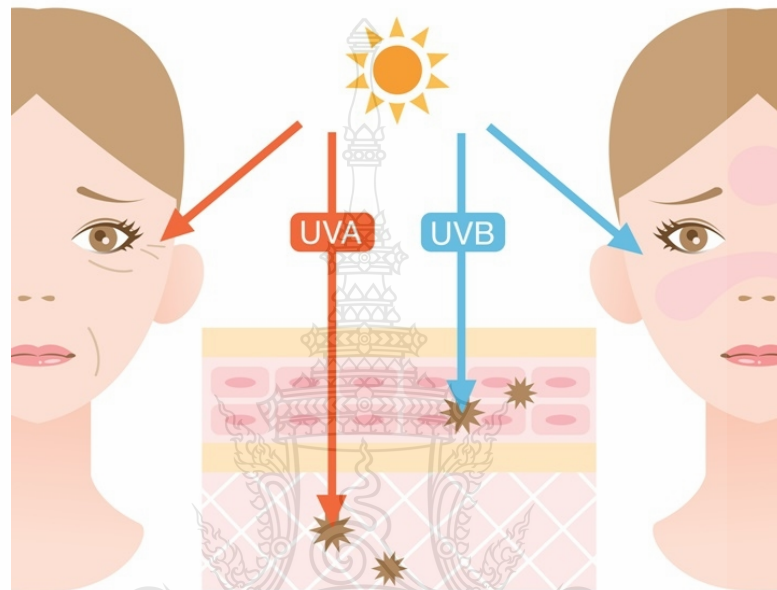
6) การเปลี่ยนแปลงทางภูมิแพ้ที่ผิวหนัง โดยรังสีอัลตราไวโอเล็ตเป็นตัวทำให้เกิดการเปลี่ยนแปลงรูปร่างและหน้าที่ของเซลล์ที่ทำหน้าที่เกี่ยวกับภูมิแพ้ของผิวหนัง จึงอาจทำให้เกิดการระคายเคืองหรือเกิดการติดเชื้อที่ผิวหนังได้ง่ายขึ้น รวมไปถึงการเพิ่มอัตราการเกิดมะเร็งที่ผิวหนังอีกด้วย

ส่วนปฏิกริยาของผิวหนังต่อรังสีอัลตราไวโอเล็ตระยะหลังอาจสามารถเกิดปฏิกริยาได้ 3 อย่าง ได้แก่

1) ผิวหนังพองง่าย ซึ่งเกิดจากการที่ได้สัมผัสกับแสงแดดเป็นระยะเวลานานและถูกสะสม

2) ผิวแก่เหี่ยวยุ่น ซึ่งโดยธรรมชาติเมื่ออายุเพิ่มมากขึ้นผิวมักจะเกิดการเหี่ยวยุ่น มีริ้วรอย หยาดกร้าน รวมถึงผิวไม่มีความชุ่มชื้น แต่อย่างไรก็ตามหากถูกแสงแดดมากเกินไป ก็สามารถทำให้ผิวหนังเหี่ยวยุ่นได้เช่นกัน

3) ฝ้า คือรอยสีน้ำตาลที่ไม่มีความสม่ำเสมอของผิวหนัง ซึ่งเกิดจากการที่ผิวหนังสัมผัสกับแสงแดดและถูกสะสมเป็นระยะเวลาานาน



ภาพที่ 2.5 อันตรายของรังสีอัลตราไวโอเล็ตต่อผิวหนัง

ที่มา: <http://www.ladybuffet.com/articles/42342975/>

## 2.4 อาชีพ

### 2.4.1 ความหมายและประเภทของอาชีพ

อาชีพ หมายถึง การทำงานที่มีคนรวมตัวกันเป็นกลุ่ม ๆ และอยู่ในองค์กรหรือหน่วยงานต่าง ๆ [19] นอกจากนี้ ประสิทธิ์ คำภีร์ [20] ยังให้คำจำกัดความของอาชีพไว้ว่า “อาชีพ หมายถึง การรู้จักทำมาหากินเพื่อเลี้ยงชีพ ทำงานโดยสุจริต ไม่ผิดศีลธรรม และเป็นการส่งเสริมคุณธรรม วัฒนธรรม”

โดยในการที่จะเลือกประกอบอาชีพนั้น ต้องมีการสำรวจและทำความรู้จักกับตัวเองว่า มีความถนัด หรือ ชอบในด้านใด และจะต้องมีคุณสมบัติที่สอดคล้องกับหน่วยงานหรือองค์กรนั้น ๆ ด้วย เช่น ประสบการณ์ หรือ คุณวุฒิ เป็นต้น ซึ่งในปัจจุบันมีอาชีพที่หลากหลายมาก แต่อย่างไรก็ตามซึ่ง

นิรันดร์ จุลทรัพย์ [19] ได้แบ่งประเภทของอาชีพตาม กองส่งเสริมการมีงานทำ กรมการจัดหางาน และ กระทรวงแรงงาน ออกเป็น 2 ประเภทใหญ่ ๆ ได้แก่

1) อาชีพในระบบ หมายถึง อาชีพที่เป็นองค์กร หรือมีโครงสร้างระบบ การบริหารงานที่ชัดเจน มีการคัดเลือกเข้าทำงาน มีสัญญาการว่าจ้างงานที่แน่นอน มรการกำหนด ตำแหน่งงานหรือหน้าที่การรับผิดชอบต่อการทำงานที่ชัดเจน รวมไปถึงการมีสวัสดิการและประกันสังคม โดยประเภทอาชีพในระบบมักเป็นอาชีพที่เกี่ยวกับงานราชการหรือหน่วยงานของภาครัฐ หรืองานใน สถานประกอบการต่าง ๆ เป็นต้น

2) อาชีพนอกระบบ หมายถึง อาชีพที่มีโครงสร้างของการบริหารงานที่ ไม่เป็นระบบที่ชัดเจนหรือไม่เป็นทางการ ไม่มีสวัสดิการหรือไม่ได้รับสิทธิประกันสังคม รวมถึงไม่ได้รับ สิทธิในการให้บริการหรือสวัสดิการของรัฐได้ โดยประเภทอาชีพในระบบมักเป็นอาชีพที่เกี่ยวกับผู้ที่ ประกอบอาชีพอิสระ เกษตรกรรม หรืองานที่รับไปทำที่บ้าน ไม่มีสถานที่ทำงานเป็นหลักแหล่ง เป็นต้น

#### 2.4.2 ปัจจัยที่เป็นสาเหตุของการเกิดโรคผิวหนังจากการทำงาน

ลักษณะ เหล่าเกียรติ [21] ได้กล่าวถึงคำนิยามของโรคผิวหนังจากการประกอบ อาชีพไว้ว่า “โรคผิวหนังจากการประกอบอาชีพ หมายถึง โรคต่าง ๆ ที่ปรากฏให้เห็นบนผิวหนังปกติ อัน เกิดจากการประกอบอาชีพ เป็นความผิดปกติที่เกิดขึ้นเนื่องจากการทำงานที่พบได้บ่อยในประเทศไทย” ซึ่งการเกิดโรคผิวหนังจากการประกอบอาชีพนั้นเกิดได้จากปัจจัยหลัก ๆ อยู่ 3 ปัจจัย ตามที่ ลักษณะ เหล่าเกียรติ ได้กล่าวไว้ คือ

1) ปัจจัยทางการภาพ (ความร้อน ความเย็น และคลื่นรังสีต่าง ๆ) โดย ลักษณะของอาการที่เกิดจากปัจจัยนี้ จะทำให้เกิดผิวไหม้แดด ผิวแห้งกร้าน ผด หรือผิวเหี่ยวก่อนวัย เป็นต้น

2) ปัจจัยทางเคมี โดยลักษณะของอาการที่เกิดจากปัจจัยนี้ จะทำให้ ผิวหนังเกิดการอักเสบ ระคายเคือง รวมไปถึงทำให้เม็ดสีผิวผิดปกติจากการสัมผัสกับสารเคมี

3) ปัจจัยทางชีวภาพ โดยลักษณะของอาการที่เกิดจากปัจจัยนี้ ทำให้ ผิวหนังเกิดการติดเชื้อจากแบคทีเรีย เชื้อรา หรือโรคผิวหนังที่เกิดจากไวรัส เป็นต้น ซึ่งทั้งนี้เกิดจะขึ้นอยู่กับ ลักษณะของสถานที่ทำงาน



## 2.5 ภูมิศาสตร์ของประเทศไทย

ยุพดี เสตพรรณ [22], อรณูช ทะละวงษ์ [23] และ วรณีย์ พุทธาวุฒิไกร [24] ได้กล่าวถึงลักษณะทางภูมิศาสตร์ของประเทศไทยไว้ว่า ประเทศไทยเป็นประเทศที่ตั้งอยู่ในตอนกลางของคาบสมุทรอินโดจีน ซึ่งอยู่ในภูมิภาคของเอเชียตะวันออกเฉียงใต้ที่ระหว่างละติจูด 5 องศา 37 ลิปดาเหนือ ถึง 20 องศา 27 ลิปดาเหนือ และลองจิจูด 97 องศา 22 ลิปดาตะวันออก ถึง 105 องศา 37 ลิปดาตะวันออก ส่งผลให้ประเทศไทยมีพื้นที่ซึ่งเป็นบริเวณที่มีโอกาสได้รับพลังงานจากแสงพระอาทิตย์จัดเป็นประเทศเขตร้อนชื้น (Humid Tropic) เหมาะแก่การทำอาชีพทางการเกษตร

โดยประเทศไทยจะถูกแบ่งเขตภูมิภาคออกเป็น 6 ภูมิภาคตามลักษณะทางภูมิศาสตร์ [23] ได้แก่

### 2.5.1 ภาคเหนือ

ภาคเหนือประกอบไปด้วย 9 จังหวัด ตามที่ วรณีย์ พุทธาวุฒิไกร [24] ได้กล่าวเอาไว้ ได้แก่ “แม่ฮ่องสอน เชียงใหม่ เชียงราย ลำพูน ลำปาง แพร่ น่าน อุตรดิตถ์ และพะเยา” โดยพื้นที่ส่วนใหญ่เป็นแนวภูเขา และเป็นต้นกำเนิดของแม่น้ำปิง วัง ยม น่าน และมีพื้นที่ประมาณ 93,691 ตารางกิโลเมตร [23]

ภาคเหนือมักมีสภาพภูมิอากาศที่หนาวเย็นมากกว่าภูมิภาคอื่น ๆ จึงเหมาะแก่การเกษตรในการปลูกพืชผักและผลไม้ที่ชอบอากาศเย็น เช่น หอม ยาสูบ ลิ้นจี่ สตอเบอร์รี่ เป็นต้น นอกจากนี้ยังมีงานหัตถกรรมที่สำคัญและได้รับความนิยม อาทิเช่น การทอผ้าฝ้าย เพาะผลิตรองเท้าเงิน การทำเครื่องปั้นดินเผา เป็นต้น [22]

### 2.5.2 ภาคกลาง

ภาคกลางประกอบไปด้วย 22 จังหวัด ตามที่ วรณีย์ พุทธาวุฒิไกร [24] ได้กล่าวเอาไว้ ได้แก่ “กรุงเทพมหานคร นครปฐม สมุทรสาคร สมุทรปราการ สมุทรสงคราม สุโขทัย เพชรบูรณ์ นทบุรี พระนครศรีอยุธยา ปทุมธานี พิษณุโลก พิจิตร สุพรรณบุรี สิงห์บุรี นครนายก อ่างทอง สระบุรี ลพบุรี อุทัยธานี ชัยนาท นครสวรรค์ และกำแพงเพชร” โดยพื้นที่ส่วนใหญ่ของภาคกลางนั้นเป็นพื้นที่ราบลุ่มแม่น้ำ มีพื้นที่ประมาณ 91,795 ตารางกิโลเมตร [23] ซึ่งที่ราบลุ่มแม่น้ำของภาคกลางนั้นจะมีแม่น้ำที่สำคัญที่ไหลผ่าน คือ แม่น้ำเจ้าพระยาและสาขา แม่น้ำปิง วัง ยม น่าน เป็นต้น [24]

ภาคกลางนั้นเป็นบริเวณที่มีสภาพอากาศที่ร้อนและมีปริมาณของฝนน้อย แต่ในทางกลับกันก็เป็นบริเวณที่มีดินที่ดี และมีชลประทานที่ดีกว่าภาคอื่น ๆ จึงเหมาะแก่การเพาะปลูกข้าวเจ้า ข้าวโพด ถั่ว หรือ ผัก [22]

### 2.5.3 ภาคตะวันออกเฉียงเหนือ

ภาคตะวันออกเฉียงเหนือประกอบไปด้วย 19 จังหวัด ตามที่ วรรณิ พุทธาภูมิไกร [24] ได้กล่าวเอาไว้ ได้แก่ “หนองคาย เลย อุตรธานี หนองบัวลำภู ขอนแก่น สกลนคร นครพนม มุกดาหาร อำนาจเจริญ กาฬสินธุ์ มหาสารคาม ร้อยเอ็ด อุบลราชธานี ยโสธร ศรีสะเกษ บุรีรัมย์ ชัยภูมิ สุรินทร์ และนครราชสีมา” และต่อมาในปี 2554 ได้มีการจัดตั้งจังหวัดขึ้นมาใหม่อีกหนึ่งจังหวัดคือ จังหวัดบึงกาฬ ที่ได้แยกออกมาจากการปกครองของจังหวัดหนองคาย จึงทำให้จังหวัดในภาคตะวันออกเฉียงเหนือมีทั้งสิ้น 20 จังหวัด [25] เป็นบริเวณที่มีเทือกเขาและแอ่งกระทะ มีพื้นที่ประมาณ 168,854.0 ตารางกิโลเมตร ซึ่งเป็นภูมิภาคที่มีประชาชนมากที่สุด และมีพื้นที่ใหญ่เกือบ 1 ใน 3 ของประเทศ [23]

ภาคตะวันออกเฉียงเหนือสภาพภูมิอากาศที่ค่อนข้างแห้งแล้ง แต่เมื่อถึงฤดูมรสุมก็ทำให้เกิดน้ำท่วมได้เนื่องจากเป็นบริเวณที่พื้นที่เป็นแอ่งกระทะ จึงเหมาะแก่การทำการปลูกพืช เช่น มันสำปะหลัง ฝ้าย อ้อย เป็นต้น เพราะมีสภาพดินที่ไม่อุ้มน้ำหรือดินทราย [22]

#### 2.5.4 ภาคตะวันตก

ภาคตะวันตกประกอบไปด้วย 5 จังหวัด ตามที่ วรรณิ พุทธาภูมิไกร [24] ได้กล่าวเอาไว้ ได้แก่ “ตาก กาญจนบุรี ราชบุรี เพชรบุรี และประจวบคีรีขันธ์” ซึ่งพื้นที่ส่วนใหญ่ของภาคตะวันตกเป็นเทือกเขาสูงที่ทอดยาวมาจากทางภาคเหนือและมีราบลุ่มน้ำแคบ ๆ มีพื้นที่ประมาณ 53,678,9 ตารางกิโลเมตร [23]

ยุพดี เสตพรธ [22] กล่าวไว้ว่า “ภาคตะวันตกเป็นบริเวณที่ค่อนข้างแห้งแล้งเนื่องจากเป็นเขตที่อยู่ด้านหลังภูเขา เมื่อมรสุมตะวันตกเฉียงใต้พัดมา ทำให้ฝนตกทางด้านซิดทะเล ผู้คนจึงทำไร่อ้อย สำปะหลัง ฝ้าย สับปะรด เป็นต้น”

#### 2.5.5 ภาคตะวันออก

ภาคตะวันออกประกอบไปด้วย 7 จังหวัด ตามที่ วรรณิ พุทธาภูมิไกร [24] ได้กล่าวเอาไว้ ได้แก่ “ปราจีนบุรี สระแก้ว ฉะเชิงเทรา ชลบุรี ระยอง จันทบุรี และตราด เป็นพื้นที่ที่ประกอบไปด้วยเขาเตี้ยๆ และเป็นที่ยราบลูกคลื่น” มีพื้นที่ประมาณ 34,380.5 ตารางกิโลเมตร [22]

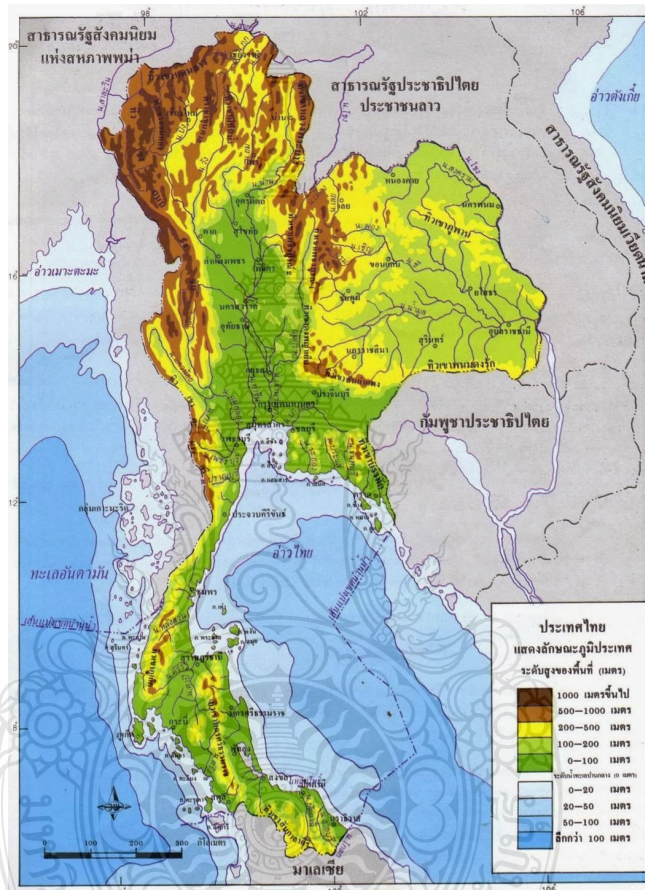
เนื่องจากภาคตะวันออกเป็นบริเวณที่รับมรสุมตะวันตกเฉียงใต้ จึงทำให้เป็นภูมิภาคที่มีฝนตกชุกคล้ายกับทางภาคใต้ [22] โดยประชาชนคนส่วนใหญ่ที่อาศัยอยู่ในภูมิภาคนี้มักทำอาชีพสวนผลไม้ ปลูกทุเรียน เงาะ ทำสวนยางพารา หรือสวนมะพร้าว เป็นต้น [24]

#### 2.5.6 ภาคใต้

ภาคใต้ประกอบไปด้วย 14 จังหวัด ตามที่ วรรณิ พุทธาภูมิไกร [24] ได้กล่าวเอาไว้ ได้แก่ “ชุมพร ระนอง พังงา กระบี่ ภูเก็ต ตรัง สตูล สุราษฎร์ธานี นครศรีธรรมราช สงขลา ปัตตานี ยะลนราธิวาส และพัทลุง” มีพื้นที่ประมาณ 70,715.2 ตารางกิโลเมตร ซึ่งตอนบนของภาคเป็นเทือกเขา

และมีที่ราบฝั่งติดกับทะเลทั้งสองด้าน [22] โดยพื้นที่ทางด้านฝั่งตะวันออกจะติดกับทะเลอ่าวไทย และพื้นที่ทางด้านฝั่งตะวันตกจะติดกับทะเลอันดามัน

เนื่องจากทั้งชายฝั่งตะวันออกและตะวันตกของภาคใต้เป็นบริเวณที่ได้รับอิทธิพลของลมมรสุมมากที่สุด จึงทำให้เป็นภูมิภาคที่มีฝนตกชุกมากที่สุดของประเทศ โดยประชากรส่วนใหญ่มักทำอาชีพทางการเกษตร เช่น ทำสวนยาพารา ปลูกผลไม้ ปาล์มน้ำมัน หรือทำการประมง เป็นต้น [24]



ภาพที่ 2.6 แผนที่ประเทศไทยที่แสดงลักษณะภูมิประเทศ

ที่มา : <https://sites.google.com/site/suvareracha/home/laksana-phumiprathes-thiy>

## 2.6 ระบบสี CIELAB

ระบบสี LAB เป็นระบบสีที่สอดคล้องกับการมองเห็นของมนุษย์ และเป็นระบบสีที่ถูกใช้กันอย่างแพร่หลาย เพราะมีระดับสีที่มีความสม่ำเสมอ ถูกพัฒนาโดย CIE (Commission Internationale d'Eclairge) ในปี 1976 นอกจากนี้ CIELAB เป็นระบบสีแบบ 3 มิติ ที่บอกถึงค่าความสว่างและค่าความเป็นสี โดยสามารถคำนวณหาค่าต่าง ๆ เหล่านี้ได้จากสมการที่ 2.1, 2.2 และ 2.3 [26]

$$L^* = 116 \left( \frac{Y}{Y_0} \right)^{1/3} - 16 \quad (2.1)$$

$$a^* = 500 * \left[ \left( \frac{X}{X_0} \right)^{1/3} - \left( \frac{Y}{Y_0} \right)^{1/3} \right] \quad (2.2)$$

$$b^* = 200 * \left[ \left( \frac{Y}{Y_0} \right)^{1/3} - \left( \frac{Z}{Z_0} \right)^{1/3} \right] \quad (2.3)$$

เมื่อ  $L^*$  คือ ค่าความสว่าง

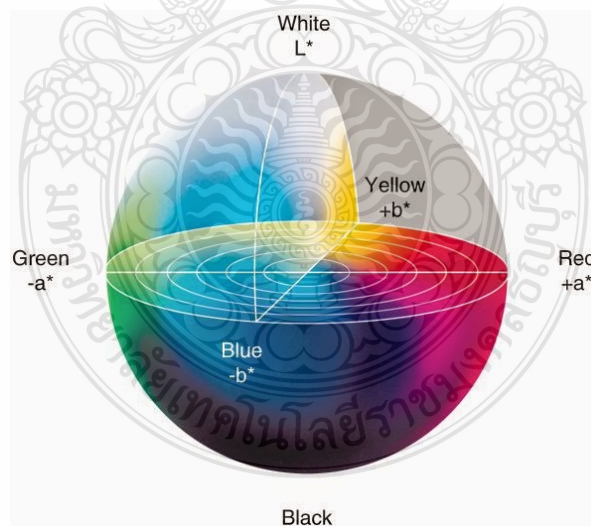
$a^*$  คือ ค่าความเป็นสี เมื่อ  $a^*$  เป็นบวก หมายถึง สีแดง

$a^*$  เป็นลบ หมายถึง สีเขียว

$b^*$  คือ ค่าความเป็นสี เมื่อ  $b^*$  เป็นบวก หมายถึง สีเหลือง

$b^*$  เป็นลบ หมายถึง สีน้ำเงิน

ในการคำนวณหาค่าความสว่างและค่าความเป็นสีของระบบสี CIELAB จะใช้ XYZ tristimulus ในการคำนวณ และค่า  $X_0$ ,  $Y_0$  และ  $Z_0$  คือค่า XYZ tristimulus ของวัตถุสีขาวมาตรฐาน



ภาพที่ 2.7 CIELAB Color space

ที่มา: <https://xn--12cf0dj0aaufr9l0ai2m6ab4p.blogspot.com/2014/06/lab.html>

## 2.7 เครื่องมือวัดค่าสี

เครื่องมือที่ใช้ในการวัดค่าสีในปัจจุบันมีหลากหลายแบบและสามารถเลือกการวิเคราะห์ค่าสีได้หลากหลายเช่นกัน จึงทำให้การเลือกใช้เครื่องมือจะขึ้นอยู่กับวัตถุประสงค์ในการใช้วัดค่าสีนั้น ๆ โดยเครื่องมือการวัดค่าสีนั้นจะสามารถแบ่งออกเป็นสองประเภทได้แก่

2.7.1 เครื่องมือวัดค่าสีแบบสัมผัสส่ววัตถุ เป็นเครื่องมือที่ต้องอาศัยการสัมผัสกับวัตถุ และจะใช้พลังงานแสงในตัวเครื่องมือในการวัดค่าสี จึงทำให้ความแตกต่างของค่าสีที่ได้นั้นจะขึ้นอยู่กับ การตั้งค่าแสงภายในตัวเครื่อง

2.7.2 เครื่องมือวัดค่าสีแบบไม่สัมผัสส่ววัตถุ เป็นเครื่องมือที่ไม่ต้องอาศัยการสัมผัสกับวัตถุ ไม่มีพลังงานแสงในตัวเครื่องมือ จึงจำเป็นต้องใช้แสงภายนอกมาใช้ในการวัดค่าสี

เครื่องมือที่ใช้วัดค่าสีผิวในงานวิจัยส่วนใหญ่จะเป็นเครื่องมือประเภทสัมผัสกับผิว เช่น Konica Minolta CM-2600d spectrophotometer, CM-700d spectrophotometer, X-Rite SP62 spectrophotometer, X-Rite Ci62 spectrophotometer เป็นต้น และแม้ว่าจะมีบางงานวิจัยที่ใช้ เครื่องมือที่ไม่สัมผัสกับผิว เช่น Telespectroradiometer, Chromasphere เป็นต้น อย่างไรก็ตาม เครื่องมือประเภทสัมผัสส่ววัตถุอาจไม่เหมาะสมต่อการวัดค่าสีผิว เนื่องจากอาจมีปัจจัยด้านแรงกดขณะทำการวัดสีผิวที่ทำให้สีผิวมีการเปลี่ยนแปลงได้ ดังนั้นเครื่องมือประเภทไม่สัมผัสส่ววัตถุจึงเหมาะสมต่อการวัดค่าสีผิวมากกว่า แต่เครื่องมือประเภทนี้ในงานวิจัยส่วนใหญ่จำเป็นต้องมีการควบคุมสถานะแสงภายนอกที่ใช้ในการวัดค่าสีผิว และอาจไม่สะดวกสำหรับการเคลื่อนย้ายเครื่องมือหากต้องการทำการทดลองภายนอกห้องปฏิบัติการ

จากที่กล่าวมาข้างต้น ผู้วิจัยจึงเลือกใช้เครื่องมือ Konica Minolta Chroma Meter CS-100A เป็นเครื่องมือที่วัดสีและความสว่างที่ใช้งานง่ายและมีความแม่นยำสูง สามารถวัดให้สถานะแสงจากแหล่งกำเนิดแสงต่าง ๆ ได้ และสามารถพกพาได้ พัฒนาโดยบริษัท Konica Minolta [27] โดยมีข้อมูลจำเพาะของเครื่องมือชนิดนี้ดังตารางที่ 2.1

ตารางที่ 2.1 ข้อมูลจำเพาะของเครื่องมือยี่ห้อ Konica Minolta รุ่น Chroma Meter CS-100A

Type	SLR spot colorimeter for measuring light-source and surface luminance and chromaticity
Acceptance angle	1°
Optical system	85mm f/2.8 lens; SLR viewing system; flare factor less than 1.5%
Angle of view	9° with 1° measurement area indication
Focusing distance	1014mm (40 in.) to infinity
Receptors	3 silicon photocells filtered to detect primary stimulus values for red, green, and blue light Spectral response Closely matches CIE 1931 Standard Observer curves
Response time	FAST: Sampling time: 0.1s, Time to display: 0.8 to 1.0s; SLOW: Sampling time: 0.4s, Time to display: 1.4 to 1.6s Luminance units: cd/m <sup>2</sup> or fL (switchable)
Measuring range	FAST: 0.01 to 299,000cd/m <sup>2</sup> (0.01 to 87,530fL); SLOW: 0.01 to 49,900cd/m <sup>2</sup> (0.01 to 14,500fL)
Repeatability	Luminance (Y): ±0.2% of reading ±1 digit Chromaticity (x,y): FAST: Y 100cd/m <sup>2</sup> or above: ±0.001; 48.1 to 99.9cd/m <sup>2</sup> : ±0.002; Below 48.1cd/m <sup>2</sup> : Below measurement range SLOW: Y 25.0cd/m <sup>2</sup> or above: ±0.001; 12.0 to 24.9cd/m <sup>2</sup> : ±0.002; Below 12.0cd/m <sup>2</sup> : Below measurement range (Measurement subject: Illuminant A)
Target value	1; set by measurement or numerical input

ตารางที่ 1.1 ข้อมูลจำเพาะของเครื่องมือยี่ห้อ Konica Minolta รุ่น Chroma Meter CS-100A (ต่อ)

Measurement modes	Absolute color: Yxy; Color difference: $\Delta(Yxy)$
Display	External: LCD; 3 values (Y, x, and y) of 3 digits each with additional indications Viewfinder: 3-digit LCD (showing luminance value y ) with LED backlight
Data communication	RS-232C; baud rate: 4800bps
External control	Measurement process can be started by external device connected to data output terminal
Power source	One 9V battery; Power can also be supplied via data output terminal
Operating temperature/humidity range	0 to 40°C, relative humidity 85% or less (at 35°C) with no condensation
Storage temperature/humidity range	-20 to 55°C, relative humidity 85% or less (at 35°C) with no condensation
Dimensions (W × H × D)	79 × 208 × 154mm (3-1/8 × 8-3/16 × 6-1/16 in.)
Weight	890g (2 lb.) without battery
Standard accessories	Lens cap; Eyepiece cap; Protective filter; ND eyepiece filter; 9V battery; Chromaticity chart; Case

ที่มา: <https://sensing.konicaminolta.asia/product/discontinued-cs-100a-color-and-luminance-meter/>



ภาพที่ 2.8 Konica Minolta Chroma Meter CS-100A

ที่มา: <https://sensing.konicaminolta.asia/product/discontinued-cs-100a-color-and-luminance-meter/>

## 2.8 งานวิจัยที่เกี่ยวข้อง

K. Xiao และคณะ [3] ได้ทำการศึกษาลักษณะสีผิวของความแตกต่างทางชาติพันธุ์ มีวัตถุประสงค์เพื่อหาปริมาณความแตกต่างของโทนสีผิวภายในและระหว่างบุคคล โดยใช้กลุ่มตัวอย่างจากคน 4 ชาติพันธุ์ ได้แก่ คนอังกฤษ คนจีน คนอิรัก และคนไทย จำนวนทั้งหมด 960 คน และได้วัดสีผิวทั้งหมด 4 ตำแหน่งของร่างกาย ได้แก่ หน้าผาก แก้ม หลังมือ และใต้แขน เขาพบว่าความแตกต่างของความสว่างและความเนสีเหลืองของผิว โดยส่วนใหญ่มีผลมาจากชาติพันธุ์ แต่ความแตกต่างของความเป็นสีแดงของผิว มีผลมาจากตำแหน่งต่าง ๆ ของร่างกายที่ได้ทำการวัดสีผิว

Kumiko Kikuchi และคณะ [5] ได้ทำการศึกษาเกี่ยวกับช่วงระยะเวลาที่ทำให้สีผิวบนใบหน้าของผู้หญิงญี่ปุ่นที่มีการเปลี่ยนแปลงไป มีวัตถุประสงค์เพื่อสำรวจการเปลี่ยนแปลงของสีผิวบนใบหน้าของผู้หญิงญี่ปุ่นในระยะเวลา 25 ปี และยังมี การสำรวจปัจจัยที่เกี่ยวข้องกับเม็ดสีของผิวหน้าที่ส่งผลให้สีผิวมีการเปลี่ยนแปลง โดยสำรวจจากผู้หญิงญี่ปุ่น 3181 คน ที่มีอายุตั้งแต่ 20-29 ปี พร้อมทั้งมีการเก็บข้อมูลตั้งแต่ปี 1990-2015 สำหรับการสำรวจปัจจัยการเปลี่ยนแปลงของเม็ดสีของผิวหน้า ได้คำนวณความเข้มข้นของสารฮีโมโกลบินและเมลานินจากข้อมูลสเปกตรัมที่ได้จากการวัดสีผิว และพบว่าสีผิวมีการเปลี่ยนแปลงไป โดยผิวมีความสว่างและความเป็นสีเหลืองของผิวที่มากขึ้นในช่วงปี 1990 ถึงช่วงปี 2001 และความเป็นสีแดงของผิวที่เพิ่มขึ้นในช่วงปี 2005 ถึงช่วงปี 2015 นอกจากนี้ความเข้มข้นของสารฮีโมโกลบินมีการลดลงอย่างมีนัยสำคัญในช่วงปี 1991 ถึงช่วงปี 2001 ในขณะที่ความเข้มข้นของสารเมลานินมีการลดลงอย่างมีนัยสำคัญในช่วงปี 2001 ถึงช่วงปี 2015



Jean de Rigal และคณะ [6] ได้ทำการศึกษาและพัฒนาเครื่องมือที่เรียกว่า แอบวัดสีผิว มีวัตถุประสงค์เพื่อสร้างมาตรฐานการประเมินสีผิวจากการสร้างเครื่องมือที่ใช้ในการประเมินแบบใหม่ขึ้นมา ซึ่งเป็นเครื่องมือที่ครอบคลุมสีผิวของคนทั่วโลก ใช้วิธีการวัดสีผิวของคนชาติต่าง ๆ ภายใต้เงื่อนไขและสถานะที่เหมือนกัน และใช้ข้อมูลของสเปกตรัมของสีผิวที่วัดได้มาสร้างเป็นเครื่องมือประเมินสีผิวแบบใหม่นี้ พร้อมทั้งให้แพทย์ผู้เชี่ยวชาญทำการทดสอบประสิทธิภาพของเครื่องมือนี้ด้วยการประเมินสีผิวของคนชาติต่าง ๆ โดยได้ผลสรุปพบว่า แอบวัดสีผิวที่เขาได้พัฒนาขึ้นมาสามารถใช้งานได้ง่ายและมีประสิทธิภาพ อีกทั้งยังสามารถนำไปทดสอบประสิทธิภาพของผลิตภัณฑ์เพิ่มความขาวของผิว โดยการนำไปประเมินสีผิวหลังการใช้ผลิตภัณฑ์ได้อีกด้วย

Kihwan Han และคณะ [8] ได้ทำการศึกษาเกี่ยวกับสีผิวของคนเกาหลีโดยประเมินจากปัจจัยที่ส่งผลต่อสีผิว ซึ่งมีวัตถุประสงค์เพื่อรวบรวมชุดข้อมูลสีผิวของคนเกาหลี และสำรวจหาความสัมพันธ์ของการเกิดสีผิว โดยใช้คนเกาหลีจำนวน 600 คน ที่มาจาก 3 เมืองในประเทศเกาหลี และทำการวัดสีผิวที่ตำแหน่งบนร่างกาย 12 ตำแหน่ง พบว่าปัจจัยที่มีผลต่อความสว่างของสีผิวคือ เพศ สถานที่ทำงาน และการอาบแดด ปัจจัยที่มีผลต่อความเป็นสีแดงของผิวคือ เพศ สถานที่ทำงาน และพฤติกรรมสูบบุหรี่ และปัจจัยที่มีผลต่อความเป็นสีเหลืองของผิวคือ การอาบแดดและอายุ

Jean de Rigal และคณะ [9] ได้ทำการศึกษาเรื่องผลของอายุที่มีต่อสีผิวและความเป็นเนื้อเดียวกันของสีในคนสีกลุ่มชาติพันธุ์ ซึ่งมีวัตถุประสงค์เพื่อวัดและวิเคราะห์สีผิวและความเป็นเนื้อเดียวกันของสีผิวในกลุ่มชาติพันธุ์ต่าง ๆ 4 กลุ่มที่อาศัยอยู่ในสภาพแวดล้อมในท้องถิ่นเดียวกัน และเพื่อตรวจสอบผลกระทบของอายุที่มีต่อลักษณะสีผิว โดยทดลองกับผู้หญิงจำนวน 385 คน จากคนสีชาติพันธุ์ ได้แก่ คนแอฟริกัน-อเมริกัน คนคอเคเซียน คนจีน และคนเม็กซิกัน ที่มีอายุอยู่ในช่วง 19-87 ปี และอาศัยอยู่ในเมืองเดียวกัน จากนั้นทำการวัดสีผิว 2 จุด คือ หน้าผากและแก้ม ผลพบว่า คนแอฟริกัน-อเมริกัน มีความแตกต่างของสีผิวมากที่สุดเมื่อเทียบกับสามชาติพันธุ์ที่อาศัยอยู่เมืองเดียวกัน และยังพบว่าอายุเป็นปัจจัยที่ทำให้เกิดการเปลี่ยนแปลงของสีผิวและความเป็นเนื้อเดียวกันของสีผิว

วรรณรัตน์ วิรัชกุล [7] ได้ทำการศึกษาเรื่องลักษณะเฉพาะเชิงสเปกตรัมของสีผิวคนไทย ทำการทดลองโดยการวัดค่าสีผิวของคนไทยจากตำแหน่งต่าง ๆ บนร่างกาย พร้อมทั้งวิเคราะห์ปัจจัยที่มีความเกี่ยวข้องกับสีผิว อาทิเช่น อายุ เพศ ภูมิภาค เป็นต้น ผลพบว่า แนวโน้มของสีผิวคนไทยมีสีผิวค่อนข้างไปทางสีเหลือง แต่มีความหลากหลายทางด้านความสว่างของผิว นอกจากนี้ยังพบว่าปัจจัยที่เกี่ยวข้องกับอายุ เพศ ตำแหน่งบนร่างกาย และการทำกิจกรรมกลางแจ้ง มีผลทำให้สีผิวมีการเปลี่ยนแปลงไป

Simon Alaluf และคณะ [28] ทำการศึกษาเกี่ยวกับผลกระทบของเมลานินในการวัดสีผิวของมนุษย์ โดยการเปลี่ยนเทียบค่าสี CIELAB กับปริมาณของเมลานินทางชีวเคมีองค์ประกอบของเม

ลานินและขนาดของเมลานินโซมในผิวหนังของคน 5 เชื้อชาติ ได้แก่ คนยุโรป (10 คน) คนจีน (8 คน) คนแอฟริกัน (10 คน) คนอินเดีย (10 คน) และคนแอฟริกัน (10 คน) วัดสีผิวบนร่างกาย 2 จุด คือ หลังแขนที่เป็นบริเวณที่ถูกแสงแดดมาก และต้นแขนที่เป็นบริเวณที่ถูกแสงแดดน้อย โดยใช้เครื่องมือ Chroma meter CR-10 ของบริษัท Konica Minolta ซึ่งผลจากการวิจัยนี้พบว่า ในแต่ละเชื้อชาติจะมีปริมาณของเมลานินที่ไม่เหมือนกัน ซึ่งส่งผลทำให้สีผิวของแต่ละเชื้อชาติมีความแตกต่างกัน ปริมาณของเมลานินเป็นปัจจัยหลักที่มีผลทำให้ค่าความสว่างของผิว ( $L^*$ ) มีความเปลี่ยนแปลง และยังเป็นปัจจัยทำให้ค่าความเป็นสีเหลืองของผิว ( $b^*$ ) เพิ่มขึ้น นอกจากนี้ขนาดของเมลานินโซมยังมีผลทำให้ความสว่างของผิวมีความแตกต่างกันอย่างมีนัยสำคัญอีกด้วย

Mengmeng Wang และคณะ [29] ได้ทำการศึกษาเกี่ยวกับสำรวจความแปรปรวนในการวัดสีผิว มีวัตถุประสงค์เพื่อพิสูจน์ความแปรปรวนของการวัดสีผิวสำหรับเครื่องมือวัดสีผิว 2 ชนิด โดยมี 2 การทดลอง ซึ่งการทดลองที่ 1 ใช้ Konica Minolta CM-700d spectrophotometer กำหนดขนาดของรูวัดของเครื่อง 2 ขนาด ได้แก่ ขนาดเล็ก (3 มม.) และขนาดกลาง (8 มม.) และวัด 2 แรงกด คือ แรงกดต่ำ (Low pressure) และแรงกดแรง (High pressure) และใช้เครื่อง Photo Research PR650 telespectroradiometer ได้กำหนดระยะทางในการวัดอยู่ 2 ระยะ ได้แก่ 575 มม. และ 775 มม. และทำการวัด 5 ครั้ง ต่อผู้ร่วมทดลองหนึ่งคน ใช้คน 11 คน จากสามชาติพันธุ์ และวัด 2 ตำแหน่งของร่างกาย และปัจจัยในการวิเคราะห์ คือ ความสามารถในการวัดสีซ้ำ และการตั้งค่าของเครื่องมือ ที่อาจจะมีผลต่อความแปรปรวนของสีผิว ส่วนการทดลองที่ 2 มีวัตถุประสงค์เพื่อพิสูจน์ว่าชาติพันธุ์และตำแหน่งของร่างกายมีผลต่อความแปรปรวนของสีผิวหรือไม่ โดยการใช้ Konica Minolta CM-700d spectrophotometer ได้กำหนดขนาดของรูวัดของเครื่องเพียงขนาดเดียวคือ ขนาดเล็ก และแรงกดต่ำ และใช้เครื่อง Photo Research PR650 telespectroradiometer ในระยะทางการวัดที่ 575 มม. โดยทำการวัดคน 4 ชาติพันธุ์ จำนวน 151 คน และทำการวัด 5 ตำแหน่งของร่างกาย ได้แก่ หน้าผาก คอ แก้มล่าง แก้มบน และหลังมือ โดยมีปัจจัยในการวิเคราะห์ผลเช่นเดียวกับการทดลองที่ 1 ผลสรุปว่าเครื่องมือทั้งสองชนิดเป็นปัจจัยที่ทำให้สีผิวมีการเปลี่ยนแปลง แต่จะเปลี่ยนแปลงมากหรือน้อยจะขึ้นอยู่กับ การตั้งค่าของเครื่องมือ และตำแหน่งของร่างกายเมื่อทำการวิเคราะห์ตามปัจจัยทั้งสองแล้ว สีผิวจะมีความเปลี่ยนแปลงหรือแปรปรวนมากกว่าความแตกต่างของเชื้อชาติ

Ross D. Whitehead และคณะ [30] ทำการศึกษาเกี่ยวกับเรื่องการบริโภคผักและผลไม้ที่ทำให้สีผิวมีความเปลี่ยนแปลง มีวัตถุประสงค์เพื่อตรวจสอบผลของการบริโภคผักและผลไม้ที่มีผลต่อสีผิวในระยะยาว และเพื่อประมาณระดับของการเปลี่ยนแปลงของอาหารที่เกี่ยวข้องกับความมีสีเหลืองของผิว ความมีสุขภาพดี หรือความน่าดึงดูด ของสีผิว โดยผู้เข้าร่วมการทดลองจำนวน 35 คน จากคนคอเคเซียน และคนเอเชียตะวันออก จะถูกวัดสีผิว 7 ตำแหน่งของร่างกายหลังการบริโภคผักและผลไม้ใน

ทุก ๆ 3 และ 6 สัปดาห์ รวมทั้งบันทึกข้อมูลของการบริโภคผักและผลไม้ของผู้เข้าร่วมการทดลองแต่ละคน ซึ่งผลพบว่า การบริโภคผักและผลไม้ที่เพิ่มขึ้นมีผลทำให้สีผิวเปลี่ยนแปลงไปและเห็นได้ชัดเจนขึ้นในคนคอเคเซียนหลังจากการบริโภคผักและผลไม้ 6 สัปดาห์

Sumit Maira, Diptendu Chatterjee และ Arup Ratan Bandyopadhyay [31] ได้ทำการศึกษาเรื่องการเปลี่ยนแปลงของสีผิวในกรณีศึกษาของภูมิภาคตะวันออก และตะวันออกเฉียงเหนือของประเทศไทย ใช้ผู้ทดลองทั้งหมด 312 คน จากสามเผ่าพันธุ์ในอินเดีย ได้แก่ Chakma (103 คน) Tripuri (104 คน) และ Bengalee Hindu (103 คน) ทำการวัดสองตำแหน่งบนร่างกาย ได้แก่ ต้นแขนด้านซ้ายและด้านขวา และหน้าผาก โดยใช้เครื่อง Konica Minolta CR-10 spectrophotometer โดยผลพบว่า ทั้งในบริเวณต้นแขน และหน้าผาก ของคนเผ่า Chakma และ Tripuri มีค่าความเป็นสีเหลืองของผิว ( $b^*$ ) ที่มีการกระจายตัวมากกว่าคนเผ่า Bengalee Hindu นอกจากนี้คนเผ่า Chakma จะมีความสว่าง ( $L^*$ ) มากที่สุด และคนเผ่า Bengalee Hindu จะมีค่าความเป็นสีแดงของผิวมากที่สุด

Lixia Wang และคณะ [32] ได้ทำการศึกษาเรื่องการจัดกลุ่มสีผิวและวิเคราะห์อิทธิพลของปัจจัยของสีผิวบนใบหน้าในประชากรคนจีน ทำการทดลองโดยใช้คนจีน 409 คนทำการวัดสีผิวบริเวณใบหน้าทั้งหมด 4 ตำแหน่งและเฉลี่ยค่าสีผิวเพื่อเป็นตัวแทนสีผิวของใบหน้าในผู้เข้าร่วมการทำลองแต่ละคน จากนั้นได้ให้ผู้สังเกตการณ์จำนวน 10 คน ประเมินและคะแนนสีผิว 5 ระดับ (1; ดำ, 2; ค่อนข้างดำ, 3; ปานกลาง, 4; ค่อนข้างขาว และ 5; ขาว) และวิเคราะห์ด้วยการหาความสัมพันธ์ระหว่างคะแนนที่ผู้สังเกตการณ์ประเมินกับการจำแนกประเภทสีผิวของ Chardon's ( $ITA^\circ$ ) โดยพบว่าการจำแนกสีผิวของ Chardon's นั้นอาจจะยังไม่เหมาะสมในการจำแนกประเภทสีผิวของคนจีน เขาจึงทำการปรับเปลี่ยนสูตรจากของ Chardon's และพบความสัมพันธ์ที่มากขึ้นเมื่อเทียบกับคะแนนที่ผู้สังเกตการณ์ประเมิน และนอกจากนี้เขายังได้ทำการวิเคราะห์ปัจจัยเรื่องเพศ อายุ ลักษณะสถานที่ทำงาน การใช้ครีมกันแดดหรือรองพื้น การสูบบุหรี่ และการดื่มแอลกอฮอล์ โดยผลพบว่า เพศหญิงมีผิวที่สว่างมากกว่าและมีความเหลืองมากกว่าเพศชาย และเมื่ออายุเพิ่มมากขึ้นจะทำให้ผิวมีความสว่างลดลง มีความสดของสีผิวมากขึ้น และมีความเหลืองของผิวมากขึ้น นอกจากนี้คนที่ไม่ได้ใช้ครีมกันแดดหรือรองพื้นจะมีโอกาสสัมผัสกับแสงแดดมากขึ้นจึงทำให้ผิวมีความสว่างน้อยกว่าคนที่ใช้ครีมกันแดดหรือรองพื้น มีความแดง และสีผิวมีความสดมากขึ้น เช่นเดียวกันกับคนที่สูบบุหรี่และดื่มแอลกอฮอล์จะมีผิวที่ดำขึ้น

ณัชชิตา ภัทรโสภณกุล [33] ได้ทำการศึกษาสีผิวคนไทย ทำการวัดสีผิวคนไทย 5 ตำแหน่งของร่างกาย ได้แก่ แก้มซ้ายและขวา หน้าปาก คาง และใต้แขน โดยใช้เครื่องมือ Konica Minolta CR-20 color reader จำนวน 107 คน แบ่งเป็นนักศึกษาและบุคลากรในคณะเทคโนโลยีสารสนเทศ มหาวิทยาลัยเทคโนโลยีราชมงคลธัญบุรีจำนวน 92 คน และ 15 คนอาศัยอยู่ในจังหวัดสระบุรี ซึ่งก่อน

การวัดสีผิว ผู้เข้าร่วมการทดลองจะต้องไม่ใช่เครื่องสำอางหรือผลิตภัณฑ์ดูแลผิว หรือต้องทำการล้างหน้าก่อนทำการทดลอง ผลการทดลองพบว่า บริเวณใต้แขนจะมีค่าความแดง (Redness;  $a^*$ ) ที่ต่ำกว่า บริเวณแก้ม หน้าผาก และคาง ในขณะที่ค่าความเหลือง (Yellowness;  $b^*$ ) ของทุกบริเวณแทบจะไม่มี ความแตกต่างกัน นอกจากนี้บริเวณใต้แขนยังมีค่าความสว่าง (Lightness;  $L^*$ ) ที่สูงที่สุด และคางเป็น บริเวณที่มีค่าความสว่างที่ต่ำที่สุด โดยเมื่อทำค่าสีผิวที่ได้จากการวัดค่าสีในแถบวัดสีผิวของ Garnier พบว่าทั้งค่าความแดง ค่าความเหลือง และค่าความสว่างของผิวมีช่วงที่กว้างกว่าสีผิวคนไทยอยู่มาก เพราะเนื่องจากแถบวัดสีผิวของ Garnier มีข้อมูลสีผิวที่ครอบคลุมตั้งแต่คนผิวขาวไปจนถึงคนผิวดำ และ ข้อมูลส่วนใหญ่มาจากสีผิวของคนยุโรป จึงทำให้ไม่มีความสอดคล้องเมื่อนำแถบวัดสีผิวนี้มาเทียบกับ ผิวคนไทย



## บทที่ 3

### วิธีการดำเนินการวิจัย

ในการศึกษาเรื่องสีและความสว่างของผิวคนไทย ได้มีวิธีการดำเนินการวิจัยดังนี้

#### 3.1 การเตรียมการทดลอง

##### 3.1.1 กลุ่มตัวอย่าง

จำนวนกลุ่มตัวอย่างที่ใช้ในการศึกษานี้มีทั้งสิ้น 400 คน โดยใช้สูตรการคำนวณของ Taro Yamane [34] ดังสมการที่ 3.1 ในการหาจำนวนกลุ่มตัวอย่างจากประชากรทั้งหมดในประเทศไทยในปี พ.ศ. 2563 จำนวน 66,534,000 คน [35]

$$n = \frac{N}{1+Ne^2} \quad (3.1)$$

เมื่อ  $n$  คือ ขนาดของกลุ่มตัวอย่างที่ต้องการ

$N$  คือ ขนาดของประชากร

$e$  คือ ความคลาดเคลื่อนของกลุ่มตัวอย่างที่ยอมรับได้

โดยแบ่งเป็นคนเชื้อชาติไทยเพศชายจำนวน 200 คน และคนเชื้อชาติไทยเพศหญิงจำนวน 200 คน ที่มีช่วงอายุตั้งแต่ 24 – 70 ปี จากนั้นได้ทำการกำหนดภูมิภาคที่กำเนิดออกเป็น 6 ภูมิภาค ได้แก่ ภาคกลาง ภาคเหนือ ภาคใต้ ภาคตะวันออก ภาคตะวันออกเฉียงเหนือ และภาคตะวันตก ซึ่งแบ่งตามลักษณะทางภูมิศาสตร์ของประเทศไทย [22,23] และได้กำหนดลักษณะของสถานที่ทำงานออกเป็น 2 ลักษณะได้แก่ ทำงานกลางแจ้ง และทำงานในร่ม

##### 3.1.2 เครื่องมือ

3.1.2.1 สำหรับการวัดสีและความสว่างของผิวได้ใช้เครื่องวัดสียี่ห้อ Konica Minolta รุ่น Chroma Meter CS-100A

3.1.2.2 สำหรับการวัดสภาวะแสงในการทดลองได้ใช้เครื่องวัดแสงยี่ห้อ Konica Minolta รุ่น Chroma Meter CL-200A



ภาพที่ 3.1 Konica Minolta Chroma Meter CL-200A

ที่มา: <https://sensing.konicaminolta.us/us/products/cl-200a-chroma-meter/>

### 3.1.3 ตำแหน่งการวัดสีผิว

กำหนดตำแหน่งการวัดค่าสีและค่าความสว่างของผิวไว้ 5 ตำแหน่ง ดังภาพที่ 8 ก และ ข ได้แก่ แก้มซ้าย แก้มขวา กึ่งกลางของหน้าผาก กึ่งกลางของคาง และต้นแขนด้านขวา ซึ่งตำแหน่งบริเวณใบหน้าแสดงถึงตำแหน่งที่มักจะถูกสัมผัสกับแดดมากที่สุด และบริเวณต้นแขนด้านขวาเป็นตัวแทนตำแหน่งในร่มผ้าหรือมีการถูกสัมผัสกับแดดที่ค่อนข้างน้อย



(ก)



(ข)

ภาพที่ 3.2 (ก) ตำแหน่งของการวัดค่าสีและค่าความสว่างของผิวบริเวณใบหน้า

(ข) ตำแหน่งของการวัดค่าสีและค่าความสว่างของผิวบริเวณต้นแขนด้านขวา

ที่มาภาพที่ 3.2 (ข): <https://anatomy.lexmedicus.com.au/collection/elbow-arm>

### 3.2 ขั้นตอนดำเนินการทดลอง

สำหรับขั้นตอนในการทดลอง โดยก่อนที่จะเริ่มทำการวัดค่าสีและค่าความสว่างของผิว ผู้เข้าร่วมการทดลองจะต้องทำความสะอาดหรือไม่ใช่เครื่องสำอางและผลิตภัณฑ์ดูแลผิวที่บริเวณใบหน้า และบริเวณต้นแขน เนื่องจากต้องการวัดค่าสีและค่าความสว่างของผิวจริง ๆ โดยปราศจากเครื่องสำอาง และผลิตภัณฑ์ดูแลและบำรุงผิว จากนั้นผู้เข้าร่วมการทดลองจะต้องทำการให้ข้อมูลส่วนบุคคลลงในแบบสอบถามดังภาพภาคผนวก ก เมื่อให้ข้อมูลส่วนบุคคลเรียบร้อยแล้วจึงทำการวัดค่าสีและค่าความสว่างของผิว

การวัดสีและความสว่างของผิว โดยก่อนที่จะวัดค่าสีและค่าความสว่างของผิว ได้มีการวัดค่าสีและค่าความสว่างของแผ่นสีขาวหรือ White reference โดยใช้เครื่อง Konica Minolta Chroma Meter CS-100A ที่ตำแหน่งเดียวกันกับตำแหน่งที่วัดผิว ดังภาพที่ 3.3 เพื่อที่จะนำมาคำนวณหาค่า CIELAB [26] ในขณะที่วัดสีและความสว่างของผิวผู้ควบคุมการทดลองได้มีการจดบันทึกค่า  $Y_{xy}$  ที่วัดได้ลงใบแบบสอบถามของผู้เข้าร่วมการทดลองแต่ละคน ดังภาพภาคผนวก ก พร้อมทั้งมีการบันทึกค่าของสภาวะแสงนั้น ๆ โดยใช้เครื่อง Konica Minolta Chroma Meter CL-200A



(ก)

(ข)

ภาพที่ 3.3 (ก) ขั้นตอนการวัดค่าสีและค่าความสว่างของแผ่นสีขาวหรือ White reference  
(ข) ขั้นตอนการวัดค่าสีและค่าความสว่างของตำแหน่งที่ต้องการวัดผิว

### 3.3 วิเคราะห์ผลการทดลอง

กระบวนการในการวิเคราะห์ผลการทดลอง ได้ทำการแปลงค่า  $Y_{xy}$  ของสีและความสว่างของผิวที่วัดได้เป็น CIELAB [26] โดยมีขั้นตอนในการแปลงค่าดังนี้

#### 3.3.1 การวิเคราะห์ผลของข้อมูลสีผิว

3.3.1.1 ได้นำค่า  $Y_{xy}$  ที่ได้จากการวัดสีและความสว่างของผิว รวมถึงค่าที่ได้จากการวัด White Reference มาแปลงเป็นค่า XYZ tristimulus โดยใช้วิธีแปลงสมการ  $xy$  Chromaticity [26] ดังสมการที่ 3.2, 3.3 และ 3.4

$$X = Y \frac{x}{y} \quad (3.2)$$

$$Y = Y \frac{y}{y} \quad (3.3)$$

$$Z = Y \frac{z}{y} \quad (3.4)$$

3.3.1.2 เมื่อแปลงค่า XYZ tristimulus เรียบร้อยแล้ว ให้ทำการแปลงเป็นค่า CIELAB ดังสมการที่ 2.1, 2.2 และ 2.3 จากนั้นนำค่า CIELAB ของตำแหน่งต่าง ๆ ที่วัดผิวในแต่ละบุคคลมาวิเคราะห์ค่าสีและค่าความสว่างของผิวคนไทยตามปัจจัยที่จะศึกษาได้แก่ ปัจจัยในเรื่องเพศ ปัจจัยความแตกต่างทางภูมิภาคที่กำเนิด ปัจจัยของลักษณะสถานที่ทำงาน รวมถึงการวิเคราะห์ความอิ่มตัวของผิว (Chroma) และ องศาสี (Hue angle) โดยสามารถหาค่าความอิ่มตัวของผิวได้จากสมการที่ 3.5 และหาค่าองศาสีได้จากสมการที่ 3.6 [36]

$$C^* = \sqrt{(a^*)^2 + (b^*)^2} \quad (3.5)$$

$$h^* = \tan^{-1} \left[ \frac{b^*}{a^*} \right] \quad (3.6)$$



### 3.3.1 การวิเคราะห์ผลทางสถิติ

ในการศึกษาสีและความสว่างของผิวคนไทยในครั้งนี้ ได้ใช้สถิติในการทดสอบอยู่ 2 แบบ ได้แก่ การวิเคราะห์การเปรียบเทียบค่าเฉลี่ย T-test (Independence sample T-test และ Paired sample T-test) และ การวิเคราะห์ความแปรปรวนทางเดียว (One-way ANOVA) โดยมีการกำหนดระดับนัยสำคัญอยู่ที่ 0.05

ตัวแปรต้น คือ เพศ ภูมิภาค ลักษณะสถานที่ทำงาน

ตัวแปรตาม คือ สีผิวและความสว่างของผิวคนไทย



## บทที่ 4

### ผลการวิเคราะห์ข้อมูล

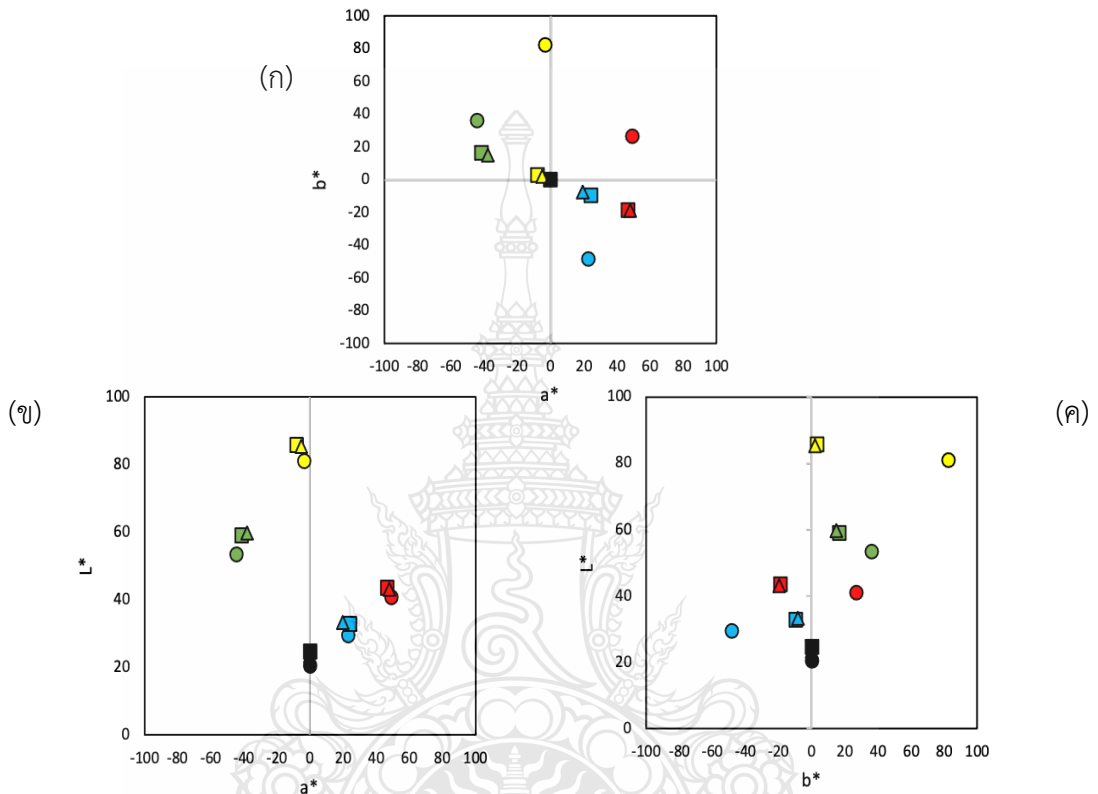
ผู้วิจัยได้ทำการศึกษาเกี่ยวกับสีและความสว่างของคนไทย เพื่อศึกษาปัจจัยที่มีผลต่อสีและความสว่างของคนไทย โดยมีปัจจัยที่ได้ทำการศึกษาได้แก่ ความแตกต่างระหว่างเพศ ความแตกต่างทางภูมิภาคที่กำเนิด ความแตกต่างของลักษณะสถานที่ทำงาน และยังได้ทำการวิเคราะห์เกี่ยวกับสารเมลานินและฮีโมโกลบินในร่างกายจากค่าการสะท้อนเชิงสเปกตรัม (Spectral reflectance) โดยในบริเวณแก้มซ้ายและแก้มขวาจะถูกนำมาเฉลี่ยเพื่อเป็นตัวแทนค่าสีและความสว่างของผิวในบริเวณแก้ม นอกจากนี้ยังได้นำค่าสีและความสว่างในบริเวณแก้ม หน้าผาก และคาง มาหาค่าเฉลี่ยเพื่อเป็นตัวแทนค่าสีและความสว่างของใบหน้าเพื่อนำมาเปรียบเทียบความแตกต่างของสีผิวกับบริเวณใต้แขน ซึ่งหลังจากที่ผู้วิจัยได้ทำการทดลองแล้วนั้น ได้วิเคราะห์ข้อมูลโดยการเปรียบเทียบความแตกต่างของค่าเฉลี่ยระหว่างตัวแปร 2 กลุ่มที่มีอิสระจากกัน การเปรียบเทียบความแตกต่างค่าเฉลี่ยของกลุ่มตัวอย่าง 2 กลุ่มที่ไม่เป็นอิสระ และวิเคราะห์ความแปรปรวนแบบทางเดียวที่ระดับความเชื่อมั่น 95%

#### 4.1 ผลการวิเคราะห์ข้อมูลของการเลือกใช้เครื่องมือในการทดลอง

ผู้วิจัยได้ทำการศึกษาเครื่องมือที่เลือกใช้ในการทดลอง โดยทำการทดสอบเครื่องมือ 2 ชนิด คือ Konica Minolta CM-512m3a Spectrophotometer ที่เป็นเครื่องมือที่อาศัยการสัมผัสกับวัตถุในการวัดค่า โดยเป็นเครื่องมือที่มี 3 องศาการวัด ( $25^\circ$ ,  $45^\circ$  และ  $75^\circ$ ) ซึ่งแสงภายในเครื่องเป็นแบบวงแหวน ด้วยการให้แสงแบบ 18 ทิศทางในแนวรัศมี จะให้ผลลัพธ์ของค่าสีจากค่าการสะท้อนของแสง และสามารถเลือกชนิดของแหล่งกำเนิดแสงได้หลากหลาย โดยการทดลองนี้ใช้แหล่งกำเนิดแสงแบบ D65 และ Konica Minolta CS-100 Chroma Meter ที่เป็นเครื่องมือที่ไม่อาศัยการสัมผัสกับวัตถุในการวัดค่าสี และจะให้ผลลัพธ์ของค่าสีจากค่าการสะท้อนของแสงเช่นกัน และเนื่องจากเครื่องมือชนิดนี้ต้องอาศัยแสงจากภายนอก จึงมีความจำเป็นที่จะต้องวัดค่าแสงจากแผ่นขาวอ้างอิง (White reference plate) ทุกครั้ง

เพื่อหาเครื่องมือที่ให้ค่าใกล้เคียงกับ Konica Minolta CS-2000 Spectroradiometer ที่เป็นเครื่องมืออ้างอิง (Reference) โดยทำการวัดค่าสีและความสว่างทั้งหมด 5 สี ได้แก่ สีแดง สีเขียว สีเหลือง สีนํ้าเงิน และสีดำ ซึ่งผลการทดลองพบว่า เครื่องมือประเภทที่ไม่อาศัยการสัมผัสกับวัตถุได้แสดงค่าความเหลือง (Yellowness;  $b^*$ ) และความสว่าง (Lightness;  $L^*$ ) ที่ใกล้เคียงกับเครื่องมืออ้างอิง และมีความแตกต่างกับเครื่องมือประเภทที่อาศัยการสัมผัสกับวัตถุ แม้ว่าค่าความแดง (Redness;  $a^*$ ) จะไม่แตกต่างกันเลย ทั้งใน 5 สี ที่ได้ทำการวัดค่า ดังภาพที่ 4.1 (ก), (ข) และ (ค)

เนื่องจากผู้วิจัยต้องการควบคุมตัวแปรเรื่องแรงกดที่อาจส่งผลต่อการเปลี่ยนแปลงของสีผิว จากเครื่องมือประเภทที่ต้องอาศัยการสัมผัสกับวัตถุในการวัดค่า จึงทำให้ผู้วิจัยเลือกเครื่องมือประเภทที่ไม่อาศัยการสัมผัสกับวัตถุ CS-100 Chroma Meter ในการทำการทดลองในครั้งนี้ เพราะเป็นเครื่องมือขนาดเล็ก พกพาได้สะดวก และให้ค่าใกล้เคียงกับเครื่อง CS-2000 Spectroradiometer



ภาพที่ 4.1(ก) กราฟค่าความแดงและความเหลืองจากการทดสอบการวัดสีทั้งหมด 5 สีด้วยเครื่อง CM-512m3a Spectrophotometer, CS-2000 Spectroradiometer และ CS-100 Chroma Meter

(ข) กราฟค่าความแดงและความสว่างจากการทดสอบการวัดสีทั้งหมด 5 สีด้วยเครื่อง CM-512m3a Spectrophotometer, CS-2000 Spectroradiometer และ CS-100 Chroma Meter

(ค) กราฟค่าความเหลืองและความสว่าง จากการทดสอบการวัดสีทั้งหมด 5 สีด้วยเครื่อง CM-512m3a Spectrophotometer, CS-2000 Spectroradiometer และ CS-100 Chroma Meter

โดยใช้สัญลักษณ์ ○ แทน CM-512m3a Spectrophotometer  
 □ แทน CS-2000 Spectroradiometer  
 △ แทน CS-100 Chroma Meter

## 4.2 ผลการวิเคราะห์ข้อมูลของค่าสีและความสว่างของผิวคนไทย

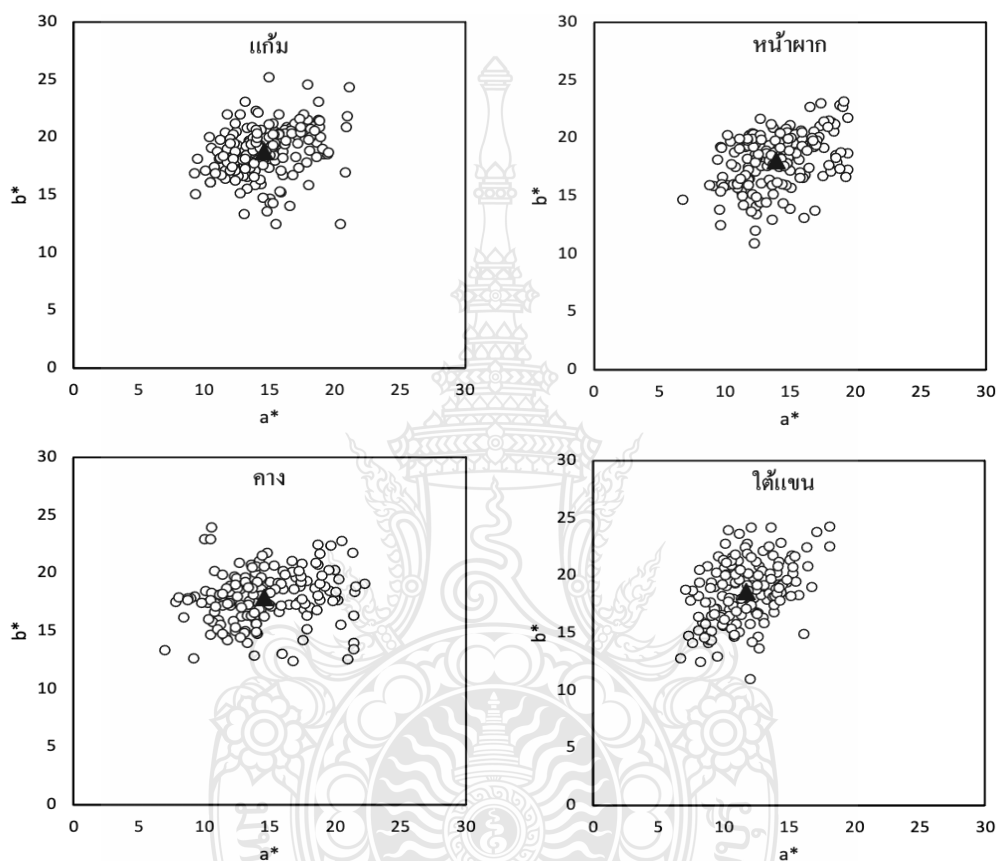
ในการทดลองนี้ได้ทำการวัดสีและความสว่างของผิวคนไทยจำนวน 400 คน แบ่งเป็นเพศชายจำนวน 200 คน และเพศหญิงจำนวน 200 คน ที่มีถิ่นกำเนิดอยู่ใน 6 ภูมิภาคของประเทศไทย ได้แก่ ภาคเหนือ ภาคตะวันออกเฉียงเหนือ ภาคกลาง ภาคตะวันออก ภาคตะวันตก และภาคใต้ ตามที่ได้กล่าวไว้ในวิธีการดำเนินการวิจัย แต่เนื่องด้วยในสถานการณ์การแพร่ระบาดของเชื้อไวรัสโคโรนา 2019 (COVID-19) ณ ปัจจุบัน ที่มีผลต่อการเก็บข้อมูลจากผู้เข้าร่วมการทดลอง จึงทำให้จำนวนผู้เข้าร่วมการทดลองลดลงจาก 400 คน เป็น 171 คน โดยทำการแจกแจงจำนวนคนตามปัจจัยที่ผู้วิจัยต้องการศึกษาดังตารางที่ 4.1

ตารางที่ 4.1 จำนวนผู้เข้าร่วมการทำลองแบ่งตามปัจจัยในการศึกษา (ทั้งหมด 171 คน)

ปัจจัยในการศึกษา	จำนวน (คน)
เพศ	
ชาย	81
หญิง	90
ภูมิภาคที่กำหนด	
ภาคเหนือ	10
ภาคตะวันออกเฉียงเหนือ	15
ภาคกลาง	85
ภาคตะวันออก	12
ภาคตะวันตก	37
ภาคใต้	12
ลักษณะสถานที่ทำงาน	
ทำงานกลางแจ้ง	53
ทำงานในร่ม	118

ผลวิเคราะห์ข้อมูลการกระจายตัวของสีและความสว่างของผิวคนไทยในแต่ละบริเวณการวัด ได้แก่ แก้ม หน้าผาก คาง และใต้แขน พบว่า บริเวณคางเป็นบริเวณที่มีการกระจายตัวของค่าความแดงที่กว้างกว่าบริเวณอื่น ๆ โดยมีการกระจายตัวของค่าความแดงอยู่ที่ประมาณ 5-23 แต่ในขณะที่บริเวณแก้ม หน้าผาก และใต้แขนมีการกระจายตัวของค่าความแดงอยู่ในช่วง 5-20 ซึ่งเมื่อเปรียบเทียบค่าเฉลี่ยความแดงของผิวในบริเวณแก้ม หน้าผาก คาง ที่เป็นบริเวณใบหน้าจะสูงกว่าบริเวณใต้แขน โดยมี

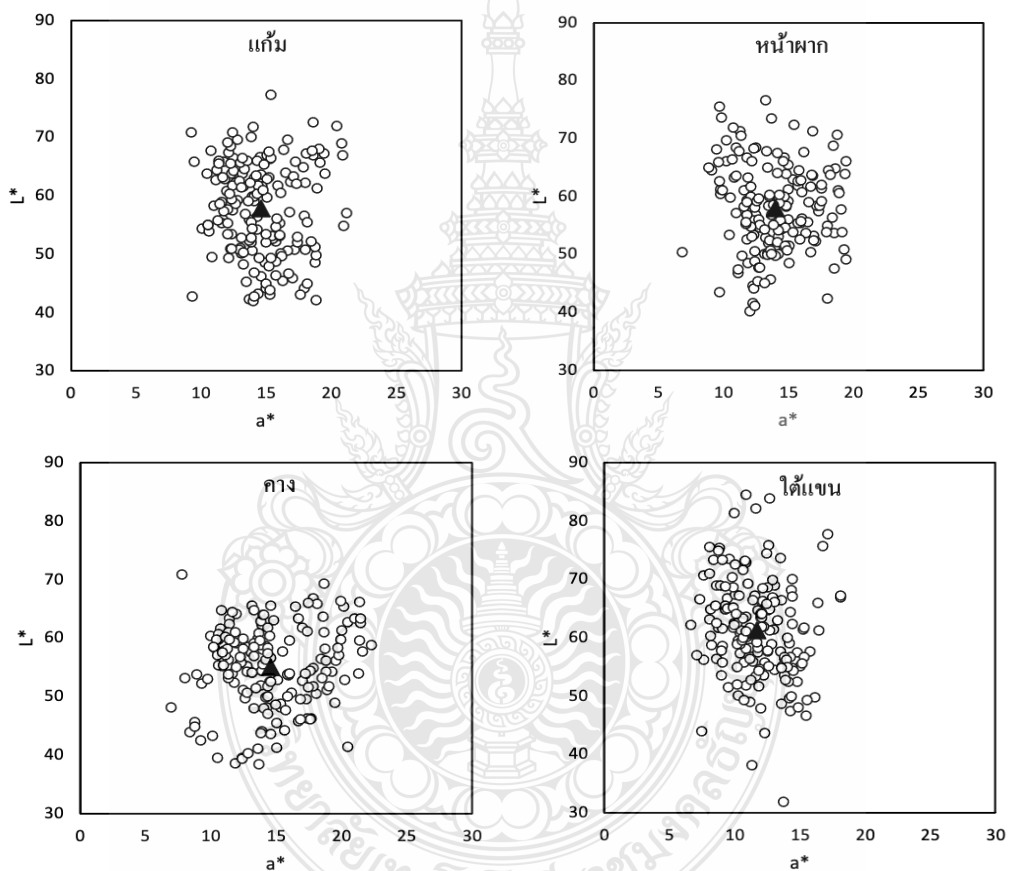
ค่าเฉลี่ยความแดงอยู่ที่  $14.60(\pm 2.60)$ ,  $13.97(\pm 2.66)$ ,  $14.57(\pm 3.41)$  และ  $11.68(\pm 2.37)$  ตามลำดับ และนอกจากนี้ยังพบว่าค่าความเหลืองของผิวคนไทยในทุกบริเวณการวัดแทบจะไม่มี ความแตกต่างกันเลย โดยมีค่าความเหลืองอยู่ในช่วง 14-25 และค่าเฉลี่ยของบริเวณแก้ม หน้าผาก คาง และใต้แขนอยู่ที่  $18.74(\pm 2.20)$ ,  $18.06(\pm 2.35)$ ,  $17.91(\pm 2.20)$  และ  $18.58(\pm 2.57)$  ตามลำดับ ดังที่แสดงในภาพที่ 4.2



ภาพที่ 4.2 กราฟการกระจายตัวและค่าเฉลี่ยของค่าความแดงและค่าความเหลืองของบริเวณแก้ม หน้าผาก คาง และใต้แขนของผิวคนไทย

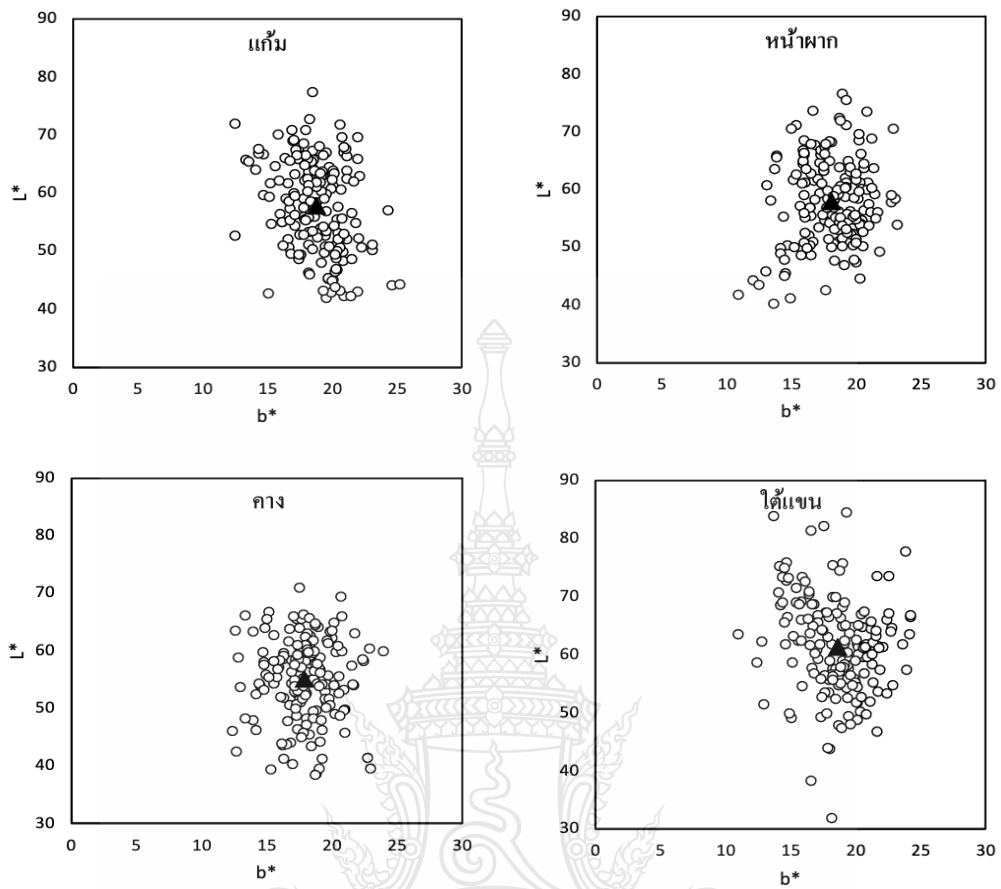
โดยใช้สัญลักษณ์ ○ แทน ข้อมูลสีผิวคนไทยทั้งหมด 171 คน  
 ▲ แทน ค่าเฉลี่ยสีผิวคนไทย

ในค่าความสว่างของผิว จะเห็นได้ว่า บริเวณใต้แขนจะเป็นบริเวณที่มีช่วงของค่าความสว่างที่กว้างสูงที่สุดอย่างเห็นได้ชัด โดยจะอยู่ในช่วง 31-83 ซึ่งตรงกันข้ามกับบริเวณคางที่มีช่วงของค่าความสว่างที่แคบที่สุด โดยจะอยู่ในช่วง 38-70 ในขณะที่แก้มและหน้าผากจะมีช่วงความสว่างที่ใกล้เคียงกัน โดยจะอยู่ในช่วง 40-77 และเมื่อเทียบค่าเฉลี่ยความสว่างจะพบว่า บริเวณใต้แขนจะมีค่าเฉลี่ยที่สูงที่สุด ( $61.35 \pm 8.34$ ) และบริเวณคางมีค่าเฉลี่ยความสว่างที่ต่ำที่สุด ( $55.12 \pm 6.95$ ) แต่บริเวณแก้มและหน้าผากจะมีค่าเฉลี่ยความสว่างที่ใกล้เคียงกัน ( $57.77 \pm 7.99$  และ  $57.92 \pm 7.42$  ตามลำดับ) ดังที่แสดงในภาพที่ 4.3 (ก) และ (ข)



ภาพที่ 4.3 (ก) กราฟการกระจายตัวและค่าเฉลี่ยของค่าความแดงและค่าความสว่างของบริเวณแก้ม หน้าผาก คาง และใต้แขนของผิวคนไทย

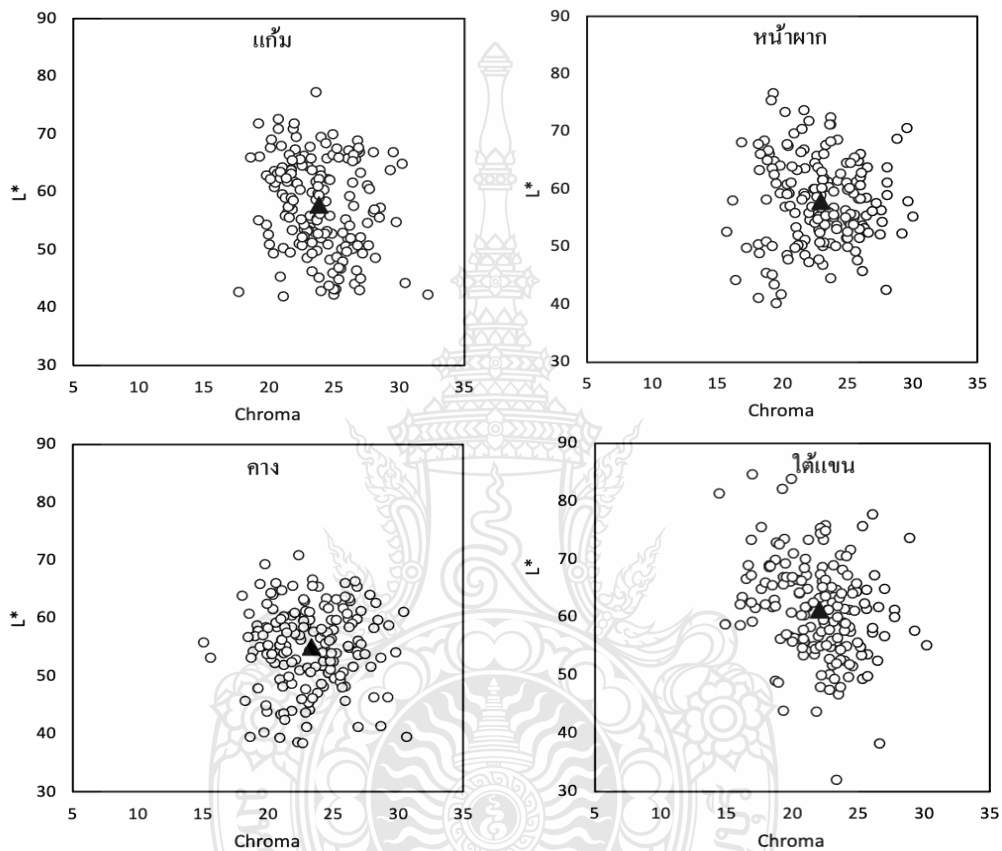
โดยใช้สัญลักษณ์ ○ แทน ข้อมูลสีผิวคนไทยทั้งหมด 171 คน  
 ▲ แทน ค่าเฉลี่ยสีผิวคนไทย



ภาพที่ 4.3 (ข) กราฟการกระจายตัวและค่าเฉลี่ยของค่าความเหลืองและค่าความสว่างของบริเวณแก้ม หน้าผาก คาง และใต้แขนของผิวคนไทย

โดยใช้สัญลักษณ์ ○ แทน ข้อมูลสีผิวคนไทยทั้งหมด 171 คน  
 ▲ แทน ค่าเฉลี่ยสีผิวคนไทย

สำหรับค่าความอิ่มตัวของผิว พบว่า ทุกบริเวณการวัดมีค่าความอิ่มตัวอยู่ในช่วงประมาณ 15-33 และเมื่อเทียบค่าเฉลี่ยความอิ่มตัวของผิว พบว่า ในทุกบริเวณการวัด ได้แก่ แก้ม หน้าผาก คาง และใต้แขน มีความใกล้เคียงกัน โดยมีค่าเฉลี่ยความอิ่มตัวอยู่ที่  $23.87(\pm 2.66)$ ,  $22.93(\pm 2.93)$ ,  $23.31(\pm 2.94)$  และ  $22.03(\pm 2.93)$  ตามลำดับ นอกจากนี้สิ่งที่สังเกตได้อีกคือ เมื่อผิวที่มีค่าความสว่างเพิ่มขึ้น มีแนวโน้มที่จะมีค่าความอิ่มตัวของผิวที่ลดลง ดังภาพที่ 4.4



ภาพที่ 4.4 กราฟการกระจายตัวและค่าเฉลี่ยของค่าความอิ่มตัวสี และค่าความสว่างของบริเวณแก้ม หน้าผาก คาง และใต้แขนของผิวคนไทย

โดยใช้สัญลักษณ์ ○ แทน ข้อมูลสีผิวคนไทยทั้งหมด 171 คน  
 ▲ แทน ค่าเฉลี่ยสีผิวคนไทย

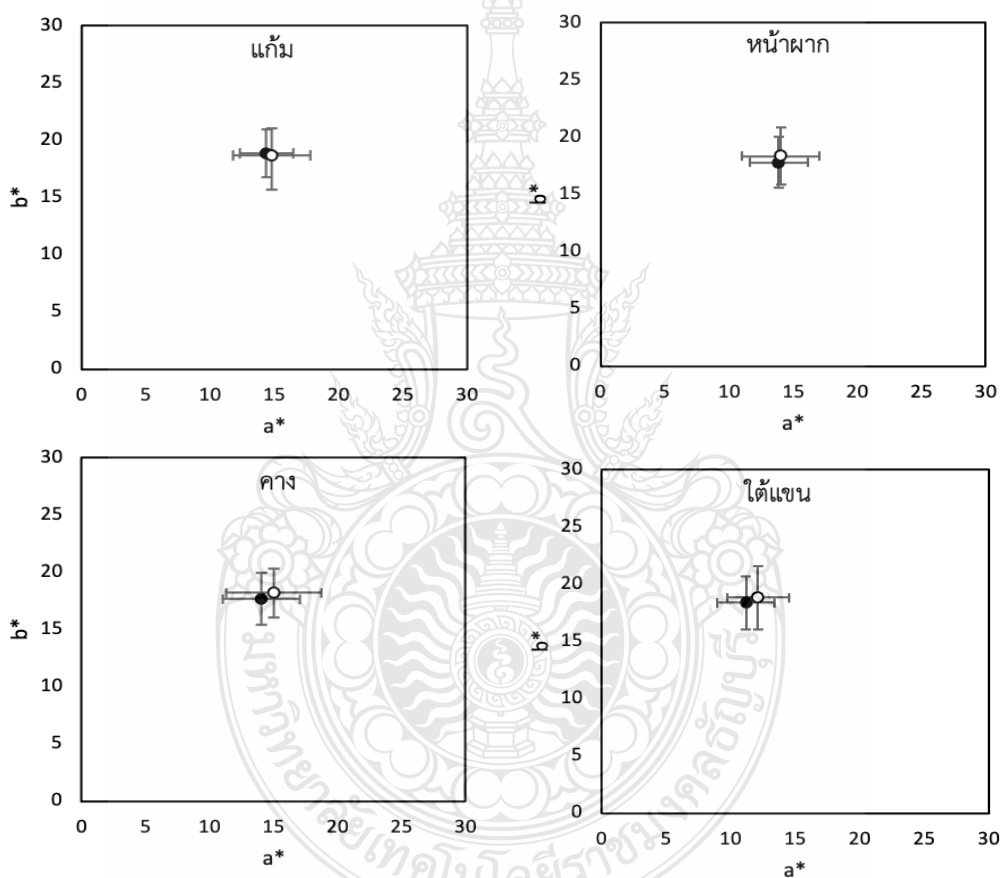
เนื่องจากสีและความสว่างของผิวอาจมีความแตกต่างกันไปตามปัจจัยต่าง ๆ จึงทำให้ผู้วิจัย แยกวิเคราะห์ผลตามปัจจัยที่ศึกษา ดังนี้



#### 4.2.1 ผลวิเคราะห์ข้อมูลของปัจจัยความแตกต่างระหว่างเพศ

การวิเคราะห์ข้อมูลที่ได้จากการวัดสีและความสว่างของผิวคนไทยของความแตกต่างระหว่างเพศ พบว่าทั้งเพศชายและเพศหญิงจะมีการกระจายตัวที่อยู่ในช่วงค่าความแดงของผิวเท่า ๆ กัน สามารถดูกราฟการกระจายตัวได้ที่ภาคผนวก ข

จากการวิเคราะห์ค่าเฉลี่ยความแดงของผิวจะเห็นได้ว่าค่าเฉลี่ยความแดงของทั้งสองเพศแตกต่างกันเพียงเล็กน้อยเท่านั้นในทุกบริเวณการวัด (แก้ม หน้าผาก คาง และใต้แขน) ดังที่แสดงในภาพที่ 4.5

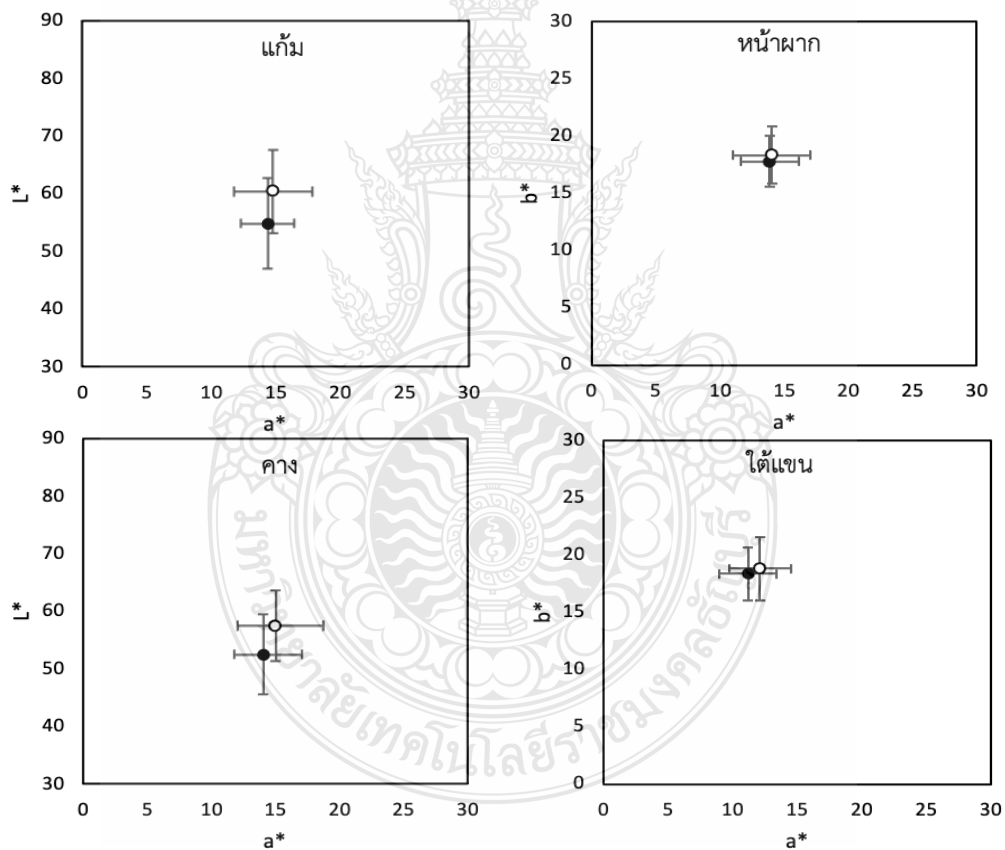


ภาพที่ 4.5 กราฟค่าเฉลี่ยค่าความแดงและค่าความเหลืองของบริเวณแก้ม หน้าผาก คาง และใต้แขน ระหว่างเพศชายและเพศหญิง

โดยใช้สัญลักษณ์ ● แทน เพศชาย และ ○ แทน เพศหญิง

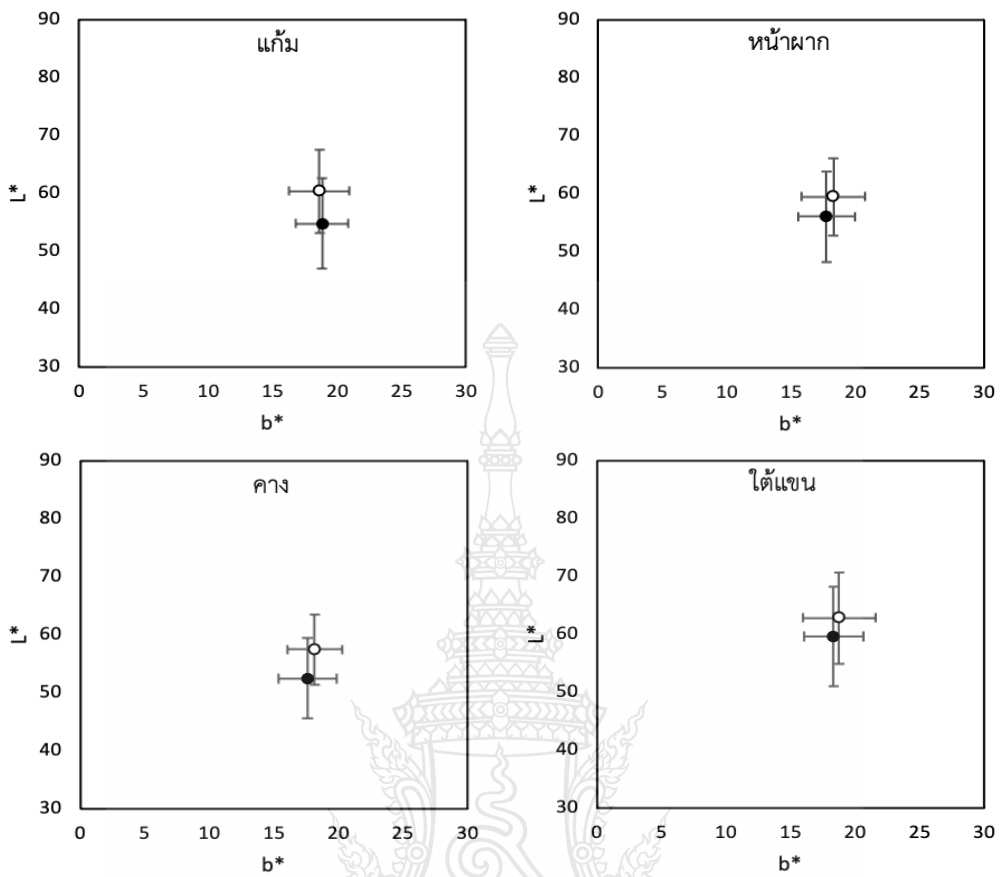
สำหรับการกระจายตัวข้อมูลของค่าความเหลืองของผิว ของทั้งสองเพศในบริเวณ แก้ม หน้าผาก คาง และใต้แขนดูเหมือนว่าจะไม่มีความแตกต่างกัน ดังที่แสดงกราฟการกระจายตัวใน ภาคผนวก ข และจะเห็นได้ชัดขึ้นเมื่อแสดงในกราฟค่าเฉลี่ยความเหลืองดังภาพที่ 4.5 พบว่า เพศจะไม่ มีความแตกต่างกันเลยในค่าความเหลืองระหว่างเพศชายและเพศหญิง

สำหรับค่าความสว่างของผิว แม้ว่าการกระจายตัวของค่าความสว่างของผิวในทั้ง สองเพศจะอยู่ในช่วงที่เท่า ๆ กัน แต่ในช่วงบริเวณคางจะมีแนวโน้มของค่าความสว่างที่ต่ำที่สุดในทั้งสอง เพศ และใต้แขนมีแนวโน้มที่มีค่าความสว่างที่สูงที่สุด ที่แสดงกราฟการกระจายตัวในภาคผนวก ข แต่ เมื่อดูค่าเฉลี่ยความสว่างของผิวระหว่างเพศชายและเพศหญิงจะเห็นได้อย่างชัดเจนในภาพที่ 4.6 (ก) และ (ข) ว่าในเพศหญิงนั้นมีค่าความสว่างของผิวที่มากกว่าเพศชายในทุกบริเวณ (แก้ม หน้าผาก คาง และใต้แขน) โดยค่าเฉลี่ยความสว่าง ความแดง และความเหลือง จะแสดงในตารางที่ 4.2



ภาพที่ 4.6 (ก) กราฟค่าเฉลี่ยค่าความแดงและค่าความสว่างของบริเวณแก้ม หน้าผาก คาง และใต้แขน ระหว่างเพศชายและเพศหญิง

โดยใช้สัญลักษณ์ ● แทน เพศชาย และ ○ แทน เพศหญิง



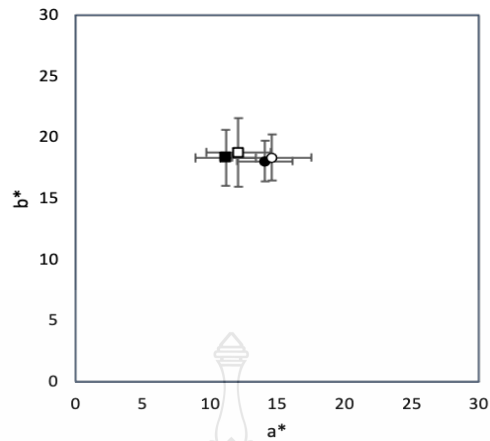
ภาพที่ 4.6 (ข) กราฟค่าเฉลี่ยค่าความเหลืองและค่าความสว่างของบริเวณแก้ม หน้าผาก คาง และใต้แขนระหว่างเพศชายและเพศหญิง

โดยใช้สัญลักษณ์ ● แทน เพศชาย และ ○ แทน เพศหญิง

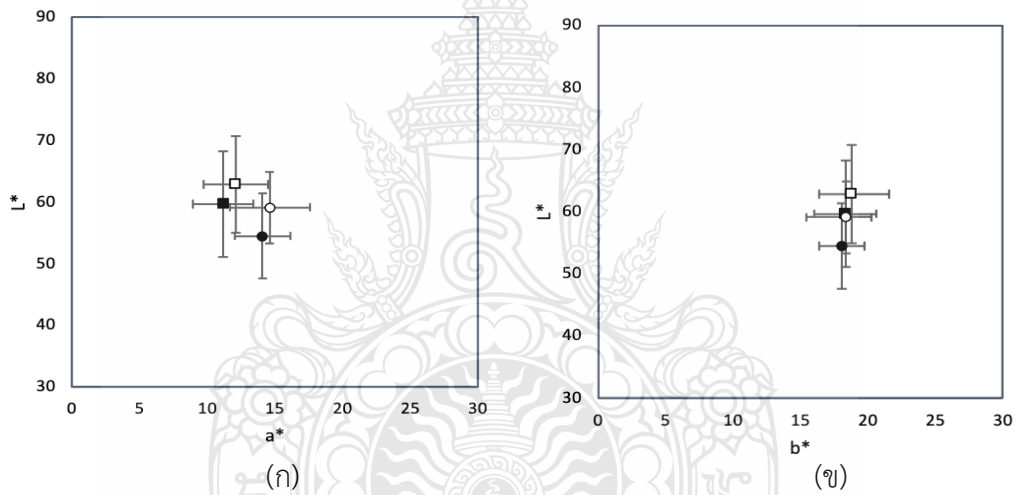
ตารางที่ 4.2 ค่าเฉลี่ยและส่วนเบี่ยงเบนมาตรฐานของค่าความสว่าง, ค่าความแดง และค่าความเหลือง ของบริเวณแก้ม หน้าผาก คาง และใต้แขนระหว่างเพศชายและเพศหญิง

เพศ	ค่าความสว่าง	ค่าความแดง	ค่าความเหลือง
แก้ม			
เพศชาย	54.84±7.83	14.38±2.07	18.84±2.05
เพศหญิง	60.40±7.22	14.80±3.00	18.64±2.34
หน้าผาก			
เพศชาย	56.10±7.80	13.89±2.23	17.77±2.20
เพศหญิง	59.56±6.68	14.05±3.00	18.32±2.46
คาง			
เพศชาย	52.50±6.93	14.05±2.99	17.62±2.25
เพศหญิง	57.48±6.10	15.03±3.70	18.17±2.14
ใต้แขน			
เพศชาย	59.68±8.57	11.19±2.24	18.35±2.30
เพศหญิง	62.86±7.87	12.12±2.40	18.79±2.79
ใบหน้า			
เพศชาย	54.48±6.91	14.10±2.05	18.08±1.65
เพศหญิง	59.15±5.82	14.63±2.95	18.38±1.90

จากนั้นได้ทำการเปรียบเทียบค่าเฉลี่ยระหว่างบริเวณใบหน้ากับบริเวณใต้แขน ที่ได้จากการนำข้อมูลในบริเวณแก้ม หน้าผาก และคางมาหาค่าเฉลี่ยเพื่อเป็นตัวแทนบริเวณใบหน้า เพื่อวิเคราะห์ความแตกต่างในบริเวณที่มักสัมผัสกับแสงแดดอยู่บ่อยครั้ง (บริเวณใบหน้า) และบริเวณที่มักจะไม่ค่อยสัมผัสแสงแดด (บริเวณใต้แขน) พบว่าทั้งในเพศชายและเพศหญิง จะค่าเฉลี่ยความแดง ที่มากกว่าบริเวณใต้แขน แต่ค่าความเหลืองแทบจะไม่แตกต่างกันในทั้งสองเพศดังภาพที่ 4.7 และในส่วน ของบริเวณใต้แขนจะมีค่าเฉลี่ยความสว่างที่สูงกว่าบริเวณใบหน้าอย่างชัดเจน โดยแสดงในภาพที่ 4.8 (ก) และ (ข)



ภาพที่ 4.7 กราฟเปรียบเทียบค่าเฉลี่ยความแดงและความเหลืองระหว่างบริเวณใบหน้าและบริเวณใต้  
แขน ในเพศชายและเพศหญิง



ภาพที่ 4.8 (ก) กราฟเปรียบเทียบค่าเฉลี่ยความแดงและค่าความสว่าง ระหว่างบริเวณใบหน้า  
และบริเวณใต้แขน ในเพศชายและเพศหญิง

(ข) กราฟเปรียบเทียบค่าเฉลี่ยความเหลือง และค่าความสว่าง ระหว่างบริเวณใบหน้าและ  
บริเวณใต้แขน ในเพศชายและเพศหญิง

โดยใช้สัญลักษณ์ สีดำ แทน เพศชาย และ สีขาว แทน เพศหญิง  
○ แทน ใบหน้า และ □ แทน ใต้แขน

เมื่อทำการทดสอบทางสถิติการเปรียบเทียบความแตกต่างของค่าเฉลี่ยระหว่างตัวแปร 2 กลุ่มที่มีอิสระจากกัน พบว่า ค่าความสว่างของสีผิวในเพศหญิงจะมีความแตกต่างกับเพศชายอย่างมีนัยสำคัญในทุก ที่ระดับนัยสำคัญที่  $P < 0.05$  โดยแสดงดังตารางที่ 4.3

**ตารางที่ 4.3** สถิติวิเคราะห์ความแตกต่างของค่าเฉลี่ยความสว่างระหว่างเพศชายและเพศหญิง

บริเวณที่ทำการวัด	F	t	df	Sig. (2-tailed)
แก้ม	0.345	-4.837	169	0.000*
หน้าผาก	0.724	-3.126	169	0.002*
คาง	1.104	-5.002	169	0.000*
ใต้แขน	0.387	-2.531	169	0.012*

\* ที่ระดับนัยสำคัญ 0.05

ส่วนค่าความแดงของสีผิวพบว่า มีเพียงบริเวณใต้แขนเท่านั้นที่ในเพศหญิงจะมีความแตกต่างกับเพศชายอย่างมีนัยสำคัญที่ระดับนัยสำคัญที่  $P < 0.05$  โดยแสดงในตารางที่ 4.4 แต่ในทางตรงกันข้าม ไม่พบความแตกต่างอย่างมีนัยสำคัญของทั้งสองเพศในค่าความเหลืองในทุกบริเวณ ที่แสดงในตารางที่ 4.5

**ตารางที่ 4.4** สถิติวิเคราะห์ความแตกต่างของค่าเฉลี่ยความแดง ระหว่างเพศชายและเพศหญิง

บริเวณที่ทำการวัด	F	t	df	Sig. (2-tailed)
แก้ม	19.666	-1.082	158.684	0.281
หน้าผาก	10.482	-0.388	169	0.699
คาง	9.320	-1.902	167.102	0.056
ใต้แขน	0.051	-2.612	169	0.010*

\* ที่ระดับนัยสำคัญ 0.05

**ตารางที่ 4.5** สถิติวิเคราะห์ความแตกต่างของค่าเฉลี่ยความเหลือง ระหว่างเพศชายและเพศหญิง

บริเวณที่ทำการวัด	F	t	df	Sig. (2-tailed)
แก้ม	2.111	0.586	169	0.559
หน้าผาก	1.213	-1.533	169	0.127
คาง	0.871	-1.656	169	0.099
ใต้แขน	4.386	-1.114	167.675	0.267

\* ที่ระดับนัยสำคัญ 0.05

นอกจากนี้ยังพบว่าค่าเฉลี่ยความสว่างของสีผิวในบริเวณใบหน้ามีความแตกต่างอย่างมีนัยสำคัญระหว่างเพศชายและเพศหญิง แต่กลับไม่พบความแตกต่างอย่างมีนัยสำคัญของค่าเฉลี่ยความแดงและความเหลืองของทั้งสองเพศที่ระดับนัยสำคัญ  $P < 0.05$  ดังที่แสดงในตารางที่ 4.6 และเมื่อเปรียบเทียบระหว่างบริเวณใบหน้าที่มีมักเป็นบริเวณที่ถูกแสงแดดอยู่บ่อยครั้งกับบริเวณใต้แขนที่เป็นบริเวณที่มีมักอยู่ใต้ร่มผ้าหรือถูกแสงแดดน้อยแล้วนั้น โดยใช้การทดสอบความแตกต่างค่าเฉลี่ยของกลุ่มตัวอย่าง 2 กลุ่มที่ไม่เป็นอิสระ พบว่า ในบริเวณใต้แขนจะมีความแตกต่างอย่างมีนัยสำคัญกับบริเวณใบหน้าในเพศหญิงของค่าความสว่างและความแดงเท่านั้น ที่ระดับนัยสำคัญ  $P < 0.05$  เช่นเดียวกับเพศชาย ดังตารางที่ 4.7

**ตารางที่ 4.6** สถิติวิเคราะห์ความแตกต่างของค่าเฉลี่ยความสว่าง, ความแดง และความเหลือง ระหว่างเพศชายและเพศหญิง ในบริเวณใบหน้า

ค่าสีและความสว่างของผิว	F	t	df	Sig. (2-tailed)
ค่าเฉลี่ยความสว่าง	1.766	-4.797	169	0.000*
ค่าเฉลี่ยความแดง	22.629	-1.358	159.138	0.176
ค่าเฉลี่ยความเหลือง	0.930	-1.112	168.800	0.268

\* ที่ระดับนัยสำคัญ 0.05

ตารางที่ 4.7 สถิติวิเคราะห์ความแตกต่างของค่าเฉลี่ยความสว่าง, ความแดง และความเหลือง ของเพศชายและเพศหญิง ในบริเวณใบหน้าเทียบกับใต้แขน

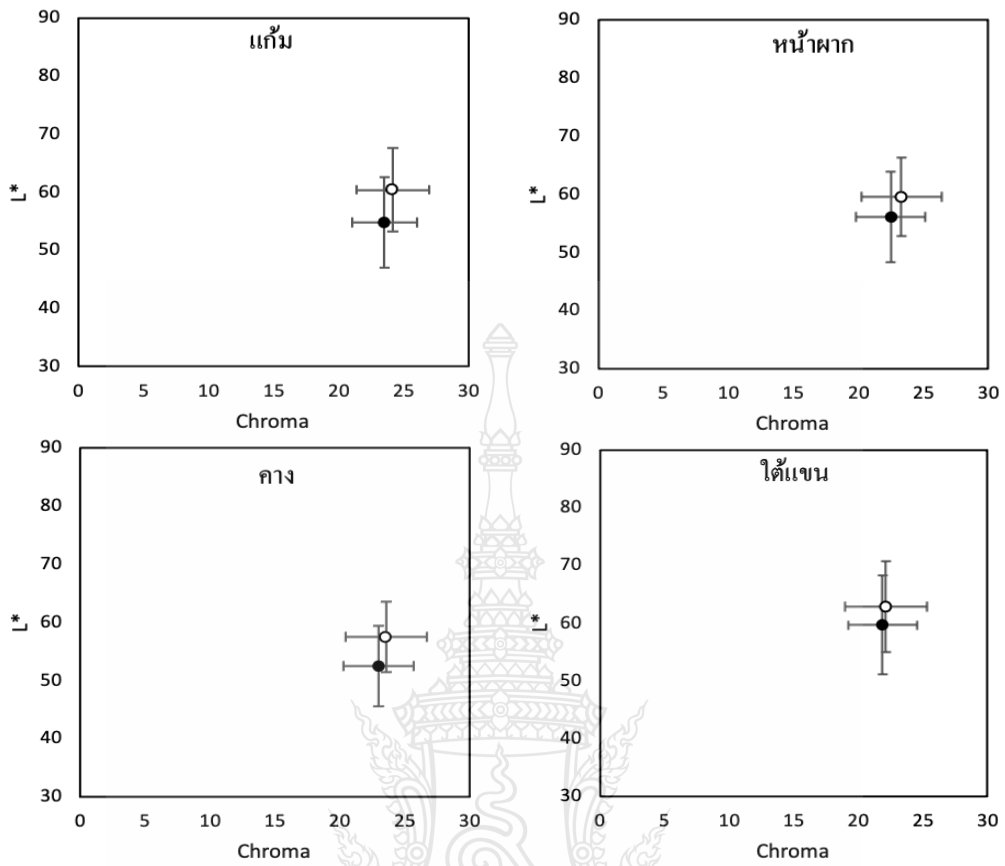
เพศ	t	df	Sig. (2-tailed)
เพศชาย			
ค่าเฉลี่ยความสว่าง	-6.915	80	0.000*
ค่าเฉลี่ยความแดง	11.818	80	0.000*
ค่าเฉลี่ยความเหลือง	-1.177	80	0.243
เพศหญิง			
ค่าเฉลี่ยความสว่าง	-5.763	89	0.000*
ค่าเฉลี่ยความแดง	9.544	89	0.000*
ค่าเฉลี่ยความเหลือง	-1.624	89	0.108

\* ที่ระดับนัยสำคัญ 0.05

ค่าความอิมตัวสีและค่าองศาสีของผิวได้ถูกวิเคราะห์ด้วย พบว่า ทั้งสองเพศจะมีการกระจายตัวของค่าความอิมตัวสีในช่วงเท่า ๆ กัน และสิ่งที่สังเกตเห็นคือ เมื่อค่าความแดงและค่าความเหลืองเพิ่มขึ้น ค่าความอิมตัวสีก็จะเพิ่มตาม ดังแสดงกราฟการกระจายตัวในภาคผนวก ข

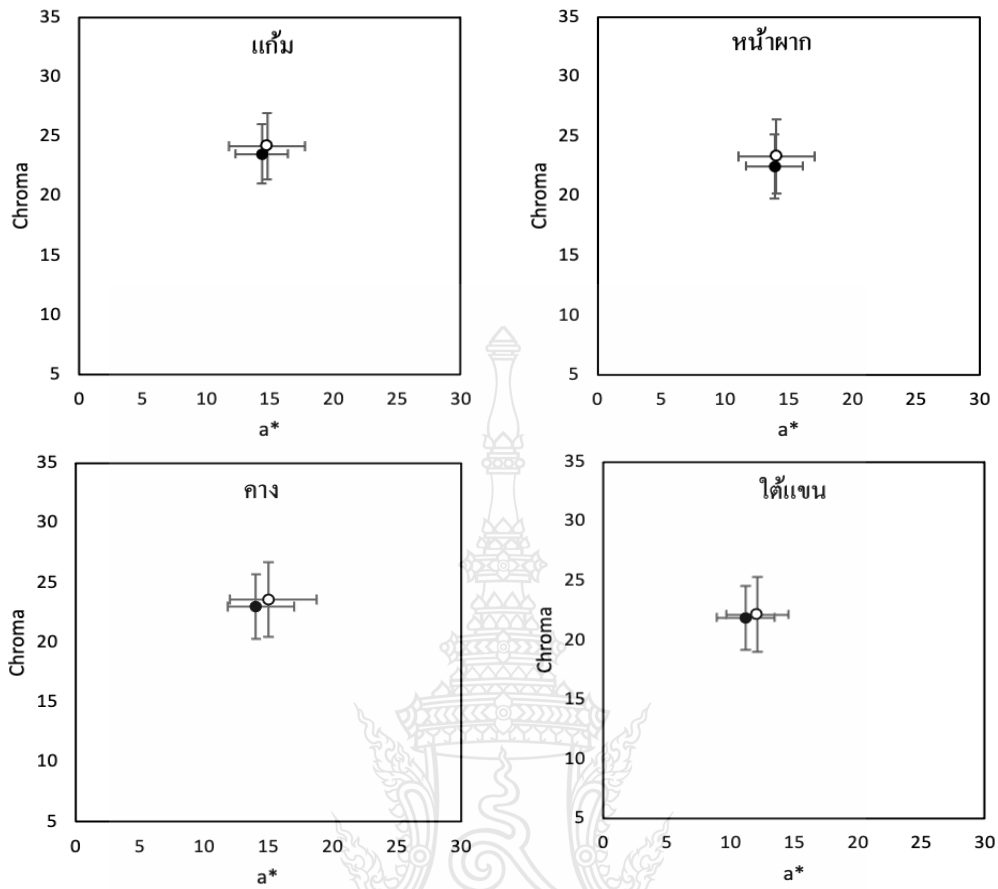
โดยเมื่อดูค่าเฉลี่ยความอิมตัวสี พบว่า ทั้งในเพศชายและเพศหญิงมีค่าความอิมตัวของสีผิวในบริเวณแก้ม หน้าผาก และคางแทบจะไม่มี ความแตกต่างกัน แต่ในบริเวณใต้แขนจะมีค่าอิมตัวสีที่ต่ำที่สุด ดังภาพที่ 4.9 และนอกจากนี้ยังสังเกตเห็นได้ว่าเมื่อความสว่างสูงขึ้นค่าความอิมตัวสีก็จะลดลง แต่ในขณะเดียวกันเมื่อค่าความเป็นสีของผิวทั้งค่าความแดงและค่าความเหลืองเพิ่มขึ้น ค่าความอิมตัวสีก็จะเพิ่มขึ้นตามไปด้วย ดังภาพที่ 4.10 (ก) และ (ข) โดยสามารถดูค่าเฉลี่ยความอิมตัวสีได้จากตารางที่ 4.8





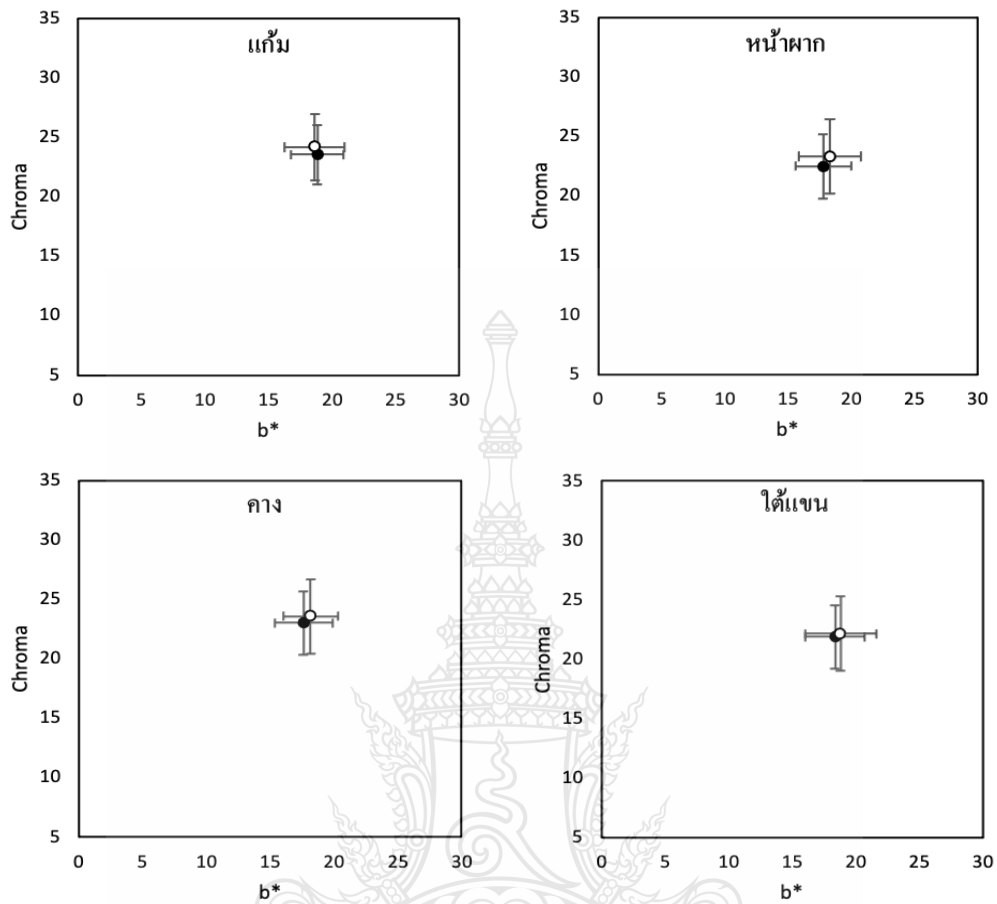
ภาพที่ 4.9 กราฟค่าเฉลี่ยความอิ่มตัวสีและค่าความสว่างของบริเวณแก้ม หน้าผาก คาง และใต้แขน  
ระหว่างเพศชายและเพศหญิง

โดยใช้สัญลักษณ์ ● แทน เพศชาย และ ○ แทน เพศหญิง



ภาพที่ 4.10 (ก) กราฟค่าเฉลี่ยความอิ่มตัวสีและค่าความแดง ของบริเวณแก้ม หน้าผาก คาง และใต้แขนระหว่างเพศชายและเพศหญิง

โดยใช้สัญลักษณ์ ● แทน เพศชาย และ ○ แทน เพศหญิง



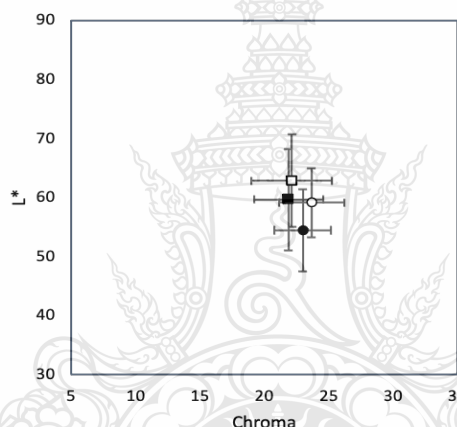
ภาพที่ 4.10 (ข) กราฟค่าเฉลี่ยความเข้มตัวสีและค่าความเหลือง ของบริเวณแก้ม หน้าผาก คาง และใต้แขนระหว่างเพศชายและเพศหญิง

โดยใช้สัญลักษณ์ ● แทน เพศชาย และ ○ แทน เพศหญิง

ตารางที่ 4.8 ค่าเฉลี่ยและส่วนเบี่ยงเบนมาตรฐานของค่าความอิ่มตัวของบริเวณแก้ม หน้าผาก คาง และใต้แขนระหว่างเพศชายและเพศหญิง

เพศ	ค่าความอิ่มตัวสี				
	แก้ม	หน้าผาก	คาง	ใต้แขน	ใบหน้า
เพศชาย	23.53±2.51	22.49±2.69	23.01±2.70	21.90±2.69	23.01±2.19
เพศหญิง	24.17±2.76	23.32±3.10	23.59±3.12	22.16±3.13	23.69±2.52

เมื่อเปรียบเทียบค่าเฉลี่ยความอิ่มตัวสีในบริเวณใบหน้ากับใต้แขน พบว่า ทั้งเพศชายและเพศหญิงมีค่าเฉลี่ยความอิ่มตัวสีในบริเวณใบหน้ามากกว่าใต้แขนดังภาพที่ 4.11



ภาพที่ 4.11 กราฟเปรียบเทียบค่าเฉลี่ยความอิ่มตัวสีและค่าความสว่าง ระหว่างบริเวณใบหน้า และบริเวณใต้แขน ในเพศชายและเพศหญิง

โดยใช้สัญลักษณ์ สีดำ แทน เพศชาย และ สีขาว แทน เพศหญิง  
 ○ แทน ใบหน้า และ □ แทน ใต้แขน

จากการทดสอบทางสถิติโดยการเปรียบเทียบความแตกต่างของค่าเฉลี่ยระหว่างตัวแปร 2 กลุ่มที่มีอิสระจากกัน พบว่า ค่าความอิ่มตัวสี ในบริเวณแก้ม หน้าผาก คาง ใต้แขน และ ใบหน้าของทั้งเพศชายและเพศหญิงไม่มีความแตกต่างอย่างมีนัยสำคัญที่ระดับนัยสำคัญ  $P < 0.05$  ซึ่งแสดงค่าทางสถิติในตารางที่ 4.9

**ตารางที่ 4.9** สถิติวิเคราะห์ความแตกต่างของค่าเฉลี่ยความอึดตัวสี่ ระหว่างเพศชายและเพศหญิง

บริเวณที่ทำการวัด	F	t	df	Sig. (2-tailed)
แก้ม	4.313	-1.587	168.977	0.114
หน้าผาก	0.267	-1.845	169	0.067
คาง	3.278	-1.284	169	0.201
ใต้แขน	2.710	-0.578	169	0.564
ใบหน้า	3.194	-1.872	169	0.063

\* ที่ระดับนัยสำคัญ 0.05

เมื่อเปรียบเทียบระหว่างบริเวณใบหน้ากับบริเวณใต้แขน โดยการใช้การทดสอบความแตกต่างค่าเฉลี่ยของกลุ่มตัวอย่าง 2 กลุ่มที่ไม่เป็นอิสระ พบว่า บริเวณใบหน้าของเพศหญิงและเพศชาย มีค่าความอึดตัวสี่ที่แตกต่างกันอย่างมีนัยสำคัญกับบริเวณใต้แขน ( $P=0.000$  และ  $P=0.000$  ตามลำดับ) ที่ระดับนัยสำคัญที่  $P < 0.05$  ดังที่แสดงในตารางที่ 4.10

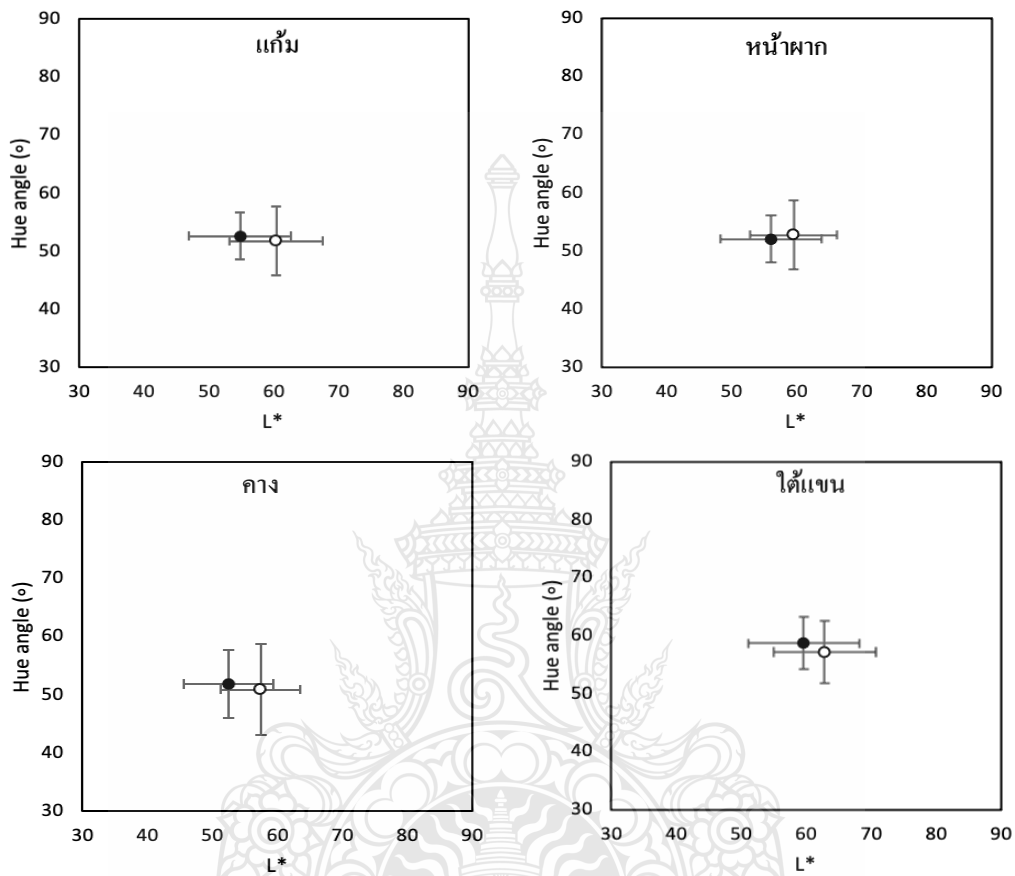
**ตารางที่ 4.10** สถิติวิเคราะห์ความแตกต่างของค่าเฉลี่ยความอึดตัวสี่ ระหว่างเพศชายและเพศหญิง ในบริเวณใบหน้าเทียบกับใต้แขน

เพศ	t	df	Sig. (2-tailed)
เพศชาย			
ค่าเฉลี่ยความอึดตัวสี่	4.203	80	0.000*
เพศหญิง			
ค่าเฉลี่ยความอึดตัวสี่	4.954	89	0.000*

\* ที่ระดับนัยสำคัญ 0.05

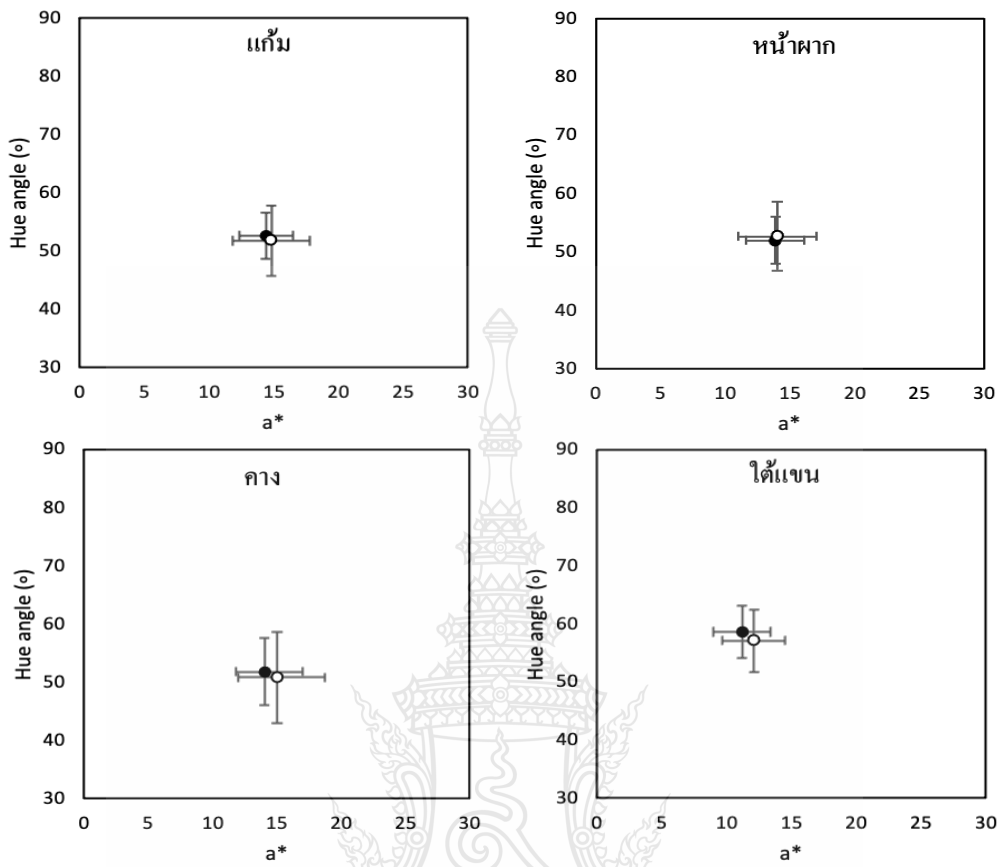
ในส่วนของค่าองศาสี่ทั้งในเพศชายและเพศหญิงจะมีการกระจายตัวในช่วง เท่า ๆ ดังแสดงกราฟการกระจายตัวในภาคผนวก ข และเพื่อความชัดเจนมากขึ้นจะแสดงในกราฟค่าเฉลี่ยองศาสี่ในภาพที่ 4.12 จะเห็นได้ว่าในบริเวณแก้ม หน้าผาก และคาง ของทั้งเพศชายและเพศหญิงมีค่าเฉลี่ยขององศาสี่ที่ไม่แตกต่างกันเลย ยกเว้นบริเวณใต้แขนที่เพศชายจะมีค่าเฉลี่ยขององศาสี่ที่กว้างกว่าเพศหญิง หรือเพศชายจะมีค่าเฉลี่ยขององศาสี่ที่ค่อนข้างเล็กลงมากกว่าเพศหญิง และสิ่งที่สังเกตได้คือในภาพที่ 4.13 (ก) เมื่อค่าความแดงลดลง จะส่งผลทำให้องศาสี่มีองศาที่กว้างมากขึ้น หรือ

ค่อนข้างสีเหลืองมากขึ้น ซึ่งสอดคล้องกับภาพที่ 4.10 (ข) เมื่อค่าความเหลืองเพิ่มขึ้น ค่าองศาสีก็จะมีองศาที่กว้างขึ้นตามไปด้วย โดยสามารถดูค่าเฉลี่ยความอิ่มตัวสีได้จากตารางที่ 4.11



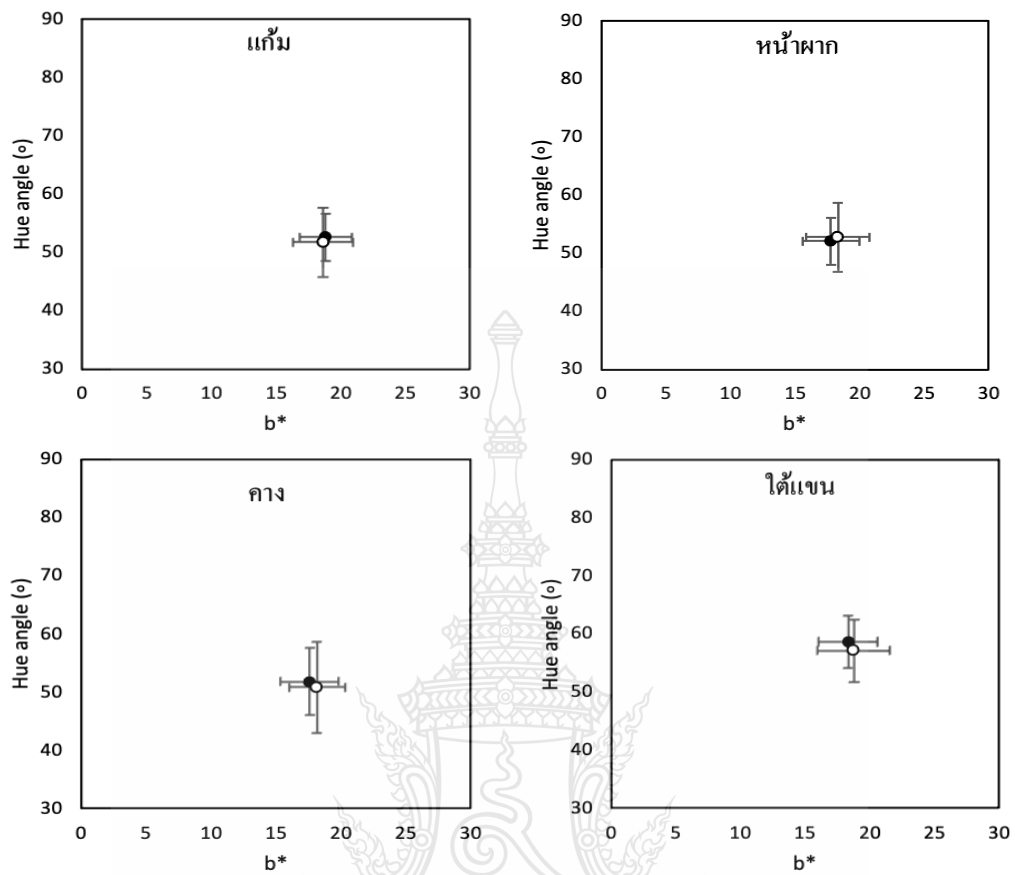
ภาพที่ 4.12 กราฟค่าเฉลี่ยองศาสีและค่าความสว่าง ของบริเวณแก้ม หน้าผาก คาง และใต้แขนระหว่างเพศชายและเพศหญิง

โดยใช้สัญลักษณ์ ● แทน เพศชาย และ ○ แทน เพศหญิง



ภาพที่ 4.13 (ก) กราฟค่าเฉลี่ยองศาสีและค่าความแดงของบริเวณแก้ม หน้าผาก คาง และใต้แขนระว่างเพศชาย และเพศหญิง

โดยใช้สัญลักษณ์ ● แทน เพศชาย และ ○ แทน เพศหญิง



ภาพที่ 4.13 (ข) กราฟค่าเฉลี่ยองศาสี และค่าความเหลือง ของบริเวณแก้ม หน้าผาก คาง และใต้แขน  
ระหว่างเพศชาย และเพศหญิง

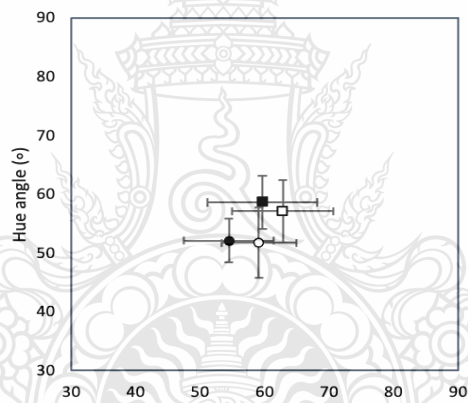
โดยใช้สัญลักษณ์ ● แทน เพศชาย และ ○ แทน เพศหญิง



ตารางที่ 4.11 ค่าเฉลี่ยและส่วนเบี่ยงเบนมาตรฐานของค่าองศาสีของบริเวณแก้ม หน้าผาก คาง และใต้  
 แขนระหว่างเพศชายและเพศหญิง

เพศ	ค่าองศาสี				
	แก้ม	หน้าผาก	คาง	ใต้แขน	ใบหน้า
เพศชาย	52.61±4.03	52.06±4.08	51.83±5.81	58.69±4.51	52.16±3.73
เพศหญิง	51.76±5.97	52.74±5.97	50.86±7.83	57.16±5.34	51.79±5.96

เมื่อเปรียบเทียบค่าเฉลี่ยองศาสีระหว่างบริเวณใบหน้าและใต้แขนที่แสดงในภาพที่ 4.14 พบว่า ทั้งสองเพศจะมีค่าเฉลี่ยองศาสีบริเวณใบหน้าที่มีองศาแคบกว่าใต้แขน กล่าวคือ บริเวณใต้แขนจะมีองศาสีที่ค่อนข้างสีเหลืองมากกว่าบริเวณใบหน้า



ภาพที่ 4.14 กราฟเปรียบเทียบค่าเฉลี่ยค่าเฉลี่ยองศาสีและค่าความสว่าง ระหว่างบริเวณใบหน้าและ  
 บริเวณใต้แขน ในเพศชายและเพศหญิง

โดยใช้สัญลักษณ์ สีดำ แทน เพศชาย และ สีขาว แทน เพศหญิง  
 ○ แทน ใบหน้า และ □ แทน ใต้แขน

จากนั้นได้ทำการทดสอบทางสถิติโดยการเปรียบเทียบความแตกต่างของค่าเฉลี่ยระหว่างตัวแปร 2 กลุ่มที่มีอิสระจากกัน พบว่า มีเพียงในบริเวณใต้แขนเท่านั้นที่ค่าองศาของทั้งเพศชายและเพศหญิงมีความแตกต่างอย่างมีนัยสำคัญ ( $P=0.045$ ) ที่ระดับนัยสำคัญ  $P<0.05$  ซึ่งแสดงค่าทางสถิติในตารางที่ 4.12

**ตารางที่ 4.12** สถิติวิเคราะห์ความแตกต่างของค่าเฉลี่ยองศาศีรษะระหว่างเพศชายและเพศหญิง

บริเวณที่ทำการวัด	F	t	df	Sig. (2-tailed)
แก้ม	15.462	1.093	157.099	0.276
หน้าผาก	16.016	-0.882	158.054	0.379
คาง	11.139	0.923	163.242	0.357
ใต้แขน	2.855	2.016	169	0.045*
ใบหน้า	30.410	0.499	151.517	0.618

\* ที่ระดับนัยสำคัญ 0.05

และเมื่อเปรียบเทียบระหว่างบริเวณใบหน้ากับบริเวณใต้แขน โดยการใช้การทดสอบความแตกต่างค่าเฉลี่ยของกลุ่มตัวอย่าง 2 กลุ่มที่ไม่เป็นอิสระ พบว่า บริเวณใบหน้าของเพศหญิงและเพศชายมีค่าองศาที่แตกต่างกันอย่างมีนัยสำคัญกับบริเวณใต้แขน ( $P=0.000$  และ  $P=0.000$  ตามลำดับ) ที่ระดับนัยสำคัญที่  $P < 0.05$  ดังที่แสดงในตารางที่ 4.13

**ตารางที่ 4.13** สถิติวิเคราะห์ความแตกต่างของค่าเฉลี่ยองศาศีรษะระหว่างเพศชายและเพศหญิง ในบริเวณใบหน้าเทียบกับใต้แขน

เพศ	t	df	Sig. (2-tailed)
เพศชาย			
ค่าองศา	-12.950	80	0.000*
เพศหญิง			
ค่าองศา	-10.401	89	0.000*

\* ที่ระดับนัยสำคัญ 0.05

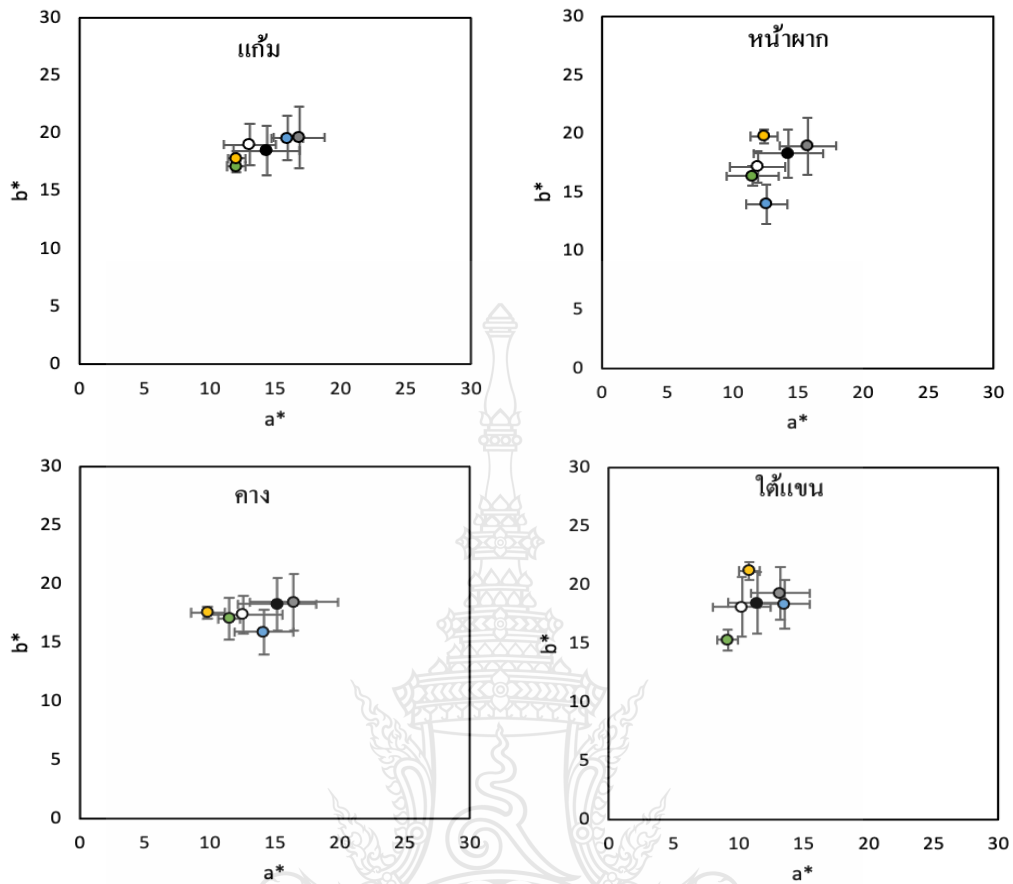
#### 4.2.2 ผลวิเคราะห์ข้อมูลของปัจจัยความแตกต่างทางภูมิภาคที่กำเนิด

การวิเคราะห์ค่าสีและความสว่างของผิวกคนไทยจากความแตกต่างทางภูมิภาคที่กำเนิดทั้งหมด 6 ภูมิภาค ได้แก่ ภาคเหนือ ภาคตะวันออกเฉียงเหนือ ภาคกลาง ภาคตะวันออก ภาคตะวันตก และภาคใต้ พบว่า โดยภาพรวมแล้ว ภาคตะวันตกจะมีค่าความแดงและค่าความเหลืองที่สูงกว่าภาคอื่น ๆ ในทุกบริเวณการวัด (แก้ม หน้าผาก คาง และใต้แขน) และในส่วนของค่าความสว่าง ภาคใต้จะมีค่าที่ต่ำที่สุดในทุกบริเวณการวัด ดังกราฟการกระจายตัวในภาคผนวก ข

โดยเมื่อดูค่าเฉลี่ยความแดง ในภาพที่ 4.15 พบว่า สำหรับค่าความแดงนั้นในบริเวณแก้ม ภาคตะวันตกจะมีค่าสูงที่สุด รองลงมาคือ ภาคใต้ ภาคกลาง ภาคตะวันออกเฉียงเหนือ ภาคตะวันออก และภาคเหนือ ในบริเวณหน้าผาก ภาคตะวันตกยังคงมีค่าความแดงสูงที่สุด รองลงมาคือ ภาคกลาง ภาคใต้ ภาคตะวันออก ภาคตะวันออกเฉียงเหนือ และภาคใต้ ในบริเวณคาง ภาคตะวันตกจะมีค่าความแดงสูงที่สุดเช่นเดียวกัน รองลงมาคือ ภาคกลาง ภาคใต้ ภาคตะวันออกเฉียงเหนือ ภาคเหนือ และภาคตะวันออก และในบริเวณใต้แขน ภาคใต้จะมีค่าความแดงที่สูงที่สุด รองลงมาคือ ภาคตะวันตก ภาคกลาง ภาคตะวันออก ภาคตะวันออกเฉียงเหนือ และภาคเหนือ

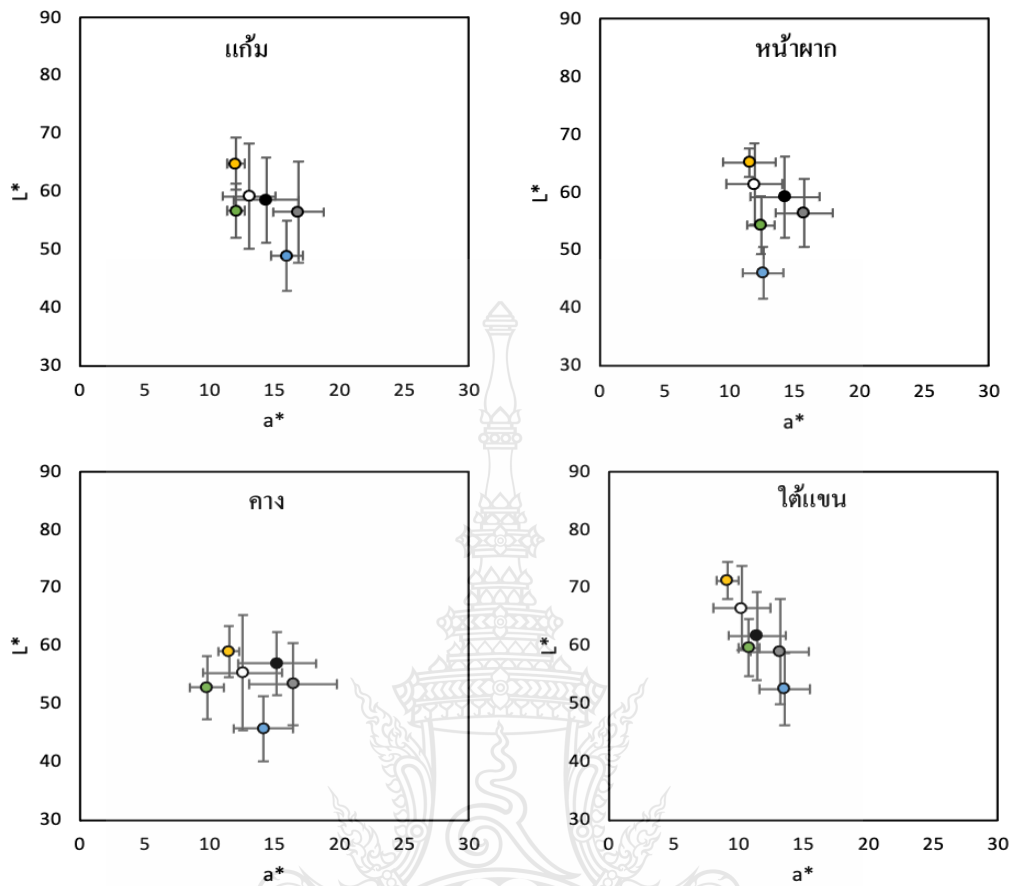
ในส่วนของค่าเฉลี่ยความเหลือง ที่แสดงในภาพที่ ภาพที่ 4.15 บริเวณแก้ม ภาคตะวันตกจะมีค่าสูงที่สุด และค่าใกล้เคียงกับภาคใต้และภาคตะวันออกเฉียงเหนือ รองลงมาคือภาคกลาง ภาคตะวันออก และภาคเหนือ ในบริเวณหน้าผาก ภาคตะวันออกจะมีค่าความเหลืองสูงที่สุด รองลงมาคือ ภาคตะวันตก ภาคกลาง ภาคตะวันออกเฉียงเหนือ ภาคเหนือ และภาคใต้ ในบริเวณคาง ภาคตะวันตกจะมีค่าความเหลืองสูงที่สุด รองลงมาคือ ภาคกลาง ภาคตะวันออก ภาคตะวันออกเฉียงเหนือ ภาคเหนือ และภาคใต้ และในบริเวณใต้แขน พบว่า ภาคตะวันออกจะมีค่าความเหลืองสูงที่สุด รองลงมาคือ ภาคตะวันตก ภาคกลาง ภาคใต้ ภาคตะวันออกเฉียงเหนือ และภาคเหนือ

ค่าเฉลี่ยความสว่างจะเห็นได้อย่างเจนในภาพที่ 4.16 (ก) และ (ข) ว่าภาคเหนือจะมีค่าสูงที่สุด รองลงมาคือ ภาคตะวันออกเฉียงเหนือ ภาคกลาง ภาคตะวันออก ภาคตะวันตก และภาคใต้ จะมีค่าเฉลี่ยความสว่างที่ต่ำที่สุดในทุกตำแหน่งการวัด และสามารถดูค่าความแดง ค่าความเหลือง และค่าความสว่างได้จากตารางที่ 4.14



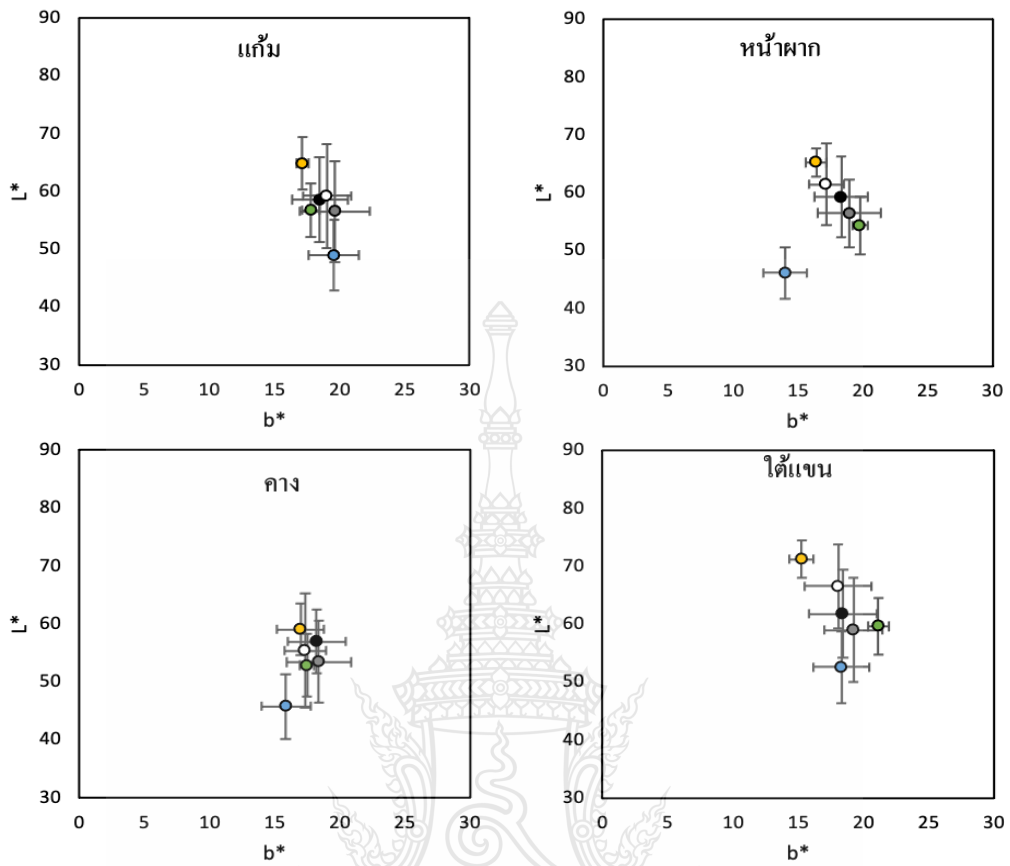
ภาพที่ 4.15 กราฟค่าเฉลี่ยความแดงและความเหลืองของบริเวณแก้ม หน้าผาก คาง และใต้แขนระหว่าง 6 ภูมิภาค

โดยใช้สัญลักษณ์ สีดำ แทน ภาคกลาง, สีขาว แทน ภาคตะวันออกเฉียงเหนือ, สีเหลือง แทน ภาคเหนือ, สีฟ้า แทน ภาคใต้, สีเทา แทน ภาคตะวันตก และ สีเขียว แทน ภาคตะวันออก



ภาพที่ 4.16 (ก) กราฟค่าเฉลี่ยความแดงและเฉลี่ยความสว่าง ของบริเวณแก้ม หน้าผาก คาง และใต้เขนระหว่าง 6 ภูมิภาค

โดยใช้สัญลักษณ์ สีดำ แทน ภาคกลาง, สีขาว แทน ภาคตะวันออกเฉียงเหนือ, สีเหลือง แทน ภาคเหนือ, สีฟ้า แทน ภาคใต้, สีเทา แทน ภาคตะวันตก และ สีเขียว แทน ภาคตะวันออก



ภาพที่ 4.16 (ข) กราฟค่าเฉลี่ยความเหลืองและค่าเฉลี่ยความสว่าง ของบริเวณแก้ม หน้าผาก คาง และ ใต้แขนระหว่าง 6 ภูมิภาค

โดยใช้สัญลักษณ์ สีดำ แทน ภาคกลาง, สีขาว แทน ภาคตะวันออกเฉียงเหนือ, สีเหลือง แทน ภาคเหนือ, สีฟ้า แทน ภาคใต้, สีเทา แทน ภาคตะวันตก และ สีเขียว แทน ภาคตะวันออก

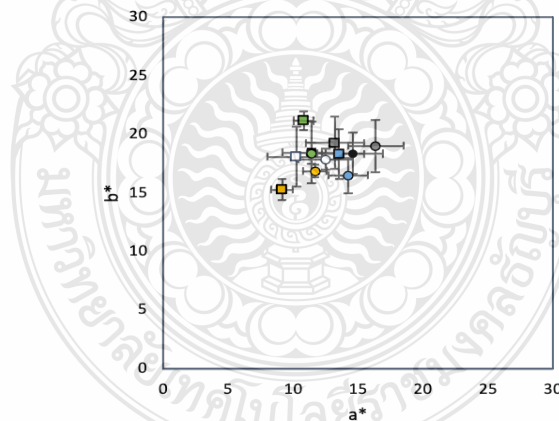
**ตารางที่ 4.14** ค่าเฉลี่ยและส่วนเบี่ยงเบนมาตรฐานของค่าความสว่าง, ค่าความแดง และค่าความเหลือง ของบริเวณแก้ม หน้าผาก คาง และใต้แขนระว่าง 6 ภูมิภาค

ภูมิภาค	ค่าความสว่าง	ค่าความแดง	ค่าความเหลือง
แก้ม			
ภาคกลาง	58.58±7.36	14.37±2.52	18.48±2.13
ภาคตะวันออกเฉียงเหนือ	59.23±9.04	13.06±2.02	19.03±1.83
ภาคเหนือ	64.85±4.53	12.03±0.70	17.14±0.48
ภาคใต้	48.98±6.06	15.95±1.22	19.59±1.93
ภาคตะวันตก	56.56±8.74	16.85±1.97	19.65±2.70
ภาคตะวันออก	56.74±4.67	12.04±0.65	17.81±0.70
หน้าผาก			
ภาคกลาง	59.24±6.99	14.25±2.66	18.34±2.05
ภาคตะวันออกเฉียงเหนือ	61.45±7.08	11.92±2.15	17.19±1.36
ภาคเหนือ	65.22±2.46	11.54±2.01	16.41±0.82
ภาคใต้	46.12±4.47	12.61±1.57	14.01±1.67
ภาคตะวันตก	56.46±5.85	15.76±2.16	18.97±2.44
ภาคตะวันออก	54.34±4.96	12.42±1.04	19.79±0.59
คาง			
ภาคกลาง	56.98±5.50	15.20±3.01	18.24±2.24
ภาคตะวันออกเฉียงเหนือ	55.39±9.88	12.56±3.03	17.35±1.60
ภาคเหนือ	59.04±4.45	11.49±0.84	17.01±1.79
ภาคใต้	45.77±5.58	14.16±2.29	15.86±1.90
ภาคตะวันตก	53.44±7.06	16.44±3.39	18.41±2.44
ภาคตะวันออก	52.87±5.45	9.82±1.31	17.51±0.53
ใต้แขน			
ภาคกลาง	61.78±7.59	11.43±2.22	18.44±2.63
ภาคตะวันออกเฉียงเหนือ	66.53±7.19	10.26±2.23	18.07±2.55
ภาคเหนือ	71.23±3.19	9.16±0.82	15.27±0.90

ตารางที่ 4.14 (ต่อ) ค่าเฉลี่ยและส่วนเบี่ยงเบนมาตรฐานของค่าความสว่าง, ค่าความแดง และค่าความเหลือง ของบริเวณแก้ม หน้าผาก คาง และใต้แขนระหว่าง 6 ภูมิภาค

ภูมิภาค	ค่าความสว่าง	ค่าความแดง	ค่าความเหลือง
ใต้แขน			
ภาคใต้	52.58±6.19	13.55±1.93	18.32±2.11
ภาคตะวันตก	59.00±9.01	13.21±2.24	19.26±2.22
ภาคตะวันออก	59.65±4.93	10.81±0.78	21.16±0.77

เมื่อทำการเปรียบเทียบค่าเฉลี่ยสีและความสว่างของผิวระหว่างบริเวณใบหน้าและใต้แขน พบว่า ทุกภูมิภาคจะมีค่าความแดงของบริเวณใบหน้าจะต่ำกว่าบริเวณ แต่มีความแตกต่างกันในค่าความเหลือง คือ ภาคตะวันออกและภาคใต้จะมีค่าความเหลืองของบริเวณใบหน้าจะสูงกว่าใต้แขน ส่วนภาคกลาง ภาคตะวันตก และภาคตะวันออกเฉียงเหนือมีค่าความเหลืองของทั้งสองบริเวณที่ไม่แตกต่างกัน และภาคเหนือจะมีค่าความเหลืองของบริเวณใบหน้าที่สูงกว่าบริเวณใต้แขน ดังภาพที่ 4.17 และในส่วนของค่าความสว่าง จะเห็นได้อย่างชัดเจนในภาพที่ 4.18 (ก) และ (ข) ว่าในบริเวณใบหน้านั้นจะมีค่าความสว่างที่ต่ำกว่าบริเวณใต้แขนในทุกภูมิภาค และสามารถดูค่าความแดง ค่าความเหลือง และค่าความสว่างบริเวณใบหน้าได้จากตารางที่ 4.15

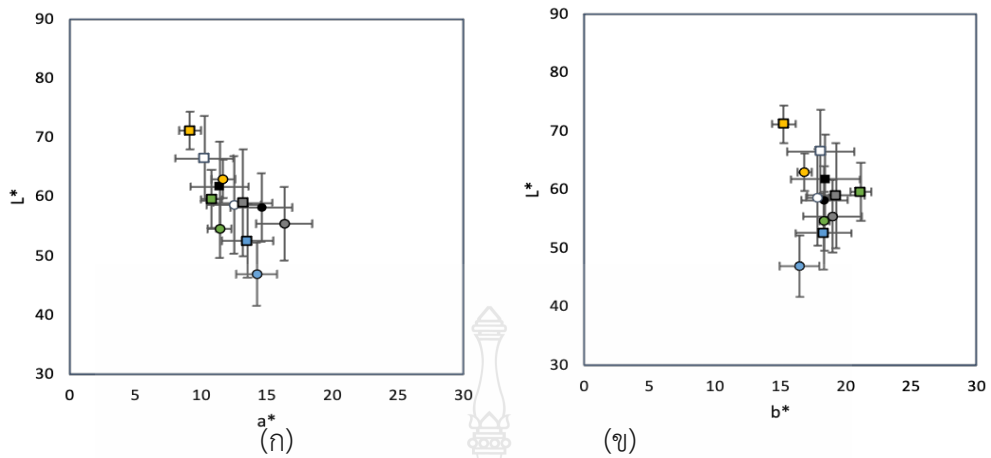


ภาพที่ 4.17 กราฟเปรียบเทียบค่าเฉลี่ยความแดง และความเหลือง ระหว่างบริเวณใบหน้าและบริเวณใต้แขน ใน 6 ภูมิภาค

โดยใช้สัญลักษณ์ สีดำ แทน ภาคกลาง, สีขาว แทน ภาคตะวันออกเฉียงเหนือ, สีเหลือง แทน ภาคเหนือ, สีฟ้า แทน ภาคใต้, สีเทา แทน ภาคตะวันตก และ สีเขียว แทน ภาคตะวันออก

○ แทน ใบหน้า และ □ แทน ใต้แขน





ภาพที่ 4.18 (ก) กราฟเปรียบเทียบค่าเฉลี่ยความแดง และความสว่างระหว่างบริเวณใบหน้าและบริเวณใต้แขน ใน 6 ภูมิภาค

(ข) กราฟเปรียบเทียบค่าเฉลี่ยความเหลือง และความสว่าง ระหว่างบริเวณใบหน้าและบริเวณใต้แขนใน 6 ภูมิภาค

โดยใช้สัญลักษณ์ สีดำ แทน ภาคกลาง, สีขาว แทน ภาคตะวันออกเฉียงเหนือ, สีเหลือง แทน ภาคเหนือ, สีฟ้า แทน ภาคใต้, สีเทา แทน ภาคตะวันตก และ สีเขียว แทน ภาคตะวันออก  
 ○ แทน ใบหน้า และ □ แทน ใต้แขน

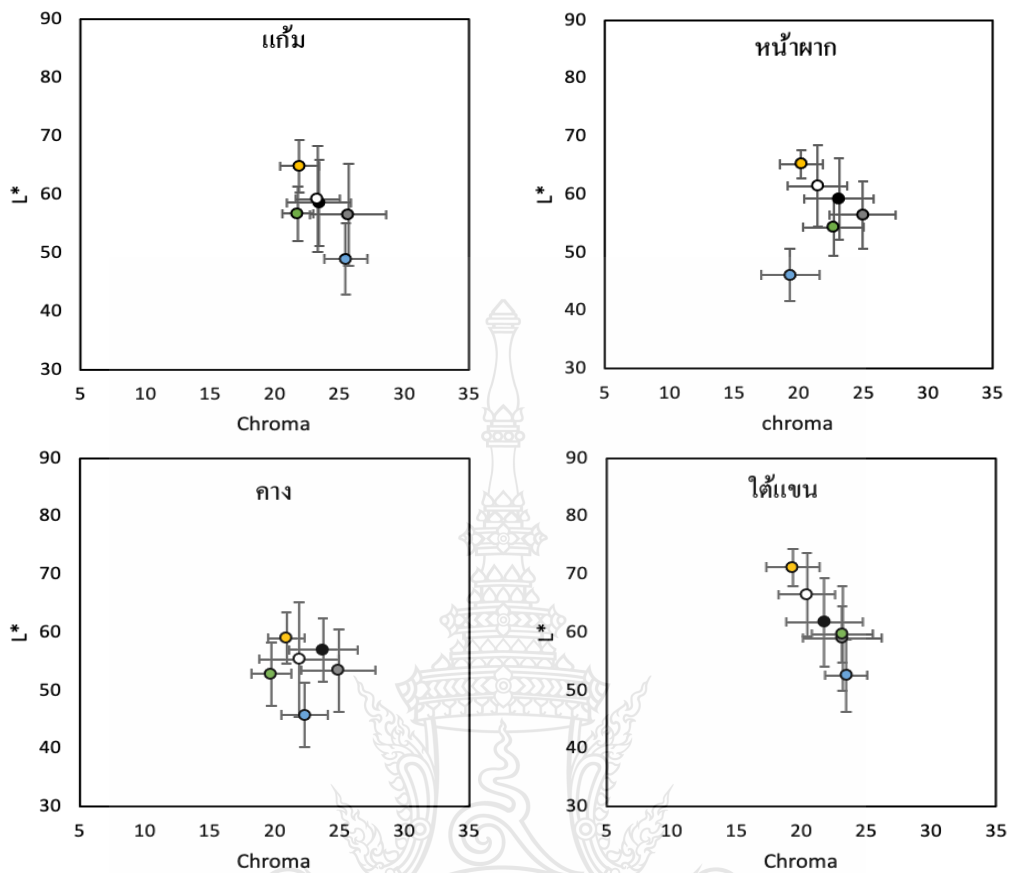
ตารางที่ 4.15 ค่าเฉลี่ยและส่วนเบี่ยงเบนมาตรฐานของค่าความสว่าง, ค่าความแดง, และค่า ความเหลือง ของบริเวณใบหน้าระหว่าง 6 ภูมิภาค

ภูมิภาค	ความสว่าง	ค่าความแดง	ความเหลือง
ภาคกลาง	58.27±5.77	14.60±2.35	18.35±1.77
ภาคตะวันออกเฉียงเหนือ	58.69±8.24	12.51±2.08	17.86±0.88
ภาคเหนือ	63.04±3.25	11.69±0.92	16.86±0.52
ภาคใต้	46.96±5.30	14.24±1.53	16.49±1.53
ภาคตะวันตก	55.49±6.27	16.35±2.13	19.01±2.23
ภาคตะวันออก	54.65±5.00	11.43±0.90	18.37±0.40

เมื่อทำการทดสอบสถิติด้วยการวิเคราะห์ความแปรปรวนแบบทางเดียว พบว่า ค่าความสว่าง ค่าความแดง และค่าความเหลืองของทุกบริเวณการวัดในทั้ง 6 ภูมิภาคมีความแตกต่างกัน อย่างมีนัยสำคัญอย่างน้อยหนึ่งคู่ที่ระดับนัยสำคัญ  $P < 0.05$  (แก้ม;  $P=0.033$ ,  $P=0.00$  และ  $P=0.013$  ตามลำดับ, หน้าผาก;  $P=0.000$ ,  $P=0.000$  และ  $P=0.000$  ตามลำดับ, คาง;  $P=0.000$ ,  $P=0.000$  และ  $P=0.004$  ตามลำดับ, ใต้แขน;  $P=0.000$ ,  $P=0.000$  และ  $P=0.000$  ตามลำดับ และบริเวณใบหน้า;  $P=0.000$ ,  $P=0.000$  และ  $P=0.000$  ตามลำดับ) โดยการทดสอบรายคู่ด้วย post hoc จะแสดงใน ภาคผนวก ค

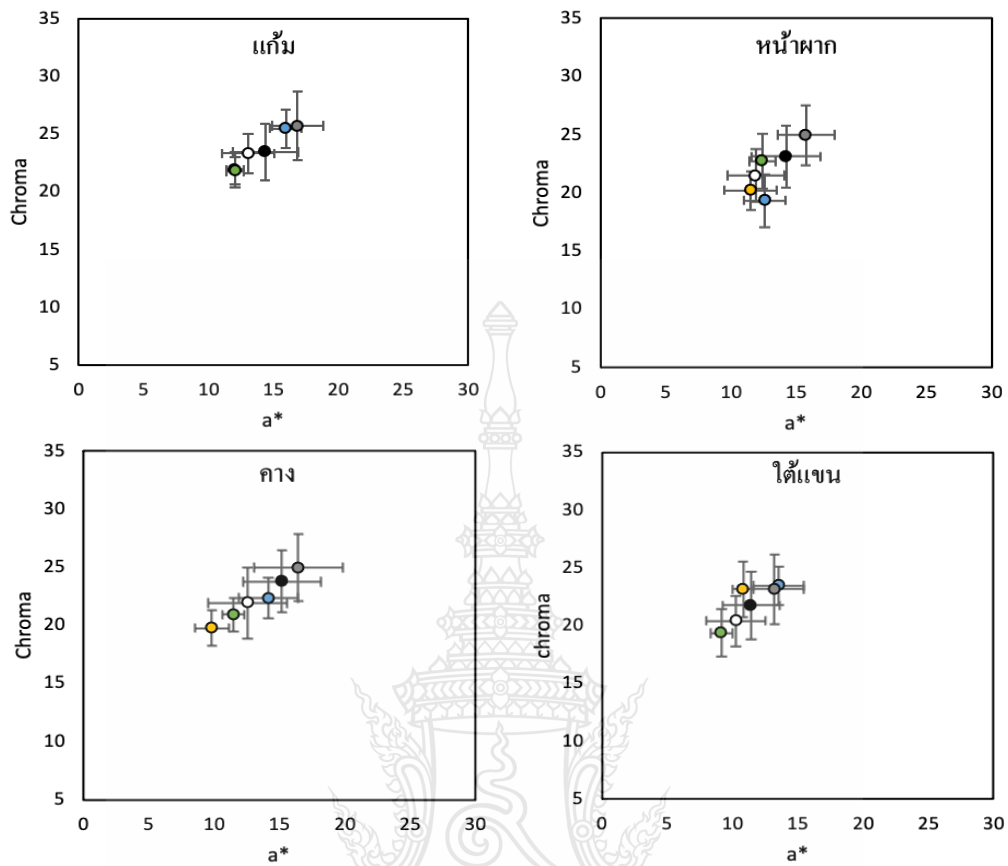
นอกจากนี้ยังได้ทำการทดสอบความแตกต่างค่าเฉลี่ยของกลุ่มตัวอย่าง 2 กลุ่มที่ไม่ เป็นอิสระระหว่างบริเวณใบหน้าและใต้แขน พบกว่า ภาคกลาง ภาคตะวันตก และภาค ตะวันออกเฉียงเหนือ มีความแตกต่างกันอย่างมีนัยสำคัญที่ระดับนัยสำคัญ  $P < 0.05$  ในค่าความสว่าง และค่าความแดง ในส่วนของภาคตะวันออกและภาคเหนือมีความแตกต่างกันอย่างมีนัยสำคัญในค่า ความสว่าง ค่าความแดง และค่าความเหลือง และภาคใต้มีความแตกต่างกันอย่างมีนัยสำคัญระหว่าง บริเวณใบหน้าและใต้แขน ในค่าความสว่างและค่าความเหลือง โดยสามารถค่าทางสถิติจะแสดงใน ภาคผนวก ค

ค่าความอิมตัวสี และ ค่าองศาสี ถูกนำมาวิเคราะห์ในคนทั้ง 6 ภูมิภาค เช่นกัน โดยการกระจายตัวของค่าความอิมตัวสีสามารถดูได้จากภาคผนวก ข ซึ่งค่าเฉลี่ยความอิมตัวสีของภาค ตะวันตกจะสูงกว่าภูมิภาคอื่น ๆ ในบริเวณแก้ม หน้าผาก และคาง แต่ภาคตะวันออกจะมีค่าเฉลี่ยความ อิมตัวสีที่ต่ำที่สุดในบริเวณแก้มและคาง ส่วนบริเวณหน้าผาก ภาคใต้จะมีค่าที่ต่ำที่สุด และบริเวณใต้แขน ภาคเหนือจะมีค่าความอิมตัวสีต่ำสุด และสิ่งที่สังเกตได้อีกอย่างหนึ่งคือ เมื่อค่าความอิมตัวสีต่ำ จะมีค่า ความสว่างที่สูงขึ้น ดังภาพที่ 4.19 (ก) ซึ่งชัดเจนในบริเวณใต้แขน เพราะเนื่องจากเป็นบริเวณที่มักจะ ไม่ได้สัมผัสกับแสงแดด แต่ในทางตรงกันข้ามเมื่อค่าความอิมตัวสีเพิ่มขึ้น ค่าความแดงและค่าความ เหลืองก็จะเพิ่มขึ้นตามไปด้วย โดยแสดงในภาพที่ 4.19 (ข) และ (ค) และค่าความอิมตัวสีของบริเวณ แก้ม หน้าผาก คาง และใต้แขนระหว่าง 6 ภูมิภาค จะแสดงในตารางที่ 4.16



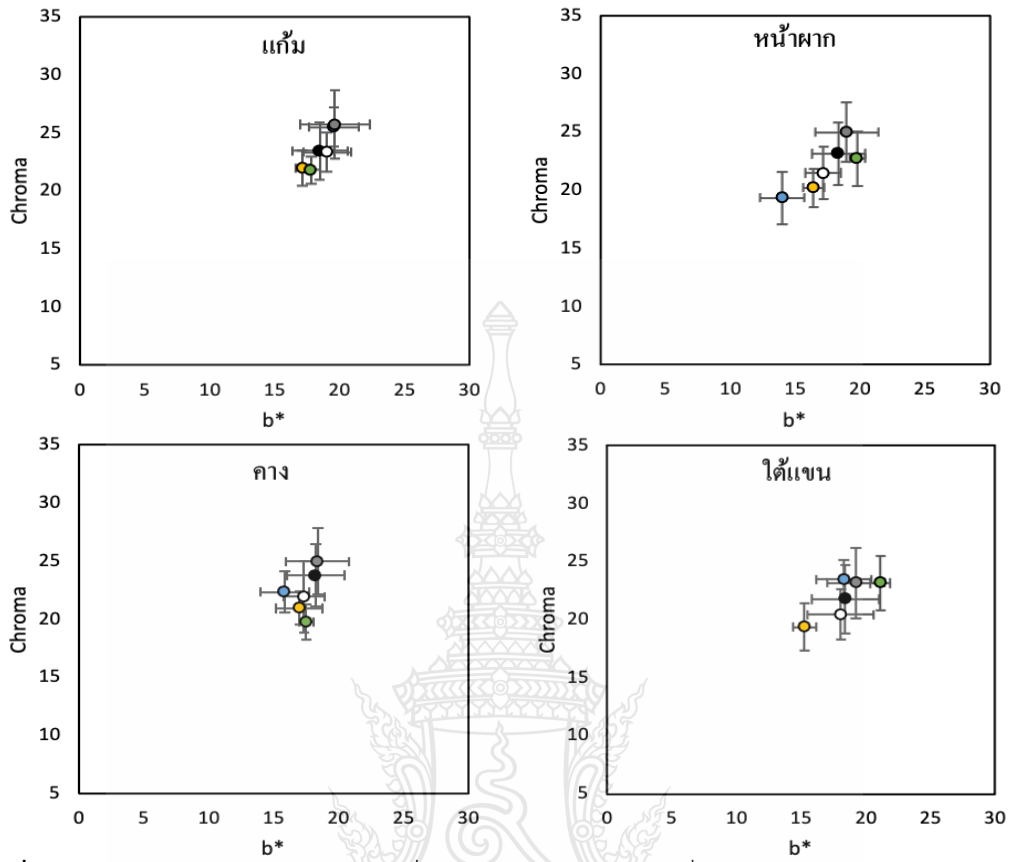
ภาพที่ 4.19 (ก) กราฟเปรียบเทียบค่าเฉลี่ยความอิ่มตัวสีและความสว่างในบริเวณแก้ม หน้าผาก คาง และใต้แขน ระหว่าง 6 ภูมิภาค

โดยใช้สัญลักษณ์ สีดำ แทน ภาคกลาง, สีขาว แทน ภาคตะวันออกเฉียงเหนือ, สีเหลือง แทน ภาคเหนือ, สีฟ้า แทน ภาคใต้, สีเทา แทน ภาคตะวันตก และ สีเขียว แทน ภาคตะวันออก



ภาพที่ 4.19 (ข) กราฟเปรียบเทียบค่าเฉลี่ยความแดงและความอิ่มตัวสี ในบริเวณแก้ม หน้าผาก คาง และใต้แขน ระหว่าง 6 ภูมิภาค

โดยใช้สัญลักษณ์ สีดำ แทน ภาคกลาง, สีขาว แทน ภาคตะวันออกเฉียงเหนือ, สีเหลือง แทน ภาคเหนือ, สีฟ้า แทน ภาคใต้, สีเทา แทน ภาคตะวันตก และ สีเขียว แทน ภาคตะวันออก



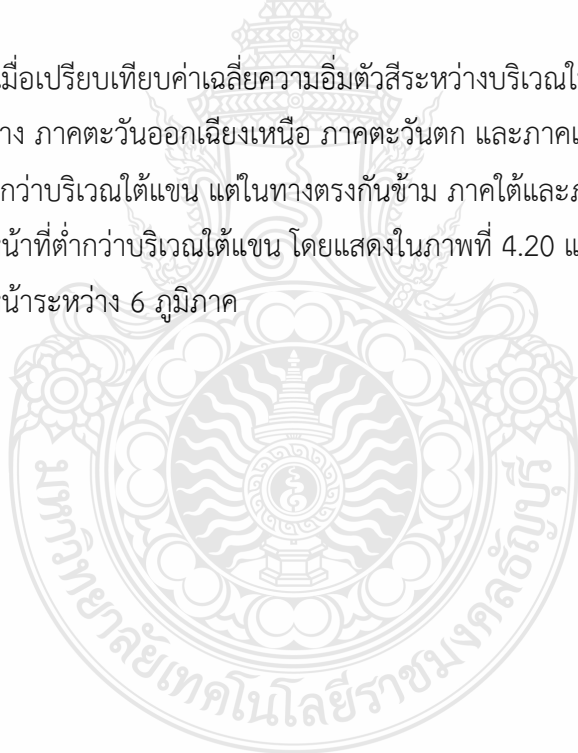
ภาพที่ 4.19 (ค) กราฟเปรียบเทียบค่าเฉลี่ยความเหลืองและความอิ่มตัวสี ในบริเวณแก้ม หน้าผาก คาง และใต้แขน ระหว่าง 6 ภูมิภาค

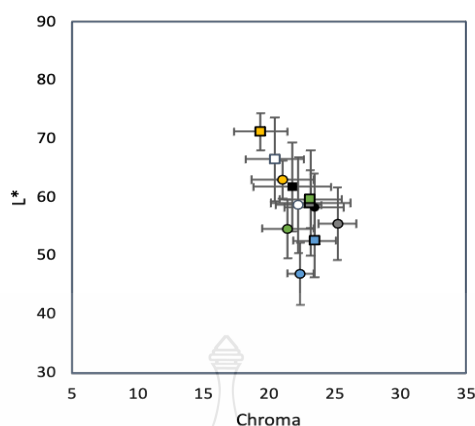
โดยใช้สัญลักษณ์ สีดำ แทน ภาคกลาง, สีขาว แทน ภาคตะวันออกเฉียงเหนือ, สีเหลือง แทน ภาคเหนือ, สีฟ้า แทน ภาคใต้, สีเทา แทน ภาคตะวันตก และ สีเขียว แทน ภาคตะวันออก

ตารางที่ 4.16 ค่าเฉลี่ยและส่วนเบี่ยงเบนมาตรฐานของค่าความอึดตัวของบริเวณแก้ม หน้าผาก คาง และใต้แขนระหว่าง 6 ภูมิภาค

ภูมิภาค	ค่าความอึดตัว				
	แก้ม	หน้าผาก	คาง	ใต้แขน	ใบหน้า
ภาคกลาง	52.16±5.27	52.35±5.22	50.52±6.42	58.16±5.15	23.45±2.24
ภาคตะวันออกเฉียงเหนือ	55.61±5.30	55.42±5.13	54.55±6.42	60.37±6.17	22.24±1.72
ภาคเหนือ	54.96±1.60	55.15±3.30	55.81±3.50	59.03±2.60	21.03±2.40
ภาคใต้	50.74±3.27	48.01±2.88	48.39±5.75	53.60±2.59	22.39±0.98
ภาคตะวันตก	49.25±4.84	50.26±4.23	48.53±6.83	55.67±3.79	25.22±1.46
ภาคตะวันออก	55.93±1.62	57.93±2.08	60.80±3.30	62.95±1.87	21.43±1.93

เมื่อเปรียบเทียบค่าเฉลี่ยความอึดตัวระหว่างบริเวณใบหน้าและใต้แขนระหว่าง 6 ภูมิภาค พบว่า ภาคกลาง ภาคตะวันออกเฉียงเหนือ ภาคตะวันตก และภาคเหนือ จะมีค่าความอึดตัวของบริเวณใบหน้าที่สูงกว่าบริเวณใต้แขน แต่ในทางตรงกันข้าม ภาคใต้และภาคตะวันออก จะมีค่าความอึดตัวของบริเวณใบหน้าที่ต่ำกว่าบริเวณใต้แขน โดยแสดงในภาพที่ 4.20 และแสดงค่าเฉลี่ยความอึดตัวของบริเวณใบหน้าระหว่าง 6 ภูมิภาค





ภาพที่ 4.20 กราฟเปรียบเทียบค่าเฉลี่ยความอิ่มตัวสีและความสว่างระหว่างบริเวณใบหน้าและบริเวณใต้แขนใน 6 ภูมิภาค

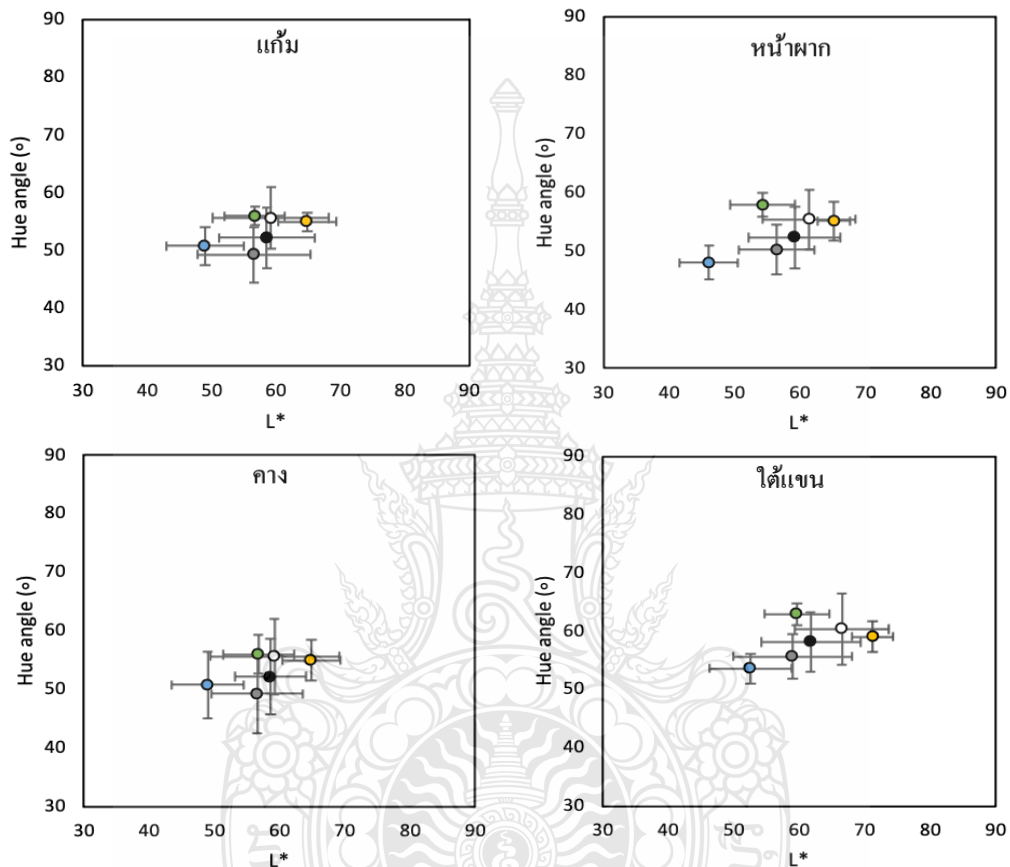
โดยใช้สัญลักษณ์ สีดำ แทน ภาคกลาง, สีขาว แทน ภาคตะวันออกเฉียงเหนือ, สีเหลือง แทน ภาคเหนือ, สีฟ้า แทน ภาคใต้, สีเทา แทน ภาคตะวันตก และ สีเขียว แทน ภาคตะวันออก

○ แทน ใบหน้า และ □ แทน ใต้แขน

เมื่อทดสอบทางสถิติด้วยการวิเคราะห์ความแปรปรวนแบบทางเดียว พบว่า ค่าความอิ่มตัวสีของทุกบริเวณการวัดในทั้ง 6 ภูมิภาคมีความแตกต่างกันอย่างมีนัยสำคัญอย่างน้อยหนึ่งคู่ที่ระดับนัยสำคัญ  $P < 0.05$  (แก้ม;  $P = 0.000$ , หน้าผาก;  $P = 0.000$ , คาง;  $P = 0.000$ , ใต้แขน;  $P = 0.005$  และบริเวณใบหน้า;  $P = 0.000$ ) และการทดสอบรายคู่ด้วย post hoc จะแสดงในภาคผนวก ข. นอกจากนี้ยังได้ทำการทดสอบความแตกต่างค่าเฉลี่ยของกลุ่มตัวอย่าง 2 กลุ่มที่ไม่เป็นอิสระ ระหว่างบริเวณใบหน้าและใต้แขนของค่าความอิ่มตัวสี พบว่า ในทุกภูมิภาค ยกเว้นภาคใต้ มีความแตกต่างกันอย่างมีนัยสำคัญที่ระดับนัยสำคัญ  $P < 0.05$  โดยสามารถค่าทางสถิติจะแสดงในภาคผนวก ค

ในส่วนค่าองศาสีสามารถดูกราฟการกระจายตัวของข้อมูลได้ในภาคผนวก ข จากค่าเฉลี่ยองศาสี จะเห็นได้ว่า ภาคตะวันออกเฉียงเหนือจะมีค่าเฉลี่ยขององศาสีที่กว้างกว่าภูมิภาคอื่น ๆ ในทุกบริเวณการวัด กล่าวคือ ภาคตะวันออกเฉียงเหนือจะมีค่าองศาสี ที่ค่อนข้างไปทางสีเหลืองมากกว่าภูมิภาคอื่น ๆ แต่ในขณะเดียวกันในบริเวณแก้มและคาง ภาคเหนือจะมีค่าองศาสีที่แคบที่สุด และใบบริเวณหน้าผากและใต้แขน ภาคใต้จะมีค่าองศาสีที่แคบที่สุด กล่าวคือ ภาคเหนือจะมีค่าองศาสีที่มีความแดงมากกว่าภูมิภาคอื่น ๆ ในบริเวณแก้มและคาง แต่ภาคใต้จะมีความแดงมากกว่าภูมิภาคอื่น ๆ ในบริเวณหน้าผากและใต้แขน และสิ่งที่สังเกตได้คือเมื่อค่าความแดงของผิวที่มากขึ้นจะส่งผลทำให้ค่าองศาสีที่แคบลง สังเกตได้ชัดเจนในภาคตะวันตก และเมื่อค่าความเหลืองเพิ่มขึ้นก็จะมีค่าองศาสีที่กว้างขึ้นเช่นกัน โดยแสดงดัง

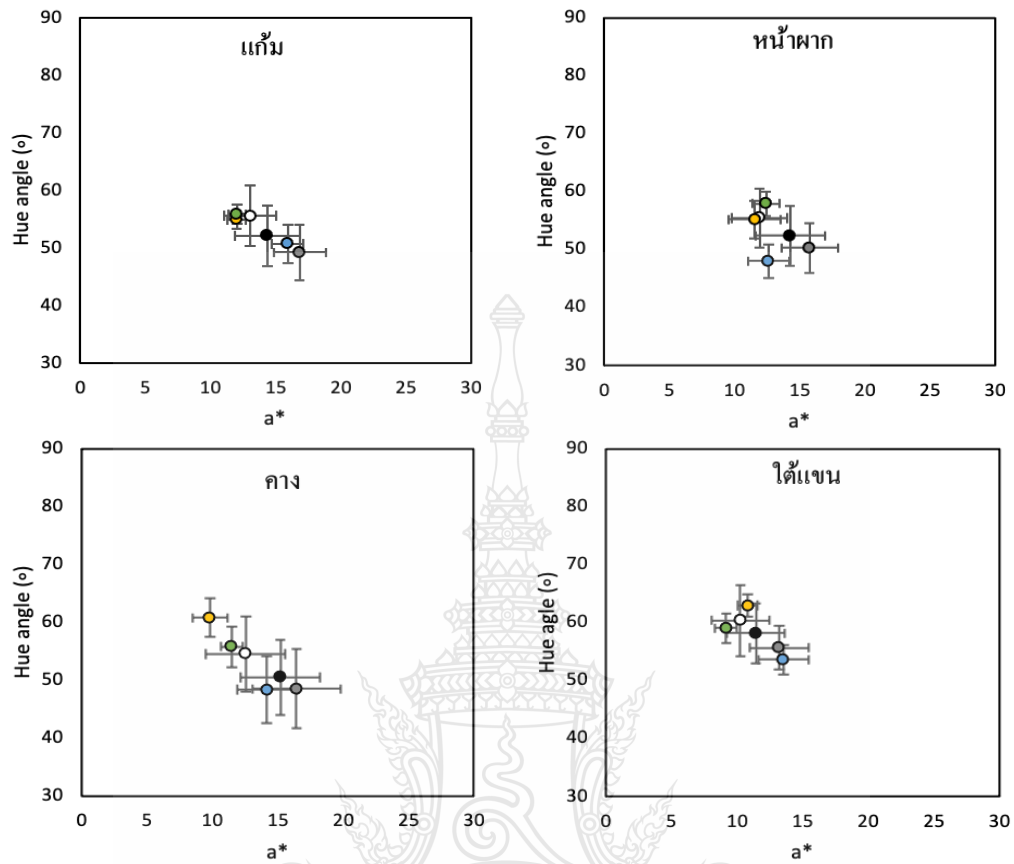
ภาพที่ 4.21 (ก) (ข) และ (ค) และค่าองศาสีของบริเวณแก้ม หน้าผาก คาง และใต้แขนระหว่าง 6 ภูมิภาค จะแสดงในตารางที่ 4.17 นอกจากนี้เมื่อเปรียบเทียบระหว่างบริเวณใบหน้าและใต้พบว่า ทั้ง 6 ภูมิภาค จะมีค่าองศาสีในบริเวณใบหน้าที่แคบกว่าบริเวณใต้แขน กล่าวคือ ในบริเวณใต้แขนจะมีค่าองศาสีที่ค่อนข้างไปทางสีเหลืองมากกว่าบริเวณใบหน้า ดังภาพที่ 4.22



ภาพที่ 4.21 (ก) กราฟเปรียบเทียบค่าเฉลี่ยความสว่างและค่าองศาสีในบริเวณแก้ม หน้าผาก คาง และ ใต้แขน ระหว่าง 6 ภูมิภาค

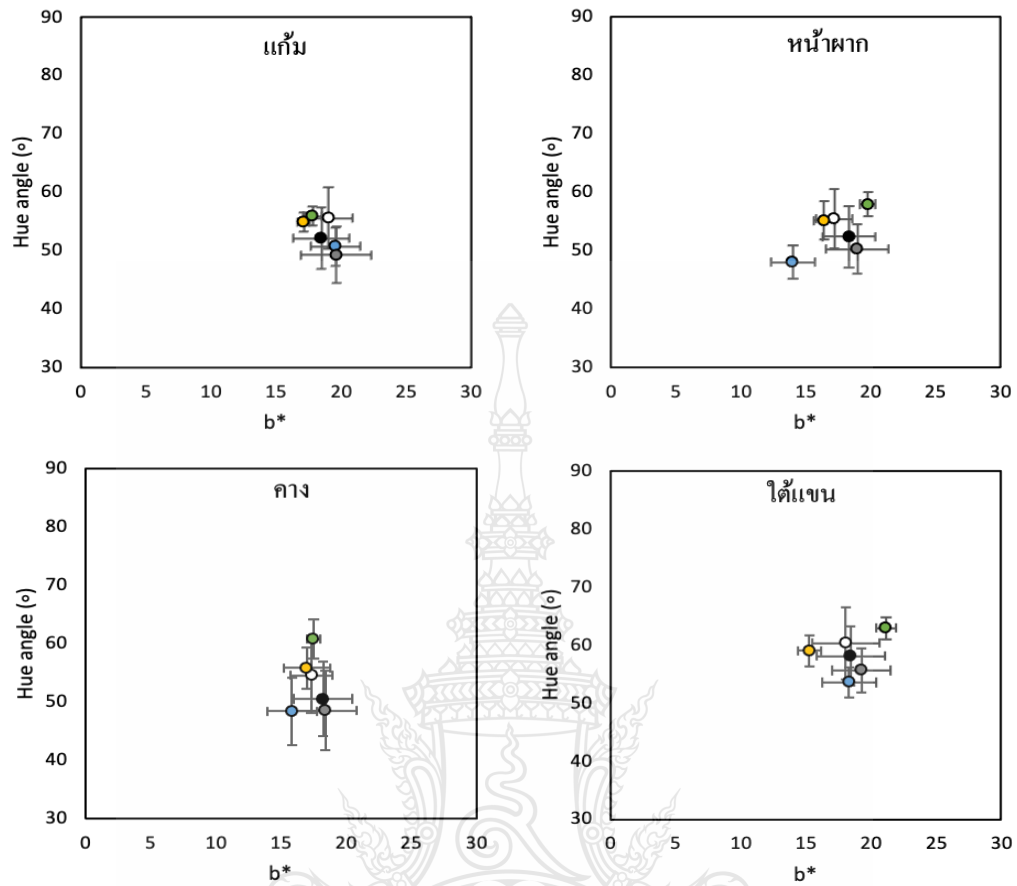
โดยใช้สัญลักษณ์ สีดำ แทน ภาคกลาง, สีขาว แทน ภาคตะวันออกเฉียงเหนือ, สีเหลือง แทน ภาคเหนือ, สีฟ้า แทน ภาคใต้, สีเทา แทน ภาคตะวันตก และ สีเขียว แทน ภาคตะวันออก





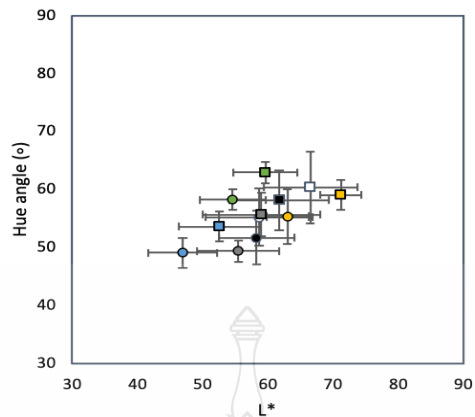
ภาพที่ 4.21 (ข) กราฟเปรียบเทียบค่าเฉลี่ยความแดงและค่าองศาสีในบริเวณแก้ม หน้าผาก คาง และ ใต้แขน ระหว่าง 6 ภูมิภาค

โดยใช้สัญลักษณ์ สีดำ แทน ภาคกลาง, สีขาว แทน ภาคตะวันออกเฉียงเหนือ, สีเหลือง แทน ภาคเหนือ, สีฟ้า แทน ภาคใต้, สีเทา แทน ภาคตะวันตก และ สีเขียว แทน ภาคตะวันออก



ภาพที่ 4.21 (ค) กราฟเปรียบเทียบค่าเฉลี่ยความเหลืองและค่าองค์สีในบริเวณแก้ม หน้าผาก คาง และใต้แขน ระหว่าง 6 ภูมิภาค

โดยใช้สัญลักษณ์ สีดำ แทน ภาคกลาง, สีขาว แทน ภาคตะวันออกเฉียงเหนือ, สีเหลือง แทน ภาคเหนือ, สีฟ้า แทน ภาคใต้, สีเทา แทน ภาคตะวันตก และ สีเขียว แทน ภาคตะวันออก



ภาพที่ 4.22 กราฟเปรียบเทียบค่าเฉลี่ยความสว่างและค่าองศาสีระหว่างบริเวณใบหน้าและบริเวณใต้แขนใน 6 ภูมิภาค

โดยใช้สัญลักษณ์ สีดำ แทน ภาคกลาง, สีขาว แทน ภาคตะวันออกเฉียงเหนือ, สีเหลือง แทน ภาคเหนือ, สีฟ้า แทน ภาคใต้, สีเทา แทน ภาคตะวันตก และ สีเขียว แทน ภาคตะวันออก  
 ○ แทน ใบหน้า และ □ แทน ใต้แขน

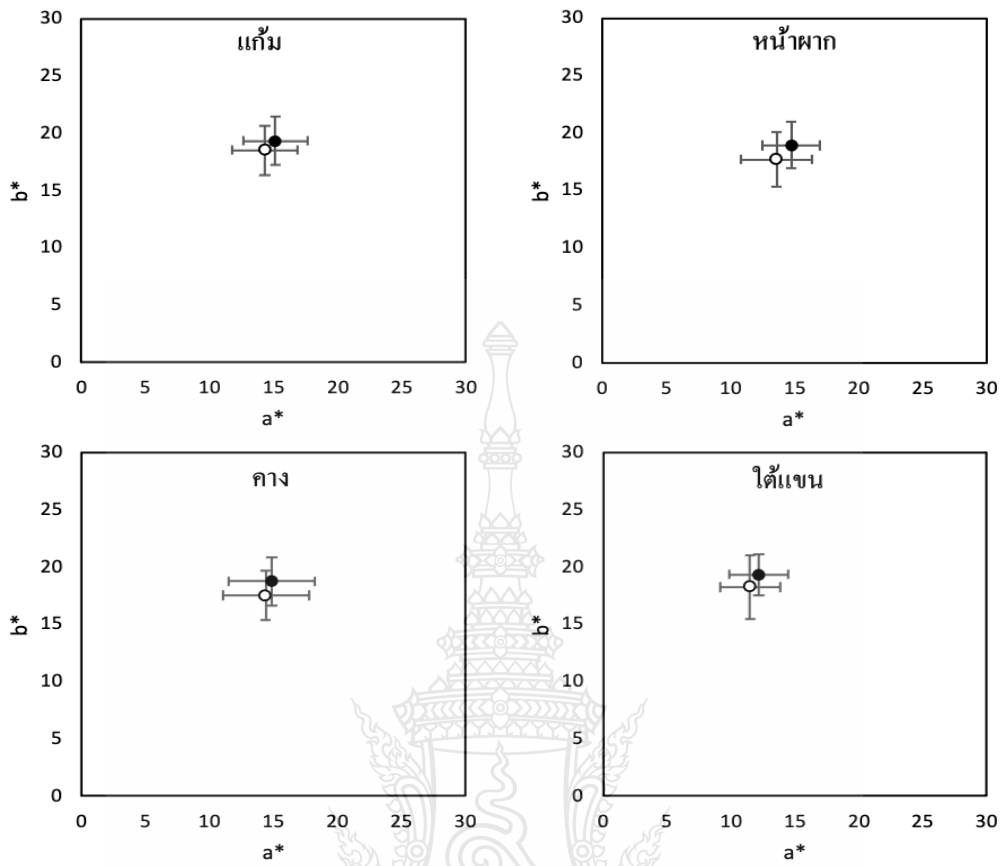
ตารางที่ 4.17 ค่าเฉลี่ยและส่วนเบี่ยงเบนมาตรฐานของค่าองศาสีของบริเวณแก้ม หน้าผาก คาง และใต้แขนระหว่าง 6 ภูมิภาค

ภูมิภาค	ค่าองศาสี				
	แก้ม	หน้าผาก	คาง	ใต้แขน	ใบหน้า
ภาคกลาง	52.16±5.27	52.35±5.22	50.52±6.42	58.16±5.15	51.67±4.66
ภาคตะวันออกเฉียงเหนือ	55.61±5.30	55.42±5.13	54.55±6.42	60.37±6.17	55.20±4.96
ภาคเหนือ	54.96±1.60	55.15±3.30	55.81±3.50	59.03±2.60	55.31±4.78
ภาคใต้	50.74±3.27	48.01±2.88	48.39±5.75	53.60±2.59	49.05±2.57
ภาคตะวันตก	49.25±4.84	50.26±4.23	48.53±6.83	55.67±3.79	49.34±1.84
ภาคตะวันออก	55.93±1.62	57.93±2.08	60.80±3.30	62.95±1.8	58.22±1.75

จากการทดสอบทางสถิติด้วยการวิเคราะห์ความแปรปรวนแบบทางเดียว พบว่า ค่าองศาสีของทุกบริเวณการวัดในทั้ง 6 ภูมิภาคมีความแตกต่างกันอย่างมีนัยสำคัญอย่างน้อยหนึ่งคู่ที่ระดับนัยสำคัญ  $P < 0.05$  (แก้ม;  $P = 0.000$ , หน้าผาก;  $P = 0.000$ , คาง;  $P = 0.000$ , ใต้แขน;  $P = 0.000$  และ บริเวณใบหน้า;  $P = 0.000$ ) และการทดสอบรายคู่ด้วย post hoc จะแสดงในภาคผนวก ข นอกจากนี้ยังได้ทำการทดสอบความแตกต่างค่าเฉลี่ยของกลุ่มตัวอย่าง 2 กลุ่มที่ไม่เป็นอิสระ ระหว่างบริเวณใบหน้า และใต้แขนของค่าองศาสี พบว่า ในทุกภูมิภาค มีความแตกต่างกันอย่างมีนัยสำคัญที่ระดับนัยสำคัญ  $P < 0.05$  โดยสามารถค่าทางสถิติจะแสดงในภาคผนวก ค

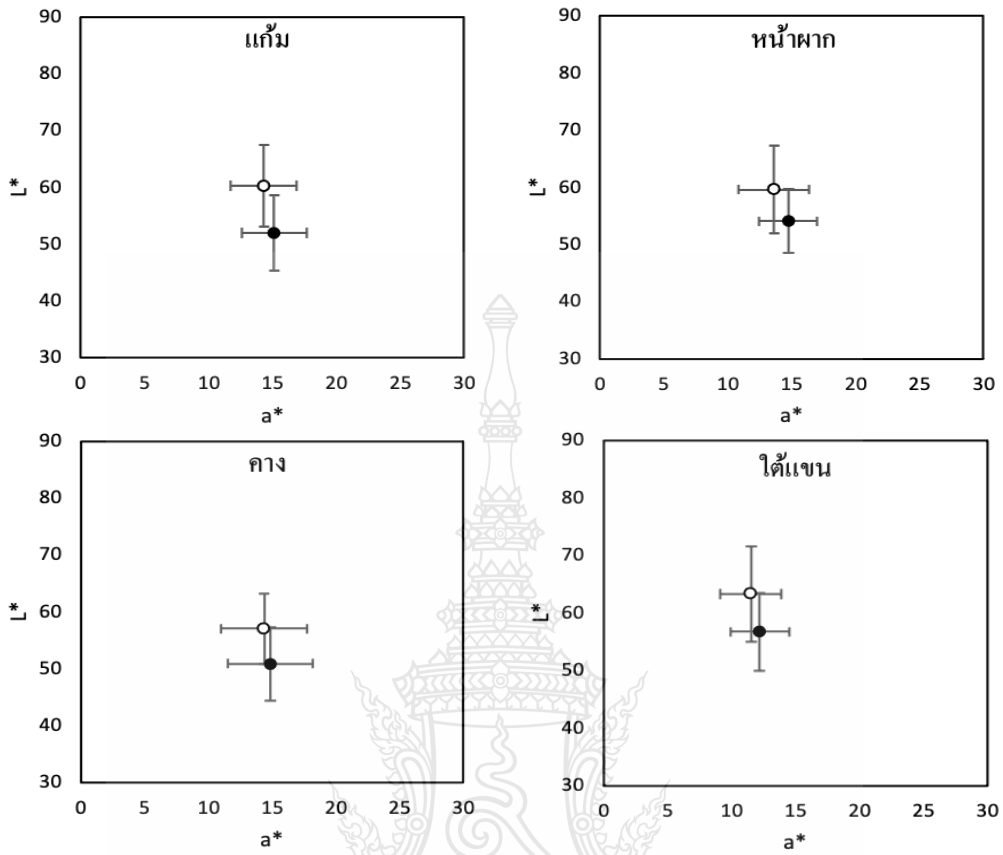
#### 4.2.3 ผลวิเคราะห์ข้อมูลของปัจจัยความแตกต่างของลักษณะสถานที่ทำงาน

การวิเคราะห์ข้อมูลของค่าสีและความสว่างของผิวคนไทยจากความแตกต่างของลักษณะสถานที่ทำงาน ได้แก่ ทำงานกลางแจ้ง และทำงานในร่ม พบว่า คนที่ทำงานในที่ร่มหรือในอาคารจะกระจายตัวของค่าความแดงที่มากกว่าคนที่ทำงานกลางแจ้ง แต่จะมีค่าความเหลืองที่ต่ำกว่าคนที่ทำงานกลางแจ้ง และมีค่าความสว่างที่ค่อนข้างสูงกว่าคนที่ทำงานกลางแจ้ง โดยกราฟการกระจายตัวจะแสดงในภาคผนวก ข และเมื่อดูค่าเฉลี่ยของความแดงและความเหลืองในภาพที่ 4.23 พบว่า คนที่ทำงานในร่มจะมีค่าความแดงและค่าความเหลืองที่ต่ำกว่าคนทำงานในกลางแจ้งของทุกบริเวณการวัด แต่สำหรับค่าความสว่างนั้น คนที่ทำงานในร่มจะมีค่าความสว่างที่สูงกว่าคนที่ทำงานกลางแจ้งอย่างเห็นได้ชัดในภาพที่ 4.24 (ก) และ (ข) โดยสามารถดูค่าเฉลี่ยของสีและความสว่างของผิวได้จากตารางที่ 4.18



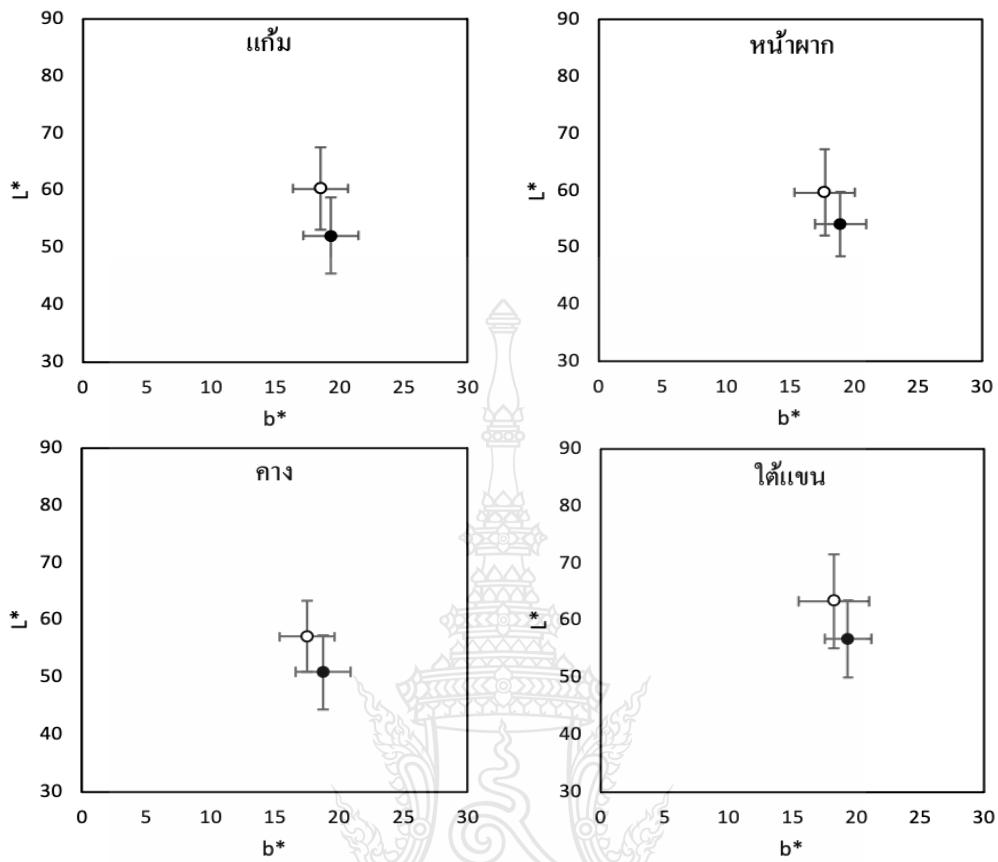
ภาพที่ 4.23 กราฟค่าเฉลี่ยความแดงและความเหลือง ของบริเวณแก้ม หน้าผาก คาง และใต้แขนระหว่าง คนทำงานกลางแจ้งและคนทำงานในร่ม

โดยใช้สัญลักษณ์ ● แทน คนทำงานกลางแจ้ง และ ○ แทน คนทำงานในร่ม



ภาพที่ 4.24 (ก) กราฟค่าเฉลี่ยความแดง และความสว่างของบริเวณแก้ม หน้าผาก คาง และใต้แขน  
 ระหว่างคนทำงานกลางแจ้ง และคนทำงานในร่ม

โดยใช้สัญลักษณ์ ● แทน คนทำงานกลางแจ้ง และ ○ แทน คนทำงานในร่ม



ภาพที่ 4.24 (ข) กราฟค่าเฉลี่ยความเหลืองและความสว่าง ของบริเวณแก้ม หน้าผาก คาง และใต้แขน  
 ระหว่างคนทำงานกลางแจ้ง และคนทำงานในร่ม

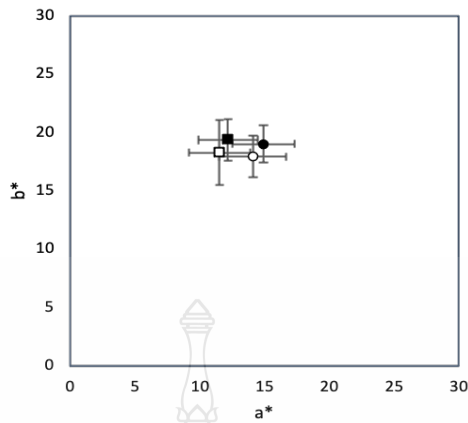
โดยใช้สัญลักษณ์ ● แทน คนทำงานกลางแจ้ง และ ○ แทน คนทำงานในร่ม

**ตารางที่ 4.18** ค่าเฉลี่ยและส่วนเบี่ยงเบนมาตรฐานของค่าความสว่าง, ค่าความแดง และค่าความเหลือง ของบริเวณแก้ม หน้าผาก คาง และใต้แขนระหว่างคนทำงานกลางแจ้งและในร่ม

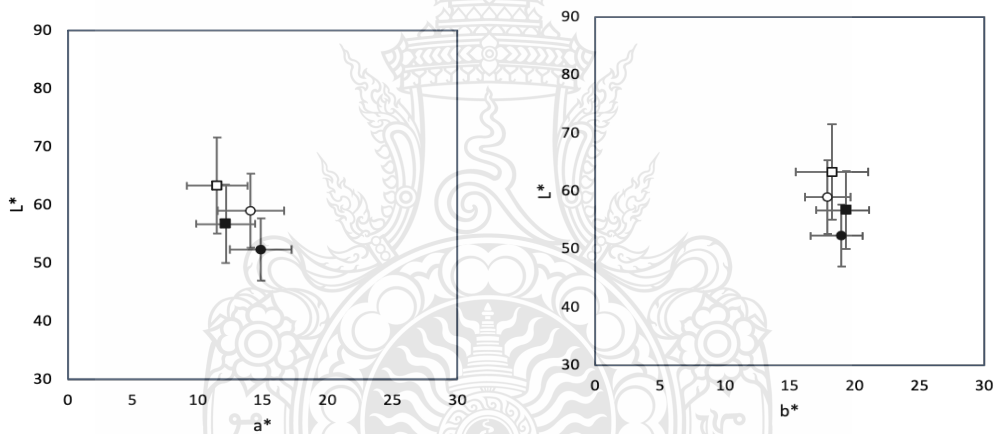
ลักษณะสถานที่ทำงาน	ค่าความสว่าง	ค่าความแดง	ค่าความเหลือง
แก้ม			
ทำงานกลางแจ้ง	52.05±6.62	15.13±2.52	19.33±2.11
ทำงานในร่ม	60.31±7.19	14.32±2.57	18.54±2.14
หน้าผาก			
ทำงานกลางแจ้ง	54.13±5.62	14.74±2.27	18.93±2.02
ทำงานในร่ม	59.66±7.60	13.61±2.77	17.70±2.38
คาง			
ทำงานกลางแจ้ง	50.89±6.49	14.84±3.36	18.77±2.11
ทำงานในร่ม	57.06±6.20	14.39±3.38	17.54±2.13
ใต้แขน			
ทำงานกลางแจ้ง	56.77±6.72	12.17±2.29	12.17±2.29
ทำงานในร่ม	63.33±8.27	11.51±2.37	11.51±2.37
ใบหน้า			
ทำงานกลางแจ้ง	52.36±5.32	14.90±2.38	19.01±1.58
ทำงานในร่ม	59.01±6.34	14.11±2.58	17.93±1.77

เมื่อเปรียบเทียบค่าเฉลี่ยของสีและความสว่างของผิวระหว่างบริเวณใบหน้าและใต้แขน พบว่า ทั้งคนที่ทำงานกลางแจ้งและในร่ม ในบริเวณใบหน้าจะมีค่าความแดงที่มากกว่าใต้แขน และถึงแม้ว่าค่าความเหลืองของทั้งสองบริเวณดูเหมือนว่าจะไม่แตกต่างกันเท่าไร แต่ในบริเวณใบหน้าจะมีค่าความเหลืองที่น้อยกว่าบริเวณใต้แขน ดังที่แสดงในภาพที่ 4.25 ในส่วนของค่าความสว่างนั้น ในบริเวณใบหน้าจะต่ำกว่าบริเวณใต้แขน และสิ่งที่สังเกตได้คือ เมื่อค่าความสว่างที่เพิ่มขึ้น ค่าความแดงจะลดลง แต่ค่าความเหลืองจะเพิ่มขึ้น ดังที่แสดงในภาพที่ 4.26 (ก) และ (ข)





ภาพที่ 4.25 กราฟเปรียบเทียบค่าเฉลี่ยความแดงและความเหลือง ระหว่างบริเวณใบหน้าและบริเวณใต้แขน ในคนทำงานกลางแจ้งและในร่ม



ภาพที่ 4.26 (ก) กราฟเปรียบเทียบค่าเฉลี่ยความแดงและความสว่างระหว่างบริเวณใบหน้าและบริเวณใต้แขนในคนทำงานกลางแจ้งและในร่ม

(ข) กราฟเปรียบเทียบค่าเฉลี่ยความเหลืองและความสว่าง ระหว่างบริเวณใบหน้าและบริเวณใต้แขน ในคนทำงานกลางแจ้งและในร่ม

โดยใช้สัญลักษณ์ สีดำ แทน คนทำงานกลางแจ้ง และ สีขาว แทน คนทำงานในร่ม  
 ○ แทน ใบหน้า และ □ แทน ใต้แขน

เมื่อทำการทดสอบทางสถิติการเปรียบเทียบความแตกต่างของค่าเฉลี่ยระหว่างตัวแปร 2 กลุ่มที่มีอิสระจากกัน พบว่า ค่าความสว่างของผิวของคนทำงานกลางแจ้งและในร่มมีความแตกต่างมีนัยสำคัญในทุกบริเวณที่ระดับนัยสำคัญที่  $P < 0.05$  โดยแสดงดังตารางที่ 4.19

**ตารางที่ 4.19** สถิติวิเคราะห์ความแตกต่างของค่าเฉลี่ยความสว่าง ระหว่างคนทำงานกลางแจ้งและในร่ม

บริเวณที่ทำการวัด	F	t	df	Sig. (2-tailed)
แก้ม	2.136	6.755	169	0.000*
หน้าผาก	7.731	5.815	135.512	0.000*
คาง	0.004	5.431	169	0.000*
ใต้แขน	4.491	5.432	116.508	0.000*

\* ที่ระดับนัยสำคัญ 0.05

ส่วนค่าความแดงของสีผิวพบว่า มีเพียงบริเวณหน้าผากเท่านั้นที่คนทำงานกลางแจ้งและในร่มมีความแตกต่างมีนัยสำคัญที่ระดับนัยสำคัญที่  $P < 0.05$  โดยแสดงในตารางที่ 4.20 แต่ส่วนค่าความเหลือง พบว่า ในบริเวณหน้าผาก คาง และใต้แขน ที่คนทำงานกลางแจ้งและในร่มมีความแตกต่างมีนัยสำคัญที่ระดับนัยสำคัญที่  $P < 0.05$  ที่แสดงในตารางที่ 4.21

**ตารางที่ 4.20** สถิติวิเคราะห์ความแตกต่างของค่าเฉลี่ยความแดง ระหว่างคนทำงานกลางแจ้งและในร่ม

บริเวณที่ทำการวัด	F	t	df	Sig. (2-tailed)
แก้ม	0.091	-1.573	169	0.118
หน้าผาก	3.385	-2.288	169	0.023*
คาง	0.310	-.0423	169	0.673
ใต้แขน	0.636	-1.598	169	0.112

\* ที่ระดับนัยสำคัญ 0.05

**ตารางที่ 4.21** สถิติวิเคราะห์ความแตกต่างของค่าเฉลี่ยความเหลือง ระหว่างคนทำงานกลางแจ้งและในร่ม

บริเวณที่ทำการวัด	F	t	df	Sig. (2-tailed)
แก้ม	0.659	-1.963	169	0.051
หน้าผาก	2.493	-3.131	169	0.002*
คาง	0.803	-3.172	169	0.002*
ใต้แขน	12.123	-2.952	145.274	0.004*

\* ที่ระดับนัยสำคัญ 0.05

นอกจากนี้ยังพบว่าค่าเฉลี่ยความสว่างและความเหลืองในบริเวณใบหน้ามีความแตกต่างอย่างมีนัยสำคัญระหว่างคนทำงานกลางแจ้งและในร่ม แต่กลับไม่พบความแตกต่างอย่างมีนัยสำคัญของค่าเฉลี่ยความแดงที่ระดับนัยสำคัญ  $P < 0.05$  ดังที่แสดงในตารางที่ 4.22 และเมื่อเปรียบเทียบระหว่างบริเวณใบหน้ากับบริเวณใต้แขนที่ใช้การทดสอบความแตกต่างค่าเฉลี่ยของกลุ่มตัวอย่าง 2 กลุ่มที่ไม่เป็นอิสระ พบว่า ในบริเวณใต้แขนจะมีความแตกต่างอย่างมีนัยสำคัญกับบริเวณใบหน้าในคนทำงานกลางแจ้งของค่าความสว่าง และความแดงที่ระดับนัยสำคัญ  $P < 0.05$  เช่นเดียวกับคนที่ทำงานในร่ม ดังตารางที่ 4.23

**ตารางที่ 4.22** สถิติวิเคราะห์ความแตกต่างของค่าเฉลี่ยความสว่าง, ความแดง และความเหลือง ระหว่างคนทำงานกลางแจ้งและในร่ม ในบริเวณใบหน้า

ค่าสีและความสว่างของผิว	F	t	df	Sig. (2-tailed)
ค่าเฉลี่ยความสว่าง	3.854	-5.983	168	0.000*
ค่าเฉลี่ยความแดง	1.783	1.119	168	0.265
ค่าเฉลี่ยความเหลือง	3.667	3.503	168	0.001*

\* ที่ระดับนัยสำคัญ 0.05

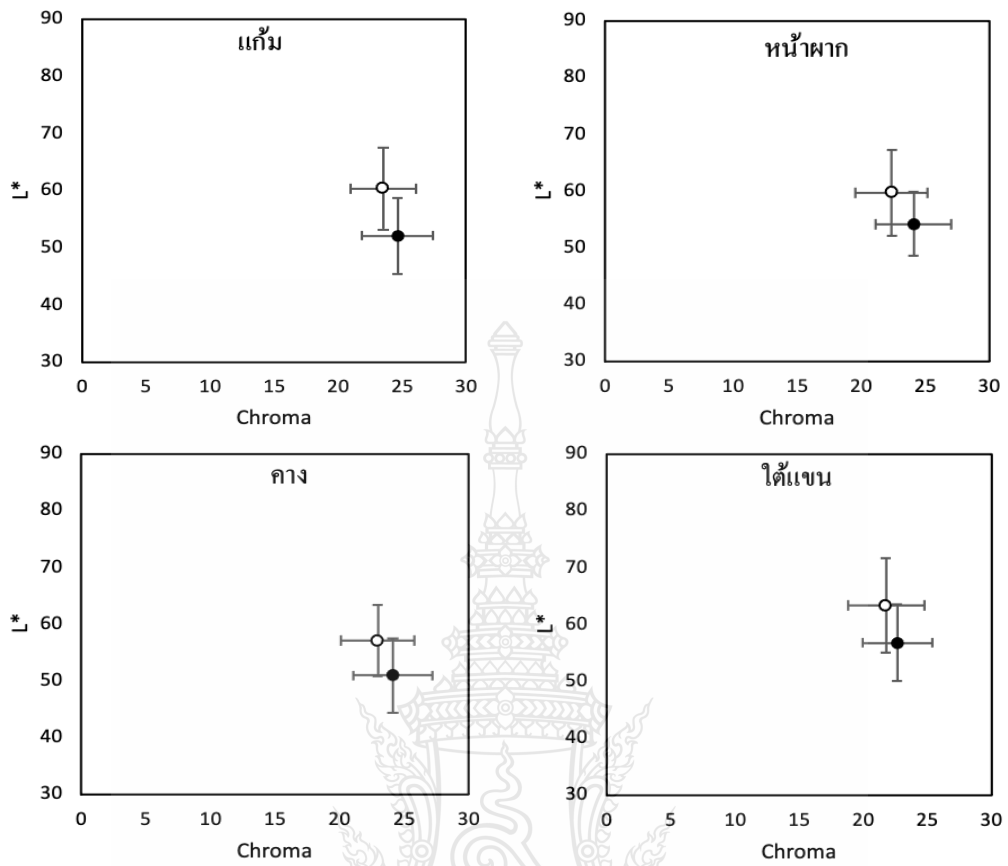
**ตารางที่ 4.23** สถิติวิเคราะห์ความแตกต่างของค่าเฉลี่ยความสว่าง, ความแดง และความเหลือง ของคนทำงานกลางแจ้งและในร่ม ในบริเวณใบหน้าเทียบกับใต้แขน

ลักษณะสถานที่ทำงาน	t	df	Sig. (2-tailed)
<b>ทำงานกลางแจ้ง</b>			
ค่าเฉลี่ยความสว่าง	-5.006	52	0.000*
ค่าเฉลี่ยความแดง	7.007	52	0.000*
ค่าเฉลี่ยความเหลือง	-1.227	52	0.225
<b>ทำงานในอาคาร</b>			
ค่าเฉลี่ยความสว่าง	-6.904	111	0.000*
ค่าเฉลี่ยความแดง	13.192	111	0.000*
ค่าเฉลี่ยความเหลือง	-1.965	111	0.052

\* ที่ระดับนัยสำคัญ 0.05

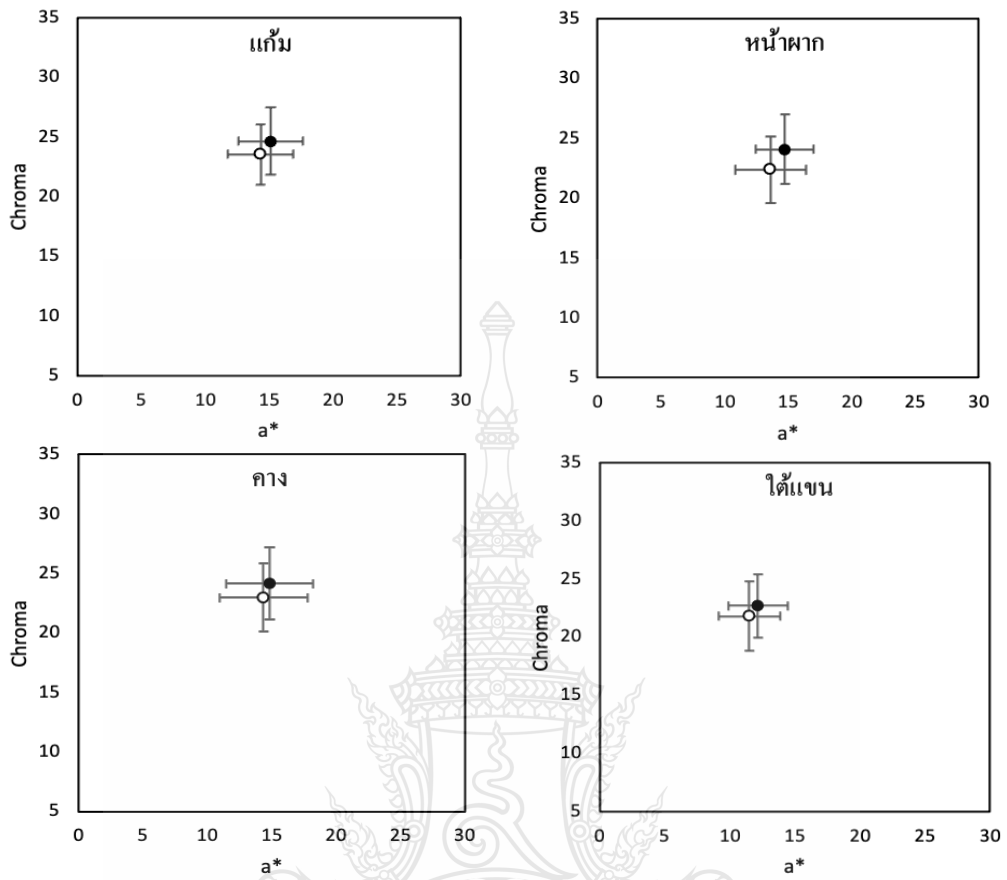
ค่าความอึมตัวสี และ ค่าองศาสี ของผิวได้ถูกวิเคราะห์ด้วย จะเห็นได้ว่า การกระจายตัวของข้อมูลของค่าความอึมตัวสีทั้งคนที่ทำงานกลางแจ้งและในร่มแทบจะไม่แตกต่างกันเลย โดยกราฟการกระจายตัวของข้อมูลจะแสดงในภาคผนวก ข เมื่อดูที่ค่าเฉลี่ยความอึมตัวสีในภาพ 4.24 (ก) พบว่า คนที่ทำงานกลางแจ้งจะมีค่าความอึมตัวสีสูงกว่าคนที่ทำงานในร่ม ซึ่งถ้าหากค่าความสว่างสูงขึ้น ค่าความอึมตัวสีจะลดลง และเมื่อดูกราฟในภาพที่ 4.27 (ข) และ (ค) จะเห็นได้ว่า เมื่อค่าความแดงและค่าความเหลืองเพิ่มขึ้น ค่าความอึมตัวสีก็จะเพิ่มขึ้นตามไปด้วย

โดยเมื่อเปรียบเทียบค่าเฉลี่ยความอึมตัวสีระหว่างบริเวณใบหน้าและบริเวณใต้แขน พบว่า บริเวณใบหน้าจะมีค่าความอึมตัวสีที่มากกว่าบริเวณใต้แขนในทั้งคนที่ทำงานกลางแจ้งและในร่ม โดยแสดงในภาพที่ 4.28 และสามารถดูค่าเฉลี่ยความอึมตัวสีของผิวตามความแตกต่างของลักษณะสถานที่ทำงานได้จากตารางที่ 4.24



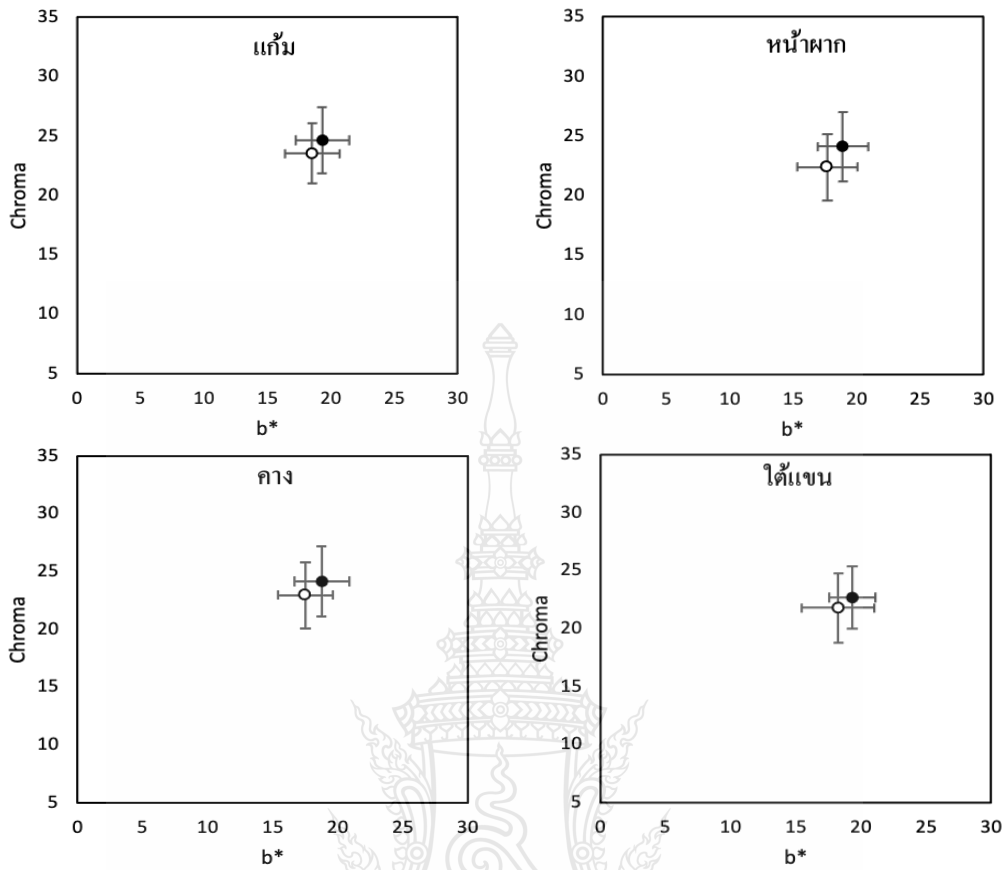
ภาพที่ 4.27 (ก) กราฟค่าเฉลี่ยความอิ่มตัวสีและความสว่าง ของบริเวณแก้ม หน้าผาก คาง และใต้แขน  
 ระหว่างคนทำงานกลางแจ้งและคนทำงานใหม่

โดยใช้สัญลักษณ์ ● แทน คนทำงานกลางแจ้ง และ ○ แทน คนทำงานใหม่



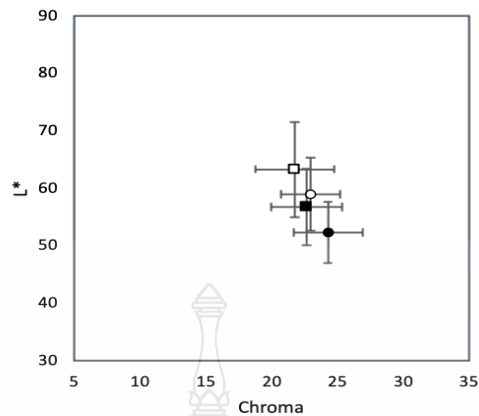
ภาพที่ 4.27 (ข) กราฟค่าเฉลี่ยความแดงและความอิ่มตัวสี ของบริเวณแก้ม หน้าผาก คาง และได้แขน  
 ระหว่างคนทำงานกลางแจ้งและคนทำงานใหม่

โดยใช้สัญลักษณ์ ● แทน คนทำงานกลางแจ้ง และ ○ แทน คนทำงานใหม่



ภาพที่ 4.27 (ค) กราฟค่าเฉลี่ยความเหลืองและความอิ่มตัวสี ของบริเวณแก้ม หน้าผาก คาง และใต้แขนระหว่างคนทำงานกลางแจ้งและคนทำงานในร่ม

โดยใช้สัญลักษณ์ ● แทน คนทำงานกลางแจ้ง และ ○ แทน คนทำงานในร่ม



ภาพที่ 4.28 กราฟเปรียบเทียบค่าเฉลี่ยความอิ่มตัวสีและความสว่าง ระหว่างบริเวณใบหน้าและบริเวณใต้แขน ในคนทำงานกลางแจ้งและในร่ม

โดยใช้สัญลักษณ์ สีดำ แทน คนทำงานกลางแจ้ง และ สีขาว แทน คนทำงานในร่ม  
 ○ แทน ใบหน้า และ □ แทน ใต้แขน

ตารางที่ 4.24 ค่าเฉลี่ยและส่วนเบี่ยงเบนมาตรฐานของค่าความอิ่มตัวสีของบริเวณแก้ม หน้าผาก คาง ใต้แขน และบริเวณใบหน้า ระหว่างคนทำงานกลางแจ้งและในร่ม

บริเวณการวัด	ค่าความอิ่มตัวสี	
	ทำงานกลางแจ้ง	ทำงานในอาคาร
แก้ม	24.64±2.80	23.53±2.53
หน้าผาก	24.11±2.94	22.40±2.80
คาง	24.14±3.03	22.96±2.85
ใต้แขน	22.66±2.71	21.77±2.97
ใบหน้า	24.30±2.71	22.96±2.24

จากการทดสอบทางสถิติโดยการเปรียบเทียบความแตกต่างของค่าเฉลี่ยระหว่างตัวแปร 2 กลุ่มที่มีอิสระจากกัน พบว่า ค่าความอิ่มตัวสี ในบริเวณแก้ม หน้าผาก คาง และบริเวณใบหน้า ของทั้งคนทำงานกลางแจ้งและในร่มมีความแตกต่างอย่างมีนัยสำคัญที่ระดับนัยสำคัญ  $P < 0.05$  ซึ่งแสดงค่าทางสถิติในตารางที่ 4.25



**ตารางที่ 4.25** สถิติวิเคราะห์ความแตกต่างค่าเฉลี่ยความอึดตัวสี่ระหว่างคนทำงานกลางแจ้งและในร่ม

บริเวณที่ทำการวัด	F	t	df	Sig. (2-tailed)
แก้ม	0.284	-2.435	169	0.016*
หน้าผาก	0.008	-3.300	169	0.001*
คาง	0.000	-2.200	169	0.029*
ใต้แขน	3.634	-1.426	169	0.156
ใบบน	0.196	2.400	168	0.017*

\* ที่ระดับนัยสำคัญ 0.05

เมื่อเปรียบเทียบระหว่างบริเวณใบบนกับบริเวณใต้แขน โดยใช้การทดสอบความแตกต่างค่าเฉลี่ยของกลุ่มตัวอย่าง 2 กลุ่มที่ไม่เป็นอิสระ พบว่า ระหว่างบริเวณใบบนและบริเวณใต้แขนของคนทำงานกลางแจ้งและในร่มมีค่าความอึดตัวสี่ที่แตกต่างอย่างมีนัยสำคัญที่ระดับนัยสำคัญที่  $P < 0.05$  ดังที่แสดงในตารางที่ 4.26

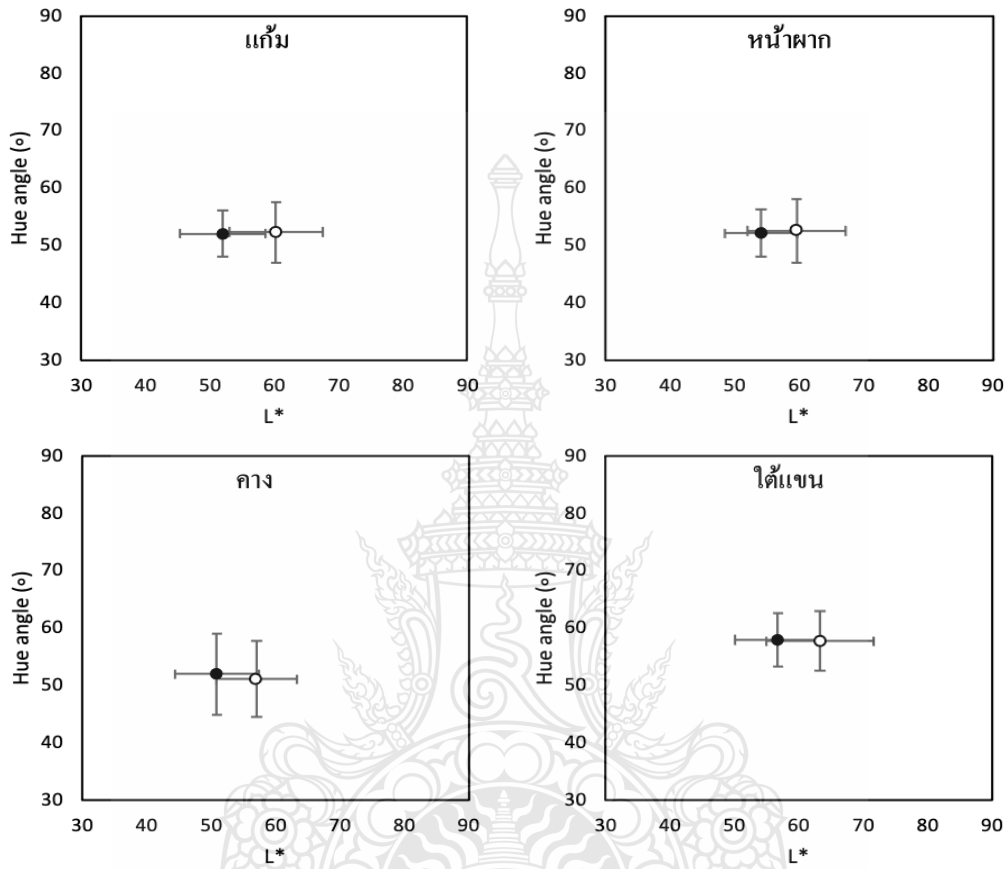
**ตารางที่ 4.26** สถิติวิเคราะห์ความแตกต่างของค่าเฉลี่ยความอึดตัวสี่ ของคนทำงานกลางแจ้งและคนทำงานในร่ม

ลักษณะสถานที่ทำงาน	t	df	Sig. (2-tailed)
ทำงานกลางแจ้ง			
ค่าเฉลี่ยความอึดตัวสี่	4.036	52	0.000*
ทำงานในอาคาร			
ค่าเฉลี่ยความอึดตัวสี่	4.497	111	0.000*

\* ที่ระดับนัยสำคัญ 0.05

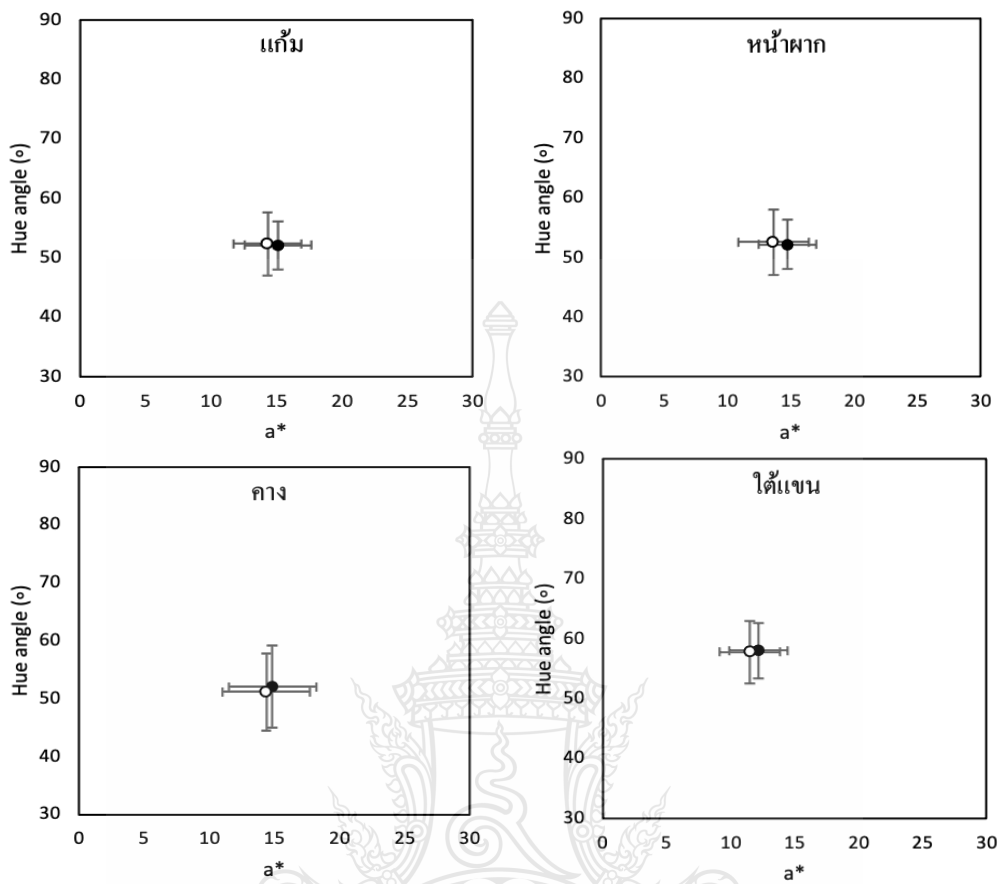
ค่าเฉลี่ยองศาสี่ จะเห็นได้ว่า ทั้งสี่บริเวณแทบจะไม่มี ความแตกต่างกันเลยในค่าองศาสี่ แม้ว่าในบริเวณหน้าผากของคนทำงานในร่มจะมีค่าองศาสี่ที่กว้าง แต่ในบริเวณคางมีค่าองศาสี่ที่แคบกว่า แต่สังเกตความต่างได้เพียงเล็กน้อยเท่านั้น ที่แสดงในภาพที่ 4.26 (ก) และเมื่อค่าองศาสี่ แคบลง ค่าความแดงก็จะน้อย แต่ถ้าหากว่าค่าองศาสี่กว้างขึ้น ค่าความเหลืองก็จะมาก โดยแสดงในภาพที่ 4.29 (ข) และ (ค) และเมื่อเปรียบเทียบระหว่างบริเวณใบบนและใต้แขน พบว่า ค่าองศาสี่ในบริเวณใต้แขนจะกว้างกว่า หรือค่อนข้างเหลืองมากกว่าบริเวณใบบนทั้งในสองลักษณะสถานที่ทำงานโดย

แสดงดังภาพที่ 4.30 และสามารถดูค่าเฉลี่ยองศาสีของผิวตามความแตกต่างของลักษณะสถานที่ทำงานได้จากตารางที่ 4.27



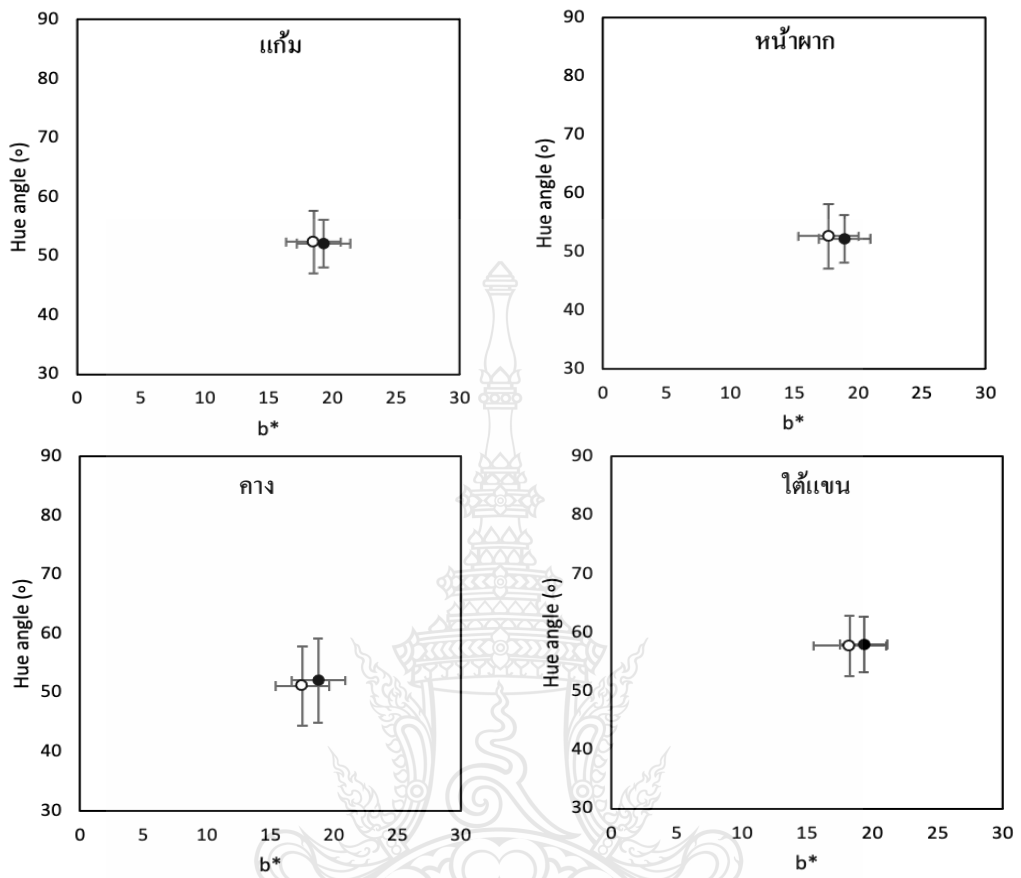
ภาพที่ 4.29 (ก) กราฟค่าเฉลี่ยองศาสีและความสว่าง ของบริเวณแก้ม หน้าผาก คาง และใต้แขนระหว่างคนทำงานกลางแจ้งและคนทำงานในร่ม

โดยใช้สัญลักษณ์ ● แทน คนทำงานกลางแจ้ง และ ○ แทน คนทำงานในร่ม



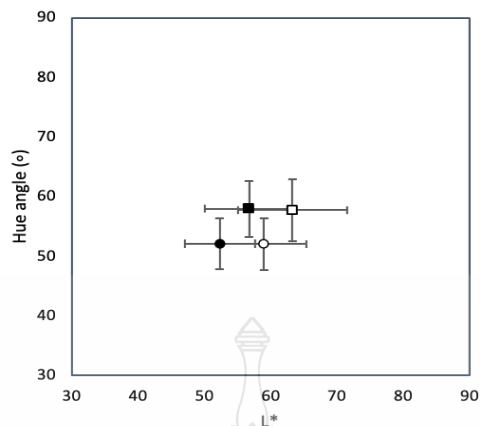
ภาพที่ 4.29 (ข) กราฟค่าเฉลี่ยความแดงและค่าองศาสี ของบริเวณแก้ม หน้าผาก คาง และใต้แขนระหว่างคนทำงานกลางแจ้ง และคนทำงานใหม่

โดยใช้สัญลักษณ์ ● แทน คนทำงานกลางแจ้ง และ ○ แทน คนทำงานใหม่



ภาพที่ 4.29 (ค) กราฟค่าเฉลี่ยความเหลือง ( $b^*$ ) และ ค่าองศาสี ของบริเวณแก้ม หน้าผาก คาง และ ใต้แขนระหว่างคนทำงานกลางแจ้งและคนทำงานในร่ม

โดยใช้สัญลักษณ์ ● แทน คนทำงานกลางแจ้ง และ ○ แทน คนทำงานในร่ม



ภาพที่ 4.30 กราฟเปรียบเทียบค่าเฉลี่ยของค่าสีและความสว่าง ระหว่างบริเวณใบหน้า (สีเหลี่ยม) และ บริเวณใต้แขน ในคนทำงานกลางแจ้งและในร่ม

โดยใช้สัญลักษณ์ สีดำ แทน คนทำงานกลางแจ้ง และ สีขาว แทน คนทำงานในร่ม  
 ○ แทน ใบหน้า และ □ แทน ใต้แขน

ตารางที่ 4.27 ค่าเฉลี่ยและส่วนเบี่ยงเบนมาตรฐานของค่าองศาสีของบริเวณแก้ม หน้าผาก คาง ใต้แขน และบริเวณใบหน้า ระหว่างคนทำงานกลางแจ้งและในร่ม

บริเวณการวัด	ค่าองศาสี	
	ทำงานกลางแจ้ง	ทำงานในอาคาร
แก้ม	52.11±4.00	52.38±5.28
หน้าผาก	52.19±4.11	52.61±5.49
คาง	52.03±7.06	51.13±6.67
ใต้แขน	57.99±4.71	57.76±5.17
ใบหน้า	52.11±4.32	52.04±4.37

จากนั้นได้ทำการทดสอบทางสถิติโดยการเปรียบเทียบความแตกต่างของค่าเฉลี่ย ระหว่างตัวแปร 2 กลุ่มที่มีอิสระจากกัน พบว่า ใบทุกบริเวณการวัดรวมถึงบริเวณใบหน้าของทั้ง คนทำงานกลางแจ้งและในร่มไม่มีความแตกต่างอย่างมีนัยสำคัญที่ระดับนัยสำคัญ  $P < 0.05$  ซึ่งแสดงค่า ทางสถิติในตารางที่ 4.28

**ตารางที่ 4.28** สถิติวิเคราะห์ความแตกต่างของค่าเฉลี่ยองศาสีระหว่างคนทำงานกลางแจ้งและในร่ม

บริเวณที่ทำการวัด	F	t	df	Sig. (2-tailed)
แก้ม	4.490	0.0156	132.143	0.876
หน้าผาก	6.554	0.317	129.209	0.752
คาง	0.001	-0.976	169	0.331
ใต้แขน	0.214	-0.281	169	0.779
ใบหน้า	1.556	0.917	168	0.360

\* ที่ระดับนัยสำคัญ 0.05

และเมื่อเปรียบเทียบระหว่างบริเวณใบหน้ากับบริเวณใต้แขน โดยการใช้การทดสอบความแตกต่างค่าเฉลี่ยของกลุ่มตัวอย่าง 2 กลุ่มที่ไม่เป็นอิสระ พบว่า ระหว่างบริเวณใบหน้าและบริเวณใต้แขนของทั้งคนทำงานกลางแจ้งและในร่มมีค่าองศาสี ที่แตกต่างอย่างมีนัยสำคัญที่ระดับนัยสำคัญที่  $P < 0.05$  ดังที่แสดงในตารางที่ 4.29

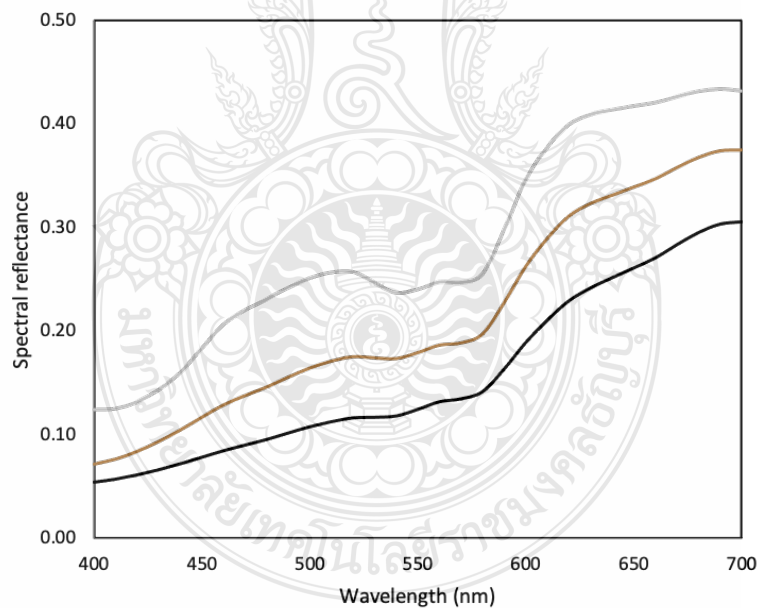
**ตารางที่ 4.29** สถิติวิเคราะห์ความแตกต่างของค่าเฉลี่ยองศาสี ระหว่างคนทำงานกลางแจ้งและในร่มในบริเวณใบหน้าเทียบกับใต้แขน

บริเวณใบหน้าเทียบกับใต้แขน	t	df	Sig. (2-tailed)
คนทำงานกลางแจ้ง			
ค่า hue angle	-8.881	52	0.000*
ทำงานในอาคาร			
ค่า hue angle	-12.973	111	0.000*

\* ที่ระดับนัยสำคัญ 0.05

### 4.3 ผลวิเคราะห์ข้อมูลเพิ่มเติมของสารเมลานินและฮีโมโกลบิน

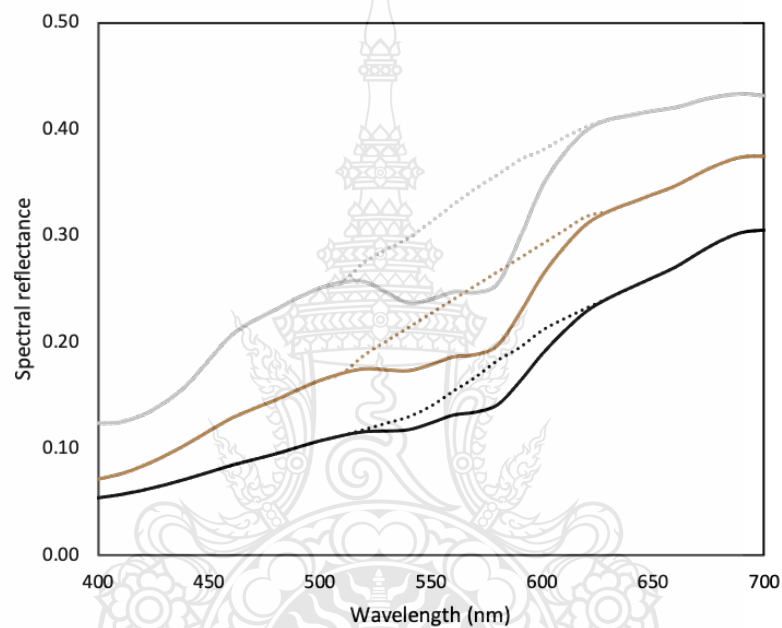
สารเมลานิน (Melanin) และสารฮีโมโกลบิน (Hemoglobin) เป็นสารในร่างกายที่ทำให้เกิดสีผิว ซึ่งปริมาณของสารเหล่านี้อาจมีความแตกต่างกันไปตามปัจจัยต่าง ๆ โดยในการทดลองนี้ได้ทำการวิเคราะห์ด้วยค่าการสะท้อนเชิงสเปกตรัมของความยาวคลื่น (Wavelength) ที่สายตามนุษย์สามารถมองเห็นได้ตั้งแต่ 400-700 นาโนเมตร (nm) ของตัวแทนผิวคนไทย 3 ประเภทที่จัดแบ่งประเภทโดยการประเมินด้วยสายตา ได้แก่ ผิวขาว ผิวสองสี (Tan) และผิวดำ จะเห็นได้ว่า ค่าการสะท้อนเชิงสเปกตรัมของสีผิวทั้ง 3 ประเภทจะลดลงไปในช่วงความยาวคลื่นประมาณ 520 – 610 นาโนเมตร ซึ่งเป็นช่วงความยาวคลื่นของแสงสีเขียว ซึ่งคาดว่าเป็นผลของการดูดกลืนสารฮีโมโกลบินที่มีความแดงจากการไหลเวียนของเลือด จากนั้นมีการเพิ่มขึ้นของค่าการสะท้อนเชิงสเปกตรัมอีกครั้งในช่วงความยาวคลื่นประมาณ 620 นาโนเมตร ที่เป็นช่วงความยาวคลื่นของแสงสีส้ม ซึ่งคาดว่าเป็นผลของการดูดกลืนของสารเมลานิน และสิ่งที่สังเกตได้ชัดคือ คนผิวขาวจะมีค่าการสะท้อนเชิงสเปกตรัมที่ลดลงมากที่สุด และคนผิวดำจะมีค่าการสะท้อนเชิงสเปกตรัมที่ลดลงมาน้อยที่สุดในช่วงความยาวคลื่นประมาณ 520 – 610 นาโนเมตร ที่ดังที่แสดงในภาพที่ 4.31



ภาพที่ 4.31 กราฟค่าการสะท้อนเชิงสเปกตรัมของความยาวคลื่นตั้งแต่ 400-700 นาโนเมตร ของตัวแทนผิวคนไทย 3 ประเภท

โดยใช้สัญลักษณ์ เส้นสีเทา แทน ผิวขาว, เส้นสีน้ำตาล แทน ผิวสองสี และเส้นสีดำ แทน ผิวดำ

นอกจากนี้ยังได้เปรียบเทียบระหว่างค่าการสะท้อนเชิงสเปกตรัมที่ลดลงและไม่ลดลงในช่วงความยาวคลื่นประมาณ 520 – 610 นาโนเมตร จะส่งผลต่อสีผิวอย่างไร ดังภาพที่ 4.32 จึงได้ทำการสร้างเส้นจำลองของค่าการสะท้อนเชิงสเปกตรัมในช่วงความยาวคลื่นประมาณ 520 – 610 นาโนเมตร ให้มีความต่อเนื่องไปจนถึงความยาวคลื่นประมาณ 620 นาโนเมตร โดยการเพิ่มค่าการสะท้อนเชิงสเปกตรัมจากค่าของผิวจริงในช่วง 480-500 นาโนเมตร และลดค่าการสะท้อนเชิงสเปกตรัมจากค่าของผิวจริงในช่วง 640-660 นาโนเมตร จากนั้นนำเส้นค่าการสะท้อนเชิงสเปกตรัมจากค่าทั้งสองเส้นมาต่อเพื่อให้ได้ค่าที่มีความละเอียดขึ้น และจะใช้ค่าการสะท้อนเชิงสเปกตรัมทุก ๆ 10 นาโนเมตร



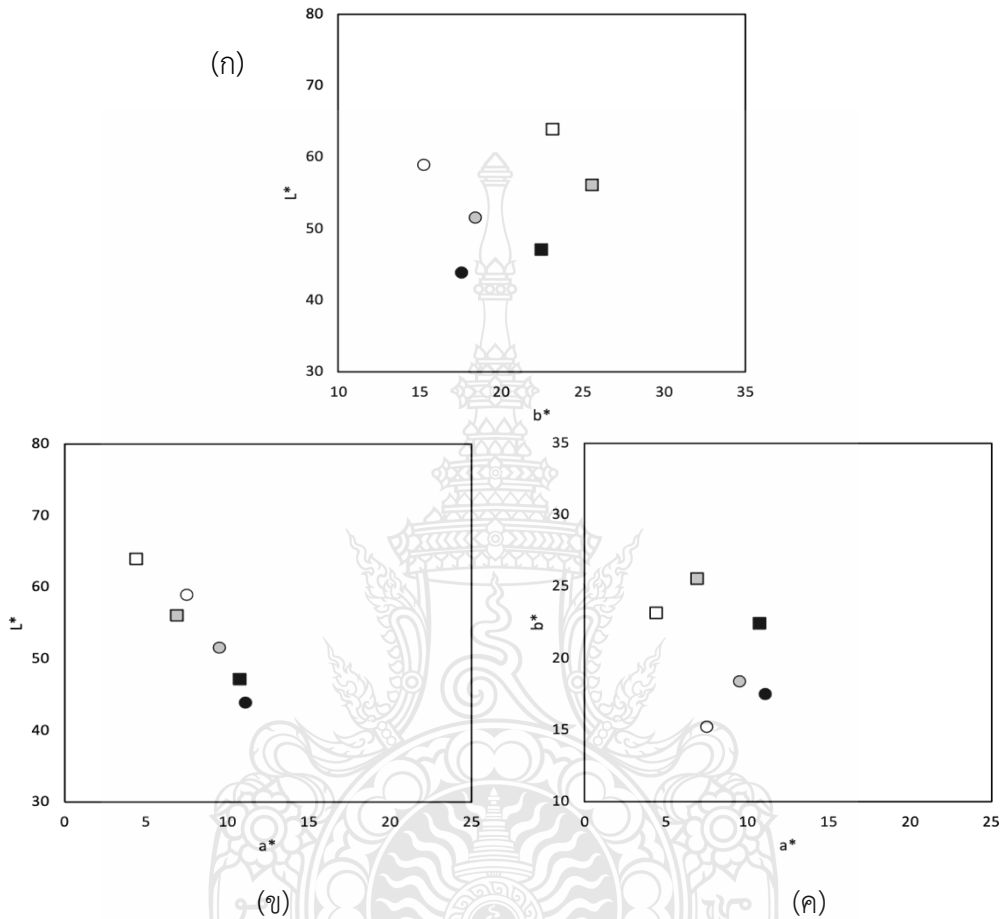
ภาพที่ 4.32 กราฟเปรียบเทียบค่าการสะท้อนเชิงสเปกตรัมของสีผิวจริงและสีผิวจำลอง ในความยาวคลื่นตั้งแต่ 400-700 นาโนเมตร ของตัวแทนผิวคนไทย 3 ประเภท

โดยใช้สัญลักษณ์ เส้นสีเทา แทน ผิวขาว, เส้นสีน้ำตาล แทน ผิวสองสี, เส้นสีดำ แทน ผิวดำ, เส้นทึบ แทน ผิวจริง และ เส้นประ แทน ผิวจำลอง

จากนั้นทำการเปรียบเทียบค่า CIELAB เพื่อดูการเปลี่ยนแปลงของสีและความสว่างผิวระหว่างสีผิวจริงและสีผิวจำลอง พบว่า ค่าความสว่าง และค่าความเหลืองของผิวที่จำลองขึ้นมาจะมีค่าที่สูงกว่าผิวจริง แต่ในขณะที่ค่าความแดงของผิวจำลองจะต่ำกว่าในสีผิวทั้ง 3 ประเภท ดังภาพที่ 4.33 (ก) (ข) และ (ค) และจะเห็นได้ชัดเจนที่สุดในค่าความสว่างระหว่างคนผิวขาวที่สูงกว่ามากเมื่อเทียบกับคนผิวดำในกรณีของผิวจำลองโดยแสดงในภาพที่ 4.34 เพราะเนื่องจากเส้นค่าการสะท้อนเชิงสเปกตรัมของ



คนผิวขาวลดลงอย่างมากในช่วงความยาวคลื่นประมาณ 520 – 610 นาโนเมตร ในขณะที่เส้นค่าการสะท้อนเชิงสเปกตรัมของคนผิวดำลดลงเพียงเล็กน้อย และสามารถดูค่าความสว่าง ค่าความแดง และค่าความเหลืองได้ในตาราง 4.30



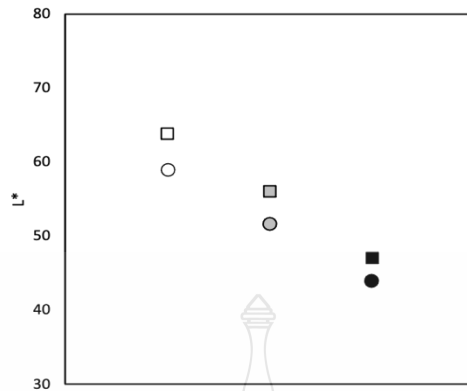
ภาพที่ 4.33 (ก) กราฟเปรียบเทียบค่าความแดงและความเหลืองระหว่างสีผิวจริงและสีผิวจำลองของตัวแทนผิวคนไทย 3 ประเภท

(ข) กราฟเปรียบเทียบค่าความแดงและความสว่าง ระหว่างสีผิวจริงและสีผิวจำลองของตัวแทนผิวคนไทย 3 ประเภท

(ค) กราฟเปรียบเทียบค่าความเหลืองและความสว่าง ระหว่างสีผิวจริงและสีผิวจำลองของตัวแทนผิวคนไทย 3 ประเภท

โดยใช้สัญลักษณ์ สีขาว แทน ผิวขาว, เส้นสีเทา แทน ผิวสองสี และ เส้นสีดำ แทน ผิวดำ

○ แทน ผิวจริง และ □ แทน ผิวจำลอง



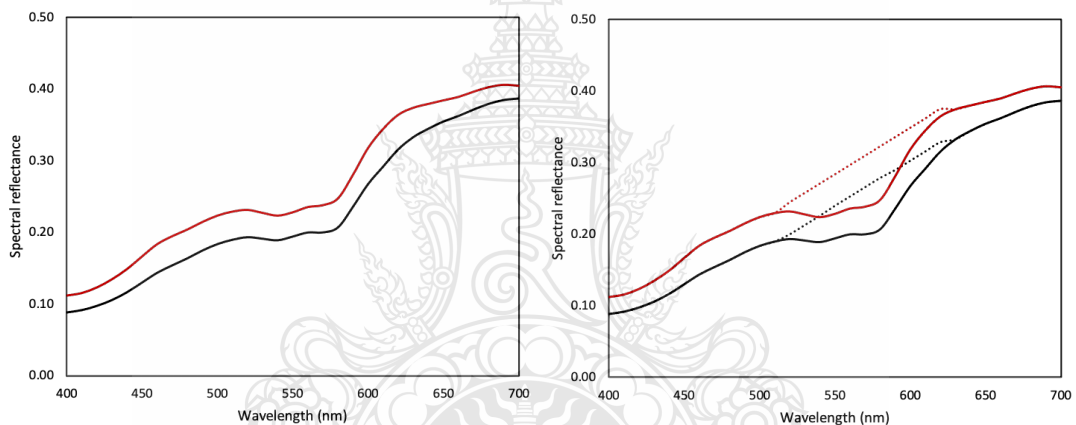
ภาพที่ 4.34 กราฟเปรียบเทียบค่าความสว่างระหว่างสีผิวจริงและสีผิวจำลอง ของตัวแทนผิวกคนไทย 3 ประเภท

โดยใช้สัญลักษณ์ สีขาว แทน ผิวขาว, เส้นสีเทา แทน ผิวสองสี และ เส้นสีดำ แทน ผิวดำ  
 ○ แทน ผิวจริง และ □ แทน ผิวจำลอง

ตารางที่ 4.30 ค่าความสว่าง, ค่าความแดง และค่าความเหลือง ระหว่างสีผิวจริงและสีผิวจำลองของตัวแทนผิวกคนไทย 3 ประเภท

ประเภทสีผิว	ค่าความสว่าง	ค่าความแดง	ค่าความเหลือง
สีผิวจริง			
ผิวขาว	58.97	7.48	15.22
ผิวสองสี	51.64	9.50	18.40
ผิวดำ	43.95	11.07	17.55
สีผิวจำลอง			
ผิวขาว	63.89	4.37	23.14
ผิวสองสี	56.09	6.90	25.55
ผิวดำ	47.12	10.75	22.46

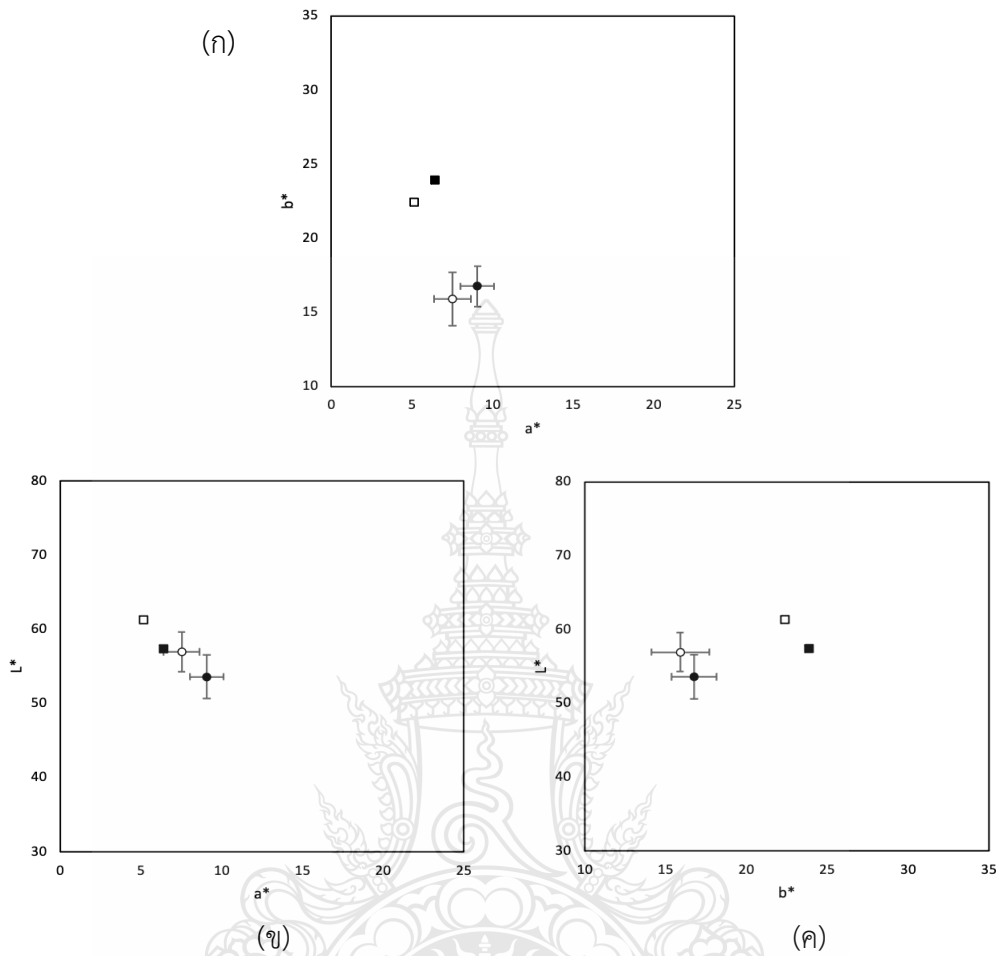
ความแตกต่างระหว่างเพศได้นำมาวิเคราะห์ค่าการสะท้อนเชิงสเปกตรัมเช่นเดียวกับประเภทของสีผิวทั้ง 3 ประเภท จะเห็นได้ว่า เพศหญิงจะมีการลดลงของค่าการสะท้อนเชิงสเปกตรัมในช่วงความยาวคลื่นประมาณ 520 – 610 นาโนเมตร มากกว่าเพศชาย หรือมีการดูดกลืนของสารฮีโมโกลบินมากกว่าเพศชาย ดังภาพที่ 4.35 (ก) และเมื่อสร้างเส้นสีผิวจำลองขึ้นเพื่อดูความแตกต่างของสีผิวดังภาพที่ 4.35 (ข) พบว่า ค่าความสว่าง และค่าความเหลืองของสีผิวที่ถูกดัดแปลงนั้นมีค่าที่สูงกว่าสีผิวจริง แต่ในขณะที่ค่าความแดงของผิวจำลองจะต่ำกว่าสีผิวจริง โดยพบทั้งในเพศชายและเพศหญิงดังภาพที่ 4.36 (ก) (ข) และ (ค) และสังเกตได้ชัดเจนมากยิ่งขึ้นในค่าความสว่าง โดยผิวที่จำลองขึ้น ในเพศหญิงจะมีค่าความสว่างที่สูงกว่าเพศชาย กล่าวคือ เมื่อค่าการสะท้อนเชิงสเปกตรัมลดลงมาก ก็จะส่งผลทำให้ค่าความสว่างของผิวสูงขึ้น โดยแสดงในภาพที่ 4.37 และสามารถดูค่าความสว่าง ค่าความแดง และค่าความเหลืองได้ในตาราง 4.31



ภาพที่ 4.35 (ก) กราฟค่าการสะท้อนเชิงสเปกตรัมของความยาวคลื่นตั้งแต่ 400-700 นาโนเมตรของเพศชายและเพศหญิง

(ข) กราฟเปรียบเทียบค่าการสะท้อนเชิงสเปกตรัมของสีผิวจริงและสีผิวจำลองในความยาวคลื่นตั้งแต่ 400-700 นาโนเมตร ของเพศชายและเพศหญิง

โดยใช้สัญลักษณ์ เส้นสีดำ แทน เพศชาย, เส้นสีแดง แทน เพศหญิง, เส้นทึบ แทน ผิวจริง และ เส้นประ แทน ผิวจำลอง

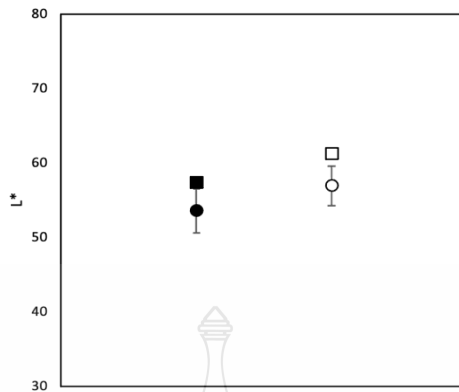


ภาพที่ 4.36 (ก) กราฟเปรียบเทียบค่าความแดงและความเหลืองระหว่างสีผิวจริงและสีผิวจำลองของเพศชายและเพศหญิง

(ข) กราฟเปรียบเทียบค่าความแดงและความสว่าง ระหว่างสีผิวจริงและสีผิวจำลองของเพศชายและเพศหญิง

(ค) กราฟเปรียบเทียบค่าความเหลืองและความสว่างระหว่างสีผิวจริงและสีผิวจำลองของเพศชายและเพศหญิง

โดยใช้สัญลักษณ์ สีดำ แทน เพศชาย และ เส้นขาว แทน เพศหญิง  
 ○ แทน ผิวจริง และ □ แทน ผิวจำลอง



ภาพที่ 4.37 กราฟเปรียบเทียบค่าความสว่างระหว่างสีผิวจริงและสีผิวจำลองของเพศชายและเพศหญิง

โดยใช้สัญลักษณ์ สีดำ แทน เพศชาย และ เส้นขาว แทน เพศหญิง  
 ○ แทน ผิวจริง และ □ แทน ผิวจำลอง

ตารางที่ 4.31 ค่าความสว่าง, ค่าความแดง และค่าความเหลือง ระหว่างสีผิวจริงและสีผิวจำลองของเพศชายและเพศหญิง

เพศ	ค่าความสว่าง	ค่าความแดง	ค่าความเหลือง
สีผิวจริง			
เพศชาย	53.61±2.97	9.07±1.04	16.77±1.37
เพศหญิง	56.95±2.65	7.52±1.13	15.90±1.79
สีผิวจำลอง			
เพศชาย	57.35	6.42	23.90
เพศหญิง	61.29	5.18	22.40

## บทที่ 5

### สรุปผลการวิจัย การอภิปรายผลและข้อเสนอแนะ

การศึกษานี้มีที่วัตถุประสงค์เพื่อศึกษาปัจจัยที่ส่งผลต่อสีและความสว่างของผิวคนไทย ซึ่งมีสมมติฐานคือ ปัจจัยความแตกต่างระหว่างเพศ ปัจจัยความแตกต่างระหว่างภูมิภาค ปัจจัยความแตกต่างของลักษณะสถานที่ทำงาน ที่มีผลทำให้สีและความสว่างของผิวคนไทยมีความแตกต่าง ทำการศึกษาโดยการวัดสีและความสว่างของผิวคนไทยจำนวน 171 คน ทั้งหมด 5 ตำแหน่งของร่างกายได้แก่ แก้มซ้ายและแก้มขวา หน้าผาก คาง และใต้แขน โดยใช้เครื่อง Konica Minolta Chroma Meter CS-100A จากนั้นนำมาวิเคราะห์ด้วยระบบสี CIELAB และทำการวิเคราะห์สถิติด้วย การเปรียบเทียบความแตกต่างของค่าเฉลี่ยระหว่างตัวแปร 2 กลุ่มที่มีอิสระจากกัน การเปรียบเทียบความแตกต่างค่าเฉลี่ยของกลุ่มตัวอย่าง 2 กลุ่มที่ไม่เป็นอิสระ และวิเคราะห์ความแปรปรวนแบบทางเดียวที่ระดับความเชื่อมั่น 95% และนอกจากนี้ยังได้มีการวิเคราะห์เพิ่มเติมเกี่ยวกับสารฮีโมโกลบินและเมลานินในร่างกายจากค่าการสะท้อนเชิงสเปกตรัม

#### 5.1 สรุปผลการวิจัย

จากการทดลองและผลการวิเคราะห์ข้อมูล ผู้วิจัยสามารถนำมาสรุปผลการวิจัยตามตารางที่ 5.1 ดังนี้

ตารางที่ 5.1 สรุปผลการวิจัยตามปัจจัยที่ศึกษา

ปัจจัย	ความสว่าง		ความแดง		ความเหลือง		ความอิมตัวสี		องศาสี	
	สูงสุด	ต่ำสุด	สูงสุด	ต่ำสุด	สูงสุด	ต่ำสุด	สูงสุด	ต่ำสุด	สูงสุด	ต่ำสุด
บริเวณแก้ม										
เพศ	หญิง	ชาย	ไม่แตกต่างกัน		ไม่แตกต่างกัน		ไม่แตกต่างกัน		ไม่แตกต่างกัน	
ภูมิภาค	เหนือ	ใต้	ตะวันออก	ตะวันตก	ตะวันออก	ตะวันตก	ตะวันออก	ตะวันตก	ตะวันออก	เหนือ
สถานที่ทำงาน	ในร่ม	กลางแจ้ง	ไม่แตกต่างกัน		ไม่แตกต่างกัน		กลางแจ้ง	ในร่ม	ไม่แตกต่างกัน	

ตารางที่ 5.1 สรุปผลการวิจัยตามปัจจัยที่ศึกษา (ต่อ)

ปัจจัย	ความสว่าง		ความแดง		ความเหลือง		ความอิมตัวสี		องศาสี	
	สูงสุด	ต่ำสุด	สูงสุด	ต่ำสุด	สูงสุด	ต่ำสุด	สูงสุด	ต่ำสุด	สูงสุด	ต่ำสุด
บริเวณหน้าผาก										
เพศ	หญิง	ชาย	ไม่แตกต่างกัน		ไม่แตกต่างกัน		ไม่แตกต่างกัน		ไม่แตกต่างกัน	
ภูมิภาค	เหนือ	ใต้	ตะวันออก	ตะวันตก	เหนือ	ใต้	ตะวันออก	ตะวันตก	เหนือ	ใต้
สถานที่ทำงาน	ในร่ม	กลางแจ้ง	กลางแจ้ง	ในร่ม	กลางแจ้ง	ในร่ม	กลางแจ้ง	ในร่ม	ไม่แตกต่างกัน	
บริเวณคาง										
เพศ	หญิง	ชาย	ไม่แตกต่างกัน		ไม่แตกต่างกัน		ไม่แตกต่างกัน		ไม่แตกต่างกัน	
ภูมิภาค	เหนือ	ใต้	ตะวันออก	เหนือ	ตะวันตก	ใต้	ตะวันออก	ตะวันออก	ตะวันออก	เหนือ
สถานที่ทำงาน	ในร่ม	กลางแจ้ง	ไม่แตกต่างกัน		กลางแจ้ง	ในร่ม	กลางแจ้ง	ในร่ม	ไม่แตกต่างกัน	
บริเวณใต้แขน										
เพศ	หญิง	ชาย	หญิง	ชาย	ไม่แตกต่างกัน		ไม่แตกต่างกัน		ชาย	หญิง
ภูมิภาค	เหนือ	ใต้	ใต้	ตะวันออก	เหนือ	ตะวันออก	ใต้	เหนือ	ตะวันออก	ใต้
สถานที่ทำงาน	ในร่ม	กลางแจ้ง	ไม่แตกต่างกัน		กลางแจ้ง	ในร่ม	ไม่แตกต่างกัน		ไม่แตกต่างกัน	

5.1.1 ปัจจัยความแตกต่างระหว่างเพศ

จากผลการวิเคราะห์ข้อมูลสรุปได้ว่าเพศชายและเพศหญิงมีความแตกต่างกันอย่างมีนัยสำคัญที่ระดับนัยสำคัญ 0.05 ของค่าความสว่างในทุกบริเวณการวัด (แก้ม หน้าผาก คาง ใต้แขน และใบหน้า) กล่าวคือ เพศชายจะมีค่าความสว่างของผิวที่สว่างน้อยกว่าเพศหญิง หรือเพศชายจะมีผิวที่ดำกว่าเพศหญิง ในส่วนค่าความแดงของผิวมีเพียงบริเวณใต้แขนเท่านั้นที่มีความแตกต่างอย่างมีนัยสำคัญกับเพศชาย โดยเพศหญิงจะมีความแดงของผิวมากกว่าเพศชายโดยเฉพาะในบริเวณใต้แขน แต่ในทางตรงกันข้ามของค่าความเหลืองทั้งเพศชายและเพศหญิงไม่มีความแตกต่างกัน แต่เมื่อเปรียบเทียบค่าสีและความสว่างของผิวในบริเวณที่มักสัมผัสกับแสงแดดมาก (บริเวณใบหน้า; แก้ม, หน้าผาก และคาง) กับบริเวณที่มักจะสัมผัสกับแสงแดดน้อย (บริเวณใต้แขน) พบความแตกต่างอย่างมีนัยสำคัญทั้ง

สองเพศในค่าความสว่างและค่าความแดงของผิว โดยในบริเวณใต้แขนจะมีความสว่างมากกว่า แต่ผิวมีความแดงที่น้อยกว่าบริเวณใบหน้า

สำหรับค่าความอิมตัวสีของผิว ระหว่างเพศชายและเพศหญิงไม่มีความแตกต่างกันอย่างมีนัยสำคัญ เพราะค่าความอิมตัวของสีผิวของทั้งสองเพศมีความใกล้เคียงกันมากในทุกบริเวณ การวัด (แก้ม หน้าผาก คาง ใต้แขน และใบหน้า) และเมื่อค่าความแดงและค่าความเหลืองเพิ่มขึ้นจะทำให้ค่าความอิมตัวสีเพิ่มขึ้นตามไปด้วย แต่เมื่อเปรียบเทียบระหว่างบริเวณใบหน้าและใต้แขนทั้งในเพศชายและเพศหญิง พบว่า ค่าความอิมตัวสีในบริเวณใบหน้าจะมีค่าที่สูงกว่า หรือจะมีสีที่สดกว่าบริเวณใต้แขน

สำหรับค่าองศาสี มีเพียงบริเวณใต้แขนเท่านั้นที่ระหว่างเพศชายและเพศมีความแตกต่างกันอย่างมีนัยสำคัญ โดยเพศชายจะมีองศาสีที่ค่อนข้างสีเหลืองมากกว่าเพศหญิง และเมื่อเปรียบเทียบระหว่างบริเวณใบหน้าและใต้แขนทั้งในเพศชายและเพศหญิง พบว่า ในบริเวณใต้แขนจะมีองศาสีที่ค่อนข้างสีเหลืองมากกว่าบริเวณใบหน้าอย่างชัดเจน

ดังนั้น จากผลสรุปข้างต้น ปัจจัยความแตกต่างระหว่างเพศมีอิทธิพลและส่งผลอย่างมากต่อค่าความสว่างของผิวคนไทยที่ทำให้เพศชายและเพศหญิงมีความสว่างของผิวที่แตกต่างกัน

#### 5.1.2 ปัจจัยความแตกต่างทางภูมิภาคที่กำเนิด

จากผลการวิเคราะห์สามารถสรุปได้ว่า ในทั้ง 6 ภูมิภาค ได้แก่ ภาคเหนือ ภาคตะวันออกเฉียงเหนือ ภาคกลาง ภาคตะวันออก ภาคตะวันตก และภาคใต้ มีความแตกต่างกันอย่างมีนัยสำคัญในค่าความสว่าง ค่าความแดง และค่าความเหลือง โดยภาคเหนือจะมีผิวที่สว่างที่สุด และภาคใต้จะมีผิวที่สว่างน้อยที่สุดหรือมืดดำมากกว่า เมื่อเทียบกับภูมิภาคอื่น ๆ ส่วนค่าความแดงของผิว ภาคตะวันออกจะมีค่าความแดงที่สูงที่สุด และภาคตะวันออกเฉียงเหนือจะมีค่าความแดงของผิวที่น้อยที่สุด และส่วนค่าความเหลืองของผิว ภาคตะวันออกจะมีผิวที่มีความเหลืองมากที่สุดในบริเวณหน้าผากและใต้แขน ส่วนภาคตะวันตกจะมีความเหลืองของผิวมากที่สุดในบริเวณแก้มและคาง แต่ในขณะที่ภาคใต้จะมีความเหลืองของผิวที่น้อยที่สุดในบริเวณหน้าผากและคาง แต่ภาคเหนือจะมีความเหลืองของผิวน้อยที่สุดในบริเวณแก้มและใต้แขน และเมื่อเปรียบเทียบระหว่างบริเวณใบหน้าและใต้แขนทั้ง 6 ภูมิภาคมีความแตกต่างกันอย่างมีนัยสำคัญในค่าสีและความสว่างของผิว โดยใบหน้าจะความสว่างที่ต่ำกว่า แต่มีค่าความแดงที่สูงกว่าบริเวณใต้แขนในทุกภูมิภาค แต่สำหรับค่าความเหลืองในบริเวณใบหน้า ภาคตะวันออกและภาคใต้จะสูงกว่าเมื่อเทียบกับบริเวณใต้แขน และภาคเหนือจะมีความเหลืองของผิวที่บริเวณใบหน้าที่สูงกว่าบริเวณใต้แขน

สำหรับค่าความอิมตัวสี ในทั้ง 6 ภูมิภาค จะมีความแตกต่างกันอย่างมีนัยสำคัญ โดยภาคตะวันตกจะมีค่าความอิมตัวสีหรือผิวจะมีความสดมากกว่าภาคอื่น ๆ ในบริเวณแก้ม หน้าผาก



และคาง ส่วนบริเวณใต้แขนภาคใต้จะมีความอึดตัวของสีผิวที่มากที่สุด แต่ในทางตรงกันข้าม ภาค ตะวันออกจะมีค่าความอึดตัวสีที่ต่ำที่สุดในบริเวณแก้ม ส่วนบริเวณหน้าผากและคาง ภาคใต้จะมีความ อึดตัวสีที่ต่ำที่สุด และบริเวณใต้แขน ภาคเหนือจะมีความอึดตัวสีที่ต่ำที่สุด และเมื่อค่าความแดง และความเหลืองของผิวเพิ่มขึ้น ค่าความอึดตัวของผิวก็จะเพิ่มขึ้นเช่นกัน นอกจากนี้เมื่อเปรียบเทียบค่า ความอึดตัวของผิวระหว่างบริเวณใบหน้าและใต้แขน พบว่า มีความแตกต่างกันอย่างมีนัยสำคัญ โดย ภาคกลาง ภาคตะวันออกเฉียงเหนือ ภาคตะวันตก และภาคเหนือ จะมีความอึดตัวของผิวในบริเวณ ใบหน้าที่สูงกว่าบริเวณใต้แขน แต่ในทางตรงกันข้าม ภาคใต้และภาคตะวันออก จะมีความอึดตัวของผิว บริเวณใบหน้าที่ต่ำกว่าบริเวณใต้แขน

สำหรับค่าองศาสีในทั้ง 6 ภูมิภาค จะมีความแตกต่างกันอย่างมีนัยสำคัญ โดยภาค ตะวันออกจะมีองศาสีที่กว้างหรือค่อนข้างสีเหลืองมากกว่าภูมิภาคอื่น ๆ ในทุกบริเวณการวัด แต่ ภาคเหนือจะมีองศาสีที่แคบกว่าในบริเวณแก้มและคาง ส่วนภาคใต้จะมีองศาสีที่แคบกว่าในบริเวณ หน้าผากและใต้แขน จึงอาจส่งผลให้ผิวมีความแดงมากกว่าภาคอื่น ๆ และเมื่อเปรียบเทียบระหว่าง บริเวณใบหน้าและใต้แขนในทั้ง 6 ภูมิภาค พบว่ามีความแตกต่างอย่างมีนัยสำคัญเช่นกัน โดยใบบริเวณ ใต้แขนทุกภูมิภาคจะมีองศาสีที่กว้างหรือค่อนข้างสีเหลืองมากกว่าบริเวณใบหน้า

ดังนั้น จากผลสรุปข้างต้น ปัจจัยความแตกต่างทางด้านภูมิภาคที่กำเนิดมีอิทธิพล และส่งผลให้ค่าความสว่าง ค่าความแดง ค่าความเหลือง ค่าความอึดตัวสี และค่าองศาสีของผิวคนไทยมี ความแตกต่างกัน

### 5.1.3 ปัจจัยความแตกต่างของลักษณะสถานที่ทำงาน

จากการวิเคราะห์ผลสามารถสรุปได้ว่า ความแตกต่างของลักษณะสถานที่ทำงาน ระหว่างทำงานกลางแจ้งและทำงานในร่มหรือในอาคารมีความแตกต่างอย่างมีนัยสำคัญในค่าความสว่าง ค่าความแดง และค่าความเหลืองของผิว โดยคนที่ทำงานในที่ร่มจะมีความสว่างหรือจะมีผิวที่ขาวกว่าคน ที่ทำงานกลางแจ้งในทุกบริเวณการวัด ส่วนค่าความแดงของผิวมีเพียงบริเวณหน้าผากเท่านั้นที่ คนทำงานในที่ร่มจะมีความแดงน้อยกว่าคนทำงานในอาคารอย่างมีนัยสำคัญ ส่วนค่าความเหลืองของผิว ในบริเวณหน้าผาก คาง ใต้แขน และใบหน้าของคนทำงานในที่ร่มจะมีผิวที่เหลืองน้อยกว่าคนทำงาน กลางแจ้งอย่างมีนัยสำคัญ และเมื่อเปรียบเทียบระหว่างใบหน้าและใต้แขนของทั้งที่ทำงานกลางแจ้งและ ทำงานในที่ร่ม พบว่า ค่าความสว่างและค่าความแดงของผิวของทั้งสองลักษณะสถานที่ทำงานมีความ แตกต่างอย่างมีนัยสำคัญ โดยบริเวณใต้แขนจะสว่างมากกว่า แต่จะมีความแดงของผิวที่น้อยกว่าบริเวณ ใบหน้า

สำหรับค่าความอึดตัวสีของผิว ระหว่างคนทำงานกลางแจ้งและคนทำงานในร่มมี ความแตกต่างกันอย่างมีนัยสำคัญ โดยคนที่ทำงานกลางแจ้งจะมีค่าความอึดตัวสีของผิวที่มากกว่า หรือสี

ผิวมีความสดกว่าคนที่ทำงานในร่มในบริเวณ แก้ม หน้าผาก คาง และใบหน้า และเมื่อค่าความแดงและค่าความเหลืองของผิวเพิ่มขึ้น ค่าความอิมตัวสีก็เพิ่มขึ้นเช่นกัน และเมื่อเปรียบเทียบบริเวณใบหน้าและใต้แขนทั้งคนทำงานกลางแจ้งและคนทำงานในร่มจะมีค่าความอิมตัวสีของผิวในบริเวณใบหน้าที่สูงกว่าบริเวณใต้แขนอย่างมีนัยสำคัญ

สำหรับค่าองศาสีในทุกบริเวณการวัดรวมถึงค่าเฉลี่ยของใบหน้าทั้งในคนที่ทำงานกลางแจ้งและในที่ร่มไม่มีความแตกต่างอย่างมีนัยสำคัญเลย โดยแสดงให้เห็นว่าองศาสีของทั้งสองลักษณะสถานที่ทำงานมีความใกล้เคียงกันมาก หรือแทบจะไม่มี ความแตกต่างกัน

ดังนั้น จากผลสรุปที่กล่าวมาข้างต้น ปัจจัยความแตกต่างของลักษณะสถานที่ทำงานมีอิทธิพลและส่งผลต่อค่าความสว่าง ค่าความเหลือง และค่าความอิมตัวสีของผิวน้อย

#### 5.1.4 สารเมลานินและฮีโมโกลบิน

จากการวิเคราะห์ผลสามารถสรุปได้ว่า ค่าการสะท้อนเชิงสเปกตรัมของความยาวคลื่น ที่สายตามนุษย์สามารถมองเห็นได้ตั้งแต่ 400-700 นาโนเมตร ของตัวแทนผิวนคนไทย 3 ประเภท ได้แก่ ผิวขาว ผิวสองสี และผิวดำ มีการลดลงในช่วงความยาวคลื่นของแสงสีเขียวประมาณ 520 – 610 นาโนเมตร ซึ่งเป็นผลของการดูดกลืนสารฮีโมโกลบินจากการไหลเวียนของเลือดในร่างกาย และจะเพิ่มขึ้นอีกครั้งในช่วงความยาวคลื่นแสงสีส้มประมาณ 620 นาโนเมตร ซึ่งเป็นผลของการดูดกลืนสารเมลานิน นอกจากนี้ยังพบว่าผิวมีความสว่างและมีความเหลืองมากขึ้น แต่ความแดงจะลดลง เมื่อไม่มีการลดลงของค่าการสะท้อนเชิงสเปกตรัมในช่วง 520 – 610 นาโนเมตร ที่ได้จากการสร้างเส้นสมมุติสีผิว โดยการแปลงเปลี่ยนจะเห็นได้ชัดเจนมากขึ้น ถ้าหากค่าการสะท้อนเชิงสเปกตรัมในช่วง 520 – 610 นาโนเมตรลดลงมากจะส่งผลให้ค่าความสว่างสูงตามไปด้วย สังเกตได้จากคนผิวขาวเมื่อเทียบกับคนผิวดำ

นอกจากนี้ยังพบเช่นเดียวกันในความแตกต่างระหว่างเพศที่เพศหญิงและเพศชาย จะมีการลดลงของความยาวคลื่นแสงสีเขียวที่ประมาณ 520 – 610 นาโนเมตร และเพิ่มขึ้นอีกครั้งในช่วงความยาวคลื่นประมาณ 620 นาโนเมตร โดยเพศหญิงจะมีการลดลงของค่าการสะท้อนเชิงสเปกตรัมที่มากกว่าเพศชาย เมื่อวิเคราะห์ค่าสีและความสว่างของผิวทั้งในเพศชายและเพศหญิงจะมีความสว่างและความเหลืองของผิวที่เพิ่มขึ้น และความแดงจะลดลง ในกรณีที่ไม่มี การลดลงของค่าการสะท้อนเชิงสเปกตรัมที่ได้จากการสร้างเส้นสมมุติสีผิว และเนื่องจากมีการลดลงค่าการสะท้อนเชิงสเปกตรัมในช่วง 520 – 610 นาโนเมตรมากกว่าเพศชาย จึงส่งผลต่อความสว่างของผิวในเพศหญิงที่จะสูงกว่าเพศชาย

ดังนั้น จากผลสรุปที่กล่าวมาข้างต้น สารเมลานินและฮีโมโกลบินมีอิทธิพลและส่งผลต่อค่าความสว่าง ค่าความแดง และค่าความเหลืองของผิวน้อย

## 5.2 การอภิปรายผลการวิจัย

จากการวิเคราะห์ผลในเรื่องของความแตกต่างระหว่างเพศโดยที่เพศหญิงจะมีความสว่างมากกว่าเพศชาย เนื่องจากฮอร์โมนเอสโตรเจน (Estrogen) ในเพศหญิงที่เป็นฮอร์โมนสืบพันธุ์มีผลต่อการเปลี่ยนแปลงในคุณสมบัติของผิวเพศหญิง จะสังเกตได้ว่าเมื่อผู้หญิงอยู่ในวัยเจริญพันธุ์ ผิวจะมีความขาวมากขึ้น ซึ่งสอดคล้องกับงานวิจัยของ Hall G และคณะ [37] และนอกจากนี้ผู้หญิงเป็นเพศที่มีพฤติกรรมในการดูแลผิวมากกว่าเพศชาย ซึ่งสอดคล้องกับการตอบแบบสอบถามของผู้เข้าร่วมการทดลอง พบว่า เพศหญิงมีการใช้ผลิตภัณฑ์ดูแลผิวและเครื่องสำอางอย่างน้อยหนึ่งชนิดมากถึงร้อยละ 85.14 ของผู้ใช้ผลิตภัณฑ์ดูแลผิวและเครื่องสำอางจำนวน 74 คน

ความแตกต่างระหว่างภูมิภาคที่กำเนิดส่งผลต่อสีและความสว่างของผิวคนไทยเป็นอย่างมาก เพราะแต่ละภูมิภาคมีลักษณะทางภูมิศาสตร์ที่ไม่เหมือนกัน โดยเห็นได้ชัดเจนในคนภาคเหนือที่ส่วนใหญ่มีผิวขาว เนื่องจากในทางภาคเหนือเป็นภูมิภาคที่มีหุบเขา และเมื่อถึงฤดูหนาวจะมีอากาศที่หนาวเย็นมากกว่าภูมิภาคอื่น จึงทำให้ภาคเหนือเป็นภูมิภาคที่ได้รับพลังงานจากการแผ่รังสีของพระอาทิตย์ที่น้อยกว่าภูมิภาคอื่น ๆ นอกจากนี้จะเห็นได้ว่าคนภาคใต้จะมีผิวที่สว่างน้อยกว่าหรือมีผิวที่ดำที่สุด และมีความสดของสีผิวมากกว่าภูมิภาคอื่น ๆ เพราะภาคใต้เป็นภูมิภาคที่มีฤดูกาลเพียงสองฤดู คือฤดูฝนและฤดูร้อน จึงทำให้ภาคใต้มีโอกาสได้รับพลังงานจากแสงพระอาทิตย์มากกว่าภูมิภาคอื่น ๆ ทำให้ร่างกายผลิตสารเม็ดสีเมลานินเพื่อป้องกันอันตรายจากแสงแดด จึงเป็นผลให้ผิวของคนภาคใต้มีความสว่างที่ลดลง และการแผ่รังสีของแสงแดดยังส่งผลต่อความแดงที่มีค่าสูงในคนภาคตะวันตก เนื่องจากผลการตอบแบบสอบถามส่วนใหญ่จะมีการประกอบอาชีพเกษตรกร จึงมักมีโอกาสสัมผัสกับแสงแดดอยู่บ่อยครั้ง ซึ่งสอดคล้องกับงานวิจัยของ Xiao K และคณะ [38]

ไม่เพียงแต่ความแตกต่างของสีและความสว่างของผิวคนไทยในปัจจุบันความแตกต่างทางภูมิภาคเท่านั้น ที่ได้รับผลกระทบจากแสงอาทิตย์ ในส่วนปัจจัยความแตกต่างของลักษณะสถานที่ทำงานก็ได้รับผลกระทบจากแสงอาทิตย์เช่นกัน โดยคนที่ทำงานในร่มจะมีผิวที่สว่างกว่าคนทำงานกลางแจ้ง เนื่องจากคนทำงานกลางแจ้งมักมีการสัมผัสกับแสงอาทิตย์ที่ส่งผลต่อเพิ่มขึ้นของจำนวนเม็ดสีเมลานินในผิวหนังชั้นนอกสุดหรือผิวหนังชั้นหนังกำพร้า (Epidermis) และยังส่งผลต่อการเกิดความแดง (Erythema) จากการเผาไหม้ของแสงแดด ซึ่งสอดคล้องกับงานวิจัยของ Xiao K และคณะ [38] นอกจากนี้ยังส่งผลต่อการเพิ่มขึ้นของความเหลืองของผิวด้วย ซึ่งสอดคล้องกับงานวิจัยของ Weatherall IL และคณะ [39] และระยะเวลาในการสัมผัสกับแสงแดดยังเป็นอีกหนึ่งเหตุผลที่ทำให้ความสว่างลดลง ในขณะที่ความแดง ความเหลืองของผิวของคนทำงานกลางแจ้งเพิ่มขึ้น และผิวยังมีความอึมเศร้ามากขึ้น ซึ่งสอดคล้องกับการตอบแบบสอบถามของผู้เข้าร่วมการทดลอง พบว่า คนที่ทำงานกลางแจ้งจะใช้เวลาในการ

ทำงานมากกว่า 1 ชั่วโมง และถึงแม้ว่าจะมีการสัมผัสกับแสงแดดในระยะเวลาสั้น ๆ ก็ยังสามารถส่งผลต่อสีและความสว่างของผิวได้ และสอดคล้องกับงานวิจัยของ Anna Maria Siani และคณะ [40]

การลดลงของค่าการสะท้อนเชิงสเปกตรัมในช่วงความยาวคลื่นแสงสีเขียวยาวประมาณ 520-610 นาโนเมตร ที่เกิดขึ้นทั้งในความแตกต่างของประเภทสีผิวและความแตกต่างระหว่างเพศ เป็นผลมาจากการดูดกลืนของสารฮีโมโกลบินที่เกิดจากเซลล์เม็ดเลือดแดงภายในชั้นหนังแท้ (Dermis) บ่งบอกถึงความแดงของผิว ซึ่งสอดคล้องกับงานวิจัยของ Motonori Doi และคณะ [41] และค่าการสะท้อนจะเพิ่มขึ้นอีกครั้งในช่วงความยาวคลื่นแสงสีส้มประมาณ 620 นาโนเมตร เนื่องจากการเป็นารดูดกลืนของสารเมลานินที่เป็นสารในการสร้างเม็ดสีให้กับผิวในชั้นหนังกำพวด โดยความแตกต่างของการลดลงในค่าการสะท้อนเชิงสเปกตรัมนี้ จะเห็นชัดเจนในความแตกต่างของประเภทผิวของคนผิวดำที่มีการลดลงของค่าการสะท้อนของผิวที่น้อยกว่าคนผิวขาว เป็นเพราะคนผิวดำมีปริมาณฮีโมโกลบินอยู่มาก จึงทำให้มีการดูดกลืนของสารฮีโมโกลบินมากกว่าคนผิวขาว เช่นเดียวกันกับการเพิ่มขึ้นของค่าการสะท้อนในช่วง 620 นาโนเมตร ที่คนผิวดำจะมีการเพิ่มขึ้นที่น้อยกว่าคนผิวขาว เพราะคนผิวดำจะมีปริมาณของเม็ดสีเมลานินที่มากกว่าคนผิวขาว ซึ่งพบเช่นเดียวกันในงานวิจัยของ L.T. Norvang และคณะ ระหว่างคนแอฟริกัน (African) และคนคอเคเซียน (Caucasian) [42]

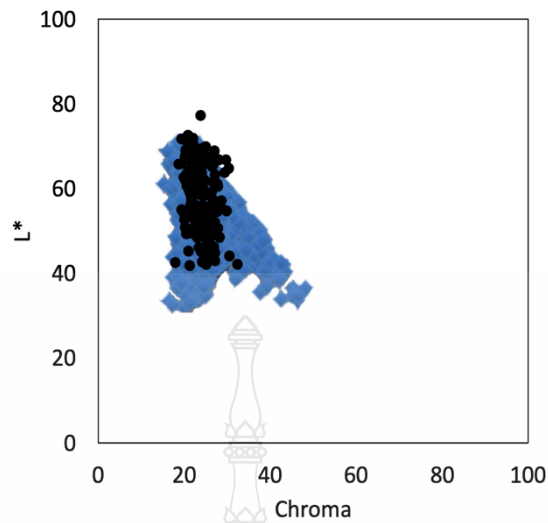
ความมีสีสันของผิวในบริเวณใบหน้า โดยเฉพาะความแดงของผิวจะมีมากกว่าบริเวณใต้แขน แต่จะมีผิวที่ดำกว่าบริเวณใต้แขน เนื่องจากในบริเวณใบหน้าเป็นบริเวณที่มีการไหลเวียนของเลือดที่มากกว่าบริเวณใต้แขน จึงทำให้บริเวณใบหน้ามีความแดงของผิวที่มากกว่าบริเวณใต้แขน ซึ่งสอดคล้องกับงานวิจัยของ Weatherall IL และคณะ [39], Stucker M และคณะ [43] และ In Sik Yun และคณะ [44] นอกจากนี้บริเวณใบหน้ายังเป็นบริเวณที่มีโอกาสสัมผัสกับแสงแดดมากกว่าบริเวณใต้แขน จึงเป็นผลให้บริเวณใบหน้ามีความสว่างที่น้อยกว่า หรือผิวมีความดำกว่าบริเวณใต้แขน ซึ่งสอดคล้องกับความเป็นจริง

### 5.3 การอภิปรายผลการวิจัยเพิ่มเติม

ผลการวิเคราะห์จากงานวิจัยในครั้งนี้ ทำให้ได้ชุดข้อมูลสีและความสว่างของผิวคนไทย จากกลุ่มตัวอย่างจำนวน 171 คน ที่ได้จากการวัดผิวทั้งหมด 5 บริเวณของร่างกายได้แก่ แก้มซ้ายและขวา หน้าผาก คาง และได้แขน และยังได้ชุดข้อมูลสีและความสว่างของผิวแยกตามปัจจัย คือ ความแตกต่างระหว่างเพศ ความแตกต่างระหว่างภูมิภาคที่กำเนิด และความแตกต่างระหว่างลักษณะของสถานที่ทำงาน ที่ส่งผลทำให้สีผิวของคนไทยมีความแตกต่างกัน นอกจากนี้ยังจากงานวิจัยอื่น ๆ ได้มีการศึกษาถึงอิทธิพลของปัจจัยต่าง ๆ ที่ส่งผลต่อสีผิวให้มีความแตกต่างกัน เช่น ความแตกต่างของเชื้อชาติ เป็นต้น รวมถึงในประเทศไทยยังได้มีคนที่ศึกษาลักษณะของสีผิวคนไทยเช่นกัน

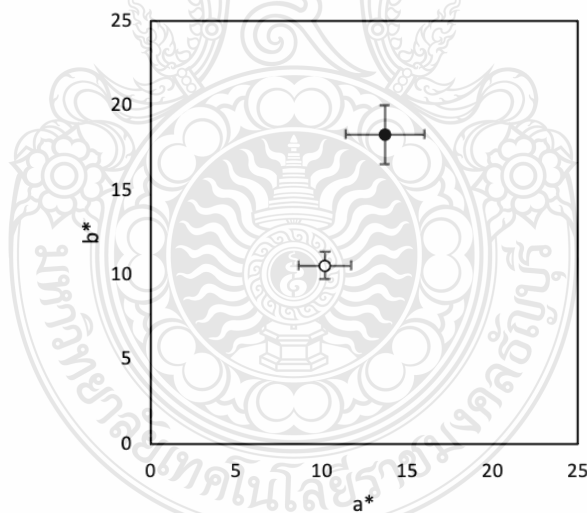
#### 5.3.1 การอภิปรายผลการวิจัยในงานวิจัยของประเทศไทย

วรรณรัตน์ วิรัชกุล [7] ได้ศึกษาลักษณะเฉพาะเชิงสเปกตรัมของสีผิวคนไทย โดยใช้เครื่องมือ X-Rite SP62 Spectrophotometer จึงทำให้ได้ชุดข้อมูลสีผิวจากกลุ่มตัวอย่างจำนวน 710 คน ใน 6 บริเวณการวัด ได้แก่ หน้าผาก แก้ม คาง หลังมือ แขนด้านนอก และแขนด้านใน พบว่าแนวโน้มของผิวคนไทยค่อนข้างสีเหลือง เพศหญิงมีความสว่างของผิวมากกว่าเพศชาย และคนที่มักสัมผัสกับแสงแดดจะมีความสว่างที่ลดลง ซึ่งสอดคล้องกับงานวิจัยในครั้งนี้ แต่เมื่อทำการเปรียบเทียบชุดข้อมูลจากค่าเฉลี่ยสีผิวของทุกบริเวณการวัด พบว่า การกระจายตัวของค่าความสว่างและค่าความอิ่มตัวของผิวในงานวิจัยของวรรณรัตน์ วิรัชกุล มีการกระจายตัวที่กว้างกว่าในงานวิจัยครั้งนี้ ดังที่แสดงในภาพที่ 5.1 และยังพบว่าค่าเฉลี่ยความแดง ความเหลือง ความสว่าง และความอิ่มตัวของผิวคนไทยในงานวิจัยของวรรณรัตน์ วิรัชกุล มีค่าเฉลี่ยของสีผิวคนไทยที่ต่ำกว่าในงานวิจัยครั้งนี้ ดังภาพที่ 5.2 (ก), (ข), (ค) และ (ง) เนื่องจากความแตกต่างของเครื่องมือที่ใช้ในการวัดสีผิวที่ในงานวิจัยนี้ใช้เครื่องมือแบบชนิดที่ไม่สัมผัสกับผิว แต่ในขณะที่ในงานวิจัยของวรรณรัตน์ วิรัชกุล ใช้เครื่องมือชนิดที่สัมผัสกับสีผิวและความแตกต่างของแหล่งกำเนิดแสงที่ใช้ในการวัดผิว รวมไปถึงการเก็บข้อมูลสีผิวจากกลุ่มตัวอย่างในงานวิจัยนี้ที่มีความหลากหลายมากกว่า จึงเป็นผลให้ชุดข้อมูลสีและความสว่างของผิวคนไทยมีความแตกต่างกัน



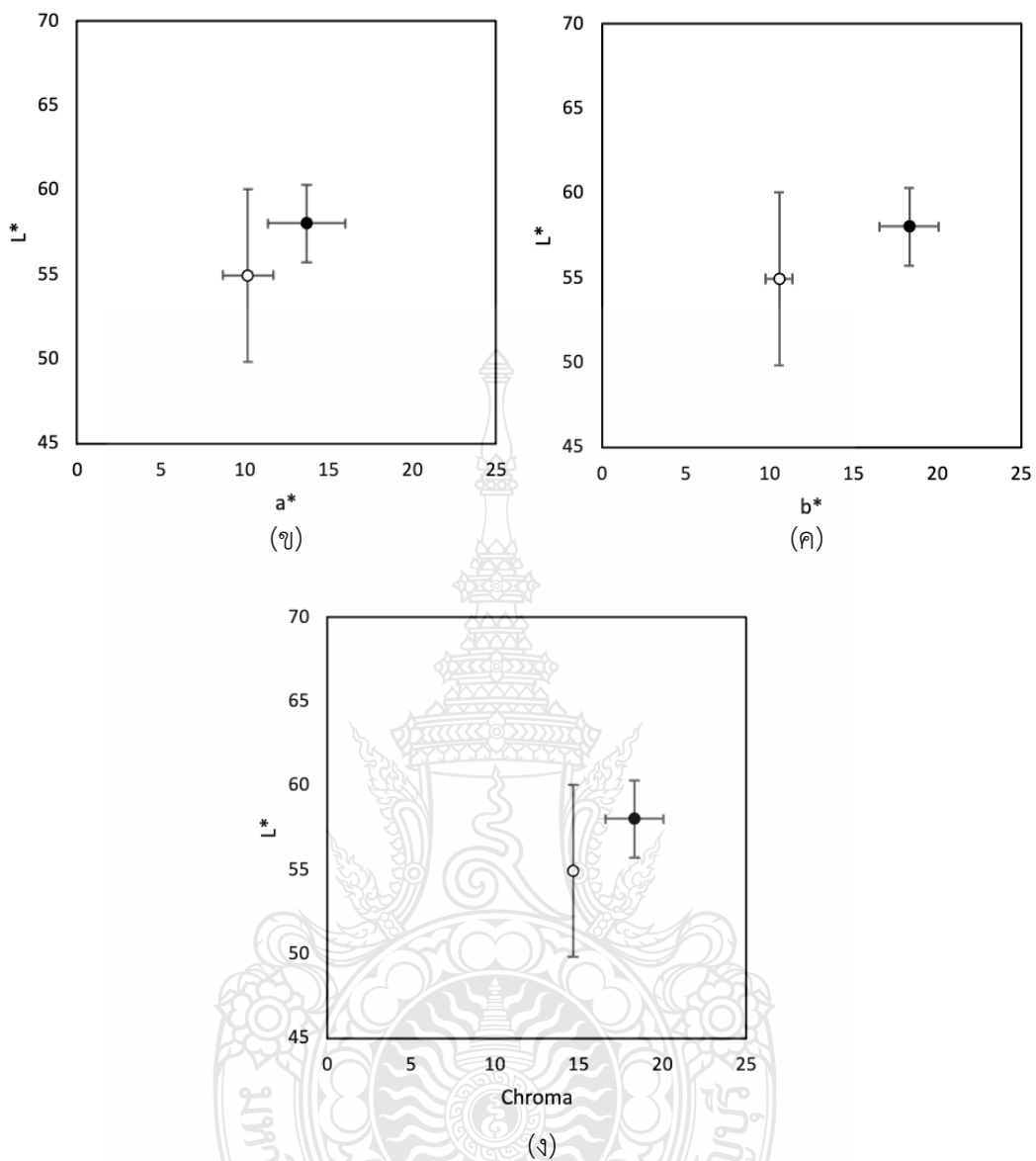
ภาพที่ 5.1 กราฟเปรียบเทียบการกระจายตัวของข้อมูลระหว่างงานวิจัยของวรรณรัตน์ วิรัชกุลและงานวิจัยนี้ของค่าความสว่างและค่าความอิ่มตัวของสีของผิวคนไทย

โดยใช้สัญลักษณ์ สีน้ำเงิน แทน งานวิจัยของวรรณรัตน์ วิรัชกุล และ สีดำ แทน งานวิจัยนี้



ภาพที่ 5.2 (ก) กราฟเปรียบเทียบค่าเฉลี่ยความแดง ( $a^*$ ) และความเหลือง ( $b^*$ ) ของผิวคนไทยระหว่างงานวิจัยของวรรณรัตน์ วิรัชกุล (สีขาว) และงานวิจัยนี้ (สีดำ)

โดยใช้สัญลักษณ์ ● แทน งานวิจัยของวรรณรัตน์ วิรัชกุล และ ○ แทน งานวิจัยนี้



ภาพที่ 5.2 (ข) กราฟเปรียบเทียบค่าเฉลี่ยความแดงและความสว่างของผิวคนไทยระหว่างงานวิจัยของวรรณรัตน์ วิรัชกุล และงานวิจัยนี้

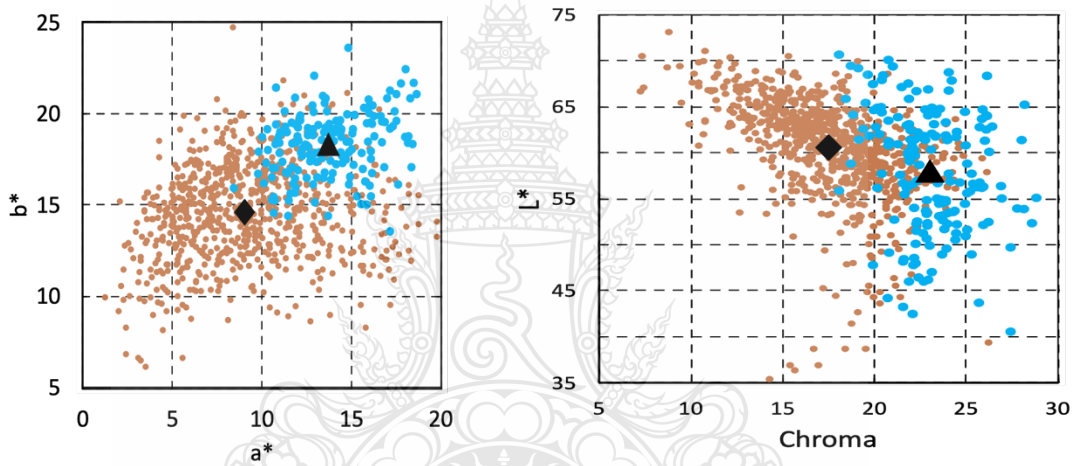
(ค) กราฟเปรียบเทียบค่าเฉลี่ยความเหลืองและความสว่างของผิวคนไทยระหว่างงานวิจัยของวรรณรัตน์ วิรัชกุลและงานวิจัยนี้

(ง) กราฟเปรียบเทียบค่าเฉลี่ยความอิมตัวสีและความสว่างของผิวคนไทยระหว่างงานวิจัยของวรรณรัตน์ วิรัชกุลและงานวิจัยนี้

โดยใช้สัญลักษณ์ ● แทน งานวิจัยของวรรณรัตน์ วิรัชกุล และ ○ แทน งานวิจัยนี้

### 5.3.1 การอภิปรายผลการวิจัยเทียบกับผิวชนชาติอื่น ๆ

K.Xiao และคณะ [3] ได้ทำการศึกษาลักษณะความแตกต่างของเชื้อชาติที่ผลต่อสีผิว โดยใช้เครื่องมือ Konica Minolta CM-2600d Spectrophotometer วัดสีผิวของคนคอเคเซียน คนจีน และคนอิรัก (Iraq) ทั้งหมด 4 บริเวณ ได้แก่ หน้าผาก แก้ม หลังมือ และใต้แขน พบว่า ความแตกต่างของเชื้อชาติมีผลทำให้สีผิวมีความแตกต่างกันอย่างมีนัยสำคัญ โดยเฉพาะค่าความเหลืองของผิว จะมีความแตกต่างกันมากที่สุด และเมื่อเปรียบเทียบระหว่างชุดข้อมูลของสีผิวของคนคอเคเซียนและชุดข้อมูลสีผิวคนไทยในงานวิจัยนี้จากค่าเฉลี่ยสีผิวของทุกบริเวณการวัด พบว่า การกระจายตัวของชุดข้อมูลคนคอเคเซียนในค่าความแดง ความเหลือง ความสว่าง และความอึมทึบตัวของผิวที่มากกว่าชุดข้อมูลคนไทย และมีแนวโน้มในค่าความแดง ความเหลือง และความอึมทึบตัวของผิวที่ต่ำกว่า แต่มีค่าความสว่างที่สูงกว่าเมื่อเปรียบเทียบกับชุดข้อมูลสีผิวคนไทย ดังภาพที่ 5.3 (ก) และ (ข)



ภาพที่ 5.3 (ก) กราฟเปรียบเทียบการกระจายตัวของค่าความแดงและค่าความเหลืองของผิวระหว่างคนคอเคเซียนและคนไทย

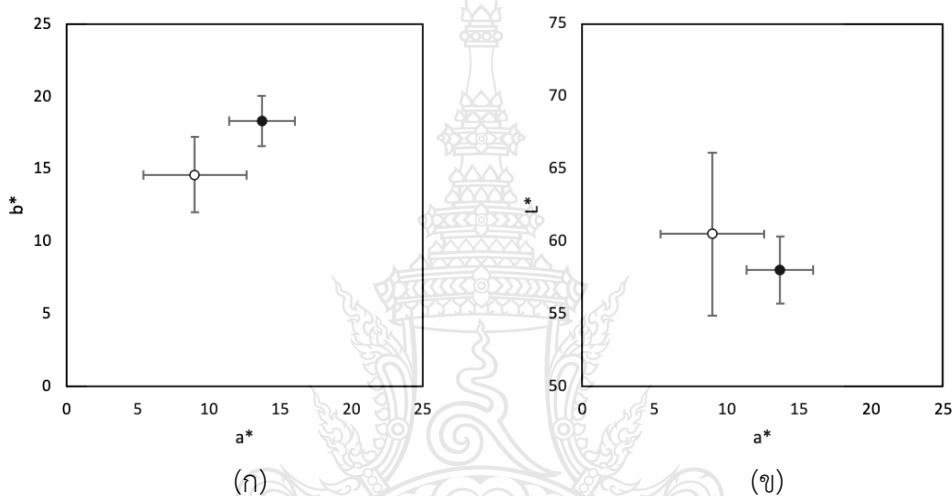
(ข) กราฟเปรียบเทียบการกระจายตัวของค่าความอึมทึบและค่าความสว่างของผิวระหว่างคนคอเคเซียนและคนไทย

โดยใช้สัญลักษณ์ สีน้ำตาล แทน งานวิจัยของ K.Xiao และ สีฟ้า แทน งานวิจัยนี้

- แทน การกระจายตัวของสีผิว
- ◆ แทน ค่าเฉลี่ยสีผิวของคนคอเคเซียน
- ▲ แทน ค่าเฉลี่ยสีผิวของคนไทย



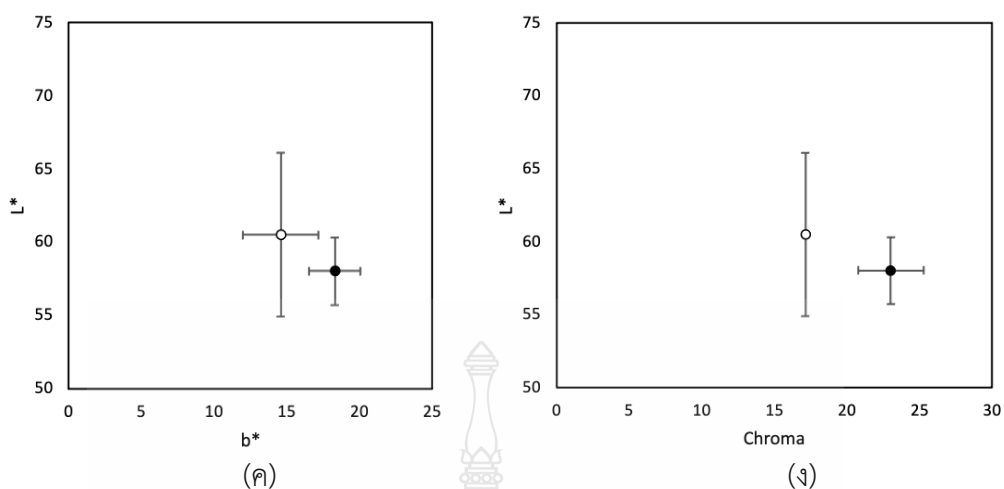
จะเห็นได้ชัดเจนในภาพที่ 5.4 (ก), (ข), (ค) และ (ง) ที่บ่งบอกว่าสีผิวคนไทยจะมีความแดง ความเหลืองที่สูงกว่า และผิวจะดูสดกว่าคนยุโรป แต่ในทางตรงกันข้าม คนยุโรปจะมีผิวที่ขาวหรือสว่างกว่าคนไทย เนื่องจากความแตกต่างของเครื่องมือที่ใช้ในการวัดสีผิวที่ในงานวิจัยนี้ใช้เครื่องมือแบบชนิดที่ไม่สัมผัสกับผิว แต่ในขณะที่ในงานวิจัยของ K.Xiao และคณะ ใช้เครื่องมือชนิดที่สัมผัสกับผิว และความแตกต่างของแหล่งกำเนิดแสงที่ใช้ในการวัดผิว รวมถึงตำแหน่งที่ตั้งทางภูมิประเทศและภูมิอากาศมีความแตกต่างกัน ส่งผลต่อปริมาณความเข้มข้นของรังสีจากแสงอาทิตย์ให้มีความแตกต่างกัน จึงทำให้สีและความสว่างของผิวระหว่างคนคอเคเซียนและคนไทยมีความแตกต่างกัน



ภาพที่ 5.4 (ก) กราฟเปรียบเทียบค่าเฉลี่ยความแดงและความเหลืองของผิวระหว่างคนคอเคเซียนและคนไทย

(ข) กราฟเปรียบเทียบค่าเฉลี่ยความแดงและความสว่างของผิวระหว่างคนคอเคเซียนและคนไทย

โดยใช้สัญลักษณ์ ● แทน คนคอเคเซียน และ ○ แทน คนไทย

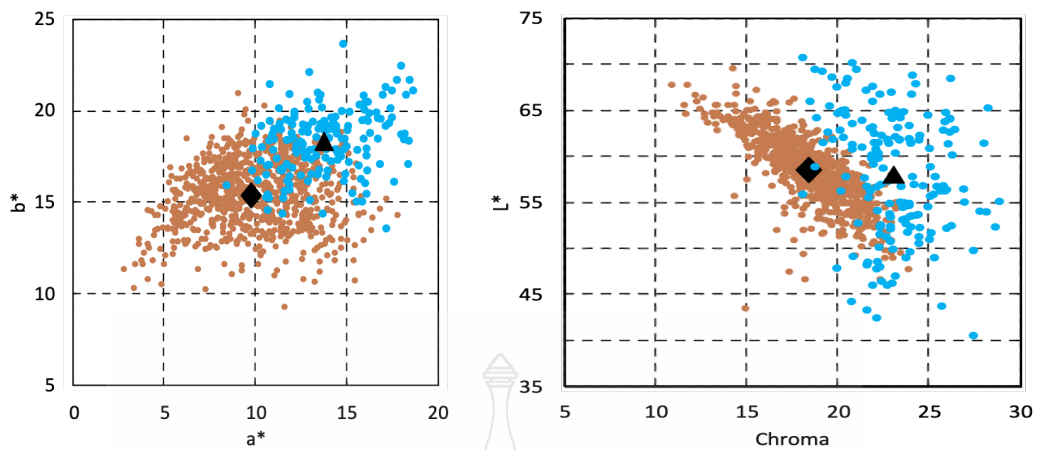


ภาพที่ 5.4(ค) กราฟเปรียบเทียบค่าเฉลี่ยความเหลืองและความสว่างของผิวระหว่างคนคอเคเซียนและคนไทย

(ง) กราฟเปรียบเทียบค่าเฉลี่ยความอึมตัวสีและความสว่างของผิวระหว่างคนคอเคเซียนและคนไทย

โดยใช้สัญลักษณ์ ● แทน คนคอเคเซียน และ ○ แทน คนไทย

นอกจากนี้เมื่อเปรียบเทียบค่าสีและความสว่างของผิวคนไทยกับคนจีนที่ตัวแทนของกลุ่มชาติพันธุ์มอโกลอยด์ (Mogoloid) พบว่า ผิวของคนไทยจะมีค่าความแดง ค่าความเหลือง และค่าความอึมตัวสีของผิวที่มากกว่าคนจีน ในขณะที่ค่าความสว่างของทั้งสองชาติไม่ค่อยแตกต่างกัน โดยแสดงดังภาพที่ 5.5 (ก) และ (ข) และจะเห็นได้ชัดในภาพที่ 5.6 (ก), (ข), (ค) และ (ง) โดยค่าเฉลี่ยความเหลืองและความอึมตัวสีของผิวคนไทยจะสูงกว่าคนจีนอยู่มาก ดังนั้นแสดงให้เห็นว่า แม้จะเป็นกลุ่มชาติพันธุ์เดียวกันก็สามารถทำให้ค่าสีและความสว่างของผิวมีความแตกต่างกันได้ เนื่องจากความแตกต่างของเครื่องมือที่ใช้ในการวัดสีผิวที่ในงานวิจัยนี้ใช้เครื่องมือแบบชนิดที่ไม่สัมผัสกับผิว แต่ในขณะที่ในงานวิจัยของ K.Xiao และคณะ ใช้เครื่องมือชนิดที่สัมผัสกับผิว รวมถึงตำแหน่งที่ตั้งทางภูมิประเทศและภูมิอากาศมีความแตกต่างกัน โดยประเทศจีนจะเป็นเอเชียตะวันออก ส่วนประเทศไทยจะเป็นเอเชียตะวันออกเฉียงใต้ จึงอาจมีผลทำให้ประมาณรังสีของแสงอาทิตย์มีความแตกต่างกัน และส่งผลให้สีและความสว่างของผิวระหว่างคนไทยและคนจีนมีความแตกต่างกัน

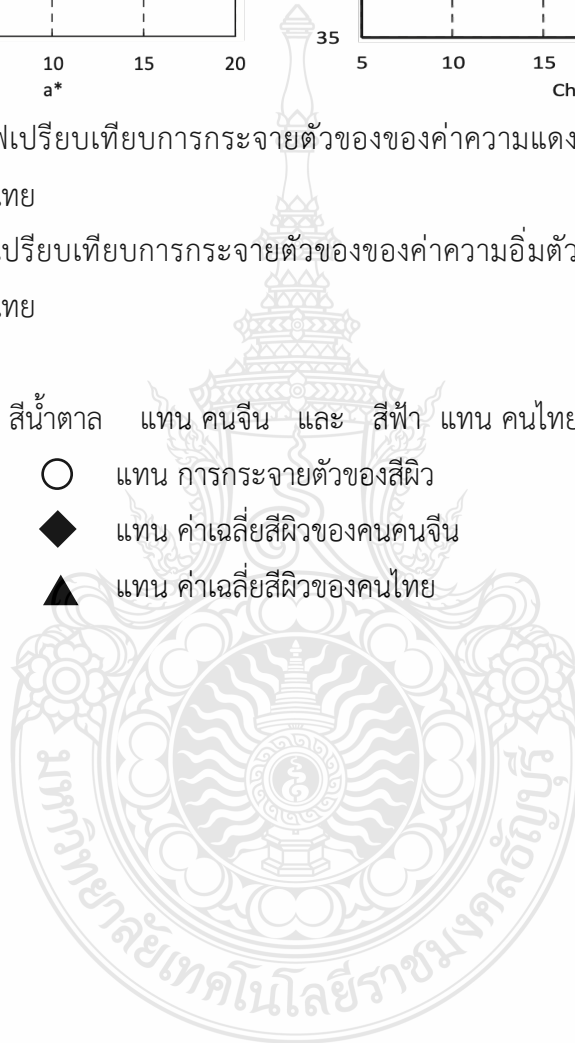


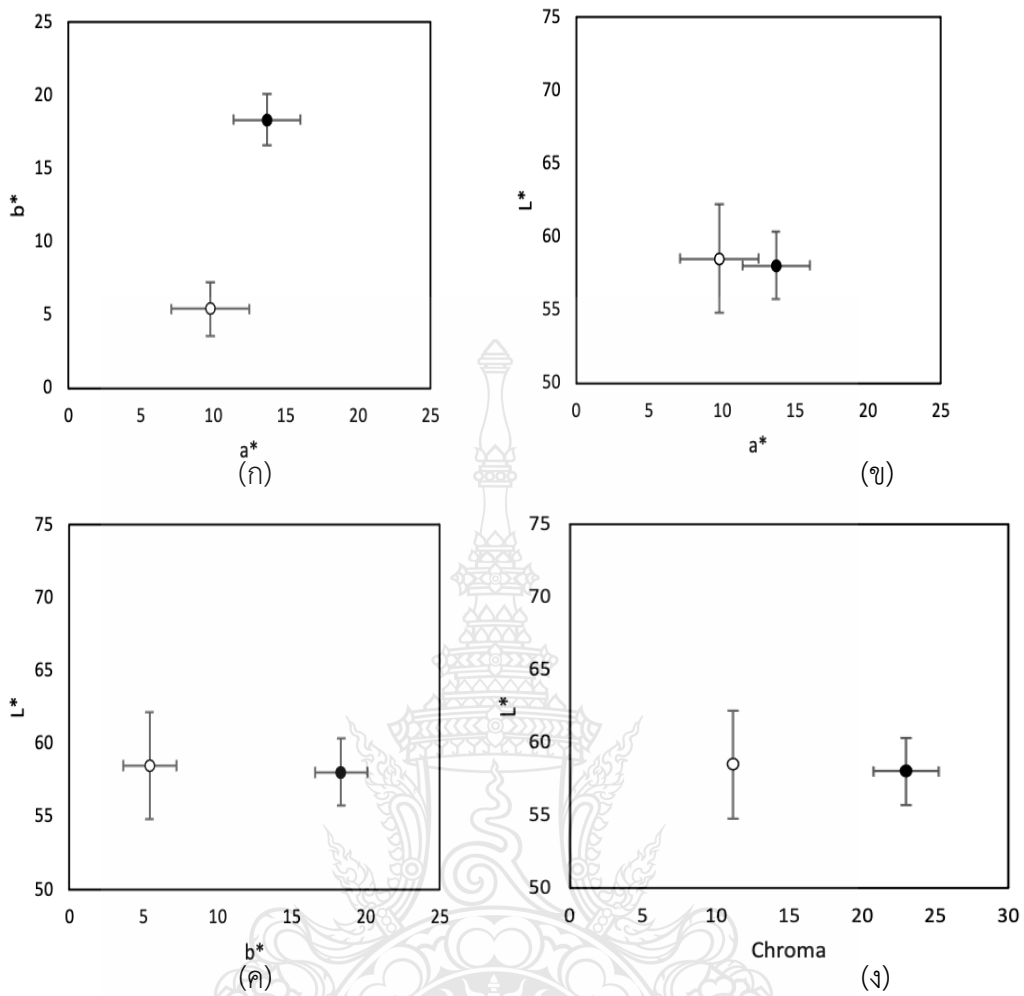
ภาพที่ 5.5 (ก) กราฟเปรียบเทียบการกระจายตัวของค่าความแดงและค่าความเหลืองของผิวระหว่างคนจีนและคนไทย

(ข) กราฟเปรียบเทียบการกระจายตัวของค่าความเข้มตัวสีและค่าความสว่างของผิวระหว่างคนจีนและคนไทย

โดยใช้สัญลักษณ์ สีน้ำตาล แทน คนจีน และ สีฟ้า แทน คนไทย

- แทน การกระจายตัวของสีผิว
- ◆ แทน ค่าเฉลี่ยสีผิวของคนจีน
- ▲ แทน ค่าเฉลี่ยสีผิวของคนไทย





ภาพที่ 5.6 (ก) กราฟเปรียบเทียบค่าเฉลี่ยความแดงและความเหลืองของผิวระหว่างคนจีนและคนไทย  
 (ข) กราฟเปรียบเทียบค่าเฉลี่ยความแดงและความสว่างของผิวระหว่างคนจีนและคนไทย  
 (ค) กราฟเปรียบเทียบค่าเฉลี่ยความเหลืองและความสว่างของผิวระหว่างคนจีนและคนไทย  
 (ง) กราฟเปรียบเทียบค่าเฉลี่ยความอิมพัลส์และความสว่างของผิวระหว่างคนจีนและคนไทย

โดยใช้สัญลักษณ์ ● แทน คนจีนและคนไทย และ ○ แทน คนไทย

## 5.4 ประโยชน์ของการวิจัย

จากการวิเคราะห์ผลการทดลองแสดงให้เห็นว่า ข้อมูลสีและความสว่างของผิวคนไทยจากปัจจัยส่วนบุคคล ทำให้รับประโยชน์เชิงทฤษฎี คือ งานวิจัยนี้มีส่วนสนับสนุนงานวิจัยสีและความสว่างของผิวตามปัจจัยส่วนบุคคลที่ส่งผลให้สีและความสว่างของผิวมีความแตกต่างกัน รวมถึงสามารถอธิบายเชื่อมโยงถึงสารฮีโมโกลบินและเมลานินที่เป็นสารที่ทำให้เกิดสีผิวในร่างกาย

ประโยชน์เชิงการนำไปใช้ของงานวิจัยนี้ คือ การนำข้อมูลสีและความสว่างของผิวคนไทยที่วิเคราะห์ตามปัจจัยส่วนบุคคล ไม่ว่าจะเป็นเพศ ภูมิภาค หรือลักษณะสถานที่ทำงาน มาพัฒนาผลิตภัณฑ์ในวงการอุตสาหกรรมความงามให้มีความเหมาะสมกับลักษณะของสีผิวในปัจจัยต่าง ๆ

## 5.4 ข้อเสนอแนะ

เพื่อประโยชน์ในการนำไปศึกษาหรือทำวิจัยในอนาคต สามารถพัฒนาเพื่อให้ครอบคลุมในการวิเคราะห์ผลสีและความสว่างของผิวคนไทย ดังนี้

5.4.1 ควรใช้กลุ่มตัวอย่างที่มีจำนวนผู้เข้าร่วมการทดลองที่เพิ่มขึ้น เพื่อเพิ่มความแม่นยำของข้อมูลสำหรับการวิเคราะห์ผลให้ดียิ่งขึ้น

5.4.2 ควรศึกษาให้ครอบคลุมเกี่ยวกับพฤติกรรมของการป้องกันตนเองจากแสงแดด เพื่อนำมาวิเคราะห์ระหว่างพฤติกรรมที่อาจส่งผลต่อความแตกต่างของสีผิว รวมถึงความแตกต่างของอายุที่อาจส่งผลต่อความต่างของสีผิวได้เช่นกัน

5.4.3 ข้อมูลสีและความสว่างของผิวคนไทยในงานวิจัยนี้ สามารถนำมาประยุกต์ใช้ได้กับงานวิจัยด้านการออกแบบหรือสร้างแบบจำลองตัวแทนสีผิวคนไทยได้

## บรรณานุกรม

- [1] Takanori Igarashi, Ko Nishino และ Shree K. Nayar, “The Appearance of Human Skin: A Survey”, *Foundation and Trend in Computer Graphic and vision*, ปีที่ 2, นน. 1-95, (2007).
- [2] Medicine LibreTexts (ออนไลน์), 2020, สืบค้นจาก: <https://med.libretexts.org/>, (29 พฤศจิกายน 2563).
- [3] K. Xiao, J. M. Yates, F. Zardawi, S. Sueeprasan, N. Liao, L. Gill, C. Li และ S. Wuerger, “Characterising the variations in ethnic skin colours: a new calibrated data base for human skin”, *Skin Research and Technology*, นน. 1-9, ( April 2016).
- [4] Kumiko Kikuchi, Chika Katagiri, Hironobu Yoshikawa, Yoko Mizokami และ Hirohisa Yaguchi, “Long-term changes in Japanese women’s facial skin color” , *Color Res Appl*, ปีที่ 43, นน. 119-129, (June 2017).
- [5] เรณู โคตรจรัส, *คู่มือคนรักผิว*, พิมพ์ครั้งที่ 1, กรุงเทพฯ: สำนักพิมพ์แห่งจุฬาลงกรณ์มหาวิทยาลัย, 2543.
- [6] Jean de Rigal, Marie-Laurence Abella, Franck Giron, Laurence Caisey และ Marc Andre Lefebvre, “Development and validation of a new Skin Color Chart®”, *Skin Research and Technology*, ปีที่ 13, นน. 101-109, (2007).
- [7] วรณรัตน์ วิรัชกุล, “ลักษณะเฉพาะเชิงสเปกตรัมของสีผิวคนไทย”, วิทยาศาสตร์มหาบัณฑิต, เทคโนโลยีทางภาพและการพิมพ์ คณะวิทยาศาสตร์, จุฬาลงกรณ์มหาวิทยาลัย, 2558.
- [8] Kihwan Han, Taehyun Choi และ Daegu Son, “Skin color of Koreans: statistical evaluation of affecting factors”, *Skin Research and Technology*, ปีที่ 12, นน. 170-177, (2006).
- [9] Jean de Rigal, Isabelle Des Mazis, Stephane Diridollou, Bernard Querleux, Grace Yang, Frederce Leroy และ Vietorai Hollway Barbosa, “The effect of age on skin color and color heterogeneity in four ethnic groups”, *Skin Research and Technology*, ปีที่ 16, นน. 168-178, (2010).
- [10] จารุภา วิโยชน์, *ตัวชี้วัดทางชีวภาพของเซลล์ผิวหนัง จากความรู้พื้นฐานสู่การนำไปประยุกต์ใช้ เพื่อประเมินเวชสำอาง*, พิมพ์ครั้งที่ 1. พิษณุโลก: สำนักพิมพ์มหาวิทยาลัยนเรศวร, 2560.

## บรรณานุกรม (ต่อ)

- [11] Bruce D. Wingered, “The skin” ใน The human body concepts of Anatomy and Physiology, พิมพ์ครั้งที่ 3. Philadelphia: Wolters Kluwer, 2014, นน. 97-101.
- [12] Sue Longenbaker, “Structure of the skin” ใน Mader’s Understanding Human Anatomy & Physiology, พิมพ์ปีที่ 9. New York: McGraw-Hill Education, 2017, นน. 87-89.
- [13] Erin C. Amerman, “Skin Pigmentation” ใน Human Anatomy & Physiology. พิมพ์ครั้งที่ 1. Harlow: Pearson Education Limited, 2016, นน. 211-213.
- [14] ผาสุก มหรรฆานุเคราะห์ และ อภิชาติ สินธุบัว, “การเกิดสีของผิวหนัง” และ “เซลล์เม็ดเลือดแดง” ใน ตำรากายวิภาค, พิมพ์ครั้งที่ 1. เชียงใหม่: ภาควิชากายวิภาคศาสตร์ คณะแพทยศาสตร์ มหาวิทยาลัยเชียงใหม่, 2559, นน. 45 และ 246.
- [15] ชีรวัดน์ สุวรรณิ (ออนไลน์), 2016, สืบค้นจาก: <http://www.idoctorhouse.com/library/physiology-rs/>, (3 ธันวาคม 2563).
- [16] Amprohealth (ออนไลน์), 2019, สืบค้นจาก: <https://amprohealth.com/checkup/hemoglobin/>, (3 ธันวาคม 2563).
- [17] Thaihealthlife (ออนไลน์), สืบค้นจาก: <https://thaihealthlife.com/เมลานิน/>, (3 ธันวาคม 2563).
- [18] วิชิต ลินุตพงษ์, *แสงแดดและผิวหนัง (Sunlight and skin)*, พิมพ์ครั้งที่ 1. กรุงเทพฯ: งานตำราวารสารและสิ่งพิมพ์ สถานเทคโนโลยีการศึกษาแพทยศาสตร์ คณะแพทยศาสตร์ศิริราชพยาบาล มหาวิทยาลัยมหิดล, 2547.
- [19] นิรันดร์ จุลทรัพย์, *การแนะแนวอาชีพ Career guidance*, พิมพ์ครั้งที่ 1. ม.ป.ท., 2558.
- [20] ประสิทธิ์ คำภูแสน, “โลกของอาชีพ” ใน *แนะนำการประกอบการ อาชีพอิสระ*, พิมพ์ครั้งที่ 1. กรุงเทพฯ: สำนักพิมพ์บรรณกิจ, 2542, นน. 1.
- [21] ลักษณะ เหล่าเกียรติ, “ความผิดปกติและโรคผิวหนังจากการประกอบอาชีพ (Occupational skin disorders and diseases)” ใน *การบาดเจ็บ ความผิดปกติ และโรคจากการทำงาน: การป้องกัน*, พิมพ์ครั้งที่ 1. ปทุมธานี: โรงพิมพ์มหาวิทยาลัยธรรมศาสตร์, 2560, นน. 171-172.
- [22] ยุพดี เสตพรธณ, “บทที่ 1 ภูมิลักษณะประเทศไทย” ใน *ภูมิศาสตร์ประเทศไทย Geography of Thailand*, พิมพ์ครั้งที่ 2, กรุงเทพฯ : พิษณุการพิมพ์, 2542, นน. 1-58.

## บรรณานุกรม (ต่อ)

- [23] อรณัฐ ทะละวงษ์, “บทที่ 1 ลักษณะทางภูมิศาสตร์ทั่วไปของประเทศไทย” ใน ภูมิศาสตร์ประเทศไทย Geography of Thailand, พิมพ์ครั้งที่ 3, กรุงเทพฯ : ฝ่ายเอกสารและงานตำรา สถาบันราชภัฏสวนดุสิต, 2540, นน. 1-27.
- [24] วรณี พุทธาวุฒิไกร, “บทที่ 1 ที่ตั้ง ขนาด รูปร่าง และพรมแดนของประเทศไทย” และ “การแบ่งเขตโครงสร้างและภูมิประเทศของประเทศไทย” ใน ภูมิศาสตร์ประเทศไทย, พิมพ์ครั้งที่ 1, กรุงเทพฯ : โอเดียนสโตร์, 2546, นน. 1-5 และ 9-18.
- [25] สำนักงานจังหวัดบึงกาฬ (ออนไลน์), สืบค้นจาก : <http://www.buengkan.go.th/index.php>, (23 ธันวาคม 2563).
- [26] พรทวิ พึ่งรัมย์ และ มิตรชูโอะ อิคเคะ, “การโพรงเจกต์เวกเตอร์สี” และ “ปริภูมิสีเอกรูป  $L^*u^*v^*$  และ  $L^*a^*b^*$ ” ใน สีและการเห็นสี Color and Color vision, พิมพ์ครั้งที่ 1, กรุงเทพฯ : สำนักพิมพ์แห่งจุฬาลงกรณ์มหาวิทยาลัย, 2551, นน. 73 และ 150.
- [27] Konica Minolta (ออนไลน์), สืบค้นจาก: <https://sensing.konicaminolta.asia/product/discontinued-cs-100a-color-and-luminance-meter/>, (3 ธันวาคม 2563).
- [28] Simon Alaluf, Derek Atkins, Karen Barrett, Mergeret Blount, Nik Carter และ Alan Heath, “The impact of Epidermal Melanin on objective measurements of human skin colour”, *Pigment cell res*, ปีที่ 15, นน. 119-126, (ธันวาคม 2002).
- [29] Mengmeng Wang, Kaida Xiao, Ming Ronnier Luo, Vien Cheung และ Sophie Wuergler, “An investigation into the variability of skin colour measurements”, *Color Res Appl*, ปีที่ 43, นน. 458-470, (กุมภาพันธ์ 2018).
- [30] Ross D. Whitehead, Daniel Re, Dengke Xiao, Gozde Ozakinici และ David I. Perrett, “You are what you eat: Within-subject increase in fruit and vegetable consumption confer beneficial skin-color change”, *PLoS ONE*, ปีที่ 7, นน. 1-9, (มีนาคม 2012).
- [31] Sumit Maira, Diptendu Chatterjee และ Arup Ratan Bandyopadhyay, “Skin color variation: A study on Eastern and North East India”, *Asian Journal of Medical Sciences*, ปีที่ 10, นน. 13-16, (มิถุนายน 2019).

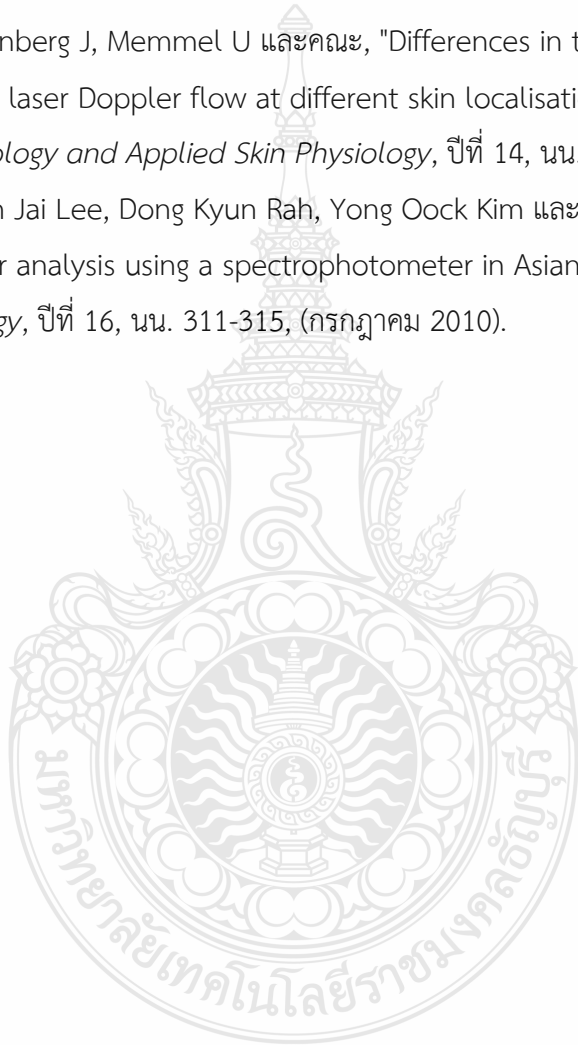


## บรรณานุกรม (ต่อ)

- [32] Lixia Wang, Xiaoxia Wan และ Gensheng Xiao, "Classification and influencing factors analysis of facial skin color in Chinese population", *Skin Research and Technology*, ปีที่ 25, นน. 693-700, (เมษายน 2019).
- [33] ณัชชิตา ภัทรโสภณกุล, จันทรประภา พวงสุวรรณ และ Mitsuo Ikeda. (2019, พฤศจิกายน). **Skin color of Thai people**. เอกสารการนำเสนอในงานประชุมวิชาการ Asia color association, Nagoya, Japan.
- [34] วีระ สินเดชาลักษณ์, สถิติประยุกต์: ปฐมบทแห่งการวิจัยทางสังคม, พิมพ์ครั้งที่ 1, กรุงเทพฯ: โรงพิมพ์มหาวิทยาลัยธรรมศาสตร์, 2558, นน. 50-52.
- [35] สถาบันวิจัยประชากรและสังคม มหาวิทยาลัยมหิดล (ออนไลน์), 2563, สืบค้นจาก: <http://www.ipsr.mahidol.ac.th/ipsrbeta/th/Gazette.aspx>, (25 พฤศจิกายน 2563).
- [36] Konica Minolta (ออนไลน์), สืบค้นจาก: <https://sensing.konicaminolta.asia/learning-centre/color-measurement-learning-center/color-spaces/>, (5 กรกฎาคม 2564).
- [37] Glenda Hall and Tania J.Phillips, "Estrogen and skin: The effects of estrogen, menopause, and hormone replacement therapy on the skin", *American Academy of Dermatology*, ปีที่ 53, นน. 555-568, (October 2005).
- [38] Xiao K, Liao N, Zardawi F, และคณะ, "Investigation of Chinese skin colour and appearance for skin colour reproduction", *Chin Opt Lett*, ปีที่ 10, นน.1-5, (สิงหาคม 2012).
- [39] Weatherall IL และ Coombs BD, "Skin color measurements in terms of CIELAB color space values", *J Invest Dermatol*, ปีที่ 99, นน. 468-473, (มีนาคม 1992).
- [40] Anna Maria Siani, Giuseppe Rocco Casale, Renata Sisto, Massimo Borra, Michael G. Kimlin, Carolyn A. Lang และ Alfredo Colosimo, "Short-term UV Exposure of Sunbathers at a Mediterranean Sea Site", *Photochemistry and Photobiology*, ปีที่ 85, นน. 171-177, (มกราคม 2009).
- [41] Motonori Doi, Rie Ohtsuki และ Shoji Tominaga. (2005, มิถุนายน). **Spectral Estimation of Skin Color with Foundation Makeup**. เอกสารการนำเสนอในงานประชุมวิชาการ Scandinavian, Joensuu, Finland.

## บรรณานุกรม (ต่อ)

- [42] L.T. NORVANG, T.E. MILNER, J.S. NELSON, M.W. BERNS, และ L.O. SVAASAND, "Skin Pigmentation Characterized by Visible Reflectance Measurements Lasers in MedicalScience", *Lasers in Medical Science*, ปีที่ 12, นน. 99-112, (มิถุนายน 1997).
- [43] Stucker M, Steinberg J, Memmel U และคณะ, "Differences in the two-dimensionally measured laser Doppler flow at different skin localisations", *Skin Pharmacology and Applied Skin Physiology*, ปีที่ 14, นน.44-51, (2001).
- [44] In Sik Yun, Won Jai Lee, Dong Kyun Rah, Yong Oock Kim และBe-young Yun Park, "Skin color analysis using a spectrophotometer in Asians", *Skin Research and Technology*, ปีที่ 16, นน. 311-315, (กรกฎาคม 2010).



ภาคผนวก





ภาคผนวก ก

แบบสอบถาม

## แบบสอบถาม

**คำชี้แจง** แบบสอบถามนี้จัดทำขึ้นเพื่อต้องการเก็บรวบรวมข้อมูลเพื่อใช้ในการทำวิจัยเรื่อง สี และความสว่างของผิวคนไทย (COLOR AND LIGHTNESS OF THAI SKIN TONE) โปรดเติมเครื่องหมาย  ลงในช่อง  และกรอกข้อความให้สมบูรณ์

### ส่วนที่ 1 (สำหรับผู้เข้าร่วมทดลอง)

#### 1.1 ข้อมูลทั่วไป

- 1.1.1 เพศ  ชาย  หญิง
- 1.1.2 อายุ.....ปี
- 1.1.3 จังหวัดเกิด(ตามสูติบัตร).....
- 1.1.4 สัญชาติ.....
- 1.1.5 เชื้อชาติ.....
- 1.1.6 การผสมของเชื้อชาติ
- ไทยแท้
- ไทยผสมเชื้อชาติอื่น ระบุเชื้อชาติที่ผสม.....

#### 1.2 ข้อมูลการทำงาน

- 1.2.1 อาชีพปัจจุบัน.....
- 1.2.2 ทำงานที่จังหวัดใด.....
- 1.2.3 ทำงานในอาชีพปัจจุบันมาแล้วกี่ปี.....ปี
- 1.2.4 ลักษณะสถานที่ทำงาน
- ทำงานกลางแจ้ง กี่ชั่วโมงต่อวัน.....
- ทำงานในอาคาร กี่ชั่วโมงต่อวัน.....
- ทำงานทั้งในที่กลางแจ้งและในอาคาร ทำงานกลางแจ้งกี่ชั่วโมงต่อวัน.....  
ทำงานในอาคารกี่ชั่วโมงต่อวัน.....

1.3 ข้อมูลการใช้ผลิตภัณฑ์ดูแลผิว (Skincare) และเครื่องสำอาง (Cosmetic)

1.3.1 ปัจจุบันท่านใช้ผลิตภัณฑ์ดูแลผิว(Skincare) หรือไม่

- 1       2       3       4       5

1.3.2 ปัจจุบันท่านใช้ครีมกันแดดหรือไม่

ครีมกันแดดสำหรับใบหน้า

- 1       2       3       4       5

ครีมกันแดดสำหรับร่างกาย

- 1       2       3       4       5

1.3.3 ปัจจุบันท่านใช้เครื่องสำอาง (Cosmetic) หรือไม่

- 1       2       3       4       5

หมายเหตุ

5 = ใช้เป็นประจำทุกวัน

4 = ใช้ 5-6 ครั้ง ต่อสัปดาห์

3 = ใช้ 3-4 ครั้ง ต่อสัปดาห์

2 = ใช้ 1-2 ครั้ง ต่อสัปดาห์

1 = ไม่เคยใช้

ส่วนที่ 2 (สำหรับผู้ควบคุมการทดลอง)

2.1 ข้อมูลการวัดสีผิว

2.1.1 Cheek (แก้ม)

รายการ	ครั้งที่	Y	x	y
White Reference				
Left cheek	1			
	2			
	3			
White Reference				
Right cheek	1			
	2			
	3			

### 2.1.2 Forehead (หน้าผาก)

รายการ	ครั้งที่	Y	x	y
White Reference				
Forehead (หน้าผาก)	1			
	2			
	3			

### 2.1.3 Chin (คาง)

รายการ	ครั้งที่	Y	x	y
White Reference				
Chin (คาง)	1			
	2			
	3			

### 2.1.4 Inner arm (ใต้แขนขวา)


รายการ	ครั้งที่	Y	x	y
White Reference				
Inner arm (ใต้แขนขวา)	1			
	2			
	3			

### 2.2 ข้อมูลสภาพแวดล้อม (แสง)

.....lx

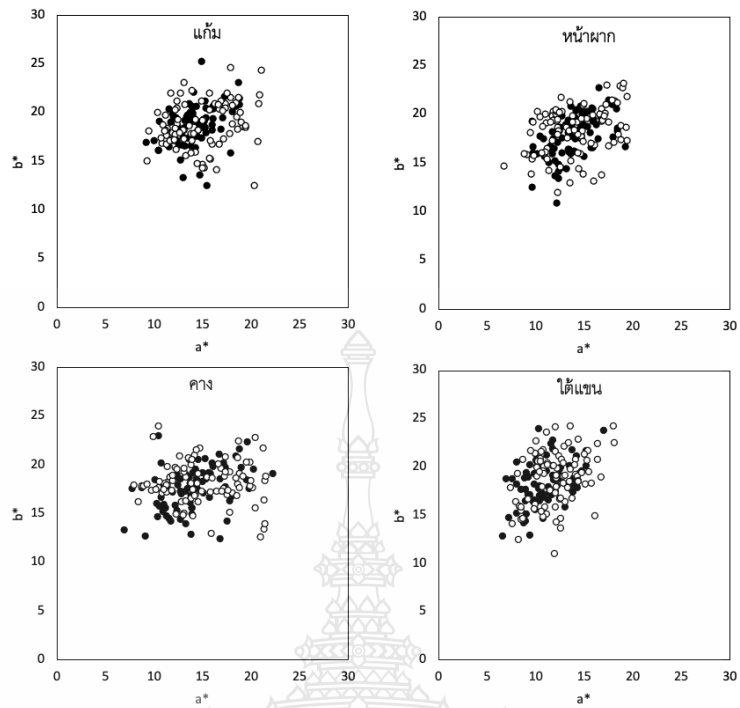
### 2.3 ข้อมูลภูมิภาคของผู้ร่วมทดลอง

- |                                     |  |
|-------------------------------------|--|
| <input type="checkbox"/> ภาคเหนือ   | <input type="checkbox"/> ภาคตะวันออกเฉียงเหนือ |
| <input type="checkbox"/> ภาคตะวันตก | <input type="checkbox"/> ภาคตะวันออก           |
| <input type="checkbox"/> ภาคกลาง    | <input type="checkbox"/> ภาคใต้                |

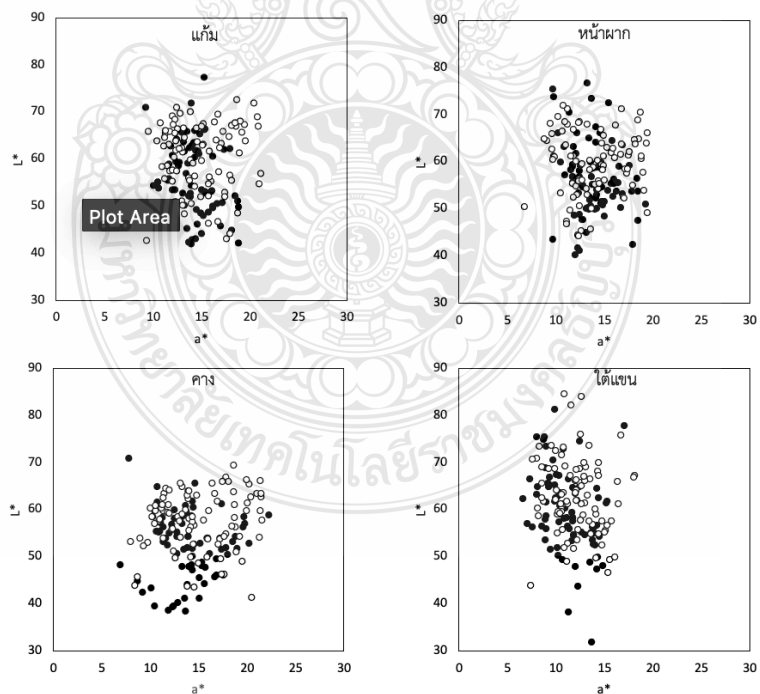


ภาคผนวก ข  
ข้อมูลการกระจายตัวของสีและความสว่างของผิว

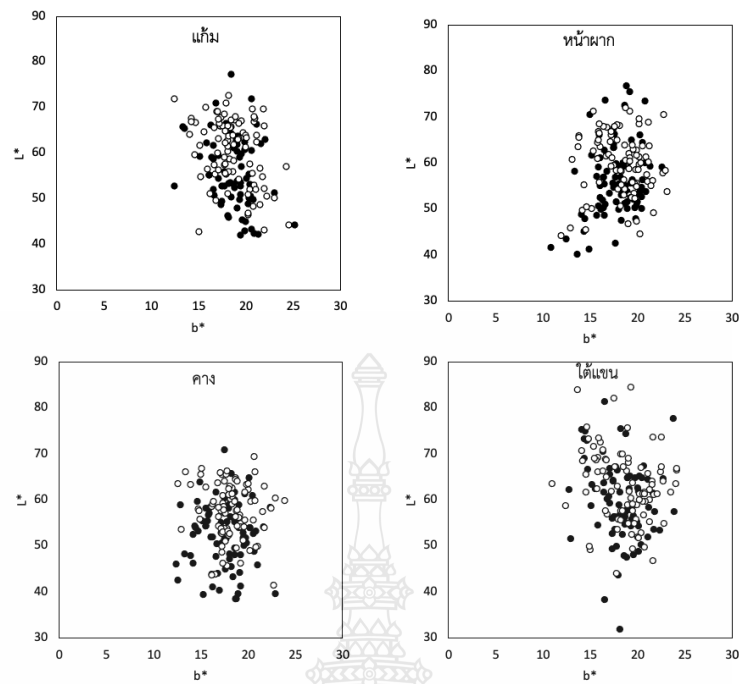




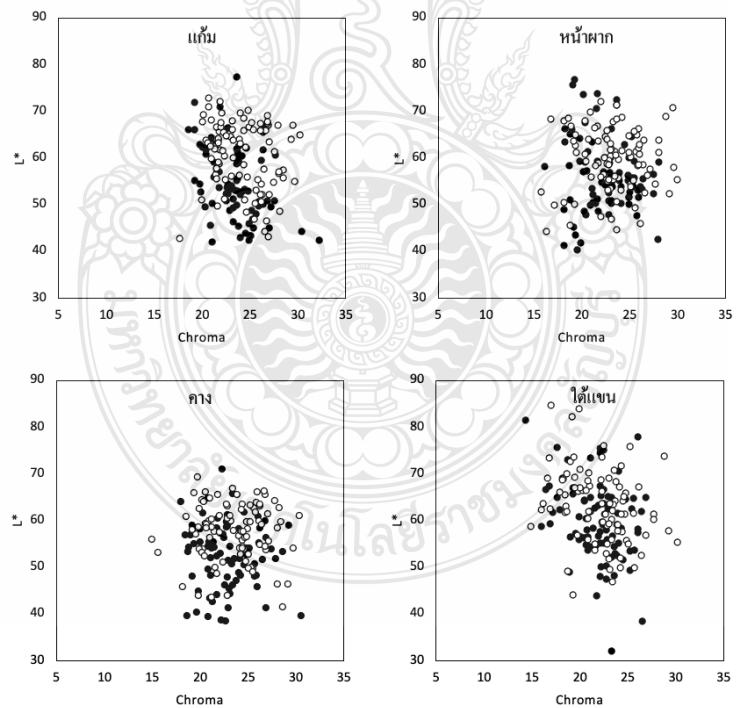
ภาพ กราฟการกระจายตัวค่าความแดงและค่าความเหลืองของผิวระหว่างเพศชาย (สีดำ) และเพศหญิง (สีขาว)



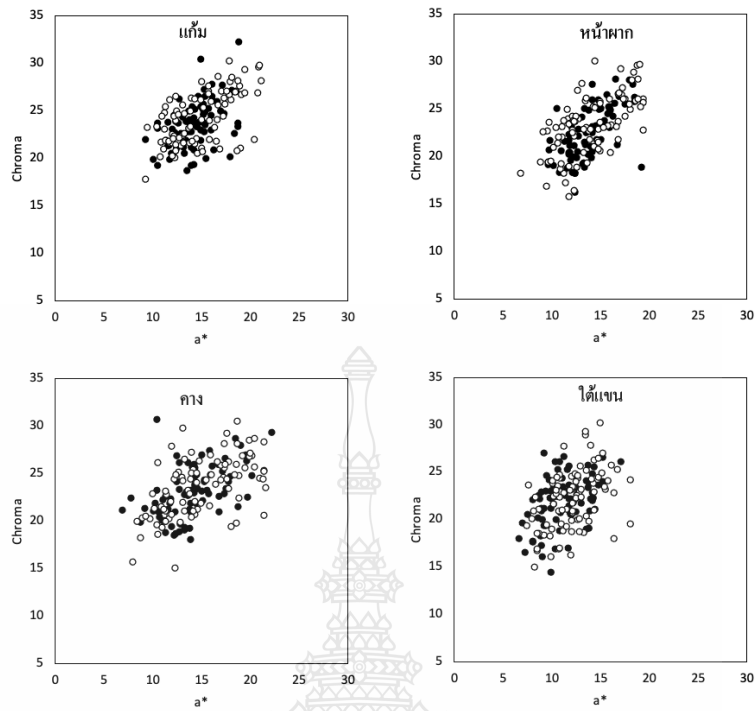
ภาพ กราฟการกระจายตัวค่าความแดงและค่าความสว่างของผิวระหว่างเพศชาย (สีดำ) และเพศหญิง (สีขาว)



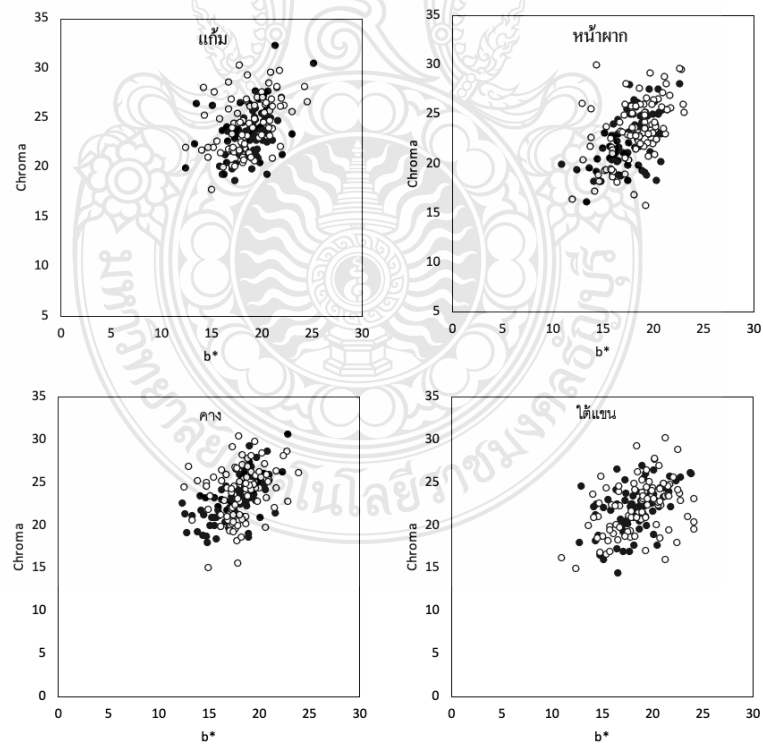
ภาพ กราฟการกระจายตัวค่าความเหลืองและค่าความสว่างของผิวระหว่างเพศชาย (สีดำ) และเพศหญิง(สีขาว)



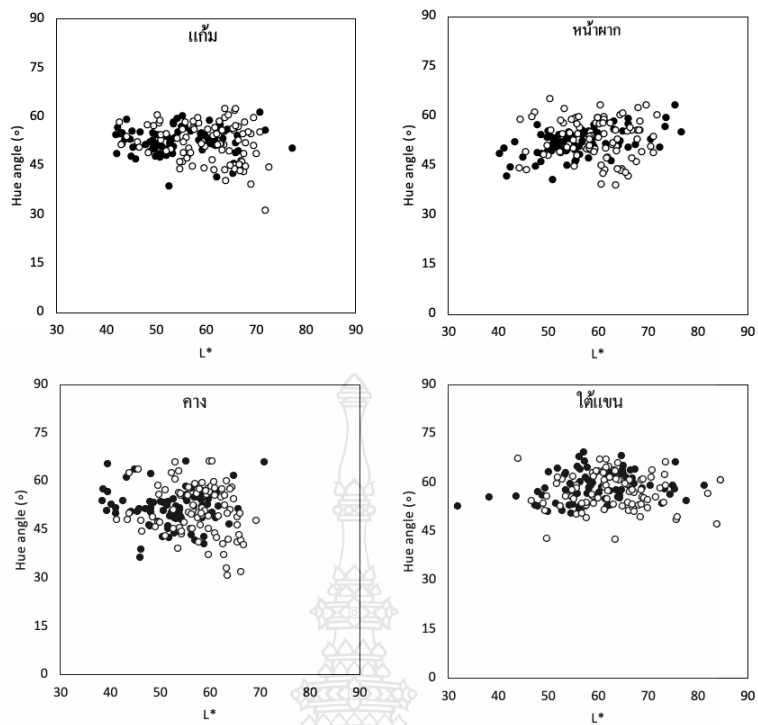
ภาพ กราฟการกระจายตัวค่าความอิ่มตัวสีและค่าความสว่างของผิวระหว่างเพศชาย (สีดำ) และเพศหญิง(สีขาว)



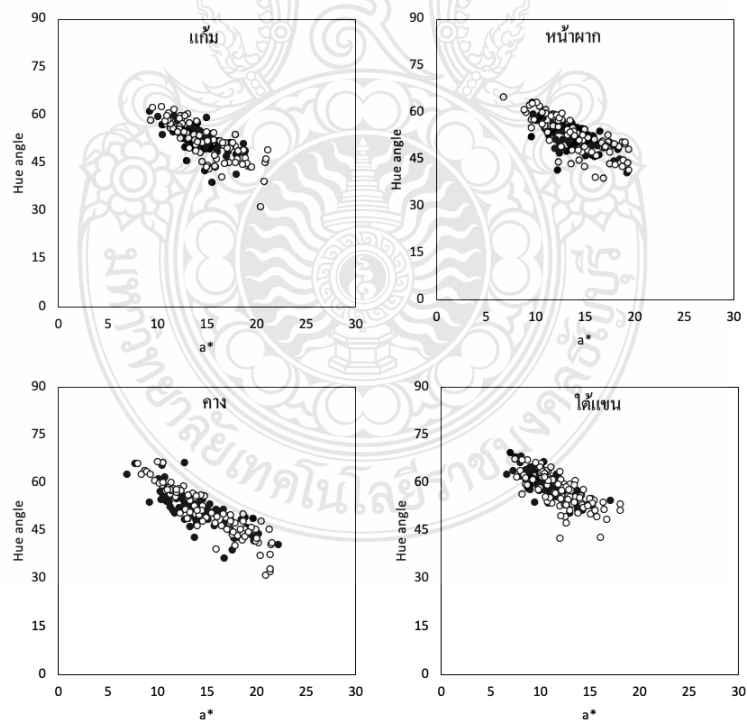
ภาพ กราฟการกระจายตัวค่าความแดงและค่าความอิ่มตัวของผิวระหว่างเพศชาย (สีดำ) และเพศหญิง(สีขาว)



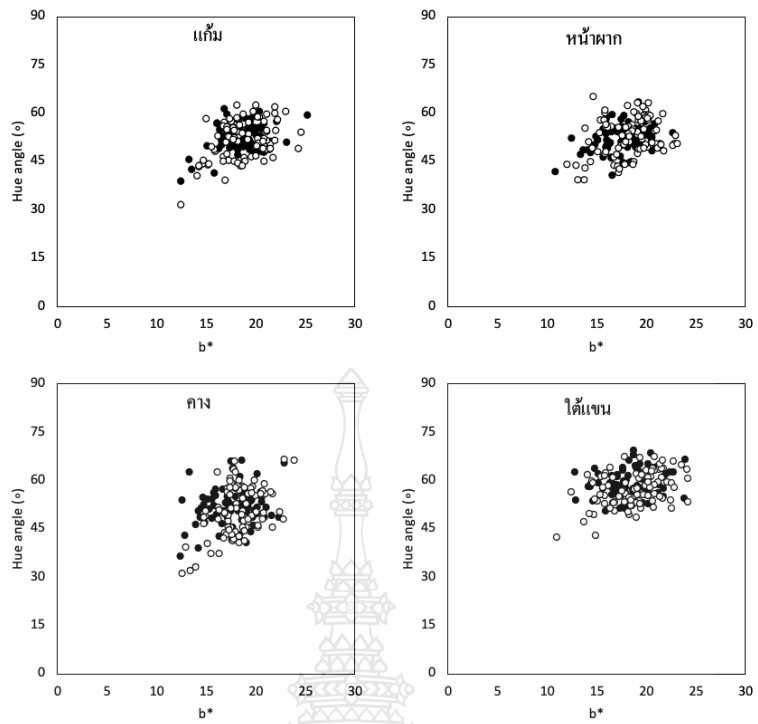
ภาพ กราฟการกระจายตัวค่าความเหลืองและค่าความอิ่มตัวของผิวระหว่างเพศชาย (สีดำ) และเพศหญิง(สีขาว)



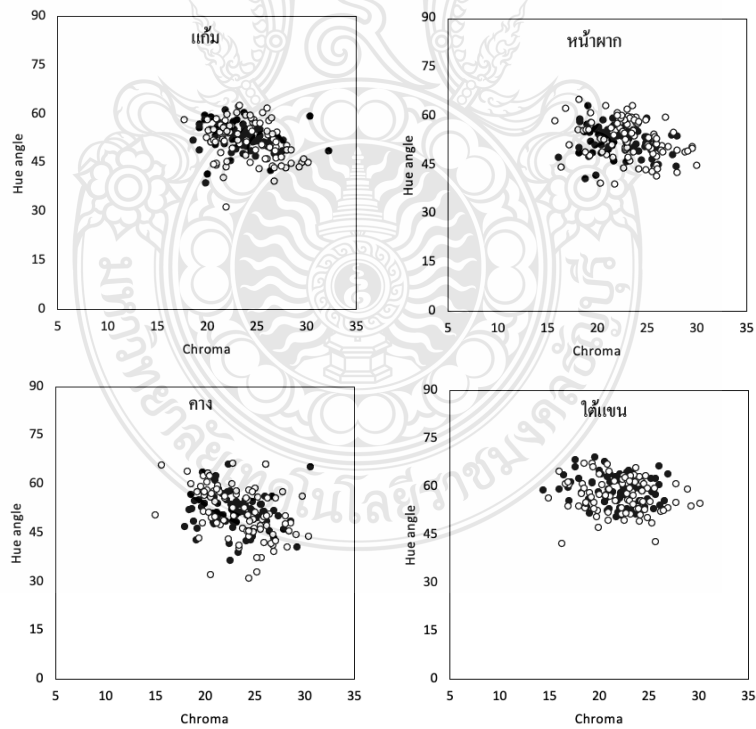
ภาพ กราฟการกระจายตัวค่าความสว่างและค่า Hue angle ของผิวหนังระหว่างเพศชาย (สีดำ) และเพศหญิง (สีขาว)



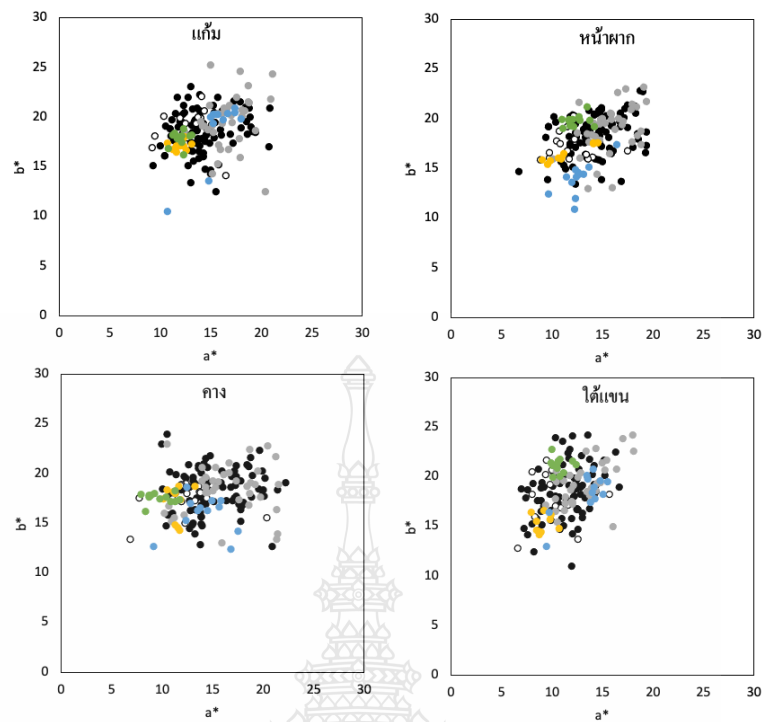
ภาพ กราฟการกระจายตัวค่าความแดงและค่า Hue angle ของผิวหนังระหว่างเพศชาย (สีดำ) และเพศหญิง (สีขาว)



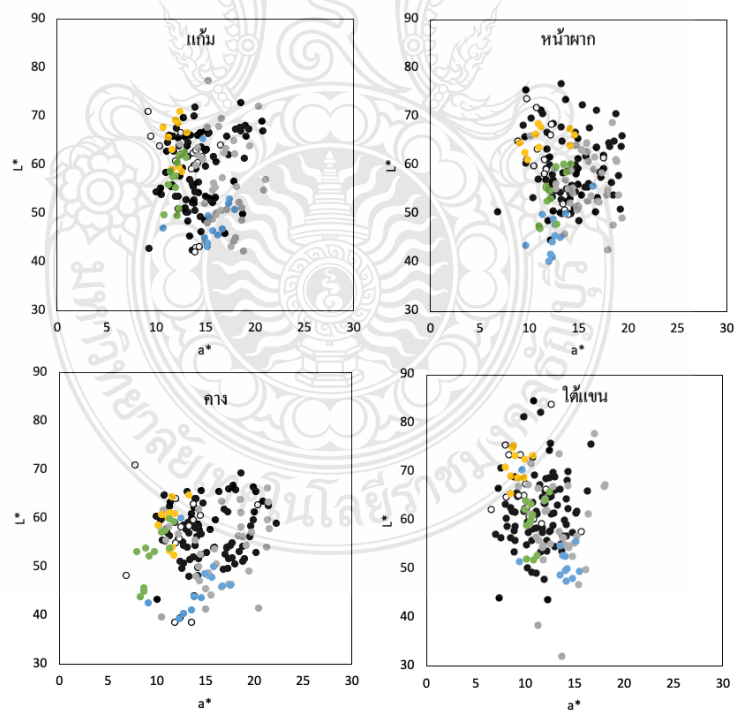
ภาพ กราฟการกระจายตัวค่าความเหลืองและค่า Hue angle ของผิวหนังระหว่างเพศชาย (สีดำ) และเพศหญิง(สีขาว)



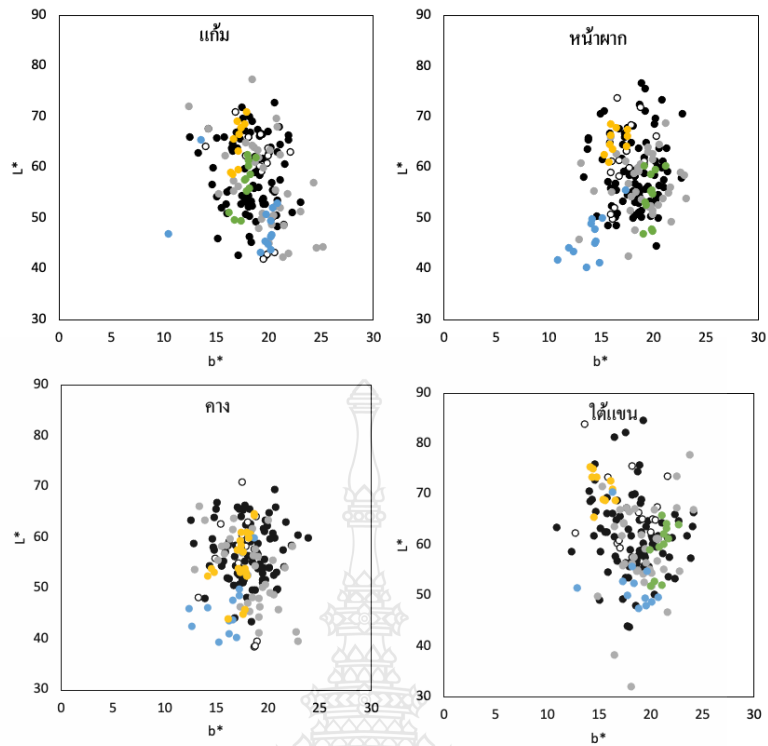
ภาพ กราฟการกระจายตัวค่าความอิ่มตัวสีและค่า Hue angle ของผิวหนังระหว่างเพศชาย (สีดำ) และเพศหญิง(สีขาว)



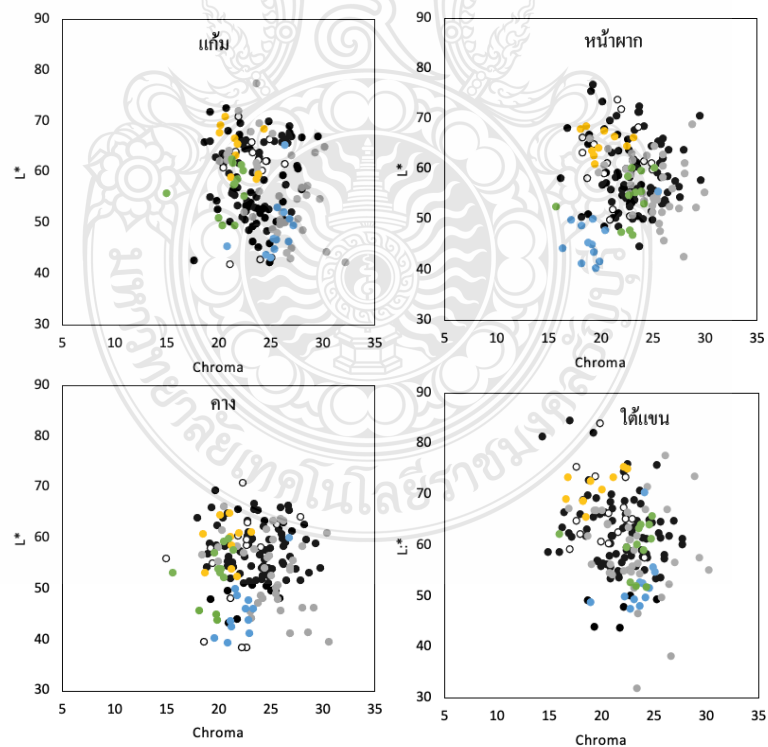
ภาพ กราฟการกระจายตัวค่าความแดงและค่าความเหลืองของผิวระหว่าง 6 ภูมิภาค (กลาง; คำ, ตะวันออกเฉียงเหนือ; ขาว, ตะวันตก; เทา, ได้; ฟ้า, เหนือ; เหลือง และ ตะวันออก; เขียว)



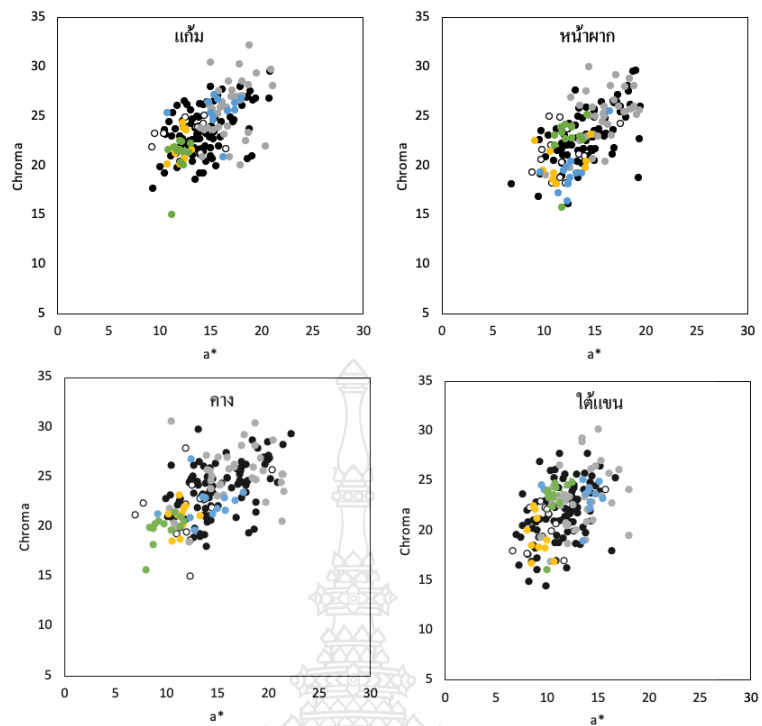
ภาพ กราฟการกระจายตัวค่าความแดงและค่าความสว่างของผิวระหว่าง 6 ภูมิภาค (กลาง; คำ, ตะวันออกเฉียงเหนือ; ขาว, ตะวันตก; เทา, ได้; ฟ้า, เหนือ; เหลือง และ ตะวันออก; เขียว)



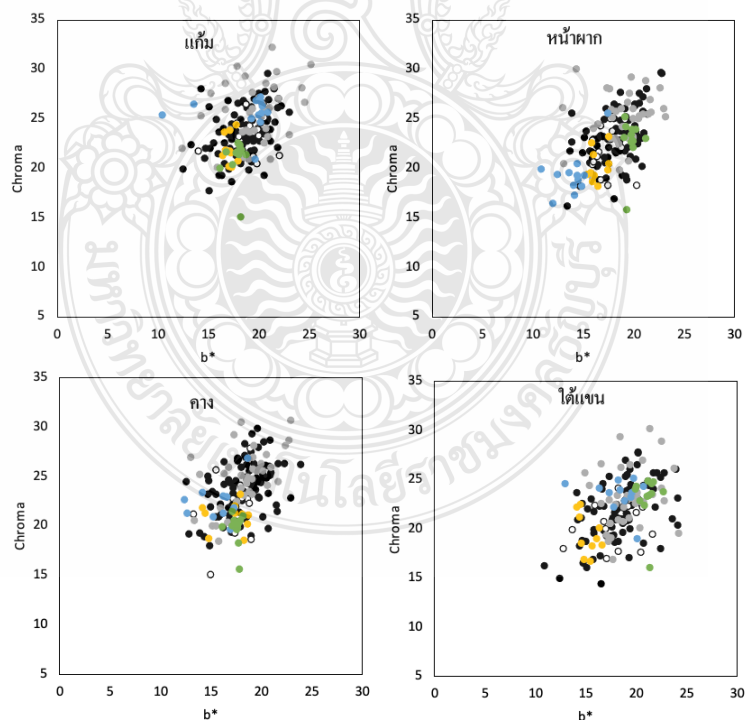
ภาพ กราฟการกระจายตัวค่าความเหลืองและค่าความสว่างของผิวระหว่าง 6 ภูมิภาค (กลาง; คำ, ตะวันออกเฉียงเหนือ; ขาว, ตะวันตก; เทา, ได้; ฟ้า, เนื้อ; เหลือง และ ตะวันออก; เขียว)



ภาพ กราฟการกระจายตัวค่าความอิ่มตัวสีและค่าความสว่างของผิวระหว่าง 6 ภูมิภาค (กลาง; คำ, ตะวันออกเฉียงเหนือ; ขาว, ตะวันตก; เทา, ได้; ฟ้า, เนื้อ; เหลือง และ ตะวันออก; เขียว)

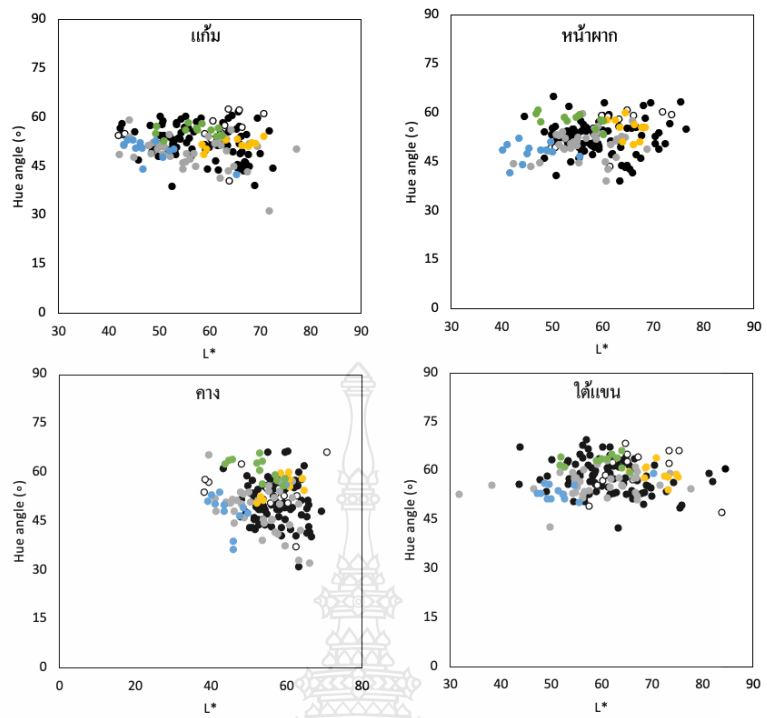


ภาพ กราฟการกระจายตัวค่าความแดงและค่าความส้มของตัวสีผิวระหว่าง 6 ภูมิภาค (กลาง; คำ, ตะวันออกเฉียงเหนือ; ขาว, ตะวันตก; เทา, ได้; ฟ้า, เนื้อ; เหลือง และตะวันออก; เขียว)

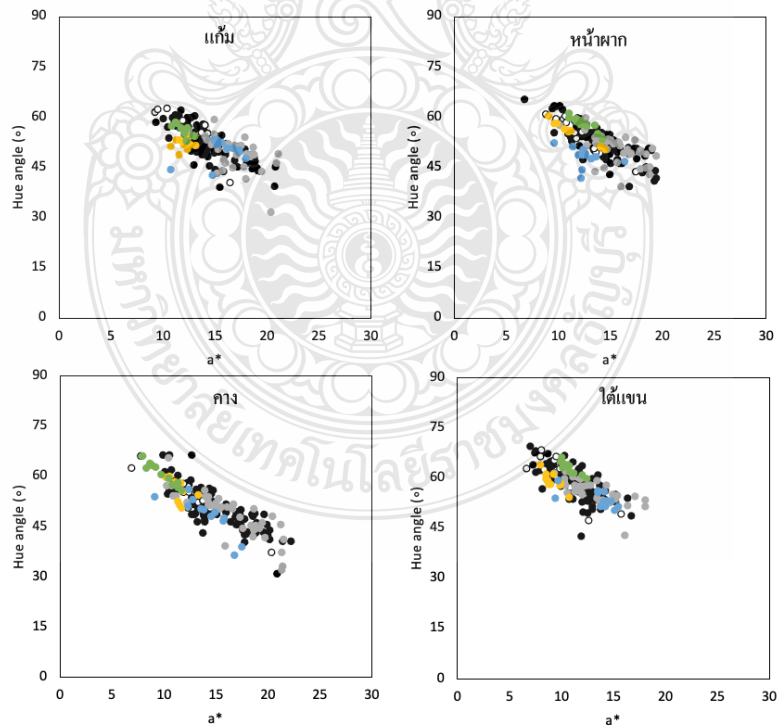


ภาพ กราฟการกระจายตัวค่าความเหลืองและค่าความส้มของตัวสีผิวระหว่าง 6 ภูมิภาค (กลาง; คำ, ตะวันออกเฉียงเหนือ; ขาว, ตะวันตก; เทา, ได้; ฟ้า, เนื้อ; เหลือง และตะวันออก; เขียว)

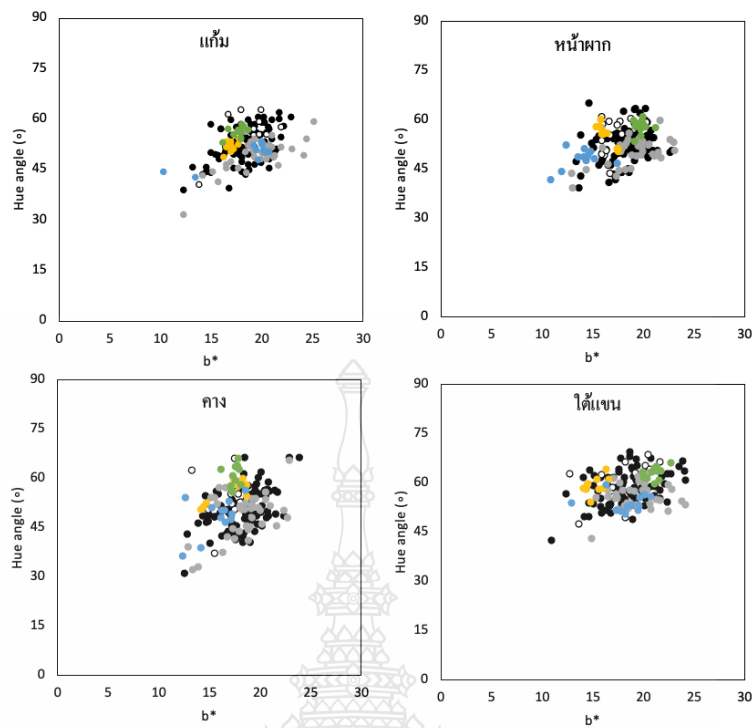




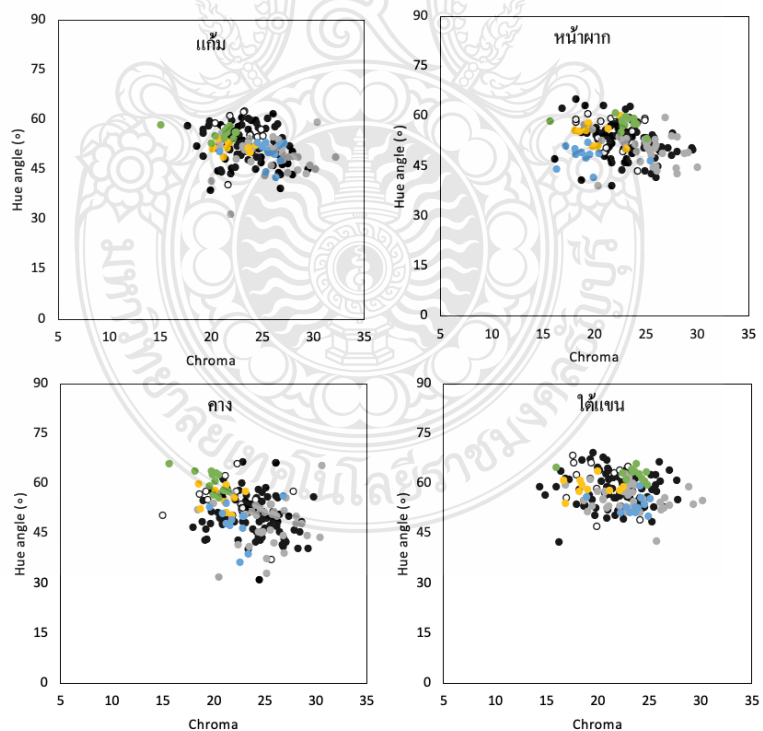
ภาพ กราฟการกระจายตัวค่าความสว่างและค่า Hue angle ผิวระหว่าง 6 ภูมิภาค (กลาง; ค่ำ, ตะวันออกเฉียงเหนือ; ขาว, ตะวันตก; เทา, ไต; ฟ้ำ, เนื้อ; เหลือง และ ตะวันออก; เขียว)



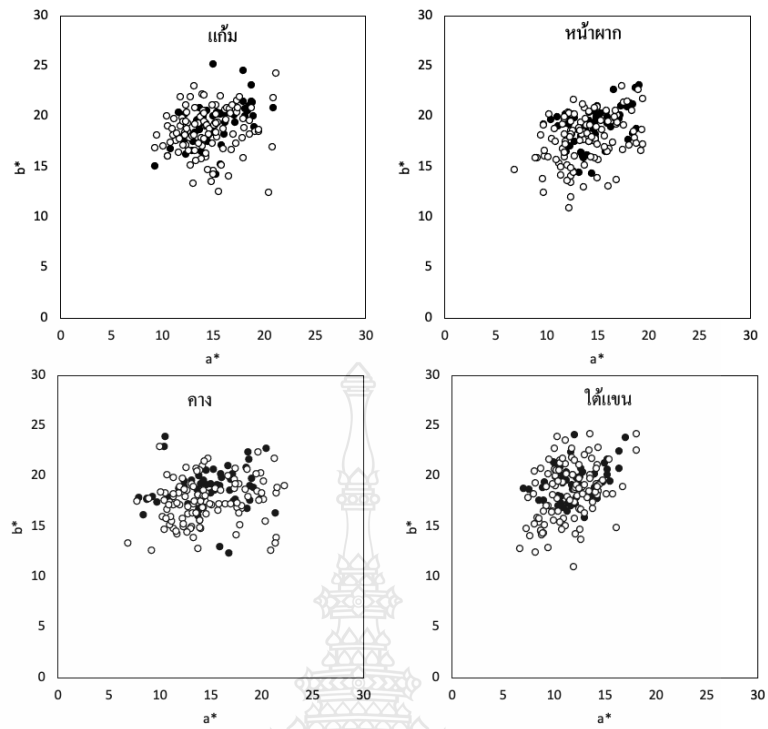
ภาพ กราฟการกระจายตัวค่าความแดงและค่า Hue angle ผิวระหว่าง 6 ภูมิภาค (กลาง; ค่ำ, ตะวันออกเฉียงเหนือ; ขาว, ตะวันตก; เทา, ไต; ฟ้ำ, เนื้อ; เหลือง และ ตะวันออก; เขียว)



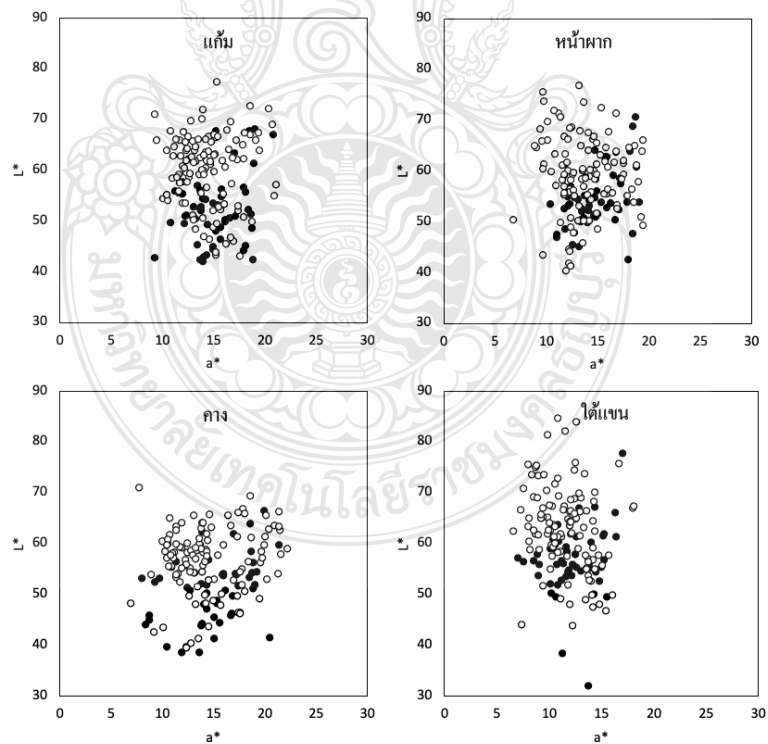
ภาพ กราฟการกระจายตัวค่าความเหลืองและค่า Hue angle ผิวระหว่าง 6 ภูมิภาค (กลาง; คำ, ตะวันออกเฉียงเหนือ; ขาว, ตะวันตก; เทา, ไต้; ฟ้า, เนื้อ; เหลือง และ ตะวันออก; เขียว)



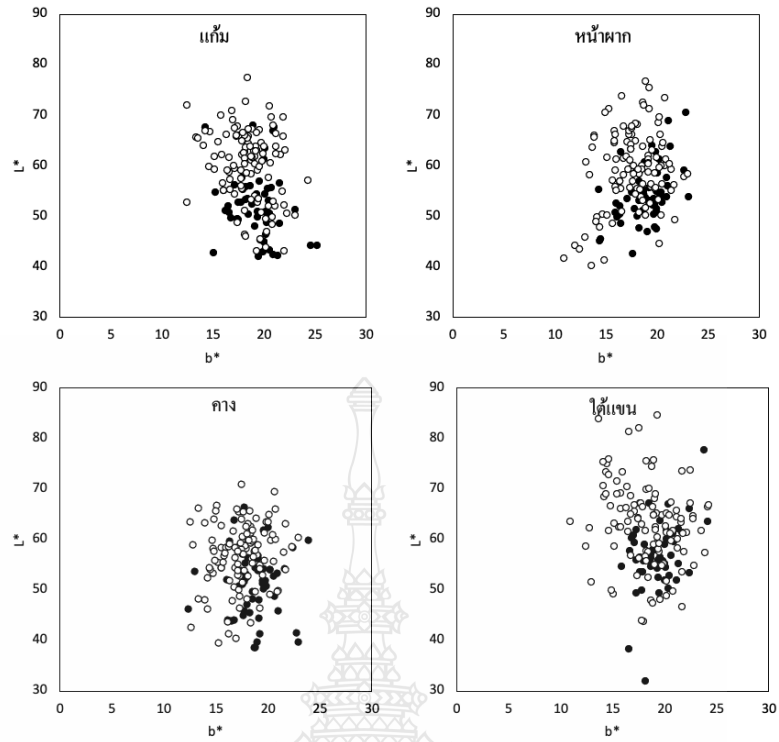
ภาพ กราฟการกระจายตัวค่าความอิ่มตัวสีและค่า Hue angle ผิวระหว่าง 6 ภูมิภาค (กลาง; คำ, ตะวันออกเฉียงเหนือ; ขาว, ตะวันตก; เทา, ไต้; ฟ้า, เนื้อ; เหลือง และ ตะวันออก; เขียว)



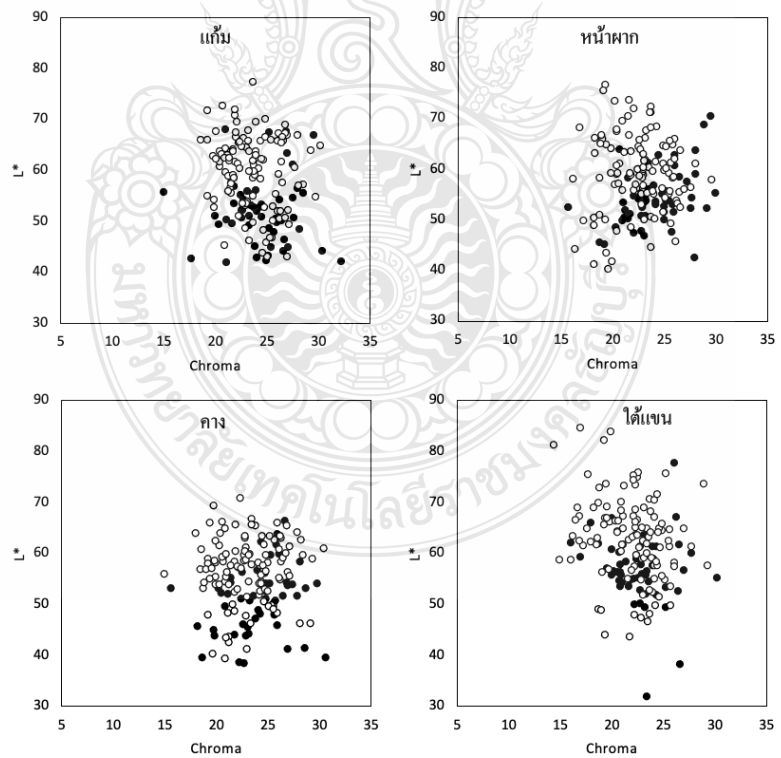
ภาพ กราฟการกระจายตัวค่าความแดงและค่าความเหลืองของพืระหว่างคนทำงานกลางแจ้ง (สีดำ) และคนทำงานในร่ม(สีขาว)



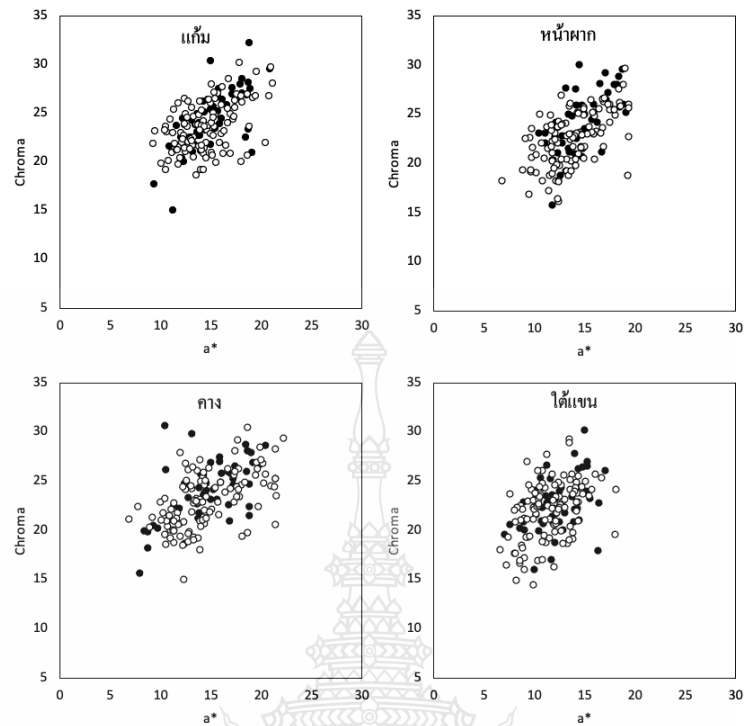
ภาพ กราฟการกระจายตัวค่าความแดงและค่าความสว่างของพืระหว่างคนทำงานกลางแจ้ง (สีดำ) และคนทำงานในร่ม(สีขาว)



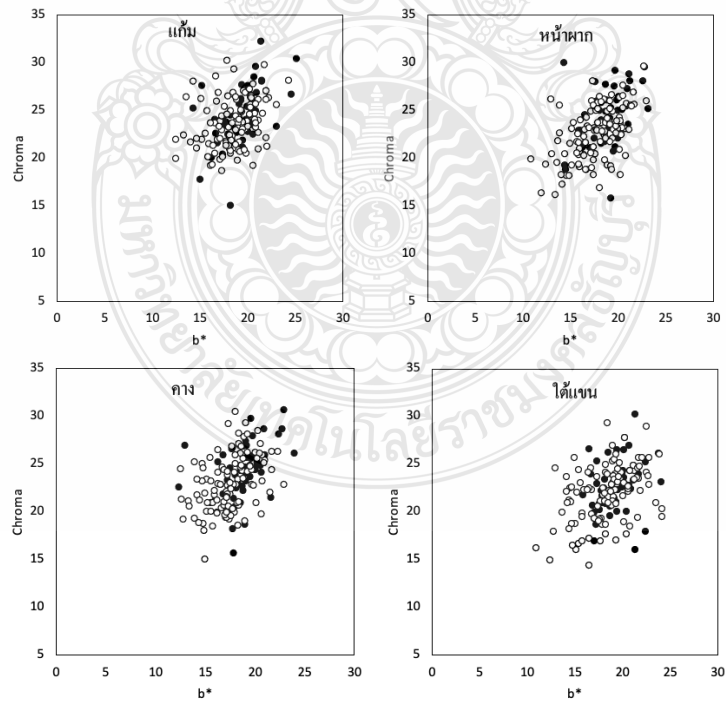
ภาพ กราฟการกระจายตัวค่าความเหลืองและค่าความสว่างของผิวหนังของคนทำงานกลางแจ้ง (สีดำ) และคนทำงานในร่ม(สีขาว)



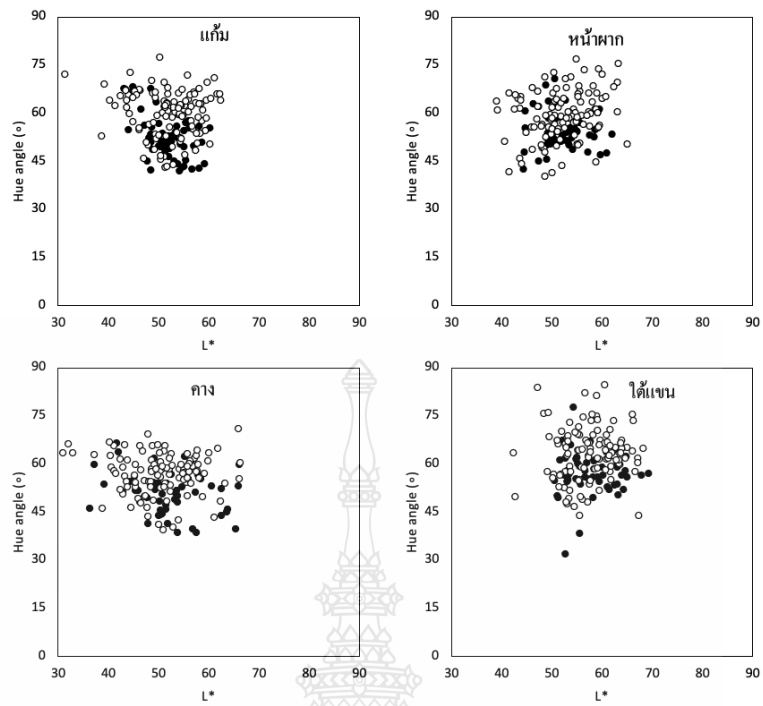
ภาพ กราฟการกระจายตัวค่าความอิ่มตัวสีและค่าความสว่างของผิวหนังของคนทำงานกลางแจ้ง (สีดำ) และคนทำงานในร่ม(สีขาว)



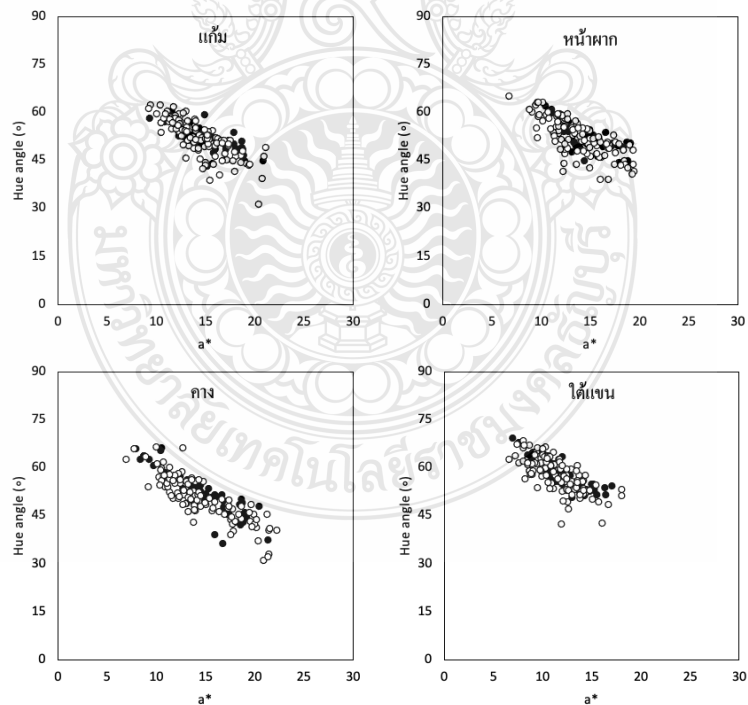
ภาพ กราฟการกระจายตัวค่าความแดงและค่าอ้อมตัวสีของผิวหนังระหว่างคนทำงานกลางแจ้ง (สีดำ) และคนทำงานในร่ม(สีขาว)



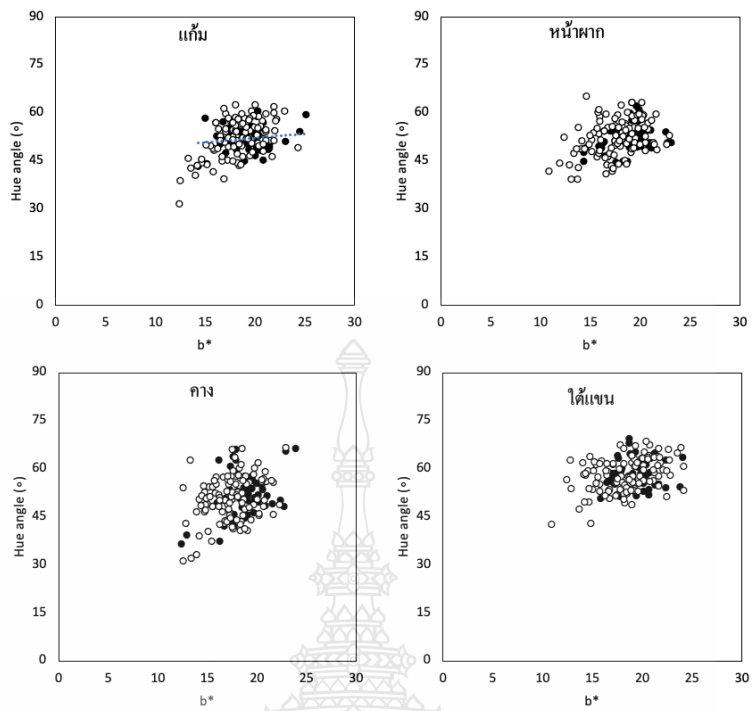
ภาพ กราฟการกระจายตัวค่าความเหลืองและค่าอ้อมตัวสีของผิวหนังระหว่างคนทำงานกลางแจ้ง (สีดำ) และคนทำงานในร่ม(สีขาว)



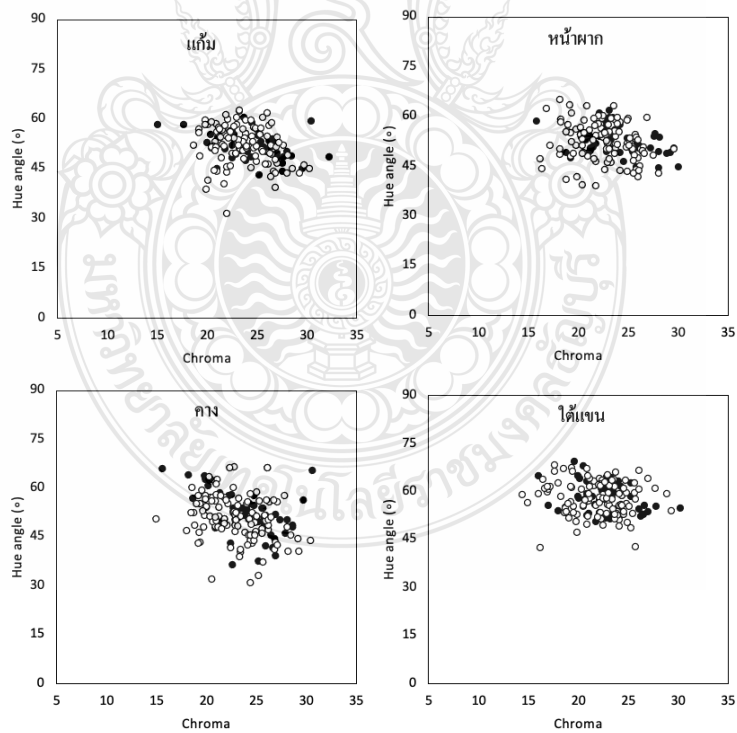
ภาพ กราฟการกระจายตัวค่าความสว่างและค่า Hue angle ของผิวหนังของคนทำงานกลางแจ้ง (สีดำ) และคนทำงานในร่ม(สีขาว)



ภาพ กราฟการกระจายตัวค่าความแดงและค่า Hue angle ของผิวหนังของคนทำงานกลางแจ้ง (สีดำ) และคนทำงานในร่ม(สีขาว)



ภาพ กราฟการกระจายตัวค่าความเหลืองและค่า Hue angle ของผิวหนังของคนทำงานกลางแจ้ง (สีดำ) และคนทำงานในร่ม(สีขาว)



ภาพ กราฟการกระจายตัวค่าความอิ่มตัวสีและค่า Hue angle ของผิวหนังของคนทำงานกลางแจ้ง (สีดำ) และคนทำงานในร่ม(สีขาว)



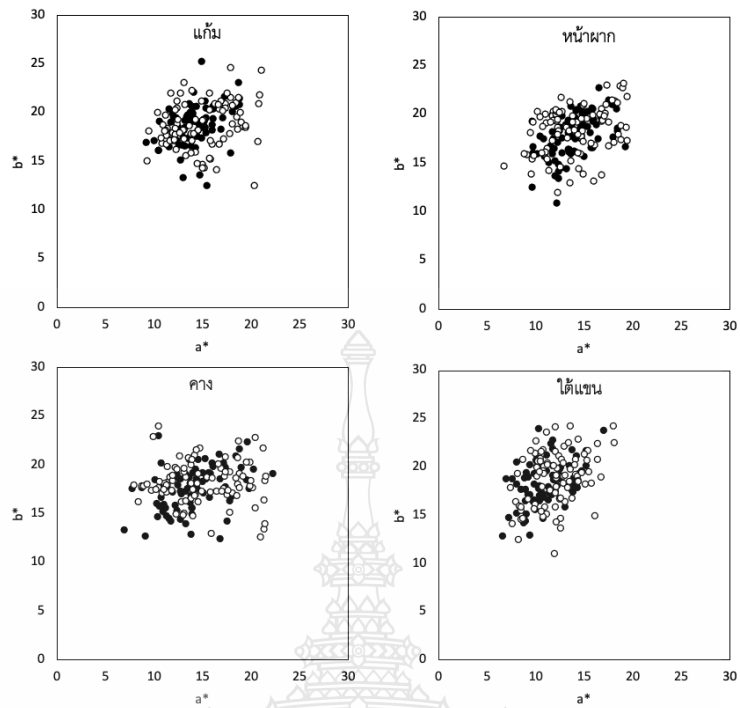
ภาคผนวก ค  
การวิเคราะห์ข้อมูลทางสถิติ



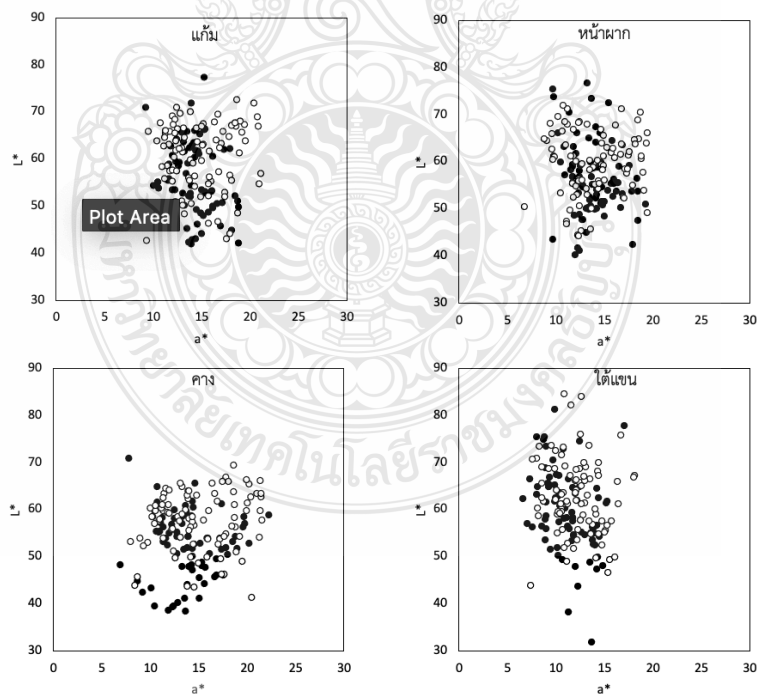
ภาคผนวก ข

ข้อมูลการกระจายตัวของสีและความสว่างของผิว

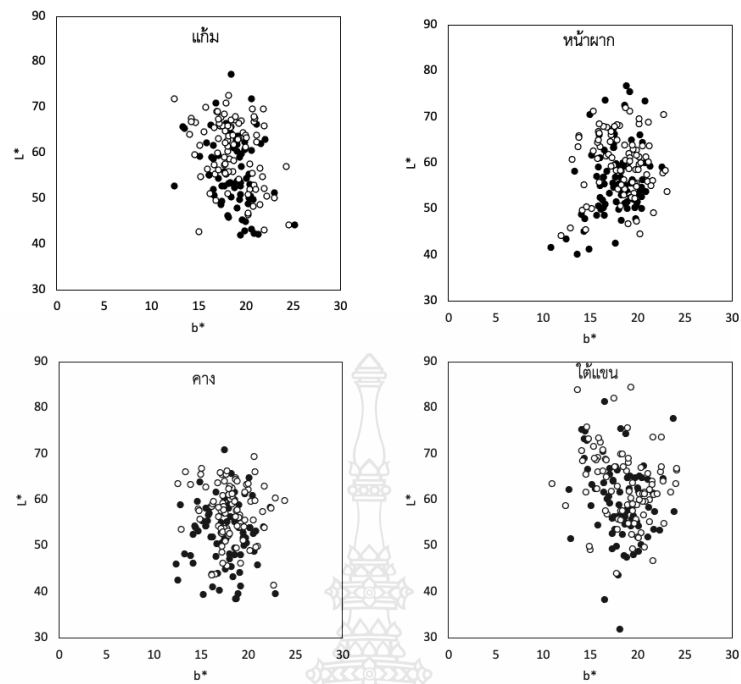




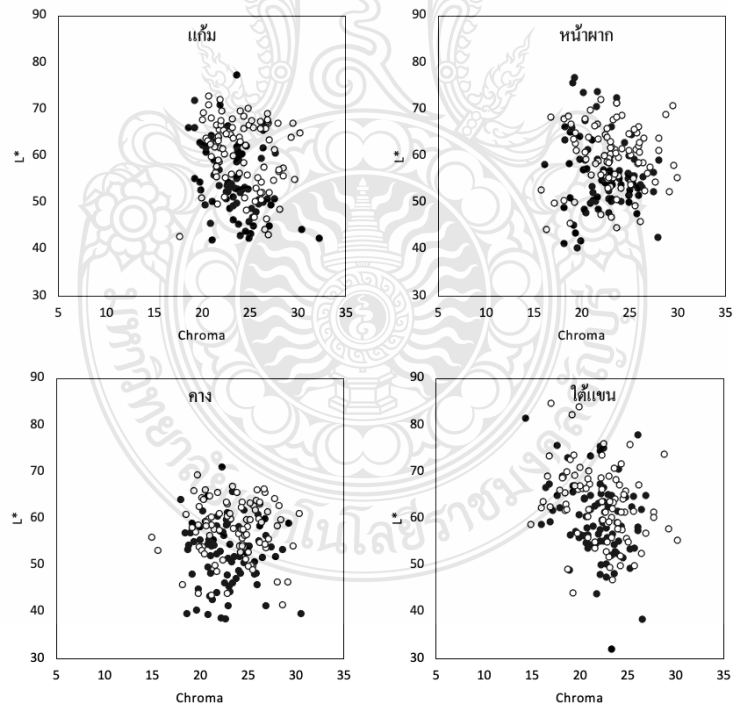
ภาพ กราฟการกระจายตัวค่าความแดงและค่าความเหลืองของผิวระหว่างเพศชาย (สีดำ) และเพศหญิง (สีขาว)



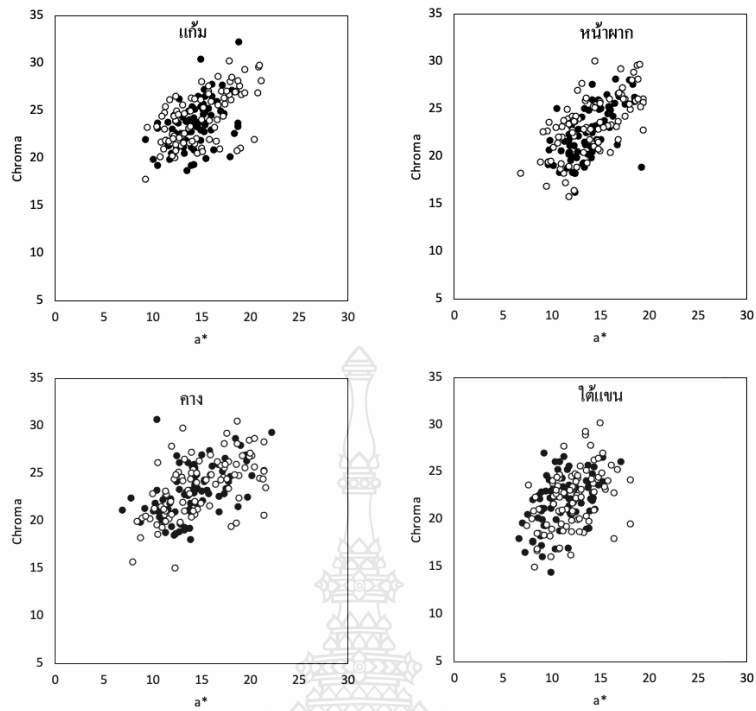
ภาพ กราฟการกระจายตัวค่าความแดงและค่าความสว่างของผิวระหว่างเพศชาย (สีดำ) และเพศหญิง (สีขาว)



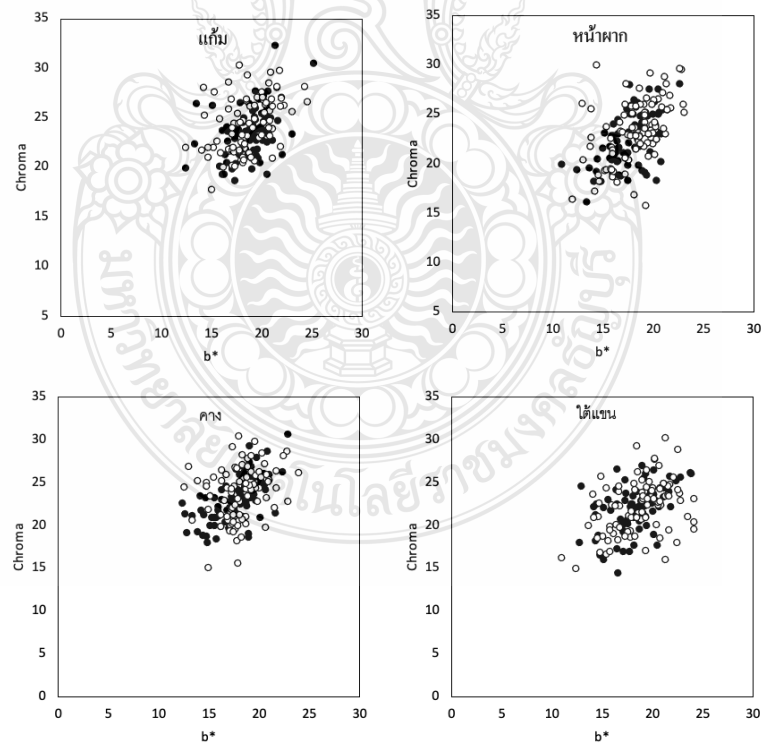
ภาพ กราฟการกระจายตัวค่าความเหลืองและค่าความสว่างของฝักระหว่างเพศชาย (สีดำ) และเพศหญิง(สีขาว)



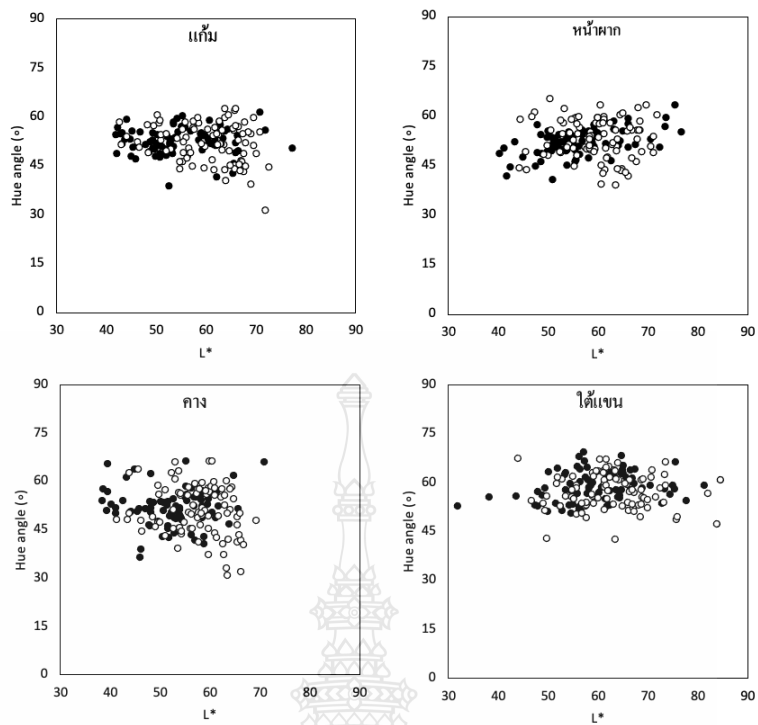
ภาพ กราฟการกระจายตัวค่าความอิ่มตัวสีและค่าความสว่างของฝักระหว่างเพศชาย (สีดำ) และเพศหญิง(สีขาว)



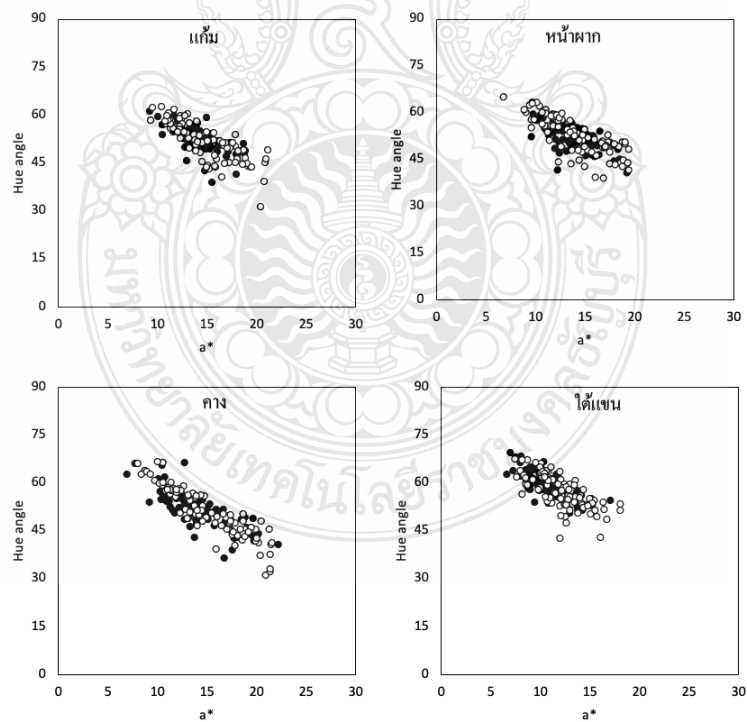
ภาพ กราฟการกระจายตัวค่าความแดงและค่าความอิ่มตัวของผิวระหว่างเพศชาย (สีดำ) และเพศหญิง(สีขาว)



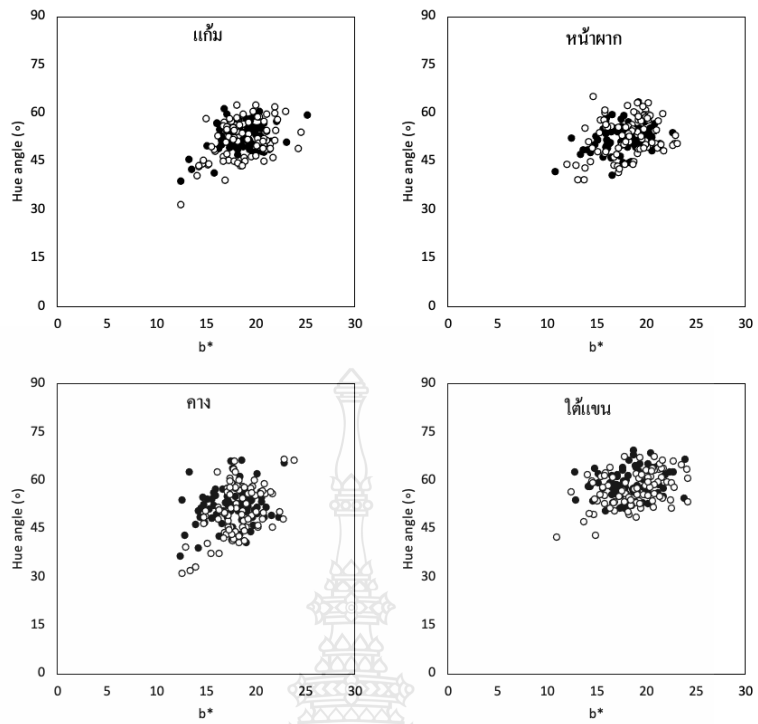
ภาพ กราฟการกระจายตัวค่าความเหลืองและค่าความอิ่มตัวของผิวระหว่างเพศชาย (สีดำ) และเพศหญิง(สีขาว)



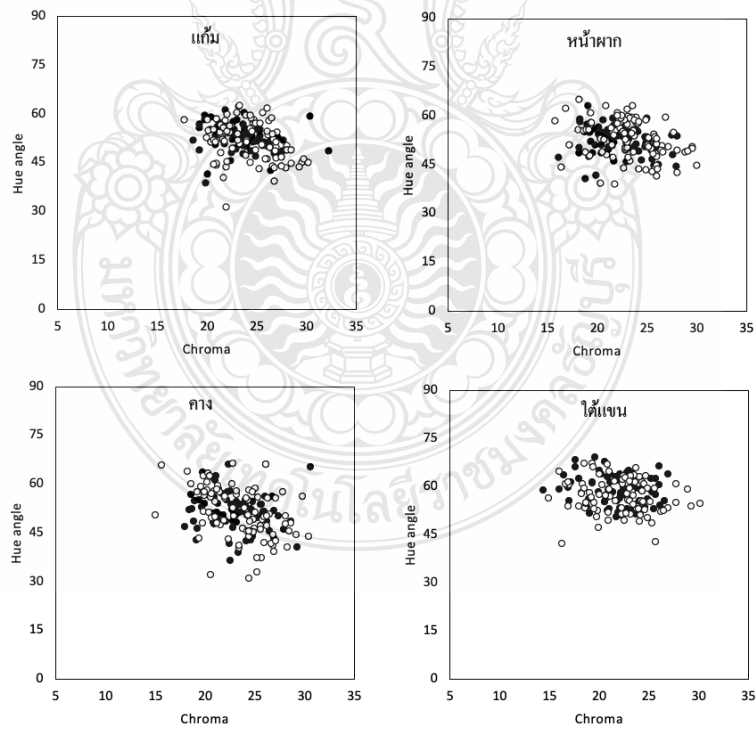
ภาพ กราฟการกระจายตัวค่าความสว่างและค่า Hue angle ของผิวหนังระหว่างเพศชาย (สีดำ) และเพศหญิง (สีขาว)



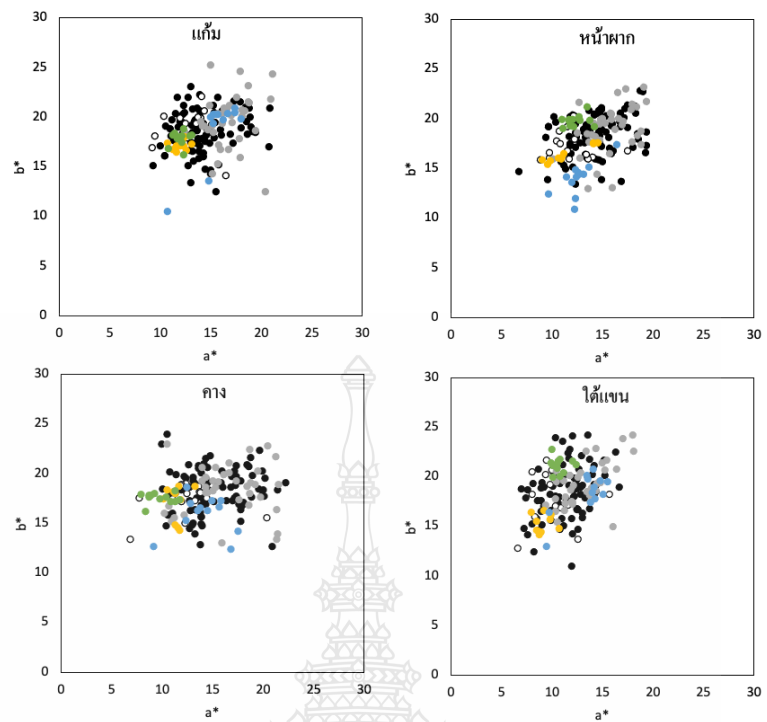
ภาพ กราฟการกระจายตัวค่าความแดงและค่า Hue angle ของผิวหนังระหว่างเพศชาย (สีดำ) และเพศหญิง (สีขาว)



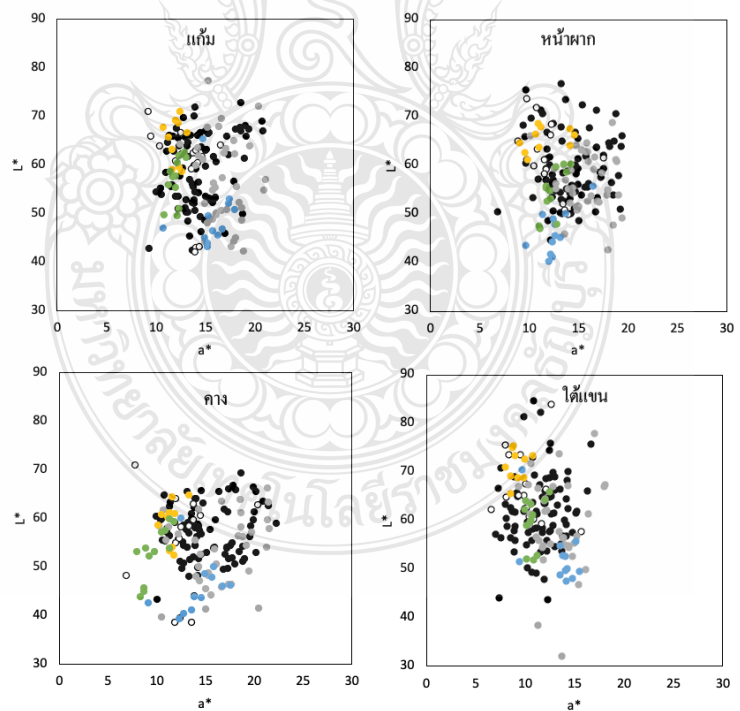
ภาพ กราฟการกระจายตัวค่าความเหลืองและค่า Hue angle ของผิวหนังระหว่างเพศชาย (สีดำ) และเพศหญิง(สีขาว)



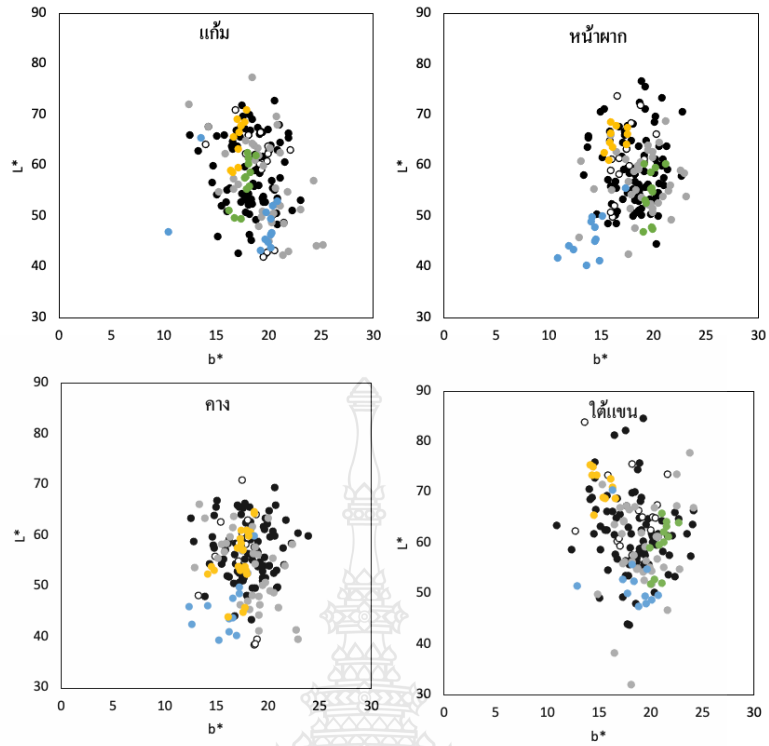
ภาพ กราฟการกระจายตัวค่าความอิ่มตัวสีและค่า Hue angle ของผิวหนังระหว่างเพศชาย (สีดำ) และเพศหญิง(สีขาว)



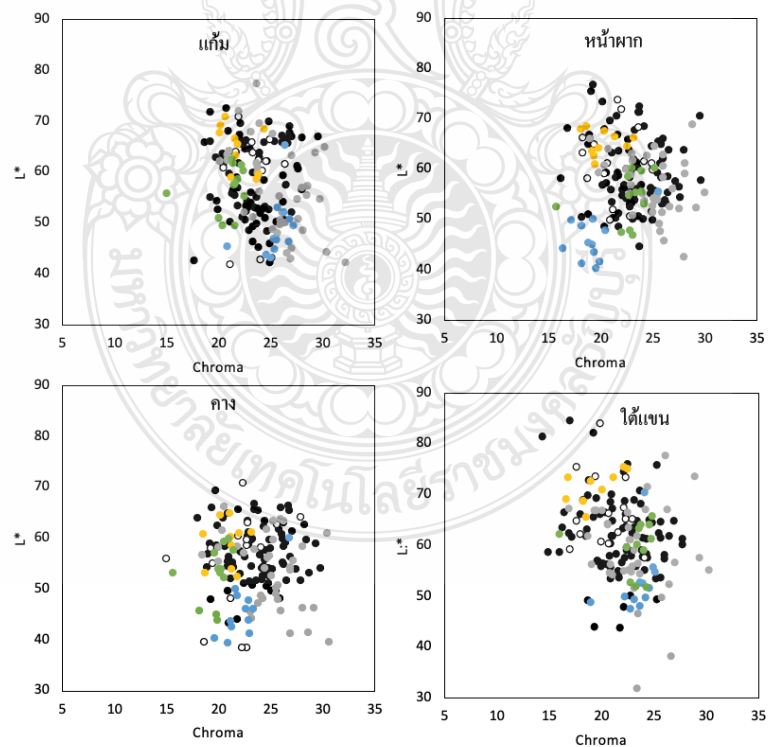
ภาพ กราฟการกระจายตัวค่าความแดงและค่าความเหลืองของผิวระหว่าง 6 ภูมิภาค (กลาง; คำ, ตะวันออกเฉียงเหนือ; ขาว, ตะวันตก; เทา, ได้; ฟ้า, เหนือ; เหลือง และ ตะวันออก; เขียว)



ภาพ กราฟการกระจายตัวค่าความแดงและค่าความสว่างของผิวระหว่าง 6 ภูมิภาค (กลาง; คำ, ตะวันออกเฉียงเหนือ; ขาว, ตะวันตก; เทา, ได้; ฟ้า, เหนือ; เหลือง และ ตะวันออก; เขียว)

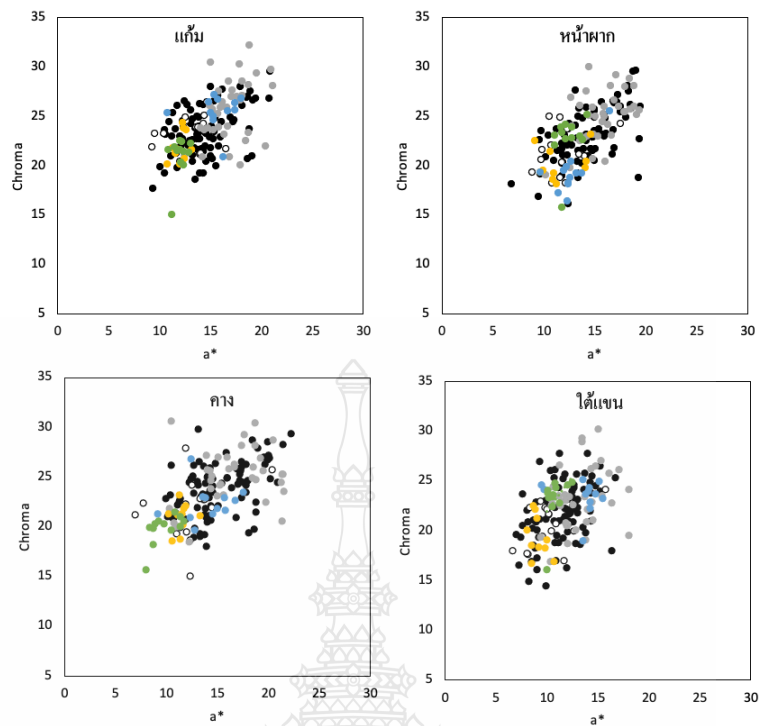


ภาพ กราฟการกระจายตัวค่าความเหลืองและค่าความสว่างของผิวระหว่าง 6 ภูมิภาค (กลาง; คำ, ตะวันออกเฉียงเหนือ; ขาว, ตะวันตก; เทา, ใต้; ฟ้า, เนื้อ; เหลือง และ ตะวันออก; เขียว)

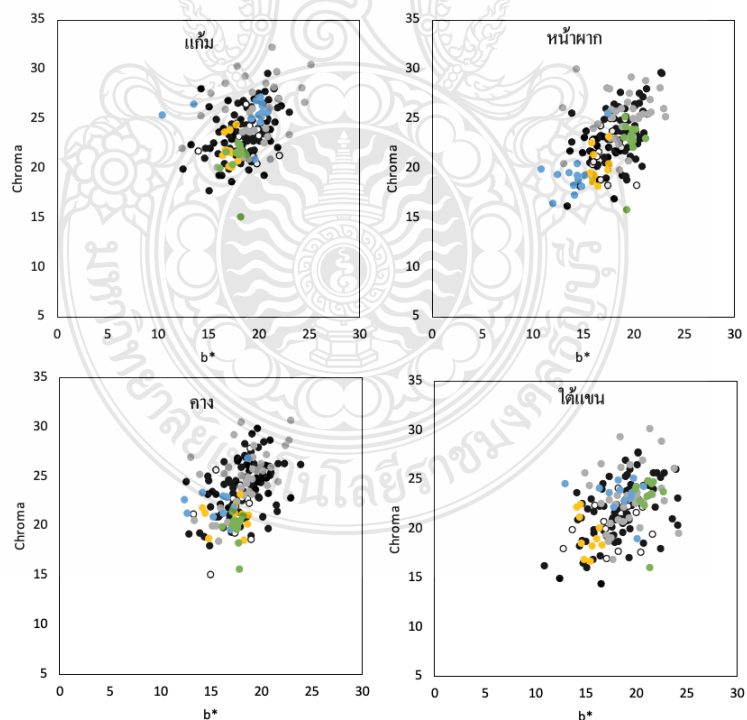


ภาพ กราฟการกระจายตัวค่าความอิ่มตัวสีและค่าความสว่างของผิวระหว่าง 6 ภูมิภาค (กลาง; คำ, ตะวันออกเฉียงเหนือ; ขาว, ตะวันตก; เทา, ใต้; ฟ้า, เนื้อ; เหลือง และ ตะวันออก; เขียว)

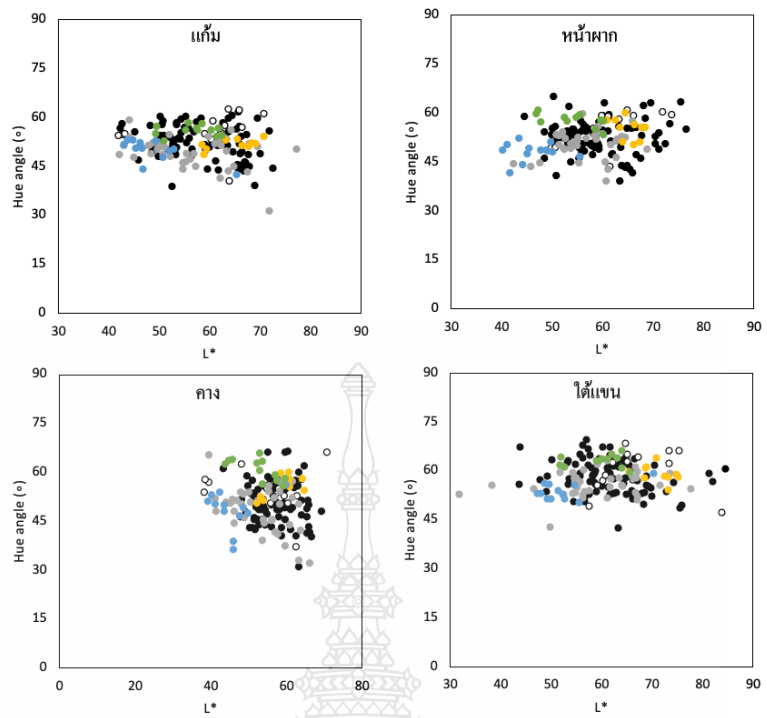




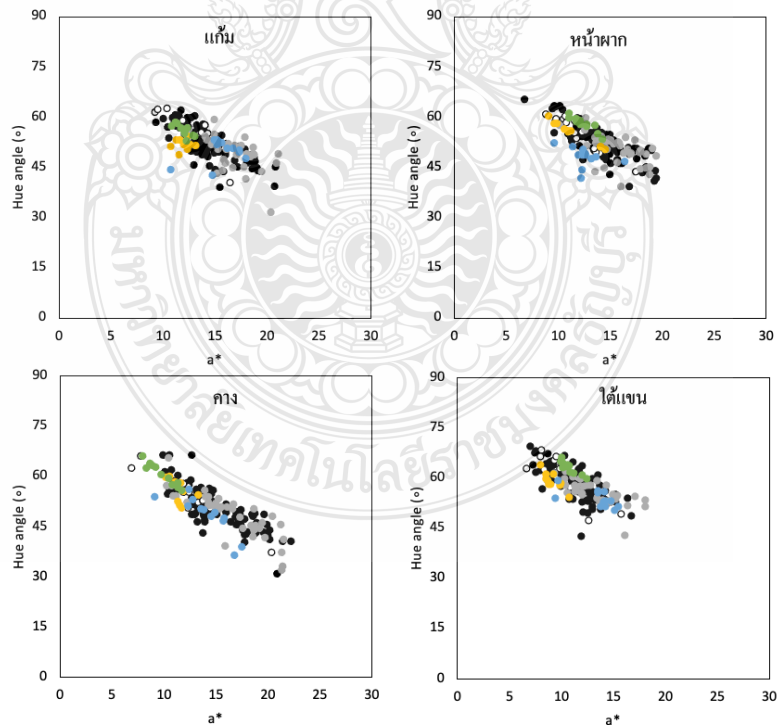
ภาพ กราฟการกระจายตัวค่าความแดงและค่าความอึมของตัวสีผิวระหว่าง 6 ภูมิภาค (กลาง; คำ, ตะวันออกเฉียงเหนือ; ขาว, ตะวันตก; เทา, ได้; ฟ้า, เนื้อ; เหลือง และ ตะวันออก; เขียว)



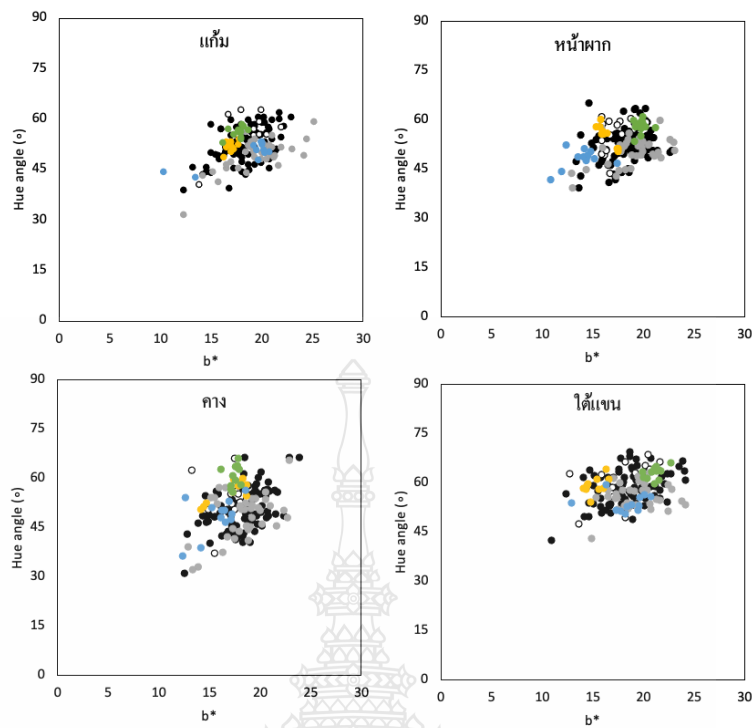
ภาพ กราฟการกระจายตัวค่าความเหลืองและค่าความอึมของตัวสีผิวระหว่าง 6 ภูมิภาค (กลาง; คำ, ตะวันออกเฉียงเหนือ; ขาว, ตะวันตก; เทา, ได้; ฟ้า, เนื้อ; เหลือง และ ตะวันออก; เขียว)



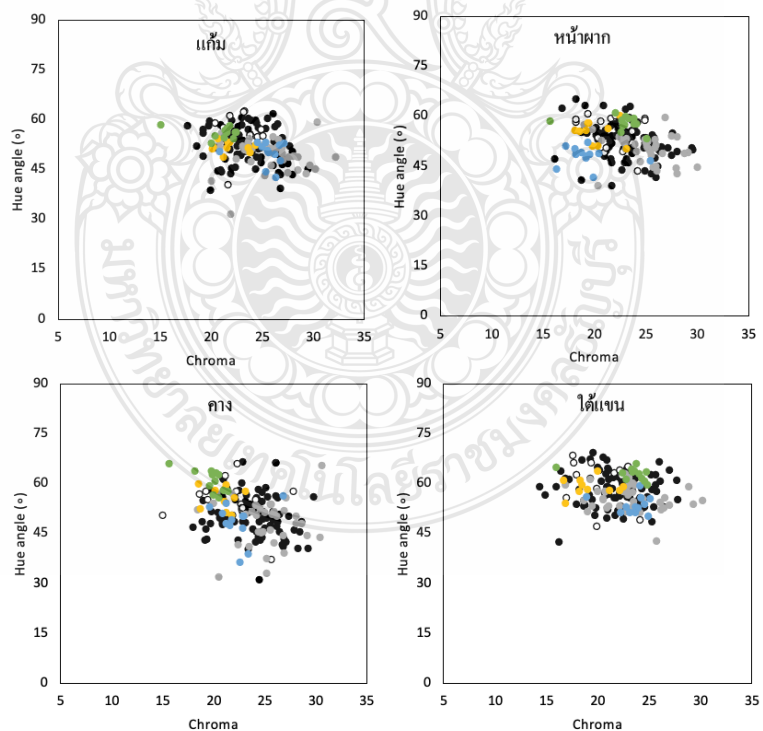
ภาพ กราฟการกระจายตัวค่าความสว่างและค่า Hue angle ผิวระหว่าง 6 ภูมิภาค (กลาง; ค่ำ, ตะวันออกเฉียงเหนือ; ขาว, ตะวันตก; เทา, ไต; ฟ้ำ, เนื้อ; เหลือง และ ตะวันออก; เขียว)



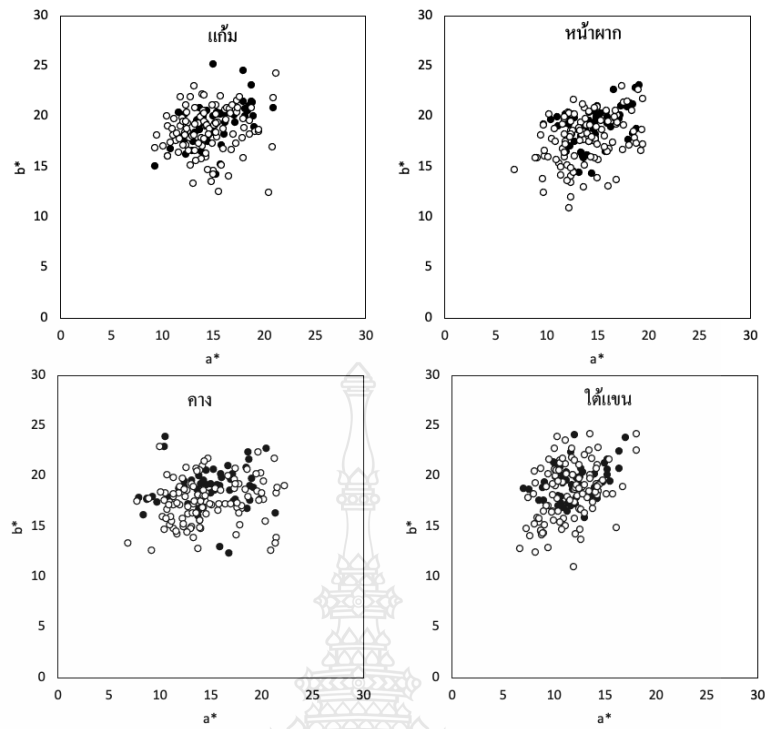
ภาพ กราฟการกระจายตัวค่าความแดงและค่า Hue angle ผิวระหว่าง 6 ภูมิภาค (กลาง; ค่ำ, ตะวันออกเฉียงเหนือ; ขาว, ตะวันตก; เทา, ไต; ฟ้ำ, เนื้อ; เหลือง และ ตะวันออก; เขียว)



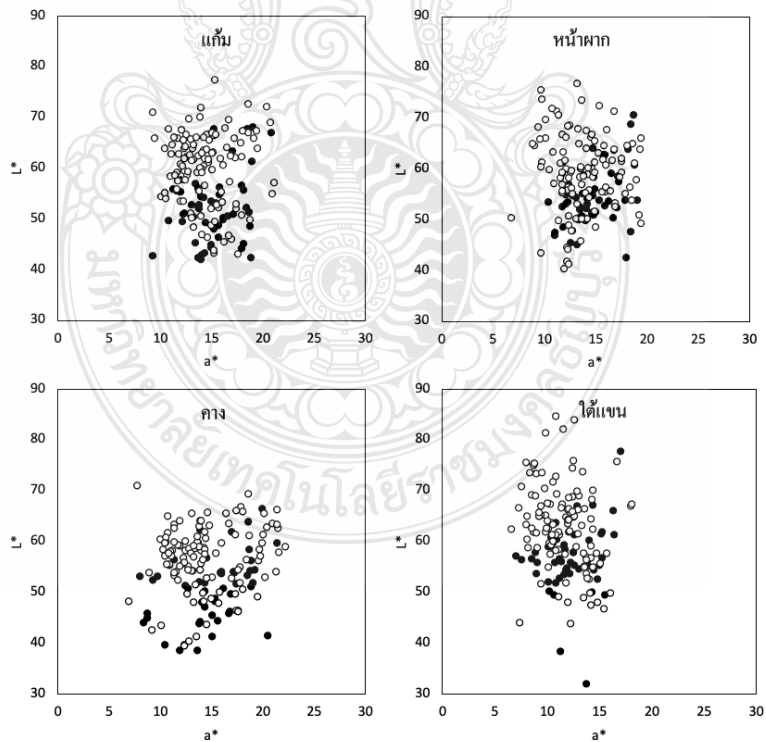
ภาพ กราฟการกระจายตัวค่าความเหลืองและค่า Hue angle ผิวระหว่าง 6 ภูมิภาค (กลาง; คำ, ตะวันออกเฉียงเหนือ; ขาว, ตะวันตก; เทา, ไต้; ฟ้า, เนื้อ; เหลือง และ ตะวันออก; เขียว)



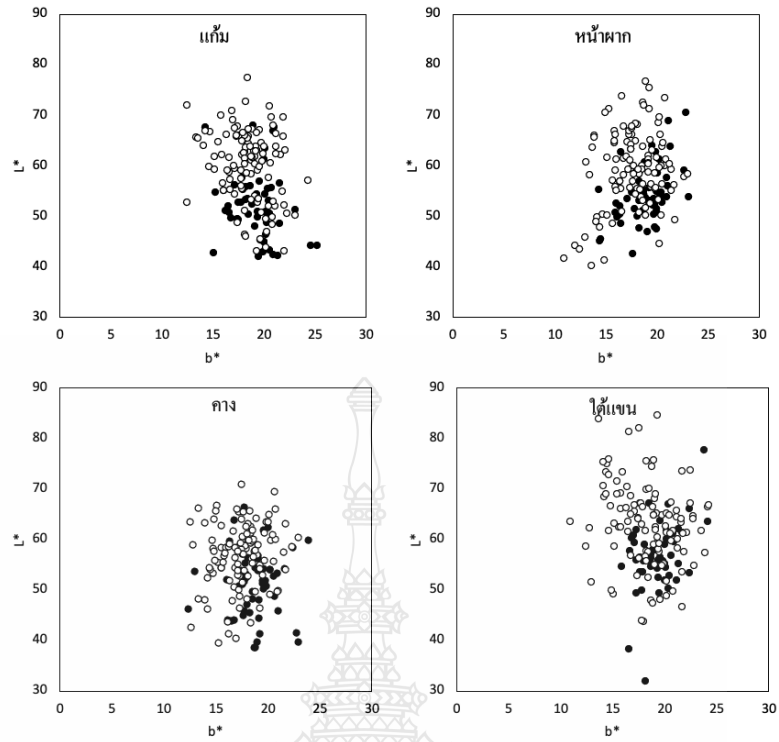
ภาพ กราฟการกระจายตัวค่าความอิ่มตัวสีและค่า Hue angle ผิวระหว่าง 6 ภูมิภาค (กลาง; คำ, ตะวันออกเฉียงเหนือ; ขาว, ตะวันตก; เทา, ไต้; ฟ้า, เนื้อ; เหลือง และ ตะวันออก; เขียว)



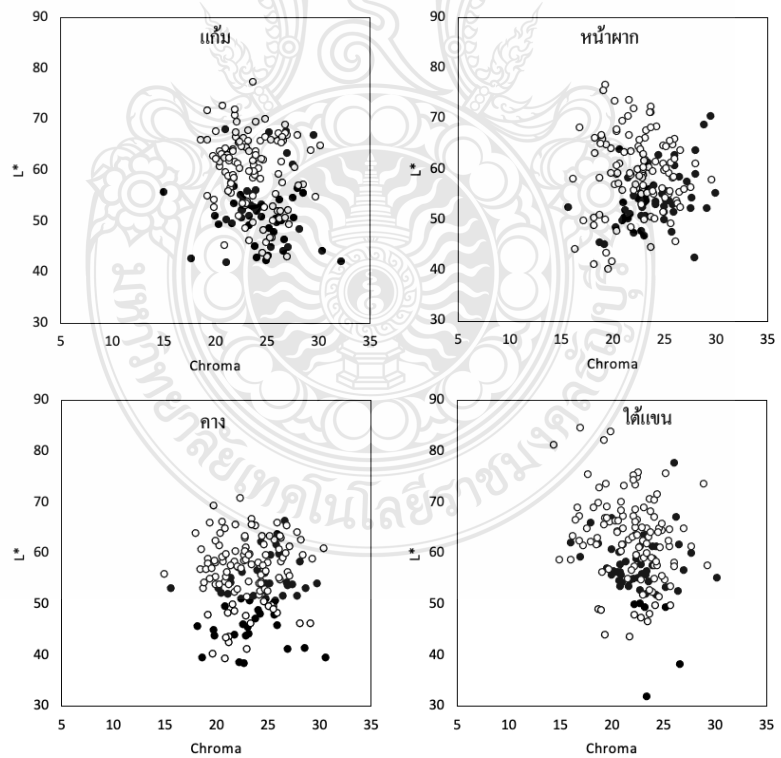
ภาพ กราฟการกระจายตัวค่าความแดงและค่าความเหลืองของพืระหว่างคนทำงานกลางแจ้ง (สีดำ) และคนทำงานในร่ม(สีขาว)



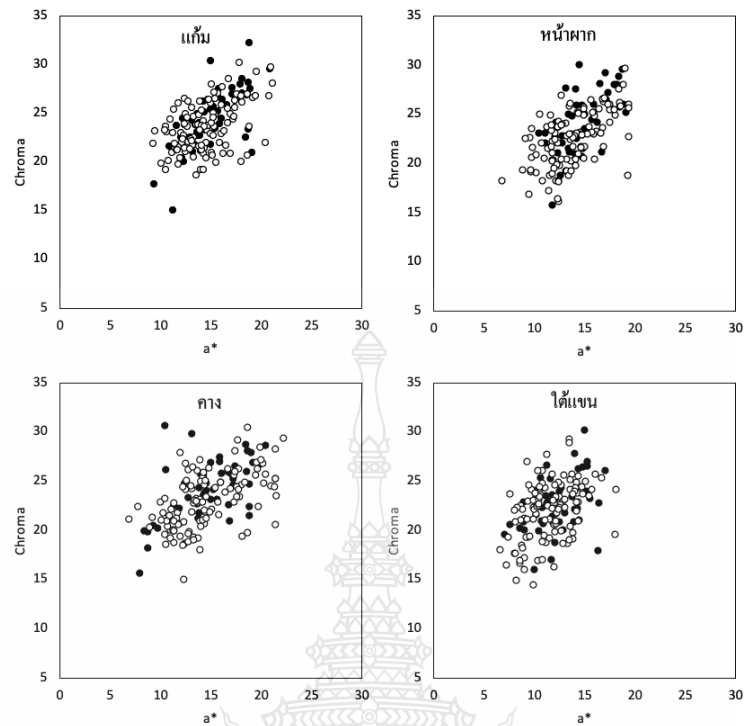
ภาพ กราฟการกระจายตัวค่าความแดงและค่าความสว่างของพืระหว่างคนทำงานกลางแจ้ง (สีดำ) และคนทำงานในร่ม(สีขาว)



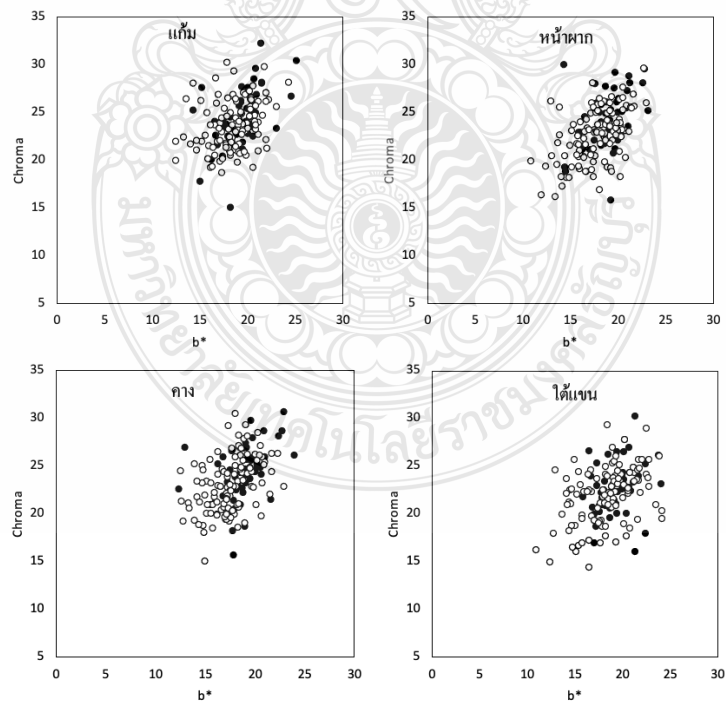
ภาพ กราฟการกระจายตัวค่าความเหลืองและค่าความสว่างของผิวหนังของคนทำงานกลางแจ้ง (สีดำ) และคนทำงานในร่ม(สีขาว)



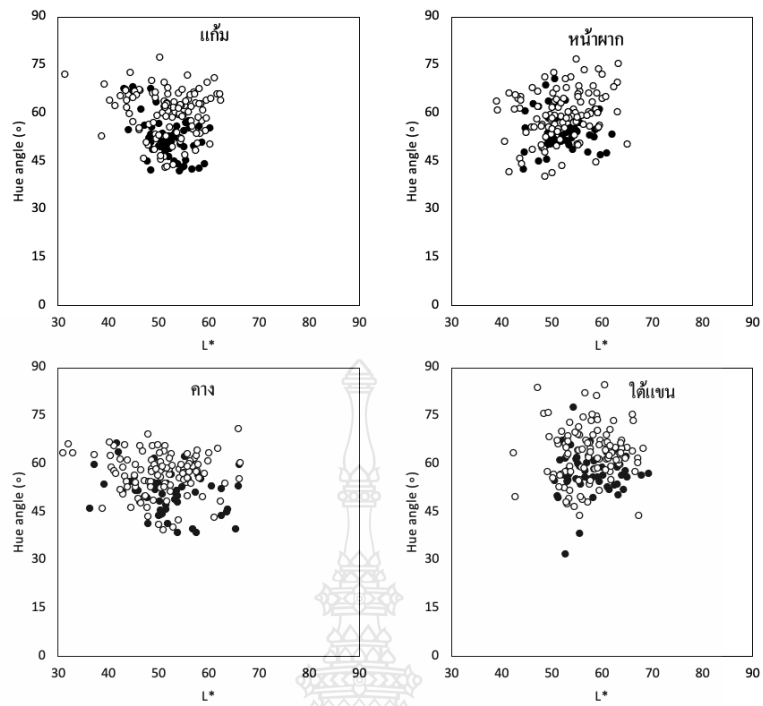
ภาพ กราฟการกระจายตัวค่าความอิ่มตัวสีและค่าความสว่างของผิวหนังของคนทำงานกลางแจ้ง (สีดำ) และคนทำงานในร่ม(สีขาว)



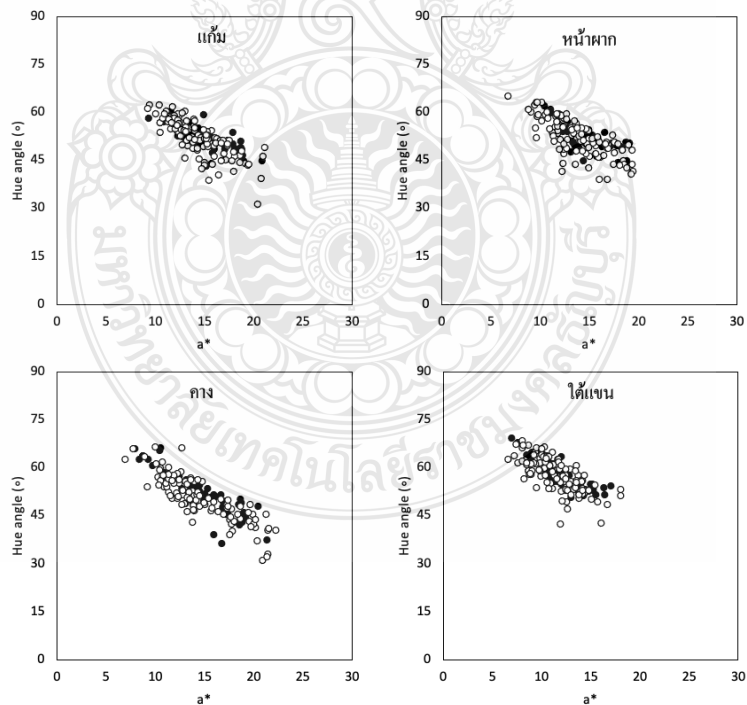
ภาพ กราฟการกระจายตัวค่าความแดงและค่าอ้อมตัวสีของผิวหนังระหว่างคนทำงานกลางแจ้ง (สีดำ) และคนทำงานในร่ม(สีขาว)



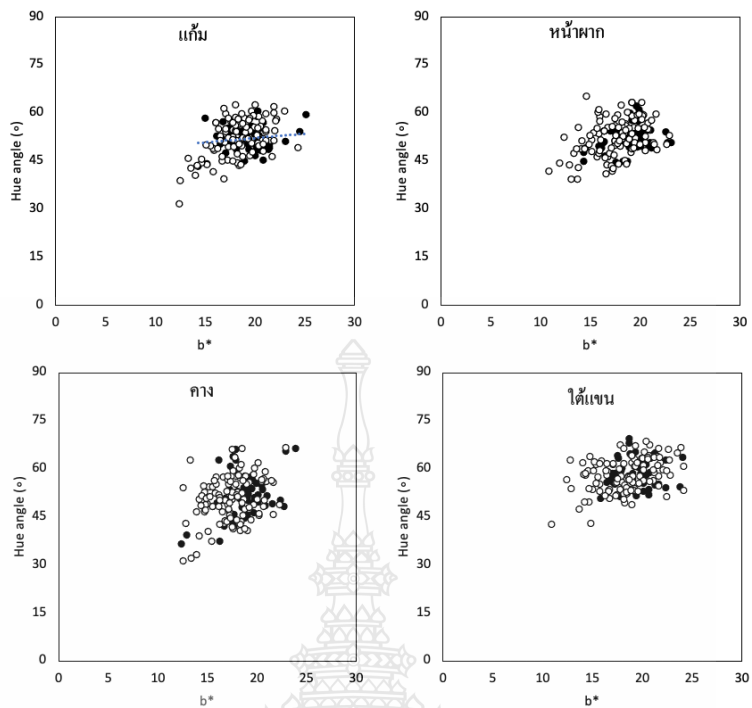
ภาพ กราฟการกระจายตัวค่าความเหลืองและค่าอ้อมตัวสีของผิวหนังระหว่างคนทำงานกลางแจ้ง (สีดำ) และคนทำงานในร่ม(สีขาว)



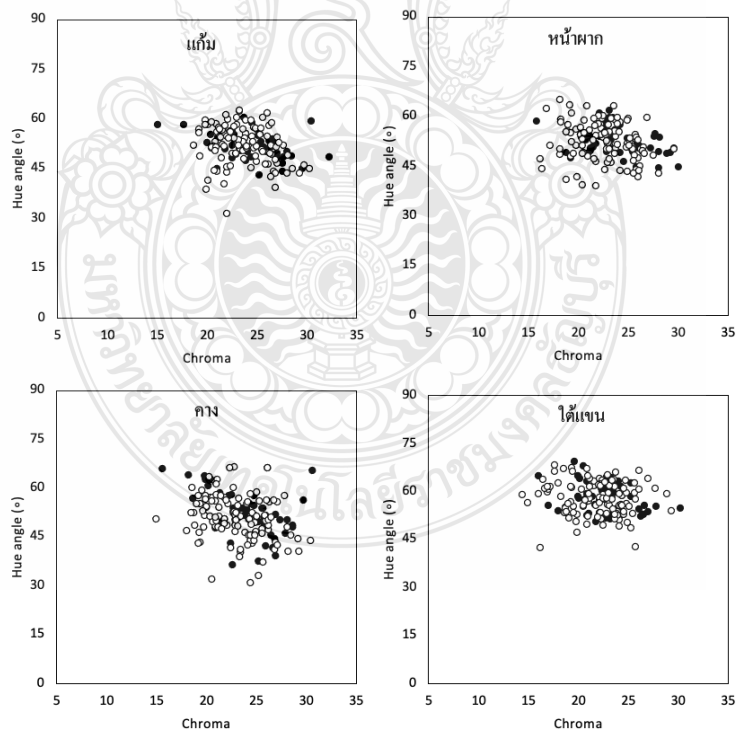
ภาพ กราฟการกระจายตัวค่าความสว่างและค่า Hue angle ของผิวหนังของคนทำงานกลางแจ้ง (สีดำ) และคนทำงานในร่ม(สีขาว)



ภาพ กราฟการกระจายตัวค่าความแดงและค่า Hue angle ของผิวหนังของคนทำงานกลางแจ้ง (สีดำ) และคนทำงานในร่ม(สีขาว)



ภาพ กราฟการกระจายตัวค่าความเหลืองและค่า Hue angle ของผิวหนังของคนทำงานกลางแจ้ง (สีดำ) และคนทำงานในร่ม(สีขาว)



ภาพ กราฟการกระจายตัวค่าความอิ่มตัวสีและค่า Hue angle ของผิวหนังของคนทำงานกลางแจ้ง (สีดำ) และคนทำงานในร่ม(สีขาว)





ภาคผนวก ค  
การวิเคราะห์ข้อมูลทางสถิติ

```

ONEWAY LightnessCK RednessCK YellownessCK BY Regions
/STATISTICS HOMOGENEITY BROWNFORSYTHE
/MISSING ANALYSIS
/POSTHOC=TUKEY SCHEFFE T3 ALPHA(0.05).

```

## Oneway

### Notes

Output Created	03-AUG-2021 16:34:43	
Comments		
Input	Data	C:\Users\Toon-notebook\onedrive-nutticha\OneDrive - Rajamakala University of Technology Thanyaburi\Ph. d\thesis\statistic\factors statistic_test.sav
	Active Dataset	DataSet1
	Filter	<none>
	Weight	<none>
	Split File	<none>
	N of Rows in Working Data File	171
Missing Value Handling	Definition of Missing	User-defined missing values are treated as missing.
	Cases Used	Statistics for each analysis are based on cases with no missing data for any variable in the analysis.
Syntax	ONEWAY LightnessCK RednessCK YellownessCK BY Regions /STATISTICS HOMOGENEITY BROWNFORSYTHE /MISSING ANALYSIS /POSTHOC=TUKEY SCHEFFE T3 ALPHA(0.05).	
Resources	Processor Time	00:00:00.11
	Elapsed Time	00:00:00.18

### Test of Homogeneity of Variances

	Levene Statistic	df1	df2	Sig.
LightnessCK	1.970	5	165	.086
RednessCK	3.846	5	165	.003
YellownessCK	3.488	5	165	.005

**ANOVA**

		Sum of Squares	df	Mean Square	F	Sig.
LightnessCK	Between Groups	761.640	5	152.328	2.488	.033
	Within Groups	10101.032	165	61.218		
	Total	10862.673	170			
RednessCK	Between Groups	357.501	5	71.500	14.836	.000
	Within Groups	795.196	165	4.819		
	Total	1152.697	170			
YellownessCK	Between Groups	68.725	5	13.745	3.008	.013
	Within Groups	754.045	165	4.570		
	Total	822.770	170			

**Robust Tests of Equality of Means**

		Statistic <sup>a</sup>	df1	df2	Sig.
LightnessCK	Brown-Forsythe	2.604	5	75.185	.032
RednessCK	Brown-Forsythe	25.693	5	95.081	.000
YellownessCK	Brown-Forsythe	4.563	5	96.537	.001

a. Asymptotically F distributed.

**Post Hoc Tests**



Multiple Comparisons

Dependent Variable	(I) Regions	(J) Regions	Mean Difference (I-J)	Std. Error	Sig.	95% Confidence Interval				
						Lower Bound	Upper Bound			
LightnessCK	Tukey HSD	Central	West	.10840	2.08083	1.000	-5.8917	6.1085		
			West	2.18883	1.54381	.716	-2.2627	6.6404		
			North	-5.03131	3.30634	.651	-14.5651	4.5025		
			South	6.04296	2.19317	.070	-.2811	12.3670		
			East	2.00744	2.41461	.961	-4.9551	8.9700		
		West	Central	-.10840	2.08083	1.000	-6.1085	5.8917		
			West	2.08043	2.29252	.944	-4.5300	8.6909		
			North	-5.13971	3.71539	.737	-15.8531	5.5736		
			South	5.93456	2.77170	.272	-2.0576	13.9268		
			East	1.89904	2.95002	.987	-6.6073	10.4054		
		West	Central	-2.18883	1.54381	.716	-6.6404	2.2627		
			West	-2.08043	2.29252	.944	-8.6909	4.5300		
			North	-7.22014	3.44349	.294	-17.1494	2.7092		
			South	3.85413	2.39495	.594	-3.0517	10.7600		
			East	-.18139	2.59925	1.000	-7.6763	7.3135		
		North	Central	5.03131	3.30634	.651	-4.5025	14.5651		
			West	5.13971	3.71539	.737	-5.5736	15.8531		
			West	7.22014	3.44349	.294	-2.7092	17.1494		
			South	11.07427*	3.77946	.044	.1762	21.9723		
			East	7.03875	3.91211	.469	-4.2418	18.3193		
		South	Central	-6.04296	2.19317	.070	-12.3670	.2811		
			West	-5.93456	2.77170	.272	-13.9268	2.0576		
			West	-3.85413	2.39495	.594	-10.7600	3.0517		
			North	-11.07427*	3.77946	.044	-21.9723	-.1762		
			East	-4.03552	3.03031	.767	-12.7734	4.7024		
		East	Central	-2.00744	2.41461	.961	-8.9700	4.9551		
			West	-1.89904	2.95002	.987	-10.4054	6.6073		
			West	.18139	2.59925	1.000	-7.3135	7.6763		
			North	-7.03875	3.91211	.469	-18.3193	4.2418		
			South	4.03552	3.03031	.767	-4.7024	12.7734		
		Scheffe		Central	West	.10840	2.08083	1.000	-6.9002	7.1170
					West	2.18883	1.54381	.847	-3.0110	7.3887
					North	-5.03131	3.30634	.803	-16.1677	6.1050
					South	6.04296	2.19317	.187	-1.3441	13.4300
					East	2.00744	2.41461	.983	-6.1254	10.1403
				West	Central	-.10840	2.08083	1.000	-7.1170	6.9002
					West	2.08043	2.29252	.975	-5.6412	9.8020
					North	-5.13971	3.71539	.860	-17.6538	7.3744
					South	5.93456	2.77170	.472	-3.4010	15.2701
					East	1.89904	2.95002	.995	-8.0372	11.8352
				West	Central	-2.18883	1.54381	.847	-7.3887	3.0110
					West	-2.08043	2.29252	.975	-9.8020	5.6412
					North	-7.22014	3.44349	.496	-18.8184	4.3782
					South	3.85413	2.39495	.762	-4.2125	11.9208
					East	-.18139	2.59925	1.000	-8.9361	8.5734
North	Central			5.03131	3.30634	.803	-6.1050	16.1677		
	West			5.13971	3.71539	.860	-7.3744	17.6538		
	West			7.22014	3.44349	.496	-4.3782	18.8184		
	South			11.07427	3.77946	.133	-1.6556	23.8042		
	East			7.03875	3.91211	.664	-6.1379	20.2154		
South	Central			-6.04296	2.19317	.187	-13.4300	1.3441		
	West			-5.93456	2.77170	.472	-15.2701	3.4010		

Multiple Comparisons

Dependent Variable	(I) Regions	(J) Regions	Mean Difference (I-J)	Std. Error	Sig.	95% Confidence Interval			
						Lower Bound	Upper Bound		
Dunnett T3	West	West	-3.85413	2.39495	.762	-11.9208	4.2125		
		North	-11.07427	3.77946	.133	-23.8042	1.6556		
		East	-4.03552	3.03031	.879	-14.2421	6.1711		
		Central	-2.00744	2.41461	.983	-10.1403	6.1254		
		West	-1.89904	2.95002	.995	-11.8352	8.0372		
		West	.18139	2.59925	1.000	-8.5734	8.9361		
		North	-7.03875	3.91211	.664	-20.2154	6.1379		
	South	4.03552	3.03031	.879	-6.1711	14.2421			
	Central	West	.10840	2.36464	1.000	-7.6419	7.8587		
	West	West	2.18883	1.64098	.944	-2.8058	7.1834		
	North	North	-5.03131	2.37552	.508	-14.9931	4.9304		
	South	South	6.04296	2.55099	.314	-2.4917	14.5776		
	East	East	2.00744	1.56343	.946	-3.1357	7.1506		
	West	Central	-.10840	2.36464	1.000	-7.8587	7.6419		
	West	West	2.08043	2.65130	1.000	-6.3009	10.4617		
	North	North	-5.13971	3.15906	.784	-15.8919	5.6125		
	South	South	5.93456	3.29304	.671	-4.4880	16.3572		
	East	East	1.89904	2.60402	1.000	-6.4550	10.2531		
	West	Central	-2.18883	1.64098	.944	-7.1834	2.8058		
	West	West	-2.08043	2.65130	1.000	-10.4617	6.3009		
	North	North	-7.22014	2.66101	.220	-17.0641	2.6238		
	South	South	3.85413	2.81876	.923	-5.2090	12.9173		
	East	East	-.18139	1.97033	1.000	-6.3281	5.9653		
	North	Central	5.03131	2.37552	.508	-4.9304	14.9931		
	West	West	5.13971	3.15906	.784	-5.6125	15.8919		
	West	West	7.22014	2.66101	.220	-2.6238	17.0641		
	South	South	11.07427	3.30086	.053	-.0893	22.2379		
	East	East	7.03875	2.61390	.237	-2.8858	16.9633		
	South	Central	-6.04296	2.55099	.314	-14.5776	2.4917		
	West	West	-5.93456	3.29304	.671	-16.3572	4.4880		
	West	West	-3.85413	2.81876	.923	-12.9173	5.2090		
	North	North	-11.07427	3.30086	.053	-22.2379	.0893		
	East	East	-4.03552	2.77433	.884	-13.0737	5.0027		
	East	Central	-2.00744	1.56343	.946	-7.1506	3.1357		
	West	West	-1.89904	2.60402	1.000	-10.2531	6.4550		
	West	West	.18139	1.97033	1.000	-5.9653	6.3281		
	North	North	-7.03875	2.61390	.237	-16.9633	2.8858		
	South	South	4.03552	2.77433	.884	-5.0027	13.0737		
	RednessCK	Tukey HSD	Central	West	1.37854	.58384	.176	-.3050	3.0620
				West	-2.47846*	.43316	.000	-3.7275	-1.2294
				North	2.30560	.92769	.134	-.3694	4.9806
				South	-.79607	.61536	.788	-2.5705	.9783
East				2.32993*	.67749	.009	.3764	4.2835	
West			Central	-1.37854	.58384	.176	-3.0620	.3050	
			West	-3.85700*	.64323	.000	-5.7118	-2.0022	
			North	.92706	1.04246	.949	-2.0789	3.9330	
			South	-2.17461	.77768	.063	-4.4170	.0678	
			East	.95139	.82771	.860	-1.4353	3.3381	
West			Central	2.47846*	.43316	.000	1.2294	3.7275	
			West	3.85700*	.64323	.000	2.0022	5.7118	
			North	4.78405*	.96617	.000	1.9981	7.5700	
			South	1.68239	.67197	.129	-.2552	3.6200	
			East	4.80839*	.72929	.000	2.7055	6.9113	

Multiple Comparisons

Dependent Variable	(I) Regions	(J) Regions	Mean Difference (I-J)	Std. Error	Sig.	95% Confidence Interval	
						Lower Bound	Upper Bound
	North	Central	-2.30560	.92769	.134	-4.9806	.3694
		West	-.92706	1.04246	.949	-3.9330	2.0789
		West	-4.78405*	.96617	.000	-7.5700	-1.9981
		South	-3.10167*	1.06043	.045	-6.1594	-.0439
		East	.02433	1.09765	1.000	-3.1408	3.1894
	South	Central	.79607	.61536	.788	-.9783	2.5705
		West	2.17461	.77768	.063	-.0678	4.4170
		West	-1.68239	.67197	.129	-3.6200	.2552
		North	3.10167*	1.06043	.045	.0439	6.1594
		East	3.12600*	.85024	.004	.6743	5.5777
	East	Central	-2.32993*	.67749	.009	-4.2835	-.3764
		West	-.95139	.82771	.860	-3.3381	1.4353
		West	-4.80839*	.72929	.000	-6.9113	-2.7055
		North	-.02433	1.09765	1.000	-3.1894	3.1408
		South	-3.12600*	.85024	.004	-5.5777	-.6743
Scheffe	Central	West	1.37854	.58384	.354	-.5879	3.3450
		West	-2.47846*	.43316	.000	-3.9374	-1.0195
		North	2.30560	.92769	.295	-.8190	5.4302
		South	-.79607	.61536	.891	-2.8687	1.2766
		East	2.32993*	.67749	.042	.0480	4.6118
	West	Central	-1.37854	.58384	.354	-3.3450	.5879
		West	-3.85700*	.64323	.000	-6.0235	-1.6905
		North	.92706	1.04246	.977	-2.5841	4.4383
		South	-2.17461	.77768	.173	-4.7940	.4448
		East	.95139	.82771	.932	-1.8365	3.7393
	West	Central	2.47846*	.43316	.000	1.0195	3.9374
		West	3.85700*	.64323	.000	1.6905	6.0235
		North	4.78405*	.96617	.000	1.5298	8.0383
		South	1.68239	.67197	.287	-.5809	3.9457
		East	4.80839*	.72929	.000	2.3520	7.2648
North	Central	-2.30560	.92769	.295	-5.4302	.8190	
	West	-.92706	1.04246	.977	-4.4383	2.5841	
	West	-4.78405*	.96617	.000	-8.0383	-1.5298	
	South	-3.10167	1.06043	.135	-6.6734	.4701	
	East	.02433	1.09765	1.000	-3.6728	3.7214	
South	Central	.79607	.61536	.891	-1.2766	2.8687	
	West	2.17461	.77768	.173	-.4448	4.7940	
	West	-1.68239	.67197	.287	-3.9457	.5809	
	North	3.10167	1.06043	.135	-.4701	6.6734	
	East	3.12600*	.85024	.022	.2622	5.9898	
East	Central	-2.32993*	.67749	.042	-4.6118	-.0480	
	West	-.95139	.82771	.932	-3.7393	1.8365	
	West	-4.80839*	.72929	.000	-7.2648	-2.3520	
	North	-.02433	1.09765	1.000	-3.7214	3.6728	
	South	-3.12600*	.85024	.022	-5.9898	-.2622	
Dunnett T3	Central	West	1.37854	.54294	.207	-.3436	3.1007
		West	-2.47846*	.42671	.000	-3.7609	-1.1960
		North	2.30560*	.34650	.000	1.2164	3.3948
		South	-.79607	.58254	.922	-2.6795	1.0874
		East	2.32993*	.33472	.000	1.3164	3.3434
	West	Central	-1.37854	.54294	.207	-3.1007	.3436
		West	-3.85700*	.56888	.000	-5.6462	-2.0677

Multiple Comparisons

Dependent Variable	(I) Regions	(J) Regions	Mean Difference (I-J)	Std. Error	Sig.	95% Confidence Interval		
						Lower Bound	Upper Bound	
		North	.92706	.51147	.664	-.7477	2.6018	
		South	-2.17461	.69346	.054	-4.3699	.0206	
		East	.95139	.50356	.609	-.6939	2.5967	
	West	Central	2.47846*	.42671	.000	1.1960	3.7609	
		West	3.85700*	.56888	.000	2.0677	5.6462	
		North	4.78405*	.38587	.000	3.5715	5.9966	
		South	1.68239	.60678	.131	-.2582	3.6229	
		East	4.80839*	.37533	.000	3.6547	5.9621	
		North	-2.30560*	.34650	.000	-3.3948	-1.2164	
		West	-.92706	.51147	.664	-2.6018	.7477	
		West	-4.78405*	.38587	.000	-5.9966	-3.5715	
		South	-3.10167*	.55332	.000	-4.9453	-1.2580	
		East	.02433	.28081	1.000	-.9602	1.0089	
		South	.79607	.58254	.922	-1.0874	2.6795	
		West	2.17461	.69346	.054	-.0206	4.3699	
		West	-1.68239	.60678	.131	-3.6229	.2582	
		North	3.10167*	.55332	.000	1.2580	4.9453	
		East	3.12600*	.54602	.000	1.3062	4.9458	
		East	-2.32993*	.33472	.000	-3.3434	-1.3164	
		West	-.95139	.50356	.609	-2.5967	.6939	
		West	-4.80839*	.37533	.000	-5.9621	-3.6547	
	North	-.02433	.28081	1.000	-1.0089	.9602		
	South	-3.12600*	.54602	.000	-4.9458	-1.3062		
	YellownessCK	Tukey HSD	Central	West	-.49271	.56853	.954	-2.1321
		West	-1.17522	.42180	.065	-2.3915	.0410	
		North	1.48298	.90336	.572	-1.1219	4.0878	
		South	-.69216	.59922	.857	-2.4200	1.0357	
		East	.65789	.65972	.918	-1.2444	2.5602	
		West	.49271	.56853	.954	-1.1466	2.1321	
		West	-.68251	.62637	.885	-2.4886	1.1236	
		North	1.97569	1.01513	.378	-.9514	4.9028	
		South	-.19945	.75729	1.000	-2.3831	1.9842	
		East	1.15060	.80601	.710	-1.1735	3.4747	
		West	1.17522	.42180	.065	-.0410	2.3915	
		West	.68251	.62637	.885	-1.1236	2.4886	
		North	2.65820	.94084	.058	-.0547	5.3711	
		South	.48306	.65435	.977	-1.4038	2.3699	
		East	1.83311	.71017	.108	-.2147	3.8809	
		North	-1.48298	.90336	.572	-4.0878	1.1219	
		West	-1.97569	1.01513	.378	-4.9028	.9514	
		West	-2.65820	.94084	.058	-5.3711	.0547	
		South	-2.17513	1.03263	.289	-5.1527	.8025	
		East	-.82508	1.06887	.972	-3.9072	2.2570	
		South	.69216	.59922	.857	-1.0357	2.4200	
		West	.19945	.75729	1.000	-1.9842	2.3831	
West		-.48306	.65435	.977	-2.3699	1.4038		
North		2.17513	1.03263	.289	-.8025	5.1527		
East		1.35005	.82795	.580	-1.0373	3.7374		
East		-.65789	.65972	.918	-2.5602	1.2444		
	West	-1.15060	.80601	.710	-3.4747	1.1735		
	West	-1.83311	.71017	.108	-3.8809	.2147		
	North	.82508	1.06887	.972	-2.2570	3.9072		
	South	-1.35005	.82795	.580	-3.7374	1.0373		

Multiple Comparisons

Dependent Variable	(I) Regions	(J) Regions	Mean Difference (I-J)	Std. Error	Sig.	95% Confidence Interval	
						Lower Bound	Upper Bound
Scheffe	Central	West	-.49271	.56853	.980	-2.4076	1.4222
		West	-1.17522	.42180	.176	-2.5959	.2455
		North	1.48298	.90336	.747	-1.5597	4.5257
		South	-.69216	.59922	.931	-2.7105	1.3261
		East	.65789	.65972	.963	-1.5642	2.8800
	West	Central	.49271	.56853	.980	-1.4222	2.4076
		West	-.68251	.62637	.945	-2.7922	1.4272
		North	1.97569	1.01513	.582	-1.4434	5.3948
		South	-.19945	.75729	1.000	-2.7501	2.3512
		East	1.15060	.80601	.843	-1.5642	3.8654
	West	Central	1.17522	.42180	.176	-.2455	2.5959
		West	.68251	.62637	.945	-1.4272	2.7922
		North	2.65820	.94084	.164	-.5107	5.8271
		South	.48306	.65435	.990	-1.7209	2.6870
		East	1.83311	.71017	.253	-.5589	4.2251
	North	Central	-1.48298	.90336	.747	-4.5257	1.5597
		West	-1.97569	1.01513	.582	-5.3948	1.4434
		West	-2.65820	.94084	.164	-5.8271	.5107
		South	-2.17513	1.03263	.491	-5.6532	1.3030
		East	-.82508	1.06887	.988	-4.4252	2.7751
	South	Central	.69216	.59922	.931	-1.3261	2.7105
		West	-.19945	.75729	1.000	-2.3512	2.7501
		West	-.48306	.65435	.990	-2.6870	1.7209
		North	2.17513	1.03263	.491	-1.3030	5.6532
		East	1.35005	.82795	.752	-1.4386	4.1387
	East	Central	-.65789	.65972	.963	-2.8800	1.5642
		West	-1.15060	.80601	.843	-3.8654	1.5642
		West	-1.83311	.71017	.253	-4.2251	.5589
		North	.82508	1.06887	.988	-2.7751	4.4252
		South	-1.35005	.82795	.752	-4.1387	1.4386
Dunnnett T3	Central	West	-.49271	.49199	.994	-2.0641	1.0787
		West	-1.17522	.50225	.280	-2.7061	.3556
		North	1.48298*	.32157	.002	.4328	2.5332
		South	-.69216	.55018	.954	-2.4911	1.1068
		East	.65789	.30808	.415	-.2870	1.6028
	West	Central	.49271	.49199	.994	-1.0787	2.0641
		West	-.68251	.62050	.988	-2.5934	1.2284
		North	1.97569*	.48598	.008	.3884	3.5630
		South	-.19945	.65990	1.000	-2.2912	1.8923
		East	1.15060	.47716	.278	-.3983	2.6995
	West	Central	1.17522	.50225	.280	-.3556	2.7061
		West	.68251	.62050	.988	-1.2284	2.5934
		North	2.65820*	.49636	.000	1.1170	4.1994
		South	.48306	.66759	1.000	-1.5987	2.5648
		East	1.83311*	.48773	.007	.3323	3.3339
	North	Central	-1.48298*	.32157	.002	-2.5332	-.4328
		West	-1.97569*	.48598	.008	-3.5630	-.3884
		West	-2.65820*	.49636	.000	-4.1994	-1.1170
		South	-2.17513*	.54481	.012	-3.9849	-.3654
		East	-.82508	.29838	.179	-1.8702	.2200
	South	Central	.69216	.55018	.954	-1.1068	2.4911
		West	.19945	.65990	1.000	-1.8923	2.2912



**Multiple Comparisons**

Dependent Variable	(I) Regions	(J) Regions	Mean Difference (I-J)	Std. Error	Sig.	95% Confidence Interval	
						Lower Bound	Upper Bound
		West	-.48306	.66759	1.000	-2.5648	1.5987
		North	2.17513 <sup>*</sup>	.54481	.012	.3654	3.9849
		East	1.35005	.53696	.242	-.4310	3.1311
	East	Central	-.65789	.30808	.415	-1.6028	.2870
		West	-1.15060	.47716	.278	-2.6995	.3983
		West	-1.83311 <sup>*</sup>	.48773	.007	-3.3339	-.3323
		North	.82508	.29838	.179	-.2200	1.8702
		South	-1.35005	.53696	.242	-3.1311	.4310

\*. The mean difference is significant at the 0.05 level.

## Homogeneous Subsets

**LightnessCK**

	Regions	N	Subset for alpha = 0.05	
			1	2
Tukey HSD <sup>a,b</sup>	South	15	52.7007	
	West	37	56.5549	56.5549
	East	12	56.7363	56.7363
	West	17	58.6353	58.6353
	Central	84	58.7437	58.7437
	North	6		63.7750
	Sig.			.304
Scheffe <sup>a,b</sup>	South	15	52.7007	
	West	37	56.5549	56.5549
	East	12	56.7363	56.7363
	West	17	58.6353	58.6353
	Central	84	58.7437	58.7437
	North	6		63.7750
	Sig.			.507

Means for groups in homogeneous subsets are displayed.

a. Uses Harmonic Mean Sample Size = 14.478.

b. The group sizes are unequal. The harmonic mean of the group sizes is used. Type I error levels are not guaranteed.

**RednessCK**

		N	Subset for alpha = 0.05		
			1	2	3
Tukey HSD <sup>a,b</sup>	East	12	12.0457		
	North	6	12.0700		
	West	17	12.9971	12.9971	
	Central	84	14.3756	14.3756	
	South	15		15.1717	15.1717
	West	37			16.8541
	Sig.			.054	.088
Scheffe <sup>a,b</sup>	East	12	12.0457		
	North	6	12.0700		
	West	17	12.9971	12.9971	
	Central	84	14.3756	14.3756	14.3756
	South	15		15.1717	15.1717
	West	37			16.8541
	Sig.			.155	.219

Means for groups in homogeneous subsets are displayed.

a. Uses Harmonic Mean Sample Size = 14.478.

b. The group sizes are unequal. The harmonic mean of the group sizes is used. Type I error levels are not guaranteed.

**YellownessCK**

		N	Subset for alpha = 0.05	
			1	2
Tukey HSD <sup>a,b</sup>	North	6	16.9867	
	East	12	17.8117	17.8117
	Central	84	18.4696	18.4696
	West	17	18.9624	18.9624
	South	15	19.1618	19.1618
	West	37		19.6449
	Sig.			.073
Scheffe <sup>a,b</sup>	North	6	16.9867	
	East	12	17.8117	
	Central	84	18.4696	
	West	17	18.9624	
	South	15	19.1618	
	West	37	19.6449	
	Sig.			.053

Means for groups in homogeneous subsets are displayed.

a. Uses Harmonic Mean Sample Size = 14.478.

b. The group sizes are unequal. The harmonic mean of the group sizes is used. Type I error levels are not guaranteed.

```

ONEWAY LightnessF RednessF YellownessF BY Regions
  /STATISTICS HOMOGENEITY BROWNFORSYTHE
  /MISSING ANALYSIS
  /POSTHOC=TUKEY SCHEFFE T3 ALPHA(0.05) .

```

## Oneway

### Notes

Output Created	03-AUG-2021 16:36:28	
Comments		
Input	Data	C:\Users\Toon-notebook\onedrive-nutticha\OneDrive - Rajamakala University of Technology Thanyaburi\Ph. d\thesis\statistic\factors statistic_test.sav
	Active Dataset	DataSet1
	Filter	<none>
	Weight	<none>
	Split File	<none>
	N of Rows in Working Data File	171
Missing Value Handling	Definition of Missing	User-defined missing values are treated as missing.
	Cases Used	Statistics for each analysis are based on cases with no missing data for any variable in the analysis.
Syntax	ONEWAY LightnessF RednessF YellownessF BY Regions /STATISTICS HOMOGENEITY BROWNFORSYTHE /MISSING ANALYSIS /POSTHOC=TUKEY SCHEFFE T3 ALPHA(0.05).	
Resources	Processor Time	00:00:00.22
	Elapsed Time	00:00:00.27

### Test of Homogeneity of Variances

	Levene Statistic	df1	df2	Sig.
LightnessF	1.944	5	165	.090
RednessF	2.968	5	165	.014
YellownessF	3.832	5	165	.003

**ANOVA**

		Sum of Squares	df	Mean Square	F	Sig.
LightnessF	Between Groups	1929.180	5	385.836	8.572	.000
	Within Groups	7426.593	165	45.010		
	Total	9355.773	170			
RednessF	Between Groups	297.121	5	59.424	10.849	.000
	Within Groups	903.802	165	5.478		
	Total	1200.923	170			
YellownessF	Between Groups	299.828	5	59.966	15.443	.000
	Within Groups	640.715	165	3.883		
	Total	940.542	170			

**Robust Tests of Equality of Means**

		Statistic <sup>a</sup>	df1	df2	Sig.
LightnessF	Brown-Forsythe	10.039	5	68.467	.000
RednessF	Brown-Forsythe	15.535	5	64.659	.000
YellownessF	Brown-Forsythe	24.639	5	101.547	.000

a. Asymptotically F distributed.

**Post Hoc Tests**



Multiple Comparisons

Dependent Variable	(I) Regions	(J) Regions	Mean Difference (I-J)	Std. Error	Sig.	95% Confidence Interval				
						Lower Bound	Upper Bound			
LightnessF	Tukey HSD	Central	West	-1.63761	1.78422	.941	-6.7824	3.5072		
			West	2.85271	1.32375	.265	-.9643	6.6697		
			North	-6.79869	2.83504	.163	-14.9735	1.3761		
			South	9.45524*	1.88055	.000	4.0327	14.8778		
			East	4.97056	2.07042	.162	-.9995	10.9406		
		West	Central	1.63761	1.78422	.941	-3.5072	6.7824		
			West	4.49032	1.96573	.206	-1.1779	10.1585		
			North	-5.16108	3.18579	.587	-14.3473	4.0251		
			South	11.09285*	2.37661	.000	4.2399	17.9458		
			East	6.60817	2.52951	.100	-.6857	13.9020		
		West	Central	-2.85271	1.32375	.265	-6.6697	.9643		
			West	-4.49032	1.96573	.206	-10.1585	1.1779		
			North	-9.65140*	2.95264	.016	-18.1653	-1.1374		
			South	6.60254*	2.05356	.019	.6811	12.5240		
			East	2.11785	2.22874	.933	-4.3087	8.5444		
		North	Central	6.79869	2.83504	.163	-1.3761	14.9735		
			West	5.16108	3.18579	.587	-4.0251	14.3473		
			West	9.65140*	2.95264	.016	1.1374	18.1653		
			South	16.25393*	3.24072	.000	6.9093	25.5986		
			East	11.76925*	3.35446	.008	2.0966	21.4419		
		South	Central	-9.45524*	1.88055	.000	-14.8778	-4.0327		
			West	-11.09285*	2.37661	.000	-17.9458	-4.2399		
			West	-6.60254*	2.05356	.019	-12.5240	-.6811		
			North	-16.25393*	3.24072	.000	-25.5986	-6.9093		
			East	-4.48468	2.59835	.517	-11.9770	3.0077		
		East	Central	-4.97056	2.07042	.162	-10.9406	.9995		
			West	-6.60817	2.52951	.100	-13.9020	.6857		
			West	-2.11785	2.22874	.933	-8.5444	4.3087		
			North	-11.76925*	3.35446	.008	-21.4419	-2.0966		
			South	4.48468	2.59835	.517	-3.0077	11.9770		
		Scheffe		Central	West	-1.63761	1.78422	.974	-7.6472	4.3720
					West	2.85271	1.32375	.464	-1.6059	7.3113
					North	-6.79869	2.83504	.336	-16.3476	2.7502
					South	9.45524*	1.88055	.000	3.1212	15.7893
					East	4.97056	2.07042	.335	-2.0030	11.9441
				West	Central	1.63761	1.78422	.974	-4.3720	7.6472
					West	4.49032	1.96573	.394	-2.1306	11.1113
					North	-5.16108	3.18579	.757	-15.8914	5.5692
					South	11.09285*	2.37661	.001	3.0880	19.0977
					East	6.60817	2.52951	.240	-1.9117	15.1280
				West	Central	-2.85271	1.32375	.464	-7.3113	1.6059
					West	-4.49032	1.96573	.394	-11.1113	2.1306
					North	-9.65140	2.95264	.064	-19.5964	.2936
					South	6.60254	2.05356	.072	-.3142	13.5193
					East	2.11785	2.22874	.970	-5.3890	9.6247
				North	Central	6.79869	2.83504	.336	-2.7502	16.3476
					West	5.16108	3.18579	.757	-5.5692	15.8914
					West	9.65140*	2.95264	.064	-.2936	19.5964
					South	16.25393*	3.24072	.000	5.3386	27.1693
					East	11.76925*	3.35446	.035	.4708	23.0677
South	Central			-9.45524*	1.88055	.000	-15.7893	-3.1212		
	West			-11.09285*	2.37661	.001	-19.0977	-3.0880		
	West			-6.60254*	2.05356	.072	-13.5193	.3142		

Multiple Comparisons

Dependent Variable	(I) Regions	(J) Regions	Mean Difference (I-J)	Std. Error	Sig.	95% Confidence Interval			
						Lower Bound	Upper Bound		
Dunnett T3		North	-16.25393*	3.24072	.000	-27.1693	-5.3386		
		East	-4.48468	2.59835	.703	-13.2364	4.2671		
		East	Central	-4.97056	2.07042	.335	-11.9441	2.0030	
			West	-6.60817	2.52951	.240	-15.1280	1.9117	
		West	West	-2.11785	2.22874	.970	-9.6247	5.3890	
			North	-11.76925*	3.35446	.035	-23.0677	-.4708	
	Central	South	4.48468	2.59835	.703	-4.2671	13.2364		
		West	-1.63761	1.84022	.998	-7.5838	4.3086		
		West	2.85271	1.22792	.282	-.8442	6.5497		
		North	-6.79869*	1.22105	.001	-11.0491	-2.5483		
		South	9.45524*	2.37754	.013	1.5166	17.3939		
		East	4.97056	1.62382	.086	-.4284	10.3695		
		West	Central	1.63761	1.84022	.998	-4.3086	7.5838	
			West	4.49032	1.93038	.313	-1.6608	10.6415	
			North	-5.16108	1.92601	.170	-11.4482	1.1260	
			South	11.09285*	2.80558	.007	2.1430	20.0427	
			East	6.60817	2.20349	.078	-.4135	13.6299	
		West	Central	-2.85271	1.22792	.282	-6.5497	.8442	
	West		-4.49032	1.93038	.313	-10.6415	1.6608		
	North		-9.65140	1.35310	.000	-14.1550	-5.1478		
	South		6.60254	2.44798	.170	-1.4641	14.6692		
	East		2.11785	1.72532	.962	-3.4921	7.7278		
	North	Central	6.79869*	1.22105	.001	2.5483	11.0491		
		West	5.16108	1.92601	.170	-1.1260	11.4482		
		West	9.65140*	1.35310	.000	5.1478	14.1550		
		South	16.25393*	2.44454	.000	8.1205	24.3873		
		East	11.76925*	1.72044	.000	5.9596	17.5789		
	South	Central	-9.45524*	2.37754	.013	-17.3939	-1.5166		
		West	-11.09285*	2.80558	.007	-20.0427	-2.1430		
		West	-6.60254	2.44798	.170	-14.6692	1.4641		
		North	-16.25393*	2.44454	.000	-24.3873	-8.1205		
		East	-4.48468	2.66864	.755	-13.1190	4.1496		
	East	Central	-4.97056	1.62382	.086	-10.3695	.4284		
		West	-6.60817	2.20349	.078	-13.6299	.4135		
		West	-2.11785	1.72532	.962	-7.7278	3.4921		
		North	-11.76925*	1.72044	.000	-17.5789	-5.9596		
		South	4.48468	2.66864	.755	-4.1496	13.1190		
	RednessF	Tukey HSD	Central	West	2.44686*	.62243	.002	.6521	4.2416
				West	-1.48450	.46179	.019	-2.8161	-.1529
				North	1.82333	.98901	.441	-1.0285	4.6751
				South	2.13453	.65604	.017	.2429	4.0262
				East	1.85400	.72227	.111	-.2287	3.9367
			West	Central	-2.44686*	.62243	.002	-4.2416	-.6521
				West	-3.93137*	.68575	.000	-5.9087	-1.9540
				North	-.62353	1.11137	.993	-3.8282	2.5811
				South	-.31233	.82909	.999	-2.7030	2.0783
		West	East	-.59286	.88243	.985	-3.1373	1.9516	
			Central	1.48450*	.46179	.019	.1529	2.8161	
West			3.93137*	.68575	.000	1.9540	5.9087		
North			3.30784*	1.03004	.019	.3377	6.2780		
South			3.61904*	.71639	.000	1.5533	5.6848		
East		3.33850*	.77750	.000	1.0966	5.5804			

Multiple Comparisons

Dependent Variable	(I) Regions	(J) Regions	Mean Difference (I-J)	Std. Error	Sig.	95% Confidence Interval	
						Lower Bound	Upper Bound
	North	Central	-1.82333	.98901	.441	-4.6751	1.0285
		West	.62353	1.11137	.993	-2.5811	3.8282
		West	-3.30784*	1.03004	.019	-6.2780	-.3377
		South	.31120	1.13053	1.000	-2.9487	3.5711
		East	.03067	1.17021	1.000	-3.3436	3.4050
	South	Central	-2.13453*	.65604	.017	-4.0262	-.2429
		West	.31233	.82909	.999	-2.0783	2.7030
		West	-3.61904*	.71639	.000	-5.6848	-1.5533
		North	-.31120	1.13053	1.000	-3.5711	2.9487
		East	-.28053	.90644	1.000	-2.8943	2.3332
	East	Central	-1.85400	.72227	.111	-3.9367	.2287
		West	.59286	.88243	.985	-1.9516	3.1373
		West	-3.33850*	.77750	.000	-5.5804	-1.0966
		North	-.03067	1.17021	1.000	-3.4050	3.3436
		South	.28053	.90644	1.000	-2.3332	2.8943
Scheffe	Central	West	2.44686*	.62243	.011	.3504	4.5433
		West	-1.48450	.46179	.072	-3.0399	.0709
		North	1.82333	.98901	.639	-1.5078	5.1545
		South	2.13453	.65604	.066	-.0751	4.3442
		East	1.85400	.72227	.259	-.5787	4.2867
	West	Central	-2.44686*	.62243	.011	-4.5433	-.3504
		West	-3.93137*	.68575	.000	-6.2411	-1.6216
		North	-.62353	1.11137	.997	-4.3668	3.1198
		South	-.31233	.82909	1.000	-3.1048	2.4802
		East	-.59286	.88243	.994	-3.5650	2.3793
	West	Central	1.48450	.46179	.072	-.0709	3.0399
		West	3.93137*	.68575	.000	1.6216	6.2411
		North	3.30784	1.03004	.073	-.1615	6.7772
		South	3.61904*	.71639	.000	1.2061	6.0320
		East	3.33850*	.77750	.003	.7197	5.9573
North	Central	-1.82333	.98901	.639	-5.1545	1.5078	
	West	.62353	1.11137	.997	-3.1198	4.3668	
	West	-3.30784	1.03004	.073	-6.7772	.1615	
	South	.31120	1.13053	1.000	-3.4966	4.1190	
	East	.03067	1.17021	1.000	-3.9108	3.9722	
South	Central	-2.13453	.65604	.066	-4.3442	.0751	
	West	.31233	.82909	1.000	-2.4802	3.1048	
	West	-3.61904*	.71639	.000	-6.0320	-1.2061	
	North	-.31120	1.13053	1.000	-4.1190	3.4966	
	East	-.28053	.90644	1.000	-3.3336	2.7725	
East	Central	-1.85400	.72227	.259	-4.2867	.5787	
	West	.59286	.88243	.994	-2.3793	3.5650	
	West	-3.33850*	.77750	.003	-5.9573	-.7197	
	North	-.03067	1.17021	1.000	-3.9722	3.9108	
	South	.28053	.90644	1.000	-2.7725	3.3336	
Dunnnett T3	Central	West	2.44686*	.58073	.003	.6017	4.2920
		West	-1.48450*	.45956	.026	-2.8671	-.1019
		North	1.82333	.90191	.558	-1.9802	5.6269
		South	2.13453*	.53466	.006	.4333	3.8357
		East	1.85400*	.41767	.001	.5536	3.1544
	West	Central	-2.44686*	.58073	.003	-4.2920	-.6017
		West	-3.93137*	.61562	.000	-5.8654	-1.9974
		North	-.62353	.99057	1.000	-4.3866	3.1396

Multiple Comparisons

Dependent Variable	(I) Regions	(J) Regions	Mean Difference (I-J)	Std. Error	Sig.	95% Confidence Interval		
						Lower Bound	Upper Bound	
		South	-.31233	.67353	1.000	-2.4407	1.8161	
		East	-.59286	.58501	.993	-2.4707	1.2850	
	West	Central	1.48450*	.45956	.026	.1019	2.8671	
		West	3.93137*	.61562	.000	1.9974	5.8654	
		North	3.30784	.92476	.091	-.4636	7.0793	
		South	3.61904*	.57237	.000	1.8200	5.4181	
		East	3.33850*	.46497	.000	1.8966	4.7804	
	North	Central	-1.82333	.90191	.558	-5.6269	1.9802	
		West	.62353	.99057	1.000	-3.1396	4.3866	
		West	-3.30784	.92476	.091	-7.0793	.4636	
		South	.31120	.96429	1.000	-3.4505	4.0729	
		East	.03067	.90468	1.000	-3.7760	3.8373	
	South	Central	-2.13453*	.53466	.006	-3.8357	-.4333	
		West	.31233	.67353	1.000	-1.8161	2.4407	
		West	-3.61904*	.57237	.000	-5.4181	-1.8200	
		North	-.31120	.96429	1.000	-4.0729	3.4505	
		East	-.28053	.53931	1.000	-2.0218	1.4607	
	East	Central	-1.85400*	.41767	.001	-3.1544	-.5536	
		West	.59286	.58501	.993	-1.2850	2.4707	
		West	-3.33850*	.46497	.000	-4.7804	-1.8966	
North		-.03067	.90468	1.000	-3.8373	3.7760		
South		.28053	.53931	1.000	-1.4607	2.0218		
YellownessF	Tukey HSD	Central	West	1.25062	.52407	.167	-.2605	2.7618
			West	-.61384	.38881	.614	-1.7350	.5073
			North	1.61405	.83271	.383	-.7871	4.0152
			South	3.94598*	.55236	.000	2.3532	5.5387
			East	-1.43820	.60813	.175	-3.1917	.3153
		West	Central	-1.25062	.52407	.167	-2.7618	.2605
			West	-1.86445*	.57738	.018	-3.5293	-.1996
			North	.36343	.93574	.999	-2.3348	3.0616
			South	2.69536*	.69806	.002	.6825	4.7082
			East	-2.68882*	.74298	.005	-4.8312	-.5464
		West	Central	.61384	.38881	.614	-.5073	1.7350
			West	1.86445*	.57738	.018	.1996	3.5293
			North	2.22788	.86726	.111	-.2729	4.7286
			South	4.55982*	.60318	.000	2.8206	6.2991
			East	-.82437	.65463	.807	-2.7120	1.0633
		North	Central	-1.61405	.83271	.383	-4.0152	.7871
			West	-.36343	.93574	.999	-3.0616	2.3348
			West	-2.22788	.86726	.111	-4.7286	.2729
			South	2.33193	.95187	.146	-.4128	5.0767
			East	-3.05225*	.98528	.027	-5.8933	-.2112
		South	Central	-3.94598*	.55236	.000	-5.5387	-2.3532
			West	-2.69536*	.69806	.002	-4.7082	-.6825
			West	-4.55982*	.60318	.000	-6.2991	-2.8206
			North	-2.33193	.95187	.146	-5.0767	.4128
			East	-5.38418*	.76320	.000	-7.5849	-3.1835
		East	Central	1.43820	.60813	.175	-.3153	3.1917
			West	2.68882*	.74298	.005	.5464	4.8312
			West	.82437	.65463	.807	-1.0633	2.7120
			North	3.05225*	.98528	.027	.2112	5.8933
			South	5.38418*	.76320	.000	3.1835	7.5849



Multiple Comparisons

Dependent Variable	(I) Regions	(J) Regions	Mean Difference (I-J)	Std. Error	Sig.	95% Confidence Interval	
						Lower Bound	Upper Bound
Scheffe	Central	West	1.25062	.52407	.342	-.5145	3.0158
		West	-.61384	.38881	.777	-1.9234	.6958
		North	1.61405	.83271	.586	-1.1907	4.4188
		South	3.94598*	.55236	.000	2.0855	5.8064
		East	-1.43820	.60813	.352	-3.4865	.6101
	West	Central	-1.25062	.52407	.342	-3.0158	.5145
		West	-1.86445	.57738	.070	-3.8092	.0803
		North	.36343	.93574	1.000	-2.7883	3.5152
		South	2.69536*	.69806	.013	.3442	5.0466
		East	-2.68882*	.74298	.026	-5.1913	-.1863
	West	Central	.61384	.38881	.777	-.6958	1.9234
		West	1.86445	.57738	.070	-.0803	3.8092
		North	2.22788	.86726	.258	-.6932	5.1490
		South	4.55982*	.60318	.000	2.5282	6.5914
		East	-.82437	.65463	.902	-3.0293	1.3806
	North	Central	-1.61405	.83271	.586	-4.4188	1.1907
		West	-.36343	.93574	1.000	-3.5152	2.7883
		West	-2.22788	.86726	.258	-5.1490	.6932
		South	2.33193	.95187	.311	-.8741	5.5380
		East	-3.05225	.98528	.094	-6.3709	.2664
	South	Central	-3.94598*	.55236	.000	-5.8064	-2.0855
		West	-2.69536	.69806	.013	-5.0466	-.3442
		West	-4.55982*	.60318	.000	-6.5914	-2.5282
		North	-2.33193	.95187	.311	-5.5380	.8741
		East	-5.38418*	.76320	.000	-7.9548	-2.8136
	East	Central	1.43820	.60813	.352	-.6101	3.4865
		West	2.68882*	.74298	.026	.1863	5.1913
		West	.82437	.65463	.902	-1.3806	3.0293
		North	3.05225	.98528	.094	-.2664	6.3709
		South	5.38418*	.76320	.000	2.8136	7.9548
Dunnnett T3	Central	West	1.25062	.39050	.042	.0279	2.4734
		West	-.61384	.45925	.943	-2.0110	.7834
		North	1.61405	.44550	.063	-.0701	3.2982
		South	3.94598*	.49169	.000	2.3493	5.5426
		East	-1.43820	.28088	.000	-2.2928	-.5836
	West	Central	-1.25062	.39050	.042	-2.4734	-.0279
		West	-1.86445	.51270	.010	-3.4351	-.2938
		North	.36343	.50042	1.000	-1.3967	2.1236
		South	2.69536	.54195	.001	.9650	4.4257
		East	-2.68882*	.36172	.000	-3.8559	-1.5218
	West	Central	.61384	.45925	.943	-.7834	2.0110
		West	1.86445	.51270	.010	.2938	3.4351
		North	2.22788	.55573	.011	.3891	4.0667
		South	4.55982*	.59341	.000	2.7123	6.4074
		East	-.82437	.43505	.599	-2.1640	.5153
	North	Central	-1.61405	.44550	.063	-3.2982	.0701
		West	-.36343	.50042	1.000	-2.1236	1.3967
		West	-2.22788	.55573	.011	-4.0667	-.3891
		South	2.33193	.58283	.013	.3716	4.2923
		East	-3.05225*	.42050	.002	-4.7558	-1.3487
	South	Central	-3.94598*	.49169	.000	-5.5426	-2.3493
		West	-2.69536	.54195	.001	-4.4257	-.9650
		West	-4.55982*	.59341	.000	-6.4074	-2.7123

### Multiple Comparisons

Dependent Variable	(I) Regions	(J) Regions	Mean Difference (I-J)	Std. Error	Sig.	95% Confidence Interval	
						Lower Bound	Upper Bound
		North	-2.33193*	.58283	.013	-4.2923	-.3716
		East	-5.38418*	.46916	.000	-6.9437	-3.8246
	East	Central	1.43820*	.28088	.000	.5836	2.2928
		West	2.68882*	.36172	.000	1.5218	3.8559
		West	.82437	.43505	.599	-.5153	2.1640
		North	3.05225*	.42050	.002	1.3487	4.7558
		South	5.38418*	.46916	.000	3.8246	6.9437

\*. The mean difference is significant at the 0.05 level.

### Homogeneous Subsets

#### LightnessF

Regions	N	Subset for alpha = 0.05		
		1	2	3
Tukey HSD <sup>a,b</sup>				
South	15	49.8577		
East	12	54.3424	54.3424	
West	37	56.4603	56.4603	
Central	84		59.3130	59.3130
West	17		60.9506	60.9506
North	6			66.1117
Sig.		.092	.091	.075
Scheffe <sup>a,b</sup>				
South	15	49.8577		
East	12	54.3424	54.3424	
West	37	56.4603	56.4603	
Central	84		59.3130	59.3130
West	17		60.9506	60.9506
North	6			66.1117
Sig.		.226	.225	.197

Means for groups in homogeneous subsets are displayed.

a. Uses Harmonic Mean Sample Size = 14.478.

b. The group sizes are unequal. The harmonic mean of the group sizes is used. Type I error levels are not guaranteed.

**RednessF**

		N	Subset for alpha = 0.05	
			1	2
Tukey HSD <sup>a,b</sup>	West	17	11.8265	
	South	15	12.1388	
	East	12	12.4193	
	North	6	12.4500	
	Central	84	14.2733	14.2733
	West	37		15.7578
	Sig.			.060
Scheffe <sup>a,b</sup>	West	17	11.8265	
	South	15	12.1388	
	East	12	12.4193	
	North	6	12.4500	
	Central	84	14.2733	14.2733
	West	37		15.7578
	Sig.			.168

Means for groups in homogeneous subsets are displayed.

a. Uses Harmonic Mean Sample Size = 14.478.

b. The group sizes are unequal. The harmonic mean of the group sizes is used. Type I error levels are not guaranteed.

**YellownessF**

		N	Subset for alpha = 0.05			
			1	2	3	4
Tukey HSD <sup>a,b</sup>	South	15	14.4064			
	North	6		16.7383		
	West	17		17.1018	17.1018	
	Central	84		18.3524	18.3524	18.3524
	West	37			18.9662	18.9662
	East	12				19.7906
	Sig.			1.000	.242	.117
Scheffe <sup>a,b</sup>	South	15	14.4064			
	North	6	16.7383	16.7383		
	West	17		17.1018		
	Central	84		18.3524	18.3524	
	West	37		18.9662	18.9662	
	East	12			19.7906	
	Sig.			.077	.106	.572

Means for groups in homogeneous subsets are displayed.

a. Uses Harmonic Mean Sample Size = 14.478.

b. The group sizes are unequal. The harmonic mean of the group sizes is used. Type I error levels are not guaranteed.

```

ONEWAY LightnessCN RednessCN YellownessCN BY Regions
/STATISTICS HOMOGENEITY BROWNFORSYTHE
/MISSING ANALYSIS
/POSTHOC=TUKEY SCHEFFE T3 ALPHA(0.05).

```

## Oneway

### Notes

Output Created	03-AUG-2021 16:37:13	
Comments		
Input	Data	C:\Users\Toon-notebook\onedrive-nutticha\OneDrive - Rajamakala University of Technology Thanyaburi\Ph. d\thesis\statistic\factors statistic_test.sav
	Active Dataset	DataSet1
	Filter	<none>
	Weight	<none>
	Split File	<none>
	N of Rows in Working Data File	171
Missing Value Handling	Definition of Missing	User-defined missing values are treated as missing.
	Cases Used	Statistics for each analysis are based on cases with no missing data for any variable in the analysis.
Syntax	ONEWAY LightnessCN RednessCN YellownessCN BY Regions /STATISTICS HOMOGENEITY BROWNFORSYTHE /MISSING ANALYSIS /POSTHOC=TUKEY SCHEFFE T3 ALPHA(0.05).	
Resources	Processor Time	00:00:00.23
	Elapsed Time	00:00:00.33

### Test of Homogeneity of Variances

	Levene Statistic	df1	df2	Sig.
LightnessCN	2.395	5	165	.040
RednessCN	4.424	5	165	.001
YellownessCN	3.256	5	165	.008

### ANOVA

		Sum of Squares	df	Mean Square	F	Sig.
LightnessCN	Between Groups	1141.671	5	228.334	5.328	.000
	Within Groups	7071.439	165	42.857		
	Total	8213.110	170			
RednessCN	Between Groups	566.261	5	113.252	13.252	.000
	Within Groups	1410.052	165	8.546		
	Total	1976.313	170			
YellownessCN	Between Groups	80.793	5	16.159	3.576	.004
	Within Groups	745.627	165	4.519		
	Total	826.420	170			

### Robust Tests of Equality of Means

		Statistic <sup>a</sup>	df1	df2	Sig.
LightnessCN	Brown-Forsythe	4.574	5	66.500	.001
RednessCN	Brown-Forsythe	19.746	5	97.248	.000
YellownessCN	Brown-Forsythe	4.661	5	53.706	.001

a. Asymptotically F distributed.

### Post Hoc Tests



Multiple Comparisons

Dependent Variable	(I) Regions	(J) Regions	Mean Difference (I-J)	Std. Error	Sig.	95% Confidence Interval				
						Lower Bound	Upper Bound			
LightnessCN	Tukey HSD	Central	West	1.66018	1.74104	.932	-3.3601	6.6805		
			West	3.59002	1.29171	.066	-.1346	7.3147		
			North	-1.25845	2.76642	.998	-9.2354	6.7185		
			South	8.27821*	1.83503	.000	2.9869	13.5695		
			East	4.16830	2.02031	.312	-1.6573	9.9939		
		West	Central	-1.66018	1.74104	.932	-6.6805	3.3601		
			West	1.92984	1.91815	.915	-3.6012	7.4608		
			North	-2.91863	3.10868	.936	-11.8825	6.0453		
			South	6.61804	2.31909	.054	-.0691	13.3051		
			East	2.50812	2.46829	.912	-4.6092	9.6254		
		West	Central	-3.59002	1.29171	.066	-7.3147	.1346		
			West	-1.92984	1.91815	.915	-7.4608	3.6012		
			North	-4.84847	2.88118	.545	-13.1563	3.4594		
			South	4.68820	2.00386	.184	-1.0899	10.4663		
			East	.57828	2.17480	1.000	-5.6927	6.8493		
		North	Central	1.25845	2.76642	.998	-6.7185	9.2354		
			West	2.91863	3.10868	.936	-6.0453	11.8825		
			West	4.84847	2.88118	.545	-3.4594	13.1563		
			South	9.53667*	3.16228	.035	.4182	18.6551		
			East	5.42675	3.27327	.562	-4.0117	14.8652		
		South	Central	-8.27821*	1.83503	.000	-13.5695	-2.9869		
			West	-6.61804	2.31909	.054	-13.3051	.0691		
			West	-4.68820	2.00386	.184	-10.4663	1.0899		
			North	-9.53667*	3.16228	.035	-18.6551	-.4182		
			East	-4.10992	2.53546	.586	-11.4209	3.2011		
		East	Central	-4.16830	2.02031	.312	-9.9939	1.6573		
			West	-2.50812	2.46829	.912	-9.6254	4.6092		
			West	-.57828	2.17480	1.000	-6.8493	5.6927		
			North	-5.42675	3.27327	.562	-14.8652	4.0117		
			South	4.10992	2.53546	.586	-3.2011	11.4209		
		Scheffe		Central	West	1.66018	1.74104	.969	-4.2040	7.5243
					West	3.59002	1.29171	.179	-.7607	7.9407
					North	-1.25845	2.76642	.999	-10.5763	8.0594
					South	8.27821*	1.83503	.002	2.0975	14.4589
					East	4.16830	2.02031	.515	-2.6365	10.9731
				West	Central	-1.66018	1.74104	.969	-7.5243	4.2040
					West	1.92984	1.91815	.961	-4.5309	8.3905
					North	-2.91863	3.10868	.971	-13.3892	7.5520
					South	6.61804	2.31909	.155	-1.1931	14.4291
					East	2.50812	2.46829	.959	-5.8055	10.8218
				West	Central	-3.59002	1.29171	.179	-7.9407	.7607
					West	-1.92984	1.91815	.961	-8.3905	4.5309
					North	-4.84847	2.88118	.726	-14.5528	4.8559
					South	4.68820	2.00386	.365	-2.0612	11.4376
					East	.57828	2.17480	1.000	-6.7468	7.9034
North	Central			1.25845	2.76642	.999	-8.0594	10.5763		
	West			2.91863	3.10868	.971	-7.5520	13.3892		
	West			4.84847	2.88118	.726	-4.8559	14.5528		
	South			9.53667	3.16228	.112	-1.1145	20.1878		
	East			5.42675	3.27327	.738	-5.5982	16.4517		
South	Central			-8.27821*	1.83503	.002	-14.4589	-2.0975		
	West			-6.61804	2.31909	.155	-14.4291	1.1931		

Multiple Comparisons

Dependent Variable	(I) Regions	(J) Regions	Mean Difference (I-J)	Std. Error	Sig.	95% Confidence Interval		
						Lower Bound	Upper Bound	
Dunnett T3	East	West	-4.68820	2.00386	.365	-11.4376	2.0612	
		North	-9.53667	3.16228	.112	-20.1878	1.1145	
		East	-4.10992	2.53546	.757	-12.6498	4.4300	
		Central	-4.16830	2.02031	.515	-10.9731	2.6365	
		West	-2.50812	2.46829	.959	-10.8218	5.8055	
		West	-.57828	2.17480	1.000	-7.9034	6.7468	
		North	-5.42675	3.27327	.738	-16.4517	5.5982	
	South	4.10992	2.53546	.757	-4.4300	12.6498		
	Central	West	1.66018	2.33882	1.000	-6.0961	9.4165	
	West	West	3.59002	1.30635	.110	-.3934	7.5734	
	North	North	-1.25845	2.43116	1.000	-11.8820	9.3651	
	South	South	8.27821*	2.13044	.017	1.1155	15.4409	
	East	East	4.16830	1.68453	.275	-1.6102	9.9468	
	West	Central	-1.66018	2.33882	1.000	-9.4165	6.0961	
	West	West	1.92984	2.54044	1.000	-6.2267	10.0864	
	North	North	-2.91863	3.26464	.997	-14.0960	8.2587	
	South	South	6.61804	3.04731	.403	-3.0108	16.2469	
	East	East	2.50812	2.75408	.998	-6.2875	11.3038	
	West	Central	-3.59002	1.30635	.110	-7.5734	.3934	
	West	West	-1.92984	2.54044	1.000	-10.0864	6.2267	
	North	North	-4.84847	2.62570	.648	-15.1951	5.4982	
	South	South	4.68820	2.35002	.532	-2.8941	12.2705	
	East	East	.57828	1.95485	1.000	-5.7160	6.8725	
	North	Central	1.25845	2.43116	1.000	-9.3651	11.8820	
	West	West	2.91863	3.26464	.997	-8.2587	14.0960	
	West	West	4.84847	2.62570	.648	-5.4982	15.1951	
	South	South	9.53667	3.11874	.109	-1.3789	20.4523	
	East	East	5.42675	2.83292	.604	-5.0904	15.9439	
South	Central	-8.27821*	2.13044	.017	-15.4409	-1.1155		
West	West	-6.61804	3.04731	.403	-16.2469	3.0108		
West	West	-4.68820	2.35002	.532	-12.2705	2.8941		
North	North	-9.53667	3.11874	.109	-20.4523	1.3789		
East	East	-4.10992	2.57947	.812	-12.3989	4.1791		
East	Central	-4.16830	1.68453	.275	-9.9468	1.6102		
West	West	-2.50812	2.75408	.998	-11.3038	6.2875		
West	West	-.57828	1.95485	1.000	-6.8725	5.7160		
North	North	-5.42675	2.83292	.604	-15.9439	5.0904		
South	South	4.10992	2.57947	.812	-4.1791	12.3989		
RednessCN	Tukey HSD	Central	West	2.71674*	.77745	.008	.4750	4.9585
			West	-1.22900	.57680	.277	-2.8922	.4342
			North	3.27595	1.23533	.091	-.2861	6.8380
			South	1.68302	.81942	.317	-.6798	4.0458
			East	5.39470*	.90215	.000	2.7933	7.9961
	West	Central	Central	-2.71674*	.77745	.008	-4.9585	-.4750
			West	-3.94574*	.85654	.000	-6.4156	-1.4759
			North	.55922	1.38816	.999	-3.4435	4.5620
			South	-1.03372	1.03557	.918	-4.0198	1.9524
			East	2.67797	1.10220	.152	-.5002	5.8562
	West	Central	Central	1.22900	.57680	.277	-.4342	2.8922
			West	3.94574*	.85654	.000	1.4759	6.4156
			North	4.50495*	1.28657	.008	.7951	8.2148
			South	2.91202*	.89481	.017	.3318	5.4922
			East	6.62370*	.97114	.000	3.8234	9.4240

Multiple Comparisons

Dependent Variable	(I) Regions	(J) Regions	Mean Difference (I-J)	Std. Error	Sig.	95% Confidence Interval	
						Lower Bound	Upper Bound
	North	Central	-3.27595	1.23533	.091	-6.8380	.2861
		West	-.55922	1.38816	.999	-4.5620	3.4435
		West	-4.50495*	1.28657	.008	-8.2148	-.7951
		South	-1.59293	1.41210	.869	-5.6647	2.4788
		East	2.11875	1.46166	.697	-2.0959	6.3334
	South	Central	-1.68302	.81942	.317	-4.0458	.6798
		West	1.03372	1.03557	.918	-1.9524	4.0198
		West	-2.91202*	.89481	.017	-5.4922	-.3318
		North	1.59293	1.41210	.869	-2.4788	5.6647
		East	3.71168*	1.13219	.016	.4470	6.9764
	East	Central	-5.39470*	.90215	.000	-7.9961	-2.7933
		West	-2.67797	1.10220	.152	-5.8562	.5002
		West	-6.62370*	.97114	.000	-9.4240	-3.8234
		North	-2.11875	1.46166	.697	-6.3334	2.0959
		South	-3.71168*	1.13219	.016	-6.9764	-.4470
Scheffe	Central	West	2.71674*	.77745	.036	.0981	5.3353
		West	-1.22900	.57680	.477	-3.1718	.7138
		North	3.27595	1.23533	.224	-.8849	7.4368
		South	1.68302	.81942	.521	-1.0769	4.4430
		East	5.39470*	.90215	.000	2.3561	8.4333
	West	Central	-2.71674*	.77745	.036	-5.3353	-.0981
		West	-3.94574*	.85654	.001	-6.8307	-1.0608
		North	.55922	1.38816	.999	-4.1164	5.2348
		South	-1.03372	1.03557	.962	-4.5217	2.4543
		East	2.67797	1.10220	.321	-1.0344	6.3904
	West	Central	1.22900	.57680	.477	-.7138	3.1718
		West	3.94574*	.85654	.001	1.0608	6.8307
		North	4.50495*	1.28657	.036	.1716	8.8384
		South	2.91202	.89481	.066	-.1019	5.9259
		East	6.62370*	.97114	.000	3.3527	9.8947
North	Central	-3.27595	1.23533	.224	-7.4368	.8849	
	West	-.55922	1.38816	.999	-5.2348	4.1164	
	West	-4.50495*	1.28657	.036	-8.8384	-.1716	
	South	-1.59293	1.41210	.937	-6.3491	3.1633	
	East	2.11875	1.46166	.834	-2.8044	7.0419	
South	Central	-1.68302	.81942	.521	-4.4430	1.0769	
	West	1.03372	1.03557	.962	-2.4543	4.5217	
	West	-2.91202	.89481	.066	-5.9259	.1019	
	North	1.59293	1.41210	.937	-3.1633	6.3491	
	East	3.71168	1.13219	.062	-.1018	7.5251	
East	Central	-5.39470*	.90215	.000	-8.4333	-2.3561	
	West	-2.67797	1.10220	.321	-6.3904	1.0344	
	West	-6.62370*	.97114	.000	-9.8947	-3.3527	
	North	-2.11875	1.46166	.834	-7.0419	2.8044	
	South	-3.71168	1.13219	.062	-7.5251	.1018	
Dunnett T3	Central	West	2.71674*	.77964	.027	.2013	5.2322
		West	-1.22900	.64695	.594	-3.1938	.7358
		North	3.27595*	.43754	.000	1.8686	4.6833
		South	1.68302	.70593	.290	-.6035	3.9695
		East	5.39470*	.50198	.000	3.8150	6.9744
	West	Central	-2.71674*	.77964	.027	-5.2322	-.2013
		West	-3.94574*	.89932	.001	-6.7519	-1.1396



Multiple Comparisons

Dependent Variable	(I) Regions	(J) Regions	Mean Difference (I-J)	Std. Error	Sig.	95% Confidence Interval		
						Lower Bound	Upper Bound	
		North	.55922	.76268	1.000	-1.9441	3.0625	
		South	-1.03372	.94264	.987	-4.0127	1.9453	
		East	2.67797*	.80138	.038	.0939	5.2621	
	West	Central	1.22900	.64695	.594	-.7358	3.1938	
		West	3.94574*	.89932	.001	1.1396	6.7519	
		North	4.50495*	.62640	.000	2.5579	6.4520	
		South	2.91202*	.83623	.019	.3042	5.5198	
		East	6.62370*	.67299	.000	4.5514	8.6960	
	North	Central	-3.27595*	.43754	.000	-4.6833	-1.8686	
		West	-.55922	.76268	1.000	-3.0625	1.9441	
		West	-4.50495*	.62640	.000	-6.4520	-2.5579	
		South	-1.59293	.68715	.337	-3.8727	.6868	
		East	2.11875*	.47520	.006	.5111	3.7264	
	South	Central	-1.68302	.70593	.290	-3.9695	.6035	
		West	1.03372	.94264	.987	-1.9453	4.0127	
		West	-2.91202*	.83623	.019	-5.5198	-.3042	
		North	1.59293	.68715	.337	-.6868	3.8727	
		East	3.71168*	.72988	.001	1.3447	6.0787	
	East	Central	-5.39470*	.50198	.000	-6.9744	-3.8150	
		West	-2.67797*	.80138	.038	-5.2621	-.0939	
		West	-6.62370*	.67299	.000	-8.6960	-4.5514	
		North	-2.11875*	.47520	.006	-3.7264	-.5111	
		South	-3.71168*	.72988	.001	-6.0787	-1.3447	
	YellownessCN	Tukey HSD	Central	West	.98466	.56535	.506	-.6455
West				-.14438	.41944	.999	-1.3538	1.0651
North				1.88310	.89831	.294	-.7072	4.4734
South				1.95310*	.59587	.016	.2349	3.6713
East				.75510	.65603	.859	-1.1366	2.6468
West			Central	-.98466	.56535	.506	-2.6148	.6455
			West	-1.12905	.62286	.460	-2.9251	.6670
			North	.89843	1.00945	.948	-2.0123	3.8092
			South	.96843	.75305	.792	-1.2030	3.1399
			East	-.22957	.80150	1.000	-2.5407	2.0816
West			Central	.14438	.41944	.999	-1.0651	1.3538
			West	1.12905	.62286	.460	-.6670	2.9251
			North	2.02748	.93557	.259	-.6702	4.7252
			South	2.09748*	.65069	.019	.2212	3.9737
			East	.89948	.70620	.799	-1.1368	2.9358
North			Central	-1.88310	.89831	.294	-4.4734	.7072
			West	-.89843	1.00945	.948	-3.8092	2.0123
			West	-2.02748	.93557	.259	-4.7252	.6702
			South	.07000	1.02685	1.000	-2.8909	3.0309
			East	-1.12800	1.06289	.896	-4.1929	1.9369
South			Central	-1.95310*	.59587	.016	-3.6713	-.2349
			West	-.96843	.75305	.792	-3.1399	1.2030
			West	-2.09748*	.65069	.019	-3.9737	-.2212
			North	-.07000	1.02685	1.000	-3.0309	2.8909
	East	-1.19800	.82331	.693	-3.5720	1.1760		
East	Central	-.75510	.65603	.859	-2.6468	1.1366		
	West	.22957	.80150	1.000	-2.0816	2.5407		
	West	-.89948	.70620	.799	-2.9358	1.1368		
	North	1.12800	1.06289	.896	-1.9369	4.1929		
	South	1.19800	.82331	.693	-1.1760	3.5720		

Multiple Comparisons

Dependent Variable	(I) Regions	(J) Regions	Mean Difference (I-J)	Std. Error	Sig.	95% Confidence Interval	
						Lower Bound	Upper Bound
Scheffe	Central	West	.98466	.56535	.695	-.9195	2.8889
		West	-.14438	.41944	1.000	-1.5571	1.2684
		North	1.88310	.89831	.497	-1.1426	4.9088
		South	1.95310	.59587	.062	-.0539	3.9601
		East	.75510	.65603	.932	-1.4545	2.9647
	West	Central	-.98466	.56535	.695	-2.8889	.9195
		West	-1.12905	.62286	.656	-3.2270	.9689
		North	.89843	1.00945	.977	-2.5016	4.2984
		South	.96843	.75305	.894	-1.5680	3.5048
		East	-.22957	.80150	1.000	-2.9292	2.4700
	West	Central	.14438	.41944	1.000	-1.2684	1.5571
		West	1.12905	.62286	.656	-.9689	3.2270
		North	2.02748	.93557	.457	-1.1237	5.1787
		South	2.09748	.65069	.071	-.0942	4.2891
		East	.89948	.70620	.898	-1.4791	3.2781
	North	Central	-1.88310	.89831	.497	-4.9088	1.1426
		West	-.89843	1.00945	.977	-4.2984	2.5016
		West	-2.02748	.93557	.457	-5.1787	1.1237
		South	.07000	1.02685	1.000	-3.3886	3.5286
		East	-1.12800	1.06289	.951	-4.7080	2.4520
	South	Central	-1.95310	.59587	.062	-3.9601	.0539
		West	-.96843	.75305	.894	-3.5048	1.5680
		West	-2.09748	.65069	.071	-4.2891	.0942
		North	-.07000	1.02685	1.000	-3.5286	3.3886
		East	-1.19800	.82331	.832	-3.9711	1.5751
	East	Central	-.75510	.65603	.932	-2.9647	1.4545
		West	.22957	.80150	1.000	-2.4700	2.9292
		West	-.89948	.70620	.898	-3.2781	1.4791
		North	1.12800	1.06289	.951	-2.4520	4.7080
		South	1.19800	.82331	.832	-1.5751	3.9711
Dunnett T3	Central	West	.98466	.44460	.373	-.4143	2.3836
		West	-.14438	.46929	1.000	-1.5683	1.2795
		North	1.88310	.90205	.528	-2.0181	5.7842
		South	1.95310*	.55442	.027	.1467	3.7595
		East	.75510	.28878	.146	-.1168	1.6270
	West	Central	-.98466	.44460	.373	-2.3836	.4143
		West	-1.12905	.54625	.466	-2.8084	.5503
		North	.89843	.94438	.989	-2.9408	4.7377
		South	.96843	.62092	.833	-1.0120	2.9488
		East	-.22957	.40193	1.000	-1.5412	1.0821
	West	Central	.14438	.46929	1.000	-1.2795	1.5683
		West	1.12905	.54625	.466	-.5503	2.8084
		North	2.02748	.95624	.498	-1.7937	5.8487
		South	2.09748*	.63883	.035	.0917	4.1033
		East	.89948	.42908	.446	-.4234	2.2223
	North	Central	-1.88310	.90205	.528	-5.7842	2.0181
		West	-.89843	.94438	.989	-4.7377	2.9408
		West	-2.02748	.95624	.498	-5.8487	1.7937
		South	.07000	1.00078	1.000	-3.7599	3.8999
		East	-1.12800	.88180	.916	-5.0854	2.8294
	South	Central	-1.95310*	.55442	.027	-3.7595	-.1467
		West	-.96843	.62092	.833	-2.9488	1.0120

**Multiple Comparisons**

Dependent Variable	(I) Regions	(J) Regions	Mean Difference (I-J)	Std. Error	Sig.	95% Confidence Interval	
						Lower Bound	Upper Bound
		West	-2.09748*	.63883	.035	-4.1033	-.0917
		North	-.07000	1.00078	1.000	-3.8999	3.7599
		East	-1.19800	.52083	.352	-2.9476	.5516
	East	Central	-.75510	.28878	.146	-1.6270	.1168
		West	.22957	.40193	1.000	-1.0821	1.5412
		West	-.89948	.42908	.446	-2.2223	.4234
		North	1.12800	.88180	.916	-2.8294	5.0854
		South	1.19800	.52083	.352	-.5516	2.9476

\*. The mean difference is significant at the 0.05 level.

## Homogeneous Subsets

**LightnessCN**

	Regions	N	Subset for alpha = 0.05		
			1	2	
Tukey HSD <sup>a,b</sup>	South	15	48.7567		
	East	12	52.8666	52.8666	
	West	37	53.4449	53.4449	
	West	17	55.3747	55.3747	
	Central	84		57.0349	
	North	6		58.2933	
	Sig.			.077	.230
	Scheffe <sup>a,b</sup>	South	15	48.7567	
East		12	52.8666	52.8666	
West		37	53.4449	53.4449	
West		17	55.3747	55.3747	
Central		84		57.0349	
North		6		58.2933	
Sig.				.199	.423

Means for groups in homogeneous subsets are displayed.

a. Uses Harmonic Mean Sample Size = 14.478.

b. The group sizes are unequal. The harmonic mean of the group sizes is used. Type I error levels are not guaranteed.

**RednessCN**

Regions		N	Subset for alpha = 0.05			
			1	2	3	4
Tukey HSD <sup>a,b</sup>	East	12	9.8179			
	North	6	11.9367	11.9367		
	West	17	12.4959	12.4959	12.4959	
	South	15		13.5296	13.5296	13.5296
	Central	84			15.2126	15.2126
	West	37				16.4416
	Sig.			.141	.686	.130
Scheffe <sup>a,b</sup>	East	12	9.8179			
	North	6	11.9367	11.9367		
	West	17	12.4959	12.4959		
	South	15		13.5296	13.5296	
	Central	84		15.2126	15.2126	
	West	37			16.4416	
	Sig.			.304	.112	.214

Means for groups in homogeneous subsets are displayed.

a. Uses Harmonic Mean Sample Size = 14.478.

b. The group sizes are unequal. The harmonic mean of the group sizes is used. Type I error levels are not guaranteed.

**YellownessCN**

Regions		N	Subset for alpha = 0.05
			1
Tukey HSD <sup>a,b</sup>	South	15	16.3133
	North	6	16.3833
	West	17	17.2818
	East	12	17.5113
	Central	84	18.2664
	West	37	18.4108
	Sig.		
Scheffe <sup>a,b</sup>	South	15	16.3133
	North	6	16.3833
	West	17	17.2818
	East	12	17.5113
	Central	84	18.2664
	West	37	18.4108
	Sig.		

Means for groups in homogeneous subsets are displayed.

a. Uses Harmonic Mean Sample Size = 14.478.

b. The group sizes are unequal. The harmonic mean of the group sizes is used. Type I error levels are not guaranteed.



```

ONEWAY LightnessA RednessA YellownessA BY Regions
  /STATISTICS HOMOGENEITY BROWNFORSYTHE
  /MISSING ANALYSIS
  /POSTHOC=TUKEY SCHEFFE T3 ALPHA(0.05) .

```

## Oneway

### Notes

Output Created	03-AUG-2021 16:37:47	
Comments		
Input	Data	C:\Users\Toon-notebook\onedrive-nutticha\OneDrive - Rajamakala University of Technology Thanyaburi\Ph. d\thesis\statistic\factors statistic_test.sav
	Active Dataset	DataSet1
	Filter	<none>
	Weight	<none>
	Split File	<none>
	N of Rows in Working Data File	171
Missing Value Handling	Definition of Missing	User-defined missing values are treated as missing.
	Cases Used	Statistics for each analysis are based on cases with no missing data for any variable in the analysis.
Syntax	ONEWAY LightnessA RednessA YellownessA BY Regions /STATISTICS HOMOGENEITY BROWNFORSYTHE /MISSING ANALYSIS /POSTHOC=TUKEY SCHEFFE T3 ALPHA(0.05).	
Resources	Processor Time	00:00:00.22
	Elapsed Time	00:00:00.26

### Test of Homogeneity of Variances

	Levene Statistic	df1	df2	Sig.
LightnessA	1.894	5	165	.098
RednessA	4.247	5	165	.001
YellownessA	2.919	5	165	.015

**ANOVA**

		Sum of Squares	df	Mean Square	F	Sig.
LightnessA	Between Groups	1811.723	5	362.345	5.970	.000
	Within Groups	10015.260	165	60.699		
	Total	11826.983	170			
RednessA	Between Groups	182.929	5	36.586	7.829	.000
	Within Groups	771.090	165	4.673		
	Total	954.019	170			
YellownessA	Between Groups	186.455	5	37.291	6.550	.000
	Within Groups	939.398	165	5.693		
	Total	1125.852	170			

**Robust Tests of Equality of Means**

		Statistic <sup>a</sup>	df1	df2	Sig.
LightnessA	Brown-Forsythe	7.308	5	83.072	.000
RednessA	Brown-Forsythe	10.179	5	72.663	.000
YellownessA	Brown-Forsythe	9.674	5	84.464	.000

a. Asymptotically F distributed.

**Post Hoc Tests**



Multiple Comparisons

Dependent Variable	(I) Regions	(J) Regions	Mean Difference (I-J)	Std. Error	Sig.	95% Confidence Interval				
						Lower Bound	Upper Bound			
LightnessA	Tukey HSD	Central	West	-3.59395	2.07198	.511	-9.5685	2.3806		
			West	2.91212	1.53724	.409	-1.5205	7.3448		
			North	-11.11738*	3.29227	.012	-20.6106	-1.6241		
			South	5.94155	2.18384	.077	-.3556	12.2387		
			East	2.26187	2.40433	.935	-4.6710	9.1948		
		West	Central	3.59395	2.07198	.511	-2.3806	9.5685		
			West	6.50607	2.28276	.055	-.0763	13.0884		
			North	-7.52343	3.69958	.328	-18.1912	3.1443		
			South	9.53550*	2.75990	.009	1.5773	17.4937		
			East	5.85582	2.93747	.350	-2.6144	14.3260		
		West	Central	-2.91212	1.53724	.409	-7.3448	1.5205		
			West	-6.50607	2.28276	.055	-13.0884	.0763		
			North	-14.02950*	3.42884	.001	-23.9166	-4.1424		
			South	3.02943	2.38476	.801	-3.8470	9.9059		
			East	-.65025	2.58819	1.000	-8.1133	6.8128		
		North	Central	11.11738*	3.29227	.012	1.6241	20.6106		
			West	7.52343	3.69958	.328	-3.1443	18.1912		
			West	14.02950*	3.42884	.001	4.1424	23.9166		
			South	17.05893*	3.76338	.000	6.2072	27.9106		
			East	13.37925*	3.89546	.010	2.1467	24.6118		
		South	Central	-5.94155	2.18384	.077	-12.2387	.3556		
			West	-9.53550*	2.75990	.009	-17.4937	-1.5773		
			West	-3.02943	2.38476	.801	-9.9059	3.8470		
			North	-17.05893*	3.76338	.000	-27.9106	-6.2072		
			East	-3.67968	3.01741	.827	-12.3804	5.0210		
		East	Central	-2.26187	2.40433	.935	-9.1948	4.6710		
			West	-5.85582	2.93747	.350	-14.3260	2.6144		
			West	.65025	2.58819	1.000	-6.8128	8.1133		
			North	-13.37925*	3.89546	.010	-24.6118	-2.1467		
			South	3.67968	3.01741	.827	-5.0210	12.3804		
		Scheffe		Central	West	-3.59395	2.07198	.699	-10.5728	3.3849
					West	2.91212	1.53724	.611	-2.2656	8.0898
					North	-11.11738*	3.29227	.049	-22.2063	-.0284
					South	5.94155	2.18384	.199	-1.4140	13.2971
					East	2.26187	2.40433	.971	-5.8364	10.3601
				West	Central	3.59395	2.07198	.699	-3.3849	10.5728
					West	6.50607	2.28276	.156	-1.1827	14.1948
					North	-7.52343	3.69958	.532	-19.9843	4.9374
					South	9.53550*	2.75990	.040	.2396	18.8314
					East	5.85582	2.93747	.555	-4.0381	15.7497
				West	Central	-2.91212	1.53724	.611	-8.0898	2.2656
					West	-6.50607	2.28276	.156	-14.1948	1.1827
					North	-14.02950*	3.42884	.007	-25.5785	-2.4806
					South	3.02943	2.38476	.899	-5.0029	11.0617
					East	-.65025	2.58819	1.000	-9.3677	8.0672
North	Central			11.11738*	3.29227	.049	.0284	22.2063		
	West			7.52343	3.69958	.532	-4.9374	19.9843		
	West			14.02950*	3.42884	.007	2.4806	25.5785		
	South			17.05893*	3.76338	.002	4.3832	29.7347		
	East			13.37925*	3.89546	.042	.2586	26.4999		
South	Central			-5.94155	2.18384	.199	-13.2971	1.4140		
	West			-9.53550*	2.75990	.040	-18.8314	-.2396		
	West			-3.02943	2.38476	.899	-11.0617	5.0029		



Multiple Comparisons

Dependent Variable	(I) Regions	(J) Regions	Mean Difference (I-J)	Std. Error	Sig.	95% Confidence Interval		
						Lower Bound	Upper Bound	
Dunnett T3		North	-17.05893*	3.76338	.002	-29.7347	-4.3832	
		East	-3.67968	3.01741	.914	-13.8429	6.4835	
		East	Central	-2.26187	2.40433	.971	-10.3601	5.8364
		West	-5.85582	2.93747	.555	-15.7497	4.0381	
		West	.65025	2.58819	1.000	-8.0672	9.3677	
		North	-13.37925*	3.89546	.042	-26.4999	-.2586	
	Central	South	3.67968	3.01741	.914	-6.4835	13.8429	
		West	-3.59395	2.06247	.713	-10.2792	3.0913	
		West	2.91212	1.69415	.735	-2.2434	8.0676	
		North	-11.11738*	1.26481	.000	-15.4514	-6.7834	
		South	5.94155	2.44728	.283	-2.2081	14.0912	
		East	2.26187	1.64192	.915	-3.1494	7.6731	
	West	Central	3.59395	2.06247	.713	-3.0913	10.2792	
		West	6.50607	2.40279	.136	-.9941	14.0062	
		North	-7.52343*	2.12203	.027	-14.4547	-.5922	
		South	9.53550*	2.98202	.047	.0642	19.0068	
		East	5.85582	2.36625	.238	-1.6896	13.4013	
		Central	-2.91212	1.69415	.735	-8.0676	2.2434	
	West	West	-6.50607	2.40279	.136	-14.0062	.9941	
		North	-14.02950*	1.76617	.000	-19.5841	-8.4749	
		South	3.02943	2.74022	.985	-5.7240	11.7829	
		East	-.65025	2.05317	1.000	-7.0648	5.7643	
		Central	11.11738*	1.26481	.000	6.7834	15.4514	
		West	7.52343*	2.12203	.027	.5922	14.4547	
	North	West	14.02950*	1.76617	.000	8.4749	19.5841	
		South	17.05893*	2.49768	.000	8.7446	25.3733	
		East	13.37925*	1.71613	.000	7.5843	19.1742	
		Central	-5.94155	2.44728	.283	-14.0912	2.2081	
		West	-9.53550*	2.98202	.047	-19.0068	-.0642	
		West	-3.02943	2.74022	.985	-11.7829	5.7240	
South	North	-17.05893*	2.49768	.000	-25.3733	-8.7446		
	East	-3.67968	2.70824	.924	-12.4552	5.0958		
	Central	-2.26187	1.64192	.915	-7.6731	3.1494		
	West	-5.85582	2.36625	.238	-13.4013	1.6896		
	West	.65025	2.05317	1.000	-5.7643	7.0648		
	North	-13.37925*	1.71613	.000	-19.1742	-7.5843		
RednessA	Tukey HSD	Central	South	3.67968	2.70824	.924	-5.0958	12.4552
			East	1.28637	.57492	.226	-.3714	2.9442
			West	-1.76536*	.42654	.001	-2.9953	-.5354
			North	2.01500	.91352	.241	-.6191	4.6491
			South	-1.16087	.60596	.396	-2.9081	.5864
			East	.63392	.66714	.933	-1.2898	2.5576
	West	Central	-1.28637	.57492	.226	-2.9442	.3714	
		West	-3.05173*	.63341	.000	-4.8782	-1.2253	
		North	.72863	1.02654	.981	-2.2314	3.6886	
		South	-2.44724*	.76580	.020	-4.6554	-.2391	
		East	-.65246	.81507	.967	-3.0027	1.6978	
		Central	1.76536*	.42654	.001	.5354	2.9953	
	West	West	3.05173*	.63341	.000	1.2253	4.8782	
		North	3.78036*	.95141	.001	1.0370	6.5238	
		South	.60449	.66171	.943	-1.3035	2.5125	
		East	2.39928*	.71815	.013	.3285	4.4701	

Multiple Comparisons

Dependent Variable	(I) Regions	(J) Regions	Mean Difference (I-J)	Std. Error	Sig.	95% Confidence Interval	
						Lower Bound	Upper Bound
	North	Central	-2.01500	.91352	.241	-4.6491	.6191
		West	-.72863	1.02654	.981	-3.6886	2.2314
		West	-3.78036*	.95141	.001	-6.5238	-1.0370
		South	-3.17587*	1.04424	.032	-6.1869	-.1648
		East	-1.38108	1.08089	.797	-4.4978	1.7357
	South	Central	1.16087	.60596	.396	-.5864	2.9081
		West	2.44724*	.76580	.020	.2391	4.6554
		West	-.60449	.66171	.943	-2.5125	1.3035
		North	3.17587*	1.04424	.032	.1648	6.1869
		East	1.79478	.83725	.270	-.6194	4.2090
	East	Central	-.63392	.66714	.933	-2.5576	1.2898
		West	.65246	.81507	.967	-1.6978	3.0027
		West	-2.39928*	.71815	.013	-4.4701	-.3285
		North	1.38108	1.08089	.797	-1.7357	4.4978
		South	-1.79478	.83725	.270	-4.2090	.6194
Scheffe	Central	West	1.28637	.57492	.419	-.6501	3.2228
		West	-1.76536*	.42654	.006	-3.2020	-.3287
		North	2.01500	.91352	.436	-1.0619	5.0919
		South	-1.16087	.60596	.599	-3.2018	.8801
		East	.63392	.66714	.970	-1.6131	2.8810
	West	Central	-1.28637	.57492	.419	-3.2228	.6501
		West	-3.05173*	.63341	.001	-5.1852	-.9183
		North	.72863	1.02654	.992	-2.7289	4.1862
		South	-2.44724	.76580	.075	-5.0266	.1321
		East	-.65246	.81507	.986	-3.3978	2.0928
	West	Central	1.76536*	.42654	.006	.3287	3.2020
		West	3.05173*	.63341	.001	.9183	5.1852
		North	3.78036*	.95141	.009	.5758	6.9849
		South	.60449	.66171	.974	-1.6243	2.8332
		East	2.39928	.71815	.053	-.0196	4.8181
North	Central	-2.01500	.91352	.436	-5.0919	1.0619	
	West	-.72863	1.02654	.992	-4.1862	2.7289	
	West	-3.78036*	.95141	.009	-6.9849	-.5758	
	South	-3.17587	1.04424	.106	-6.6930	.3413	
	East	-1.38108	1.08089	.896	-5.0217	2.2595	
South	Central	1.16087	.60596	.599	-.8801	3.2018	
	West	2.44724	.76580	.075	-.1321	5.0266	
	West	-.60449	.66171	.974	-2.8332	1.6243	
	North	3.17587	1.04424	.106	-.3413	6.6930	
	East	1.79478	.83725	.470	-1.0252	4.6148	
East	Central	-.63392	.66714	.970	-2.8810	1.6131	
	West	.65246	.81507	.986	-2.0928	3.3978	
	West	-2.39928	.71815	.053	-4.8181	.0196	
	North	1.38108	1.08089	.896	-2.2595	5.0217	
	South	-1.79478	.83725	.470	-4.6148	1.0252	
Dunnnett T3	Central	West	1.28637	.57017	.359	-.5521	3.1249
		West	-1.76536*	.44136	.002	-3.1013	-.4294
		North	2.01500*	.40637	.005	.5741	3.4559
		South	-1.16087	.71860	.793	-3.5527	1.2310
		East	.63392	.33163	.587	-.3893	1.6571
	West	Central	-1.28637	.57017	.359	-3.1249	.5521
		West	-3.05173*	.63379	.000	-5.0416	-1.0618
		North	.72863	.60994	.969	-1.2650	2.7222

Multiple Comparisons

Dependent Variable	(I) Regions	(J) Regions	Mean Difference (I-J)	Std. Error	Sig.	95% Confidence Interval		
						Lower Bound	Upper Bound	
		South	-2.44724	.85045	.102	-5.1569	.2624	
		East	-.65246	.56291	.976	-2.4848	1.1799	
	West	Central	1.76536*	.44136	.002	.4294	3.1013	
		West	3.05173*	.63379	.000	1.0618	5.0416	
		North	3.78036*	.49165	.000	2.1769	5.3838	
		South	.60449	.77004	.999	-1.8881	3.0971	
		East	2.39928*	.43194	.000	1.0711	3.7274	
	North	Central	-2.01500*	.40637	.005	-3.4559	-.5741	
		West	-.72863	.60994	.969	-2.7222	1.2650	
		West	-3.78036*	.49165	.000	-5.3838	-2.1769	
		South	-3.17587*	.75054	.007	-5.6626	-.6892	
		East	-1.38108	.39612	.068	-2.8404	.0783	
	South	Central	1.16087	.71860	.793	-1.2310	3.5527	
		West	2.44724	.85045	.102	-.2624	5.1569	
		West	-.60449	.77004	.999	-3.0971	1.8881	
		North	3.17587*	.75054	.007	.6892	5.6626	
		East	1.79478	.71285	.245	-.5919	4.1815	
	East	Central	-.63392	.33163	.587	-1.6571	.3893	
		West	.65246	.56291	.976	-1.1799	2.4848	
		West	-2.39928	.43194	.000	-3.7274	-1.0711	
North		1.38108	.39612	.068	-.0783	2.8404		
South		-1.79478	.71285	.245	-4.1815	.5919		
YellownessA	Tukey HSD	Central	West	.41005	.63457	.987	-1.4197	2.2398
			West	-.84827	.47080	.467	-2.2058	.5093
			North	3.31417*	1.00830	.015	.4067	6.2216
			South	.58850	.66883	.951	-1.3401	2.5171
			East	-2.74908	.73636	.003	-4.8724	-.6258
		West	Central	-.41005	.63457	.987	-2.2398	1.4197
			West	-1.25831	.69912	.469	-3.2742	.7576
			North	2.90412	1.13304	.112	-.3630	6.1713
			South	.17845	.84525	1.000	-2.2588	2.6157
			East	-3.15913	.89964	.007	-5.7532	-.5650
		West	Central	.84827	.47080	.467	-.5093	2.2058
			West	1.25831	.69912	.469	-.7576	3.2742
			North	4.16243	1.05012	.002	1.1344	7.1905
			South	1.43677	.73036	.366	-.6692	3.5428
			East	-1.90082	.79266	.163	-4.1865	.3848
		North	Central	-3.31417*	1.00830	.015	-6.2216	-.4067
			West	-2.90412	1.13304	.112	-6.1713	.3630
			West	-4.16243	1.05012	.002	-7.1905	-1.1344
			South	-2.72567	1.15258	.175	-6.0491	.5978
			East	-6.06325	1.19303	.000	-9.5034	-2.6231
		South	Central	-.58850	.66883	.951	-2.5171	1.3401
			West	-.17845	.84525	1.000	-2.6157	2.2588
			West	-1.43677	.73036	.366	-3.5428	.6692
			North	2.72567	1.15258	.175	-.5978	6.0491
			East	-3.33758	.92412	.005	-6.0023	-.6729
		East	Central	2.74908*	.73636	.003	.6258	4.8724
			West	3.15913*	.89964	.007	.5650	5.7532
			West	1.90082	.79266	.163	-.3848	4.1865
			North	6.06325*	1.19303	.000	2.6231	9.5034
			South	3.33758*	.92412	.005	.6729	6.0023

Multiple Comparisons

Dependent Variable	(I) Regions	(J) Regions	Mean Difference (I-J)	Std. Error	Sig.	95% Confidence Interval	
						Lower Bound	Upper Bound
Scheffe	Central	West	.41005	.63457	.995	-1.7273	2.5474
		West	-.84827	.47080	.662	-2.4340	.7375
		North	3.31417	1.00830	.061	-.0820	6.7103
		South	.58850	.66883	.978	-1.6642	2.8412
		East	-2.74908*	.73636	.019	-5.2293	-.2689
	West	Central	-.41005	.63457	.995	-2.5474	1.7273
		West	-1.25831	.69912	.663	-3.6131	1.0965
		North	2.90412	1.13304	.261	-.9122	6.7204
		South	.17845	.84525	1.000	-2.6685	3.0254
		East	-3.15913*	.89964	.035	-6.1893	-.1290
	West	Central	.84827	.47080	.662	-.7375	2.4340
		West	1.25831	.69912	.663	-1.0965	3.6131
		North	4.16243*	1.05012	.010	.6254	7.6994
		South	1.43677	.73036	.570	-1.0232	3.8968
		East	-1.90082	.79266	.336	-4.5707	.7690
	North	Central	-3.31417	1.00830	.061	-6.7103	.0820
		West	-2.90412	1.13304	.261	-6.7204	.9122
		West	-4.16243*	1.05012	.010	-7.6994	-.6254
		South	-2.72567	1.15258	.353	-6.6078	1.1564
		East	-6.06325*	1.19303	.000	-10.0816	-2.0449
	South	Central	-.58850	.66883	.978	-2.8412	1.6642
		West	-.17845	.84525	1.000	-3.0254	2.6685
		West	-1.43677	.73036	.570	-3.8968	1.0232
		North	2.72567	1.15258	.353	-1.1564	6.6078
		East	-3.33758*	.92412	.027	-6.4502	-.2250
	East	Central	2.74908*	.73636	.019	.2689	5.2293
		West	3.15913*	.89964	.035	.1290	6.1893
		West	1.90082	.79266	.336	-.7690	4.5707
		North	6.06325*	1.19303	.000	2.0449	10.0816
		South	3.33758*	.92412	.027	.2250	6.4502
Dunnnett T3	Central	West	.41005	.69540	1.000	-1.8376	2.6577
		West	-.84827	.46482	.653	-2.2481	.5515
		North	3.31417	.50771	.001	1.4750	5.1533
		South	.58850	.62292	.996	-1.4316	2.6086
		East	-2.74908*	.36270	.000	-3.8537	-1.6444
	West	Central	-.41005	.69540	1.000	-2.6577	1.8376
		West	-1.25831	.73083	.729	-3.5864	1.0698
		North	2.90412	.75883	.014	.4207	5.3875
		South	.17845	.84028	1.000	-2.4774	2.8343
		East	-3.15913*	.67052	.002	-5.3635	-.9547
	West	Central	.84827	.46482	.653	-.5515	2.2481
		West	1.25831	.73083	.729	-1.0698	3.5864
		North	4.16243*	.55525	.000	2.2568	6.0681
		South	1.43677	.66224	.408	-.6740	3.5475
		East	-1.90082*	.42671	.001	-3.2128	-.5889
	North	Central	-3.31417*	.50771	.001	-5.1533	-1.4750
		West	-2.90412*	.75883	.014	-5.3875	-.4207
		West	-4.16243*	.55525	.000	-6.0681	-2.2568
		South	-2.72567*	.69302	.014	-5.0284	-.4230
		East	-6.06325*	.47307	.000	-7.9106	-4.2159
	South	Central	-.58850	.62292	.996	-2.6086	1.4316
		West	-.17845	.84028	1.000	-2.8343	2.4774
		West	-1.43677	.66224	.408	-3.5475	.6740

### Multiple Comparisons

Dependent Variable	(I) Regions	(J) Regions	Mean Difference (I-J)	Std. Error	Sig.	95% Confidence Interval	
						Lower Bound	Upper Bound
		North	2.72567*	.69302	.014	.4230	5.0284
		East	-3.33758*	.59502	.000	-5.3120	-1.3631
	East	Central	2.74908*	.36270	.000	1.6444	3.8537
		West	3.15913*	.67052	.002	.9547	5.3635
		West	1.90082*	.42671	.001	.5889	3.2128
		North	6.06325*	.47307	.000	4.2159	7.9106
		South	3.33758*	.59502	.000	1.3631	5.3120

\*. The mean difference is significant at the 0.05 level.

### Homogeneous Subsets

#### LightnessA

Regions	N	Subset for alpha = 0.05		
		1	2	3
Tukey HSD <sup>a,b</sup>				
South	15	55.9727		
West	37	59.0022	59.0022	
East	12	59.6524	59.6524	
Central	84	61.9143	61.9143	
West	17		65.5082	65.5082
North	6			73.0317
Sig.		.318	.222	.103
Scheffe <sup>a,b</sup>				
South	15	55.9727		
West	37	59.0022		
East	12	59.6524		
Central	84	61.9143		
West	17	65.5082	65.5082	
North	6		73.0317	
Sig.		.060	.246	

Means for groups in homogeneous subsets are displayed.

a. Uses Harmonic Mean Sample Size = 14.478.

b. The group sizes are unequal. The harmonic mean of the group sizes is used. Type I error levels are not guaranteed.

**RednessA**

Regions		N	Subset for alpha = 0.05		
			1	2	3
Tukey HSD <sup>a,b</sup>	North	6	9.4267		
	West	17	10.1553		
	East	12	10.8078	10.8078	
	Central	84	11.4417	11.4417	11.4417
	South	15		12.6025	12.6025
	West	37			13.2070
	Sig.			.128	.228
Scheffe <sup>a,b</sup>	North	6	9.4267		
	West	17	10.1553	10.1553	
	East	12	10.8078	10.8078	10.8078
	Central	84	11.4417	11.4417	11.4417
	South	15		12.6025	12.6025
	West	37			13.2070
	Sig.			.285	.105

Means for groups in homogeneous subsets are displayed.

a. Uses Harmonic Mean Sample Size = 14.478.

b. The group sizes are unequal. The harmonic mean of the group sizes is used. Type I error levels are not guaranteed.

**YellownessA**

Regions		N	Subset for alpha = 0.05		
			1	2	3
Tukey HSD <sup>a,b</sup>	North	6	15.1000		
	South	15		17.8257	
	West	17		18.0041	
	Central	84		18.4142	
	West	37		19.2624	19.2624
	East	12			21.1633
	Sig.			1.000	.586
Scheffe <sup>a,b</sup>	North	6	15.1000		
	South	15	17.8257	17.8257	
	West	17	18.0041	18.0041	
	Central	84		18.4142	18.4142
	West	37		19.2624	19.2624
	East	12			21.1633
	Sig.			.063	.757

Means for groups in homogeneous subsets are displayed.

a. Uses Harmonic Mean Sample Size = 14.478.

b. The group sizes are unequal. The harmonic mean of the group sizes is used. Type I error levels are not guaranteed.

```

ONEWAY ChromaCK ChromaF ChromaCN ChromaA BY Regions
/STATISTICS HOMOGENEITY BROWNFORSYTHE
/MISSING ANALYSIS
/POSTHOC=TUKEY SCHEFFE T3 ALPHA(0.05) .

```

## Oneway

### Notes

Output Created	03-AUG-2021 16:38:50	
Comments		
Input	Data	C:\Users\Toon-notebook\onedrive-nutticha\OneDrive - Rajamakala University of Technology Thanyaburi\Ph. d\thesis\statistic\factors statistic_test.sav
	Active Dataset	DataSet1
	Filter	<none>
	Weight	<none>
	Split File	<none>
	N of Rows in Working Data File	171
Missing Value Handling	Definition of Missing	User-defined missing values are treated as missing.
	Cases Used	Statistics for each analysis are based on cases with no missing data for any variable in the analysis.
Syntax	ONEWAY ChromaCK ChromaF ChromaCN ChromaA BY Regions /STATISTICS HOMOGENEITY BROWNFORSYTHE /MISSING ANALYSIS /POSTHOC=TUKEY SCHEFFE T3 ALPHA(0.05).	
Resources	Processor Time	00:00:00.30
	Elapsed Time	00:00:00.31

### Test of Homogeneity of Variances

	Levene Statistic	df1	df2	Sig.
ChromaCK	3.381	5	165	.006
ChromaF	.864	5	165	.507
ChromaCN	2.314	5	165	.046
ChromaA	.856	5	165	.512

### ANOVA

		Sum of Squares	df	Mean Square	F	Sig.
ChromaCK	Between Groups	234.745	5	46.949	8.029	.000
	Within Groups	964.797	165	5.847		
	Total	1199.542	170			
ChromaF	Between Groups	415.868	5	83.174	13.100	.000
	Within Groups	1047.571	165	6.349		
	Total	1463.439	170			
ChromaCN	Between Groups	367.780	5	73.556	11.055	.000
	Within Groups	1097.815	165	6.653		
	Total	1465.594	170			
ChromaA	Between Groups	137.829	5	27.566	3.455	.005
	Within Groups	1316.452	165	7.978		
	Total	1454.281	170			

### Robust Tests of Equality of Means

		Statistic <sup>a</sup>	df1	df2	Sig.
ChromaCK	Brown-Forsythe	11.491	5	95.478	.000
ChromaF	Brown-Forsythe	16.127	5	85.660	.000
ChromaCN	Brown-Forsythe	15.172	5	93.669	.000
ChromaA	Brown-Forsythe	4.234	5	79.968	.002

a. Asymptotically F distributed.

### Post Hoc Tests





Multiple Comparisons

Dependent Variable	(I) Regions	(J) Regions	Mean Difference (I-J)	Std. Error	Sig.	95% Confidence Interval				
						Lower Bound	Upper Bound			
ChromaCK	Tukey HSD	Central	West	.17544	.64309	1.000	-1.6789	2.0298		
			West	-2.27209*	.47712	.000	-3.6479	-.8963		
			North	1.52417	1.02184	.670	-1.4223	4.4706		
			South	-1.36017	.67781	.343	-3.3146	.5943		
			East	1.64250	.74624	.243	-.5093	3.7943		
		West	Central	-.17544	.64309	1.000	-2.0298	1.6789		
			West	-2.44754*	.70851	.009	-4.4905	-.4045		
			North	1.34873	1.14826	.848	-1.9623	4.6597		
			South	-1.53561	.85661	.473	-4.0056	.9344		
			East	1.46706	.91172	.594	-1.1619	4.0960		
		West	Central	2.27209*	.47712	.000	.8963	3.6479		
			West	2.44754*	.70851	.009	.4045	4.4905		
			North	3.79626*	1.06423	.006	.7276	6.8650		
			South	.91193	.74017	.821	-1.2224	3.0462		
			East	3.91459*	.80331	.000	1.5983	6.2309		
		North	Central	-1.52417	1.02184	.670	-4.4706	1.4223		
			West	-1.34873	1.14826	.848	-4.6597	1.9623		
			West	-3.79626*	1.06423	.006	-6.8650	-.7276		
			South	-2.88433	1.16806	.139	-6.2524	.4838		
			East	.11833	1.20905	1.000	-3.3680	3.6046		
		South	Central	1.36017	.67781	.343	-.5943	3.3146		
			West	1.53561	.85661	.473	-.9344	4.0056		
			West	-.91193	.74017	.821	-3.0462	1.2224		
			North	2.88433	1.16806	.139	-.4838	6.2524		
			East	3.00267*	.93653	.020	.3022	5.7032		
		East	Central	-1.64250	.74624	.243	-3.7943	.5093		
			West	-1.46706	.91172	.594	-4.0960	1.1619		
			West	-3.91459*	.80331	.000	-6.2309	-1.5983		
			North	-.11833	1.20905	1.000	-3.6046	3.3680		
			South	-3.00267*	.93653	.020	-5.7032	-.3022		
		Scheffe		Central	West	.17544	.64309	1.000	-1.9906	2.3415
					West	-2.27209*	.47712	.001	-3.8791	-.6651
					North	1.52417	1.02184	.816	-1.9176	4.9659
					South	-1.36017	.67781	.547	-3.6432	.9228
					East	1.64250	.74624	.439	-.8710	4.1560
West	Central			-.17544	.64309	1.000	-2.3415	1.9906		
	West			-2.44754*	.70851	.040	-4.8339	-.0611		
	North			1.34873	1.14826	.926	-2.5188	5.2163		
	South			-1.53561	.85661	.667	-4.4208	1.3496		
	East			1.46706	.91172	.763	-1.6038	4.5379		
West	Central			2.27209*	.47712	.001	.6651	3.8791		
	West			2.44754*	.70851	.040	.0611	4.8339		
	North			3.79626*	1.06423	.030	.2118	7.3808		
	South			.91193	.74017	.910	-1.5811	3.4050		
	East			3.91459*	.80331	.000	1.2089	6.6203		
North	Central			-1.52417	1.02184	.816	-4.9659	1.9176		
	West			-1.34873	1.14826	.926	-5.2163	2.5188		
	West			-3.79626*	1.06423	.030	-7.3808	-.2118		
	South			-2.88433	1.16806	.302	-6.8186	1.0499		
	East			.11833	1.20905	1.000	-3.9540	4.1907		
South	Central			1.36017	.67781	.547	-.9228	3.6432		
	West			1.53561	.85661	.667	-1.3496	4.4208		

**Multiple Comparisons**

Dependent Variable	(I) Regions	(J) Regions	Mean Difference (I-J)	Std. Error	Sig.	95% Confidence Interval		
						Lower Bound	Upper Bound	
Dunnett T3	West	West	-.91193	.74017	.910	-3.4050	1.5811	
		North	2.88433	1.16806	.302	-1.0499	6.8186	
		East	3.00267	.93653	.074	-.1517	6.1571	
		East	Central	-1.64250	.74624	.439	-4.1560	.8710
			West	-1.46706	.91172	.763	-4.5379	1.6038
			West	-3.91459*	.80331	.000	-6.6203	-1.2089
		North	North	-.11833	1.20905	1.000	-4.1907	3.9540
	South		-3.00267	.93653	.074	-6.1571	.1517	
	Central	West	.17544	.48352	1.000	-1.3429	1.6938	
		West	-2.27209*	.55664	.002	-3.9659	-.5783	
		North	1.52417	.67746	.436	-1.2122	4.2605	
		South	-1.36017	.63172	.428	-3.4241	.7038	
		East	1.64250*	.43442	.011	.2621	3.0229	
	West	Central	-.17544	.48352	1.000	-1.6938	1.3429	
		West	-2.44754*	.63018	.005	-4.3791	-.5159	
		North	1.34873	.73907	.659	-1.4003	4.0977	
		South	-1.53561	.69738	.389	-3.7670	.6958	
		East	1.46706	.52535	.123	-.2070	3.1411	
	West	Central	2.27209*	.55664	.002	.5783	3.9659	
		West	2.44754*	.63018	.005	.5159	4.3791	
		North	3.79626*	.78885	.005	1.0191	6.5734	
		South	.91193	.74993	.970	-1.4336	3.2574	
		East	3.91459*	.59334	.000	2.0865	5.7427	
	North	Central	-1.52417	.67746	.436	-4.2605	1.2122	
		West	-1.34873	.73907	.659	-4.0977	1.4003	
		West	-3.79626*	.78885	.005	-6.5734	-1.0191	
		South	-2.88433	.84351	.054	-5.8064	.0378	
		East	.11833	.70792	1.000	-2.6253	2.8620	
	South	Central	1.36017	.63172	.428	-.7038	3.4241	
		West	1.53561	.69738	.389	-.6958	3.7670	
West		-.91193	.74993	.970	-3.2574	1.4336		
North		2.88433	.84351	.054	-.0378	5.8064		
East		3.00267*	.66428	.002	.8464	5.1589		
East	Central	-1.64250*	.43442	.011	-3.0229	-.2621		
	West	-1.46706	.52535	.123	-3.1411	.2070		
	West	-3.91459*	.59334	.000	-5.7427	-2.0865		
	North	-.11833	.70792	1.000	-2.8620	2.6253		
	South	-3.00267*	.66428	.002	-5.1589	-.8464		
ChromaF	Tukey HSD	Central	West	1.81567	.67011	.079	-.1166	3.7479
			West	-1.82251*	.49717	.004	-3.2561	-.3889
			North	3.23655*	1.06477	.032	.1663	6.3068
			South	3.47621*	.70629	.000	1.4396	5.5128
			East	.43571	.77760	.993	-1.8065	2.6779
	West	Central	-1.81567	.67011	.079	-3.7479	.1166	
		West	-3.63817*	.73828	.000	-5.7670	-1.5093	
		North	1.42088	1.19650	.842	-2.0292	4.8710	
		South	1.66055	.89260	.430	-.9133	4.2344	
		East	-1.37995	.95002	.695	-4.1193	1.3594	
West	Central	1.82251*	.49717	.004	.3889	3.2561		
	West	3.63817*	.73828	.000	1.5093	5.7670		

Multiple Comparisons

Dependent Variable	(I) Regions	(J) Regions	Mean Difference (I-J)	Std. Error	Sig.	95% Confidence Interval		
						Lower Bound	Upper Bound	
		North	5.05905*	1.10894	.000	1.8614	8.2567	
		South	5.29872*	.77127	.000	3.0748	7.5227	
		East	2.25822	.83706	.081	-.1554	4.6719	
	North	Central	-3.23655*	1.06477	.032	-6.3068	-.1663	
		West	-1.42088	1.19650	.842	-4.8710	2.0292	
		West	-5.05905*	1.10894	.000	-8.2567	-1.8614	
		South	.23967	1.21713	1.000	-3.2699	3.7493	
		East	-2.80083	1.25985	.233	-6.4336	.8320	
	South	Central	-3.47621*	.70629	.000	-5.5128	-1.4396	
		West	-1.66055	.89260	.430	-4.2344	.9133	
		West	-5.29872*	.77127	.000	-7.5227	-3.0748	
		North	-.23967	1.21713	1.000	-3.7493	3.2699	
		East	-3.04050*	.97588	.026	-5.8544	-.2266	
	East	Central	-.43571	.77760	.993	-2.6779	1.8065	
		West	1.37995	.95002	.695	-1.3594	4.1193	
		West	-2.25822	.83706	.081	-4.6719	.1554	
		North	2.80083	1.25985	.233	-.8320	6.4336	
		South	3.04050*	.97588	.026	.2266	5.8544	
	Scheffe	Central	West	1.81567	.67011	.203	-.4414	4.0727
			West	-1.82251*	.49717	.023	-3.4971	-.1480
North			3.23655	1.06477	.106	-.3498	6.8229	
South			3.47621*	.70629	.000	1.0973	5.8551	
East			.43571	.77760	.997	-2.1834	3.0548	
West		Central	-1.81567	.67011	.203	-4.0727	.4414	
		West	-3.63817*	.73828	.000	-6.1248	-1.1515	
		North	1.42088	1.19650	.922	-2.6092	5.4509	
		South	1.66055	.89260	.630	-1.3459	4.6670	
		East	-1.37995	.95002	.833	-4.5798	1.8199	
West		Central	1.82251*	.49717	.023	.1480	3.4971	
		West	3.63817*	.73828	.000	1.1515	6.1248	
		North	5.05905*	1.10894	.001	1.3239	8.7942	
		South	5.29872*	.77127	.000	2.7010	7.8965	
		East	2.25822	.83706	.207	-.5611	5.0776	
North		Central	-3.23655	1.06477	.106	-6.8229	.3498	
		West	-1.42088	1.19650	.922	-5.4509	2.6092	
		West	-5.05905*	1.10894	.001	-8.7942	-1.3239	
		South	.23967	1.21713	1.000	-3.8599	4.3392	
		East	-2.80083	1.25985	.426	-7.0442	1.4426	
South	Central	-3.47621*	.70629	.000	-5.8551	-1.0973		
	West	-1.66055	.89260	.630	-4.6670	1.3459		
	West	-5.29872*	.77127	.000	-7.8965	-2.7010		
	North	-.23967	1.21713	1.000	-4.3392	3.8599		
	East	-3.04050	.97588	.090	-6.3274	.2464		
East	Central	-.43571	.77760	.997	-3.0548	2.1834		
	West	1.37995	.95002	.833	-1.8199	4.5798		
	West	-2.25822	.83706	.207	-5.0776	.5611		
	North	2.80083	1.25985	.426	-1.4426	7.0442		
	South	3.04050	.97588	.090	-.2464	6.3274		
Dunnett T3	Central	West	1.81567	.60625	.079	-.1195	3.7508	
		West	-1.82251*	.51354	.010	-3.3753	-.2697	

Multiple Comparisons

Dependent Variable	(I) Regions	(J) Regions	Mean Difference (I-J)	Std. Error	Sig.	95% Confidence Interval		
						Lower Bound	Upper Bound	
		North	3.23655*	.78297	.049	.0194	6.4537	
		South	3.47621*	.64141	.000	1.3915	5.5609	
		East	.43571	.73584	1.000	-2.0641	2.9355	
	West	Central	-1.81567	.60625	.079	-3.7508	.1195	
		West	-3.63817*	.68052	.000	-5.7603	-1.5161	
		North	1.42088	.90134	.807	-1.8365	4.6782	
		South	1.66055	.78153	.435	-.8123	4.1334	
		East	-1.37995	.86072	.804	-4.1652	1.4053	
		West	1.82251*	.51354	.010	.2697	3.3753	
		West	3.63817*	.68052	.000	1.5161	5.7603	
		North	5.05905*	.84179	.003	1.8699	8.2482	
		South	5.29872*	.71202	.000	3.0494	7.5480	
		East	2.25822	.79814	.128	-.3557	4.8722	
		North	Central	-3.23655*	.78297	.049	-6.4537	-.0194
			West	-1.42088	.90134	.807	-4.6782	1.8365
	West		-5.05905*	.84179	.003	-8.2482	-1.8699	
		South	-.23967	.92536	1.000	-3.0620	3.5414	
		East	-2.80083	.99314	.162	-6.2674	.6657	
		South	Central	-3.47621*	.64141	.000	-5.5609	-1.3915
	West		-1.66055	.78153	.435	-4.1334	.8123	
	West		-5.29872*	.71202	.000	-7.5480	-3.0494	
		North	-.23967	.92536	1.000	-3.5414	3.0620	
		East	-3.04050*	.88584	.031	-5.9038	-.1772	
		East	Central	-.43571	.73584	1.000	-2.9355	2.0641
	West		1.37995	.86072	.804	-1.4053	4.1652	
West	-2.25822		.79814	.128	-4.8722	.3557		
	North	2.80083	.99314	.162	-.6657	6.2674		
	South	3.04050*	.88584	.031	.1772	5.9038		
	ChromaCN	Tukey HSD	Central	West	1.95600	.68599	.055	-.0221
West				-1.17231	.50895	.199	-2.6399	.2952
North				2.94512	1.09001	.080	-.1979	6.0882
South				1.72479	.72303	.167	-.3601	3.8096
East				4.02345*	.79603	.000	1.7281	6.3188
West		Central	-1.95600	.68599	.055	-3.9341	.0221	
		West	-3.12831*	.75578	.001	-5.3076	-.9490	
		North	-.98912	1.22486	.966	-2.5428	4.5210	
		South	-.23122	.91375	1.000	-2.8660	2.4036	
		East	2.06745	.97254	.279	-.7369	4.8718	
West		Central	1.17231	.50895	.199	-.2952	2.6399	
		West	3.12831*	.75578	.001	.9490	5.3076	
		North	4.11743*	1.13522	.005	.8440	7.3908	
		South	2.89710*	.78955	.004	.6204	5.1738	
		East	5.19577*	.85690	.000	2.7249	7.6666	
North		Central	-2.94512	1.09001	.080	-6.0882	.1979	
		West	-.98912	1.22486	.966	-4.5210	2.5428	
		West	-4.11743*	1.13522	.005	-7.3908	-.8440	
		South	-1.22033	1.24598	.924	-4.8131	2.3725	
		East	1.07833	1.28971	.960	-2.6406	4.7972	
South		Central	-1.72479	.72303	.167	-3.8096	.3601	
		West	.23122	.91375	1.000	-2.4036	2.8660	

**Multiple Comparisons**

Dependent Variable	(I) Regions	(J) Regions	Mean Difference (I-J)	Std. Error	Sig.	95% Confidence Interval	
						Lower Bound	Upper Bound
Scheffe	West	North	-2.89710*	.78955	.004	-5.1738	-.6204
		East	1.22033	1.24598	.924	-2.3725	4.8131
		Central	2.29867	.99901	.200	-.5820	5.1793
	East	Central	-4.02345*	.79603	.000	-6.3188	-1.7281
		West	-2.06745	.97254	.279	-4.8718	.7369
		South	-5.19577*	.85690	.000	-7.6666	-2.7249
	Central	North	-1.07833	1.28971	.960	-4.7972	2.6406
		South	-2.29867	.99901	.200	-5.1793	.5820
		East	1.95600	.68599	.156	-.3545	4.2665
	West	Central	-1.17231	.50895	.384	-2.8865	.5419
		North	2.94512	1.09001	.206	-.7262	6.6165
		South	1.72479	.72303	.342	-.7105	4.1601
	Central	East	4.02345*	.79603	.000	1.3423	6.7046
		West	-1.95600	.68599	.156	-4.2665	.3545
		South	-3.12831*	.75578	.006	-5.6739	-.5827
	West	Central	.98912	1.22486	.985	-3.1364	5.1147
		South	-.23122	.91375	1.000	-3.3089	2.8465
		East	2.06745	.97254	.480	-1.2082	5.3431
	West	Central	1.17231	.50895	.384	-.5419	2.8865
		West	3.12831*	.75578	.006	.5827	5.6739
		North	4.11743*	1.13522	.026	.2938	7.9411
	North	South	2.89710*	.78955	.023	.2378	5.5564
		East	5.19577*	.85690	.000	2.3096	8.0820
		Central	-2.94512	1.09001	.206	-6.6165	.7262
	South	West	-.98912	1.22486	.985	-5.1147	3.1364
		West	-4.11743*	1.13522	.026	-7.9411	-.2938
		South	-1.22033	1.24598	.965	-5.4170	2.9764
	Central	East	1.07833	1.28971	.983	-3.2657	5.4223
		Central	-1.72479	.72303	.342	-4.1601	.7105
		West	.23122	.91375	1.000	-2.8465	3.3089
West	West	-2.89710*	.78955	.023	-5.5564	-.2378	
	North	1.22033	1.24598	.965	-2.9764	5.4170	
	East	2.29867	.99901	.385	-1.0662	5.6635	
East	Central	-4.02345*	.79603	.000	-6.7046	-1.3423	
	West	-2.06745	.97254	.480	-5.3431	1.2082	
	South	-5.19577*	.85690	.000	-8.0820	-2.3096	
Central	North	-1.07833	1.28971	.983	-5.4223	3.2657	
	South	-2.29867	.99901	.385	-5.6635	1.0662	
	East	1.95600	.75124	.195	-.4842	4.3962	
West	West	-1.17231	.55378	.424	-2.8521	.5075	
	North	2.94512*	.57691	.008	.7646	5.1256	
	South	1.72479	.56625	.072	-.0901	3.5397	
Central	East	4.02345*	.52808	.000	2.3087	5.7382	
	Central	-1.95600	.75124	.195	-4.3962	.4842	
	West	-3.12831*	.83798	.011	-5.7678	-.4889	
West	North	.98912	.85344	.975	-1.8145	3.7927	
	South	-.23122	.84628	1.000	-2.9204	2.4580	
	East	2.06745	.82123	.221	-.5623	4.6972	
West	Central	1.17231	.55378	.424	-.5075	2.8521	
	West	3.12831*	.83798	.011	.4889	5.7678	

Multiple Comparisons

Dependent Variable	(I) Regions	(J) Regions	Mean Difference (I-J)	Std. Error	Sig.	95% Confidence Interval			
						Lower Bound	Upper Bound		
		North	4.11743*	.68606	.000	1.8039	6.4310		
		South	2.89710*	.67713	.002	.7957	4.9985		
		East	5.19577*	.64554	.000	3.1823	7.2093		
	North	Central	-2.94512*	.57691	.008	-5.1256	-.7646		
		West	-.98912	.85344	.975	-3.7927	1.8145		
		West	-4.11743*	.68606	.000	-6.4310	-1.8039		
	South	South	-1.22033	.69617	.704	-3.6089	1.1683		
		East	1.07833	.66549	.785	-1.2624	3.4191		
		Central	-1.72479	.56625	.072	-3.5397	.0901		
	South	West	.23122	.84628	1.000	-2.4580	2.9204		
		West	-2.89710*	.67713	.002	-4.9985	-.7957		
		North	1.22033	.69617	.704	-1.1683	3.6089		
	East	East	2.29867*	.65628	.025	.1932	4.4041		
		Central	-4.02345*	.52808	.000	-5.7382	-2.3087		
		West	-2.06745	.82123	.221	-4.6972	.5623		
	ChromaA	Tukey HSD	Central	West	1.29945	.75120	.514	-.8666	3.4655
				West	-1.40427	.55733	.124	-3.0113	.2028
				North	1.75024	1.19362	.686	-1.6916	5.1920
South				-.68310	.79176	.955	-2.9661	1.5999	
East				-1.39476	.87170	.600	-3.9083	1.1188	
West			Central	-1.29945	.75120	.514	-3.4655	.8666	
			West	-2.70372*	.82762	.016	-5.0902	-.3173	
			North	.45078	1.34130	.999	-3.4168	4.3184	
			South	-1.98255	1.00061	.357	-4.8678	.9027	
			East	-2.69422	1.06499	.121	-5.7651	.3767	
West			Central	1.40427	.55733	.124	-.2028	3.0113	
			West	2.70372*	.82762	.016	.3173	5.0902	
			North	3.15450	1.24314	.119	-.4301	6.7391	
			South	.72117	.86460	.961	-1.7719	3.2143	
			East	.00950	.93835	1.000	-2.6962	2.7153	
North			Central	-1.75024	1.19362	.686	-5.1920	1.6916	
			West	-.45078	1.34130	.999	-4.3184	3.4168	
			West	-3.15450	1.24314	.119	-6.7391	.4301	
	South	-2.43333	1.36442	.479	-6.3677	1.5010			
	East	-3.14500	1.41231	.231	-7.2174	.9274			
South	Central	.68310	.79176	.955	-1.5999	2.9661			
	West	1.98255	1.00061	.357	-.9027	4.8678			
	West	-.72117	.86460	.961	-3.2143	1.7719			
	North	2.43333	1.36442	.479	-1.5010	6.3677			
	East	-.71167	1.09397	.987	-3.8661	2.4428			
East	Central	1.39476	.87170	.600	-1.1188	3.9083			
	West	2.69422	1.06499	.121	-.3767	5.7651			
	West	-.00950	.93835	1.000	-2.7153	2.6962			
	North	3.14500	1.41231	.231	-.9274	7.2174			
	South	.71167	1.09397	.987	-2.4428	3.8661			
	Scheffe	Central	West	1.29945	.75120	.701	-1.2307	3.8296	
			West	-1.40427	.55733	.279	-3.2815	.4729	

**Multiple Comparisons**

Dependent Variable	(I) Regions	(J) Regions	Mean Difference (I-J)	Std. Error	Sig.	95% Confidence Interval		
						Lower Bound	Upper Bound	
		North	1.75024	1.19362	.827	-2.2701	5.7706	
		South	-.68310	.79176	.980	-3.3499	1.9837	
		East	-1.39476	.87170	.767	-4.3308	1.5413	
	West	Central	-1.29945	.75120	.701	-3.8296	1.2307	
		West	-2.70372	.82762	.064	-5.4913	.0839	
		North	.45078	1.34130	1.000	-4.0669	4.9685	
		South	-1.98255	1.00061	.562	-5.3528	1.3877	
		East	-2.69422	1.06499	.275	-6.2813	.8929	
		West	1.40427	.55733	.279	-.4729	3.2815	
		West	2.70372	.82762	.064	-.0839	5.4913	
		North	3.15450	1.24314	.272	-1.0326	7.3416	
		South	.72117	.86460	.983	-2.1910	3.6333	
		East	.00950	.93835	1.000	-3.1510	3.1701	
		North	Central	-1.75024	1.19362	.827	-5.7706	2.2701
			West	-.45078	1.34130	1.000	-4.9685	4.0669
	West		-3.15450	1.24314	.272	-7.3416	1.0326	
		South	-2.43333	1.36442	.672	-7.0290	2.1623	
		East	-3.14500	1.41231	.424	-7.9019	1.6119	
		South	Central	.68310	.79176	.980	-1.9837	3.3499
	West		1.98255	1.00061	.562	-1.3877	5.3528	
	West		-.72117	.86460	.983	-3.6333	2.1910	
		North	2.43333	1.36442	.672	-2.1623	7.0290	
		East	-.71167	1.09397	.995	-4.3964	2.9730	
		East	Central	1.39476	.87170	.767	-1.5413	4.3308
	West		2.69422	1.06499	.275	-.8929	6.2813	
West	-.00950		.93835	1.000	-3.1701	3.1510		
	North	3.14500	1.41231	.424	-1.6119	7.9019		
	South	.71167	1.09397	.995	-2.9730	4.3964		
	Dunnett T3	Central	West	1.29945	.61888	.453	-.6593	3.2583
West			-1.40427	.59337	.261	-3.2015	.3930	
North			1.75024	.98424	.688	-2.3906	5.8911	
South			-.68310	.75754	.997	-3.1599	1.7937	
East			-1.39476	.75518	.641	-3.9375	1.1480	
West	Central	West	-1.29945	.61888	.453	-3.2583	.6593	
		West	-2.70372*	.72633	.009	-4.9484	-.4590	
		North	.45078	1.06967	1.000	-3.6458	4.5473	
		South	-1.98255	.86564	.333	-4.7392	.7741	
		East	-2.69422	.86358	.065	-5.4921	.1037	
West	Central	West	1.40427	.59337	.261	-.3930	3.2015	
		West	2.70372*	.72633	.009	.4590	4.9484	
		North	3.15450	1.05512	.165	-.9239	7.2329	
		South	.72117	.84759	.999	-1.9603	3.4026	
		East	.00950	.84549	1.000	-2.7157	2.7347	
North	Central	West	-1.75024	.98424	.688	-5.8911	2.3906	
		West	-.45078	1.06967	1.000	-4.5473	3.6458	
		West	-3.15450	1.05512	.165	-7.2329	.9239	
		South	-2.43333	1.15545	.485	-6.6129	1.7462	
		East	-3.14500	1.15390	.209	-7.3451	1.0551	
South	Central	West	.68310	.75754	.997	-1.7937	3.1599	
		West	1.98255	.86564	.333	-.7741	4.7392	

### Multiple Comparisons

Dependent Variable	(I) Regions	(J) Regions	Mean Difference (I-J)	Std. Error	Sig.	95% Confidence Interval	
						Lower Bound	Upper Bound
		West	-.72117	.84759	.999	-3.4026	1.9603
		North	2.43333	1.15545	.485	-1.7462	6.6129
		East	-.71167	.96779	1.000	-3.8202	2.3969
	East	Central	1.39476	.75518	.641	-1.1480	3.9375
		West	2.69422	.86358	.065	-.1037	5.4921
		West	-.00950	.84549	1.000	-2.7347	2.7157
		North	3.14500	1.15390	.209	-1.0551	7.3451
		South	.71167	.96779	1.000	-2.3969	3.8202

\*. The mean difference is significant at the 0.05 level.

### Homogeneous Subsets

#### ChromaCK

	Regions	N	Subset for alpha = 0.05	
			1	2
Tukey HSD <sup>a,b</sup>	East	12	21.8000	
	North	6	21.9183	
	West	17	23.2671	23.2671
	Central	84	23.4425	23.4425
	South	15		24.8027
	West	37		25.7146
	Sig.			.451
Scheffe <sup>a,b</sup>	East	12	21.8000	
	North	6	21.9183	
	West	17	23.2671	23.2671
	Central	84	23.4425	23.4425
	South	15	24.8027	24.8027
	West	37		25.7146
	Sig.			.053

Means for groups in homogeneous subsets are displayed.

a. Uses Harmonic Mean Sample Size = 14.478.

b. The group sizes are unequal. The harmonic mean of the group sizes is used. Type I error levels are not guaranteed.



**ChromaF**

Regions		N	Subset for alpha = 0.05		
			1	2	3
Tukey HSD <sup>a,b</sup>	South	15	19.6853		
	North	6	19.9250		
	West	17	21.3459	21.3459	
	East	12		22.7258	22.7258
	Central	84		23.1615	23.1615
	West	37			24.9841
	Sig.		.486	.382	.158
Scheffe <sup>a,b</sup>	South	15	19.6853		
	North	6	19.9250		
	West	17	21.3459	21.3459	
	East	12	22.7258	22.7258	22.7258
	Central	84		23.1615	23.1615
	West	37			24.9841
	Sig.		.067	.586	.330

Means for groups in homogeneous subsets are displayed.

a. Uses Harmonic Mean Sample Size = 14.478.

b. The group sizes are unequal. The harmonic mean of the group sizes is used. Type I error levels are not guaranteed.

**ChromaCN**

Regions		N	Subset for alpha = 0.05		
			1	2	3
Tukey HSD <sup>a,b</sup>	East	12	19.7667		
	North	6	20.8450		
	West	17	21.8341	21.8341	
	South	15	22.0653	22.0653	
	Central	84		23.7901	23.7901
	West	37			24.9624
	Sig.		.163	.324	.825
Scheffe <sup>a,b</sup>	East	12	19.7667		
	North	6	20.8450	20.8450	
	West	17	21.8341	21.8341	21.8341
	South	15	22.0653	22.0653	22.0653
	Central	84		23.7901	23.7901
	West	37			24.9624
	Sig.		.336	.099	.064

Means for groups in homogeneous subsets are displayed.

a. Uses Harmonic Mean Sample Size = 14.478.

b. The group sizes are unequal. The harmonic mean of the group sizes is used. Type I error levels are not guaranteed.

**ChromaA**

	Regions	N	Subset for alpha = 0.05	
			1	2
Tukey HSD <sup>a,b</sup>	North	6	20.0133	
	West	17	20.4641	20.4641
	Central	84	21.7636	21.7636
	South	15	22.4467	22.4467
	East	12		23.1583
	West	37		23.1678
	Sig.			.193
Scheffe <sup>a,b</sup>	North	6	20.0133	
	West	17	20.4641	
	Central	84	21.7636	
	South	15	22.4467	
	East	12	23.1583	
	West	37	23.1678	
	Sig.			.114

Means for groups in homogeneous subsets are displayed.

a. Uses Harmonic Mean Sample Size = 14.478.

b. The group sizes are unequal. The harmonic mean of the group sizes is used. Type I error levels are not guaranteed.



```

ONEWAY HueCK HueF HueCN HueA BY Regions
  /STATISTICS HOMOGENEITY BROWNFORSYTHE
  /MISSING ANALYSIS
  /POSTHOC=TUKEY SCHEFFE T3 ALPHA(0.05) .

```

## Oneway

### Notes

Output Created	03-AUG-2021 16:39:44	
Comments		
Input	Data	C:\Users\Toon-notebook\onedrive-nutticha\OneDrive - Rajamakala University of Technology Thanyaburi\Ph. d\thesis\statistic\factors statistic_test.sav
	Active Dataset	DataSet1
	Filter	<none>
	Weight	<none>
	Split File	<none>
	N of Rows in Working Data File	171
Missing Value Handling	Definition of Missing	User-defined missing values are treated as missing.
	Cases Used	Statistics for each analysis are based on cases with no missing data for any variable in the analysis.
Syntax	ONEWAY HueCK HueF HueCN HueA BY Regions /STATISTICS HOMOGENEITY BROWNFORSYTHE /MISSING ANALYSIS /POSTHOC=TUKEY SCHEFFE T3 ALPHA(0.05).	
Resources	Processor Time	00:00:00.27
	Elapsed Time	00:00:00.43

### Test of Homogeneity of Variances

	Levene Statistic	df1	df2	Sig.
HueCK	3.917	5	165	.002
HueF	2.003	5	165	.081
HueCN	1.369	5	165	.238
HueA	4.153	5	165	.001

### ANOVA

		Sum of Squares	df	Mean Square	F	Sig.
HueCK	Between Groups	727.026	5	145.405	6.353	.000
	Within Groups	3776.670	165	22.889		
	Total	4503.696	170			
HueF	Between Groups	804.098	5	160.820	7.136	.000
	Within Groups	3718.710	165	22.538		
	Total	4522.807	170			
HueCN	Between Groups	1642.471	5	328.494	8.270	.000
	Within Groups	6553.935	165	39.721		
	Total	8196.405	170			
HueA	Between Groups	729.278	5	145.856	6.793	.000
	Within Groups	3542.683	165	21.471		
	Total	4271.962	170			

### Robust Tests of Equality of Means

		Statistic <sup>a</sup>	df1	df2	Sig.
HueCK	Brown-Forsythe	10.329	5	92.268	.000
HueF	Brown-Forsythe	9.660	5	81.059	.000
HueCN	Brown-Forsythe	10.809	5	88.515	.000
HueA	Brown-Forsythe	9.383	5	71.636	.000

a. Asymptotically F distributed.

### Post Hoc Tests



**Multiple Comparisons**

Dependent Variable	(I) Regions	(J) Regions	Mean Difference (I-J)	Std. Error	Sig.	95% Confidence Interval				
						Lower Bound	Upper Bound			
HueCK	Tukey HSD	Central	West	-3.50286	1.27236	.071	-7.1717	.1660		
			West	2.86606*	.94398	.033	.1441	5.5880		
			North	-2.48786	2.02171	.821	-8.3175	3.3417		
			South	.44314	1.34105	.999	-3.4238	4.3101		
			East	-3.81619	1.47645	.107	-8.0735	.4411		
		West	Central	3.50286	1.27236	.071	-.1660	7.1717		
			West	6.36892*	1.40179	.000	2.3268	10.4110		
			North	1.01500	2.27183	.998	-5.5358	7.5658		
			South	3.94600	1.69480	.189	-.9409	8.8329		
			East	-.31333	1.80383	1.000	-5.5147	4.8880		
		West	Central	-2.86606*	.94398	.033	-5.5880	-.1441		
			West	-6.36892*	1.40179	.000	-10.4110	-2.3268		
			North	-5.35392	2.10557	.118	-11.4253	.7175		
			South	-2.42292	1.46443	.564	-6.6456	1.7998		
			East	-6.68225*	1.58935	.001	-11.2651	-2.0994		
		North	Central	2.48786	2.02171	.821	-3.3417	8.3175		
			West	-1.01500	2.27183	.998	-7.5658	5.5358		
			West	5.35392	2.10557	.118	-.7175	11.4253		
			South	2.93100	2.31101	.802	-3.7328	9.5948		
			East	-1.32833	2.39212	.994	-8.2260	5.5693		
		South	Central	-.44314	1.34105	.999	-4.3101	3.4238		
			West	-3.94600	1.69480	.189	-8.8329	.9409		
			West	2.42292	1.46443	.564	-1.7998	6.6456		
			North	-2.93100	2.31101	.802	-9.5948	3.7328		
			East	-4.25933	1.85293	.201	-9.6023	1.0836		
		East	Central	3.81619	1.47645	.107	-.4411	8.0735		
			West	.31333	1.80383	1.000	-4.8880	5.5147		
			West	6.68225*	1.58935	.001	2.0994	11.2651		
			North	1.32833	2.39212	.994	-5.5693	8.2260		
			South	4.25933	1.85293	.201	-1.0836	9.6023		
		Scheffe		Central	West	-3.50286	1.27236	.187	-7.7884	.7827
					West	2.86606	.94398	.107	-.3134	6.0456
					North	-2.48786	2.02171	.911	-9.2973	4.3216
					South	.44314	1.34105	1.000	-4.0738	4.9600
					East	-3.81619	1.47645	.251	-8.7891	1.1568
West	Central			3.50286	1.27236	.187	-.7827	7.7884		
	West			6.36892*	1.40179	.001	1.6474	11.0904		
	North			1.01500	2.27183	.999	-6.6369	8.6669		
	South			3.94600	1.69480	.371	-1.7624	9.6544		
	East			-.31333	1.80383	1.000	-6.3890	5.7623		
West	Central			-2.86606	.94398	.107	-6.0456	.3134		
	West			-6.36892*	1.40179	.001	-11.0904	-1.6474		
	North			-5.35392	2.10557	.269	-12.4459	1.7380		
	South			-2.42292	1.46443	.740	-7.3554	2.5095		
	East			-6.68225*	1.58935	.005	-12.0355	-1.3290		
North	Central			2.48786	2.02171	.911	-4.3216	9.2973		
	West			-1.01500	2.27183	.999	-8.6669	6.6369		
	West			5.35392	2.10557	.269	-1.7380	12.4459		
	South			2.93100	2.31101	.899	-4.8529	10.7149		
	East			-1.32833	2.39212	.997	-9.3854	6.7288		

**Multiple Comparisons**

Dependent Variable	(I) Regions	(J) Regions	Mean Difference (I-J)	Std. Error	Sig.	95% Confidence Interval	
						Lower Bound	Upper Bound
Dunnett T3	South	Central	-.44314	1.34105	1.000	-4.9600	4.0738
		West	-3.94600	1.69480	.371	-9.6544	1.7624
		West	2.42292	1.46443	.740	-2.5095	7.3554
		North	-2.93100	2.31101	.899	-10.7149	4.8529
		East	-4.25933	1.85293	.386	-10.5003	1.9817
	East	Central	3.81619	1.47645	.251	-1.1568	8.7891
		West	.31333	1.80383	1.000	-5.7623	6.3890
		West	6.68225*	1.58935	.005	1.3290	12.0355
		North	1.32833	2.39212	.997	-6.7288	9.3854
		South	4.25933	1.85293	.386	-1.9817	10.5003
	Central	West	-3.50286	1.33403	.182	-7.7995	.7938
		West	2.86606	.98317	.067	-.1018	5.8339
		North	-2.48786*	.72652	.025	-4.7771	-.1986
		South	.44314	1.10193	1.000	-3.0803	3.9665
		East	-3.81619*	.74234	.000	-6.0844	-1.5480
	West	Central	3.50286	1.33403	.182	-.7938	7.7995
		West	6.36892*	1.44262	.002	1.8165	10.9213
		North	1.01500	1.28154	.999	-3.2040	5.2340
		South	3.94600	1.52603	.187	-.8870	8.7790
		East	-.31333	1.29058	1.000	-4.5369	3.9102
	West	Central	-2.86606	.98317	.067	-5.8339	.1018
		West	-6.36892*	1.44262	.002	-10.9213	-1.8165
		North	-5.35392*	.91068	.000	-8.1920	-2.5159
		South	-2.42292	1.23116	.546	-6.2747	1.4289
		East	-6.68225*	.92335	.000	-9.5207	-3.8438
	North	Central	2.48786*	.72652	.025	.1986	4.7771
		West	-1.01500	1.28154	.999	-5.2340	3.2040
		West	5.35392*	.91068	.000	2.5159	8.1920
South		2.93100	1.03776	.136	-.5096	6.3716	
East		-1.32833	.64325	.499	-3.5373	.8806	
South	Central	-.44314	1.10193	1.000	-3.9665	3.0803	
	West	-3.94600	1.52603	.187	-8.7790	.8870	
	West	2.42292	1.23116	.546	-1.4289	6.2747	
	North	-2.93100	1.03776	.136	-6.3716	.5096	
	East	-4.25933*	1.04890	.009	-7.6976	-.8211	
East	Central	3.81619*	.74234	.000	1.5480	6.0844	
	West	.31333	1.29058	1.000	-3.9102	4.5369	
	West	6.68225*	.92335	.000	3.8438	9.5207	
	North	1.32833	.64325	.499	-.8806	3.5373	
	South	4.25933*	1.04890	.009	.8211	7.6976	
HueF Tukey HSD	Central	West	-3.16734	1.26256	.128	-6.8079	.4732
		West	2.07106	.93671	.238	-.6300	4.7721
		North	-1.27548	2.00613	.988	-7.0602	4.5092
		South	2.44619	1.33072	.444	-1.3909	6.2833
		East	-5.60298*	1.46507	.003	-9.8275	-1.3784
	West	Central	3.16734	1.26256	.128	-.4732	6.8079
		West	5.23839*	1.39100	.003	1.2275	9.2493
		North	1.89186	2.25433	.960	-4.6085	8.3922
		South	5.61353*	1.68174	.013	.7642	10.4628
		East	-2.43564	1.78994	.750	-7.5969	2.7257

Multiple Comparisons

Dependent Variable	(I) Regions	(J) Regions	Mean Difference (I-J)	Std. Error	Sig.	95% Confidence Interval		
						Lower Bound	Upper Bound	
	West	Central	-2.07106	.93671	.238	-4.7721	.6300	
		West	-5.23839*	1.39100	.003	-9.2493	-1.2275	
		North	-3.34653	2.08935	.599	-9.3712	2.6781	
		South	.37514	1.45315	1.000	-3.8150	4.5653	
		East	-7.67403*	1.57711	.000	-12.2216	-3.1264	
	North	Central	1.27548	2.00613	.988	-4.5092	7.0602	
		West	-1.89186	2.25433	.960	-8.3922	4.6085	
		West	3.34653	2.08935	.599	-2.6781	9.3712	
		South	3.72167	2.29320	.585	-2.8908	10.3341	
		East	-4.32750	2.37369	.454	-11.1720	2.5170	
	South	Central	-2.44619	1.33072	.444	-6.2833	1.3909	
		West	-5.61353*	1.68174	.013	-10.4628	-.7642	
		West	-.37514	1.45315	1.000	-4.5653	3.8150	
		North	-3.72167	2.29320	.585	-10.3341	2.8908	
		East	-8.04917*	1.83865	.000	-13.3509	-2.7474	
	East	Central	5.60298*	1.46507	.003	1.3784	9.8275	
		West	2.43564	1.78994	.750	-2.7257	7.5969	
		West	7.67403*	1.57711	.000	3.1264	12.2216	
		North	4.32750	2.37369	.454	-2.5170	11.1720	
		South	8.04917*	1.83865	.000	2.7474	13.3509	
	Scheffe	Central	West	-3.16734	1.26256	.284	-7.4199	1.0852
			West	2.07106	.93671	.433	-1.0840	5.2261
			North	-1.27548	2.00613	.995	-8.0325	5.4816
			South	2.44619	1.33072	.642	-2.0359	6.9283
			East	-5.60298*	1.46507	.015	-10.5376	-.6683
West		Central	3.16734	1.26256	.284	-1.0852	7.4199	
		West	5.23839*	1.39100	.017	.5533	9.9235	
		North	1.89186	2.25433	.982	-5.7011	9.4849	
		South	5.61353	1.68174	.054	-.0509	11.2779	
		East	-2.43564	1.78994	.868	-8.4645	3.5932	
West		Central	-2.07106	.93671	.433	-5.2261	1.0840	
		West	-5.23839*	1.39100	.017	-9.9235	-.5533	
		North	-3.34653	2.08935	.766	-10.3839	3.6908	
		South	.37514	1.45315	1.000	-4.5193	5.2696	
		East	-7.67403*	1.57711	.000	-12.9860	-2.3621	
North		Central	1.27548	2.00613	.995	-5.4816	8.0325	
		West	-1.89186	2.25433	.982	-9.4849	5.7011	
		West	3.34653	2.08935	.766	-3.6908	10.3839	
		South	3.72167	2.29320	.756	-4.0023	11.4456	
		East	-4.32750	2.37369	.651	-12.3225	3.6675	
South		Central	-2.44619	1.33072	.642	-6.9283	2.0359	
		West	-5.61353	1.68174	.054	-11.2779	.0509	
		West	-.37514	1.45315	1.000	-5.2696	4.5193	
		North	-3.72167	2.29320	.756	-11.4456	4.0023	
		East	-8.04917*	1.83865	.003	-14.2421	-1.8562	
East	Central	5.60298*	1.46507	.015	.6683	10.5376		
	West	2.43564	1.78994	.868	-3.5932	8.4645		
	West	7.67403*	1.57711	.000	2.3621	12.9860		
	North	4.32750	2.37369	.651	-3.6675	12.3225		
	South	8.04917*	1.83865	.003	1.8562	14.2421		

Multiple Comparisons

Dependent Variable	(I) Regions	(J) Regions	Mean Difference (I-J)	Std. Error	Sig.	95% Confidence Interval	
						Lower Bound	Upper Bound
Dunnett T3	Central	West	-3.16734	1.30870	.269	-7.3779	1.0432
		West	2.07106	.90092	.296	-.6388	4.7809
		North	-1.27548	1.41211	.993	-6.9578	4.4068
		South	2.44619	1.34651	.661	-1.9559	6.8483
		East	-5.60298*	.83062	.000	-8.1938	-3.0121
	West	Central	3.16734	1.30870	.269	-1.0432	7.3779
		West	5.23839*	1.36667	.010	.8921	9.5847
		North	1.89186	1.74648	.982	-4.1416	7.9253
		South	5.61353*	1.69387	.034	.2575	10.9696
		East	-2.43564	1.32138	.642	-6.7056	1.8343
	West	Central	-2.07106	.90092	.296	-4.7809	.6388
		West	-5.23839*	1.36667	.010	-9.5847	-.8921
		North	-3.34653	1.46600	.408	-9.0061	2.3130
		South	.37514	1.40292	1.000	-4.1494	4.8996
		East	-7.67403*	.91925	.000	-10.5285	-4.8196
	North	Central	1.27548	1.41211	.993	-4.4068	6.9578
		West	-1.89186	1.74648	.982	-7.9253	4.1416
		West	3.34653	1.46600	.408	-2.3130	9.0061
		South	3.72167	1.77499	.480	-2.3998	9.8431
		East	-4.32750	1.42388	.168	-10.0314	1.3764
	South	Central	-2.44619	1.34651	.661	-6.8483	1.9559
		West	-5.61353*	1.69387	.034	-10.9696	-.2575
		West	-.37514	1.40292	1.000	-4.8996	4.1494
		North	-3.72167	1.77499	.480	-9.8431	2.3998
		East	-8.04917*	1.35884	.000	-12.5056	-3.5927
	East	Central	5.60298*	.83062	.000	3.0121	8.1938
		West	2.43564	1.32138	.642	-1.8343	6.7056
		West	7.67403*	.91925	.000	4.8196	10.5285
		North	4.32750	1.42388	.168	-1.3764	10.0314
		South	8.04917*	1.35884	.000	3.5927	12.5056
HueCN Tukey HSD	Central	West	-4.01130	1.67612	.165	-8.8444	.8218
		West	2.00177	1.24354	.593	-1.5840	5.5875
		North	-3.19012	2.66327	.837	-10.8697	4.4894
		South	.07721	1.76661	1.000	-5.0168	5.1712
		East	-10.27429*	1.94498	.000	-15.8826	-4.6659
	West	Central	4.01130	1.67612	.165	-.8218	8.8444
		West	6.01307*	1.84663	.017	.6883	11.3378
		North	.82118	2.99277	1.000	-7.8085	9.4508
		South	4.08851	2.23262	.449	-2.3492	10.5263
		East	-6.26299	2.37625	.095	-13.1149	.5889
	West	Central	-2.00177	1.24354	.593	-5.5875	1.5840
		West	-6.01307*	1.84663	.017	-11.3378	-.6883
		North	-5.19189	2.77375	.423	-13.1900	2.8062
		South	-1.92456	1.92914	.918	-7.4872	3.6381
		East	-12.27606*	2.09371	.000	-18.3133	-6.2389
	North	Central	3.19012	2.66327	.837	-4.4894	10.8697
		West	-.82118	2.99277	1.000	-9.4508	7.8085
		West	5.19189	2.77375	.423	-2.8062	13.1900
		South	3.26733	3.04437	.891	-5.5111	12.0458
		East	-7.08417	3.15122	.222	-16.1707	2.0024



**Multiple Comparisons**

Dependent Variable	(I) Regions	(J) Regions	Mean Difference (I-J)	Std. Error	Sig.	95% Confidence Interval	
						Lower Bound	Upper Bound
Scheffe	South	Central	-.07721	1.76661	1.000	-5.1712	5.0168
		West	-4.08851	2.23262	.449	-10.5263	2.3492
		West	1.92456	1.92914	.918	-3.6381	7.4872
		North	-3.26733	3.04437	.891	-12.0458	5.5111
		East	-10.35150*	2.44093	.001	-17.3899	-3.3131
	East	Central	10.27429*	1.94498	.000	4.6659	15.8826
		West	6.26299	2.37625	.095	-.5889	13.1149
		West	12.27606*	2.09371	.000	6.2389	18.3133
		North	7.08417	3.15122	.222	-2.0024	16.1707
		South	10.35150*	2.44093	.001	3.3131	17.3899
	Central	West	-4.01130	1.67612	.338	-9.6568	1.6342
		West	2.00177	1.24354	.762	-2.1867	6.1903
		North	-3.19012	2.66327	.920	-12.1605	5.7803
		South	.07721	1.76661	1.000	-5.8731	6.0275
		East	-10.27429*	1.94498	.000	-16.8253	-3.7232
	West	Central	4.01130	1.67612	.338	-1.6342	9.6568
		West	6.01307	1.84663	.065	-.2067	12.2329
		North	.82118	2.99277	1.000	-9.2590	10.9014
		South	4.08851	2.23262	.646	-3.4313	11.6084
		East	-6.26299	2.37625	.231	-14.2667	1.7407
West	Central	-2.00177	1.24354	.762	-6.1903	2.1867	
	West	-6.01307	1.84663	.065	-12.2329	.2067	
	North	-5.19189	2.77375	.624	-14.5344	4.1506	
	South	-1.92456	1.92914	.962	-8.4223	4.5731	
	East	-12.27606*	2.09371	.000	-19.3280	-5.2241	
North	Central	3.19012	2.66327	.920	-5.7803	12.1605	
	West	-.82118	2.99277	1.000	-10.9014	9.2590	
	West	5.19189	2.77375	.624	-4.1506	14.5344	
	South	3.26733	3.04437	.949	-6.9867	13.5213	
	East	-7.08417	3.15122	.413	-17.6981	3.5297	
South	Central	-.07721	1.76661	1.000	-6.0275	5.8731	
	West	-4.08851	2.23262	.646	-11.6084	3.4313	
	West	1.92456	1.92914	.962	-4.5731	8.4223	
	North	-3.26733	3.04437	.949	-13.5213	6.9867	
	East	-10.35150*	2.44093	.004	-18.5730	-2.1300	
East	Central	10.27429*	1.94498	.000	3.7232	16.8253	
	West	6.26299	2.37625	.231	-1.7407	14.2667	
	West	12.27606*	2.09371	.000	5.2241	19.3280	
	North	7.08417	3.15122	.413	-3.5297	17.6981	
	South	10.35150*	2.44093	.004	2.1300	18.5730	
Dunnnett T3	Central	West	-4.01130	1.67796	.285	-9.4284	1.4059
		West	2.00177	1.32557	.870	-2.0169	6.0205
		North	-3.19012	1.37115	.379	-8.3373	1.9571
		South	.07721	1.85964	1.000	-6.0631	6.2175
		East	-10.27429*	1.18529	.000	-14.0726	-6.4760
	West	Central	4.01130	1.67796	.285	-1.4059	9.4284
		West	6.01307*	1.89211	.045	.0847	11.9414
		North	.82118	1.92431	1.000	-5.5297	7.1721
		South	4.08851	2.29809	.688	-3.1921	11.3691
		East	-6.26299*	1.79662	.025	-12.0195	-.5064

Multiple Comparisons

Dependent Variable	(I) Regions	(J) Regions	Mean Difference (I-J)	Std. Error	Sig.	95% Confidence Interval		
						Lower Bound	Upper Bound	
	West	Central	-2.00177	1.32557	.870	-6.0205	2.0169	
		West	-6.01307*	1.89211	.045	-11.9414	-.0847	
		North	-5.19189	1.62622	.071	-10.6654	.2816	
		South	-1.92456	2.05495	.997	-8.4811	4.6319	
		East	-12.27606*	1.47290	.000	-16.8454	-7.7068	
	North	Central	3.19012	1.37115	.379	-1.9571	8.3373	
		West	-.82118	1.92431	1.000	-7.1721	5.5297	
		West	5.19189	1.62622	.071	-.2816	10.6654	
		South	3.26733	2.08464	.822	-3.6286	10.1633	
		East	-7.08417*	1.51405	.008	-12.4912	-1.6771	
	South	Central	-.07721	1.85964	1.000	-6.2175	6.0631	
		West	-4.08851	2.29809	.688	-11.3691	3.1921	
		West	1.92456	2.05495	.997	-4.6319	8.4811	
		North	-3.26733	2.08464	.822	-10.1633	3.6286	
		East	-10.35150*	1.96738	.000	-16.7621	-3.9409	
	East	Central	10.27429*	1.18529	.000	6.4760	14.0726	
		West	6.26299*	1.79662	.025	.5064	12.0195	
		West	12.27606*	1.47290	.000	7.7068	16.8454	
		North	7.08417*	1.51405	.008	1.6771	12.4912	
		South	10.35150*	1.96738	.000	3.9409	16.7621	
HueA	Tukey HSD	Central	West	-2.39410	1.23231	.380	-5.9475	1.1593
			West	2.43254	.91427	.089	-.2038	5.0689
			North	.09119	1.95808	1.000	-5.5549	5.7373
			South	3.04852	1.29884	.182	-.6967	6.7937
			East	-4.84464*	1.42998	.011	-8.9680	-.7213
		West	Central	2.39410	1.23231	.380	-1.1593	5.9475
			West	4.82665*	1.35767	.006	.9118	8.7415
			North	2.48529	2.20033	.868	-3.8594	8.8300
			South	5.44263*	1.64146	.014	.7095	10.1758
			East	-2.45054	1.74706	.725	-7.4882	2.5871
		West	Central	-2.43254	.91427	.089	-5.0689	.2038
			West	-4.82665*	1.35767	.006	-8.7415	-.9118
			North	-2.34135	2.03930	.860	-8.2217	3.5390
			South	.61598	1.41834	.998	-3.4738	4.7058
			East	-7.27718*	1.53933	.000	-11.7158	-2.8385
		North	Central	-.09119	1.95808	1.000	-5.7373	5.5549
			West	-2.48529	2.20033	.868	-8.8300	3.8594
			West	2.34135	2.03930	.860	-3.5390	8.2217
			South	2.95733	2.23827	.773	-3.4967	9.4114
			East	-4.93583	2.31683	.277	-11.6164	1.7448
		South	Central	-3.04852	1.29884	.182	-6.7937	.6967
			West	-5.44263*	1.64146	.014	-10.1758	-.7095
			West	-.61598	1.41834	.998	-4.7058	3.4738
			North	-2.95733	2.23827	.773	-9.4114	3.4967
			East	-7.89317*	1.79461	.000	-13.0679	-2.7184
		East	Central	4.84464*	1.42998	.011	.7213	8.9680
			West	2.45054	1.74706	.725	-2.5871	7.4882
			West	7.27718*	1.53933	.000	2.8385	11.7158
			North	4.93583	2.31683	.277	-1.7448	11.6164
			South	7.89317*	1.79461	.000	2.7184	13.0679

**Multiple Comparisons**

Dependent Variable	(I) Regions	(J) Regions	Mean Difference (I-J)	Std. Error	Sig.	95% Confidence Interval		
						Lower Bound	Upper Bound	
Scheffe	Central	West	-2.39410	1.23231	.584	-6.5448	1.7565	
		West	2.43254	.91427	.221	-.6469	5.5120	
		North	.09119	1.95808	1.000	-6.5040	6.6864	
		South	3.04852	1.29884	.361	-1.3262	7.4233	
		East	-4.84464*	1.42998	.048	-9.6611	-.0282	
	West	Central	2.39410	1.23231	.584	-1.7565	6.5448	
		West	4.82665*	1.35767	.031	.2537	9.3995	
		North	2.48529	2.20033	.937	-4.9258	9.8964	
		South	5.44263	1.64146	.057	-.0861	10.9714	
		East	-2.45054	1.74706	.853	-8.3350	3.4339	
	West	Central	-2.43254	.91427	.221	-5.5120	.6469	
		West	-4.82665*	1.35767	.031	-9.3995	-.2537	
		North	-2.34135	2.03930	.932	-9.2101	4.5274	
		South	.61598	1.41834	.999	-4.1612	5.3932	
		East	-7.27718*	1.53933	.001	-12.4619	-2.0925	
	North	Central	-.09119	1.95808	1.000	-6.6864	6.5040	
		West	-2.48529	2.20033	.937	-9.8964	4.9258	
		West	2.34135	2.03930	.932	-4.5274	9.2101	
		South	2.95733	2.23827	.882	-4.5816	10.4962	
		East	-4.93583	2.31683	.477	-12.7393	2.8677	
	South	Central	-3.04852	1.29884	.361	-7.4233	1.3262	
		West	-5.44263	1.64146	.057	-10.9714	.0861	
		West	-.61598	1.41834	.999	-5.3932	4.1612	
		North	-2.95733	2.23827	.882	-10.4962	4.5816	
		East	-7.89317*	1.79461	.002	-13.9377	-1.8486	
	East	Central	4.84464*	1.42998	.048	.0282	9.6611	
		West	2.45054	1.74706	.853	-3.4339	8.3350	
		West	7.27718*	1.53933	.001	2.0925	12.4619	
		North	4.93583	2.31683	.477	-2.8677	12.7393	
		South	7.89317*	1.79461	.002	1.8486	13.9377	
	Dunnnett T3	Central	West	-2.39410	1.51944	.820	-7.3447	2.5565
			West	2.43254	.83855	.067	-.0842	4.9493
			North	.09119	1.07857	1.000	-3.9385	4.1208
			South	3.04852	1.16731	.188	-.7203	6.8174
			East	-4.84464*	.77910	.000	-7.2554	-2.4339
West		Central	2.39410	1.51944	.820	-2.5565	7.3447	
		West	4.82665	1.54291	.064	-.1746	9.8279	
		North	2.48529	1.68545	.873	-3.0284	7.9990	
		South	5.44263	1.74357	.057	-.0914	10.9767	
		East	-2.45054	1.51143	.792	-7.4004	2.4993	
West		Central	-2.43254	.83855	.067	-4.9493	.0842	
		West	-4.82665	1.54291	.064	-9.8279	.1746	
		North	-2.34135	1.11139	.487	-6.3993	1.7166	
		South	.61598	1.19770	1.000	-3.2269	4.4589	
		East	-7.27718*	.82395	.000	-9.8360	-4.7184	
North		Central	-.09119	1.07857	1.000	-4.1208	3.9385	
		West	-2.48529	1.68545	.873	-7.9990	3.0284	
		West	2.34135	1.11139	.487	-1.7166	6.3993	
		South	2.95733	1.37646	.441	-1.6837	7.5984	
		East	-4.93583*	1.06725	.017	-9.0111	-.8605	

### Multiple Comparisons

Dependent Variable	(I) Regions	(J) Regions	Mean Difference (I-J)	Std. Error	Sig.	95% Confidence Interval	
						Lower Bound	Upper Bound
	South	Central	-3.04852	1.16731	.188	-6.8174	.7203
		West	-5.44263	1.74357	.057	-10.9767	.0914
		West	-.61598	1.19770	1.000	-4.4589	3.2269
		North	-2.95733	1.37646	.441	-7.5984	1.6837
		East	-7.89317*	1.15686	.000	-11.6729	-4.1134
	East	Central	4.84464*	.77910	.000	2.4339	7.2554
		West	2.45054	1.51143	.792	-2.4993	7.4004
		West	7.27718*	.82395	.000	4.7184	9.8360
		North	4.93583*	1.06725	.017	.8605	9.0111
		South	7.89317*	1.15686	.000	4.1134	11.6729

\*. The mean difference is significant at the 0.05 level.

### Homogeneous Subsets

#### HueCK

	Regions	N	Subset for alpha = 0.05	
			1	2
Tukey HSD <sup>a,b</sup>	West	37	49.2511	
	South	15	51.6740	51.6740
	Central	84	52.1171	52.1171
	North	6		54.6050
	West	17		55.6200
	East	12		55.9333
	Sig.			.592
Scheffe <sup>a,b</sup>	West	37	49.2511	
	South	15	51.6740	51.6740
	Central	84	52.1171	52.1171
	North	6	54.6050	54.6050
	West	17		55.6200
	East	12		55.9333
	Sig.			.113

Means for groups in homogeneous subsets are displayed.

a. Uses Harmonic Mean Sample Size = 14.478.

b. The group sizes are unequal. The harmonic mean of the group sizes is used. Type I error levels are not guaranteed.

**HueF**

		N	Subset for alpha = 0.05		
Regions			1	2	3
Tukey HSD <sup>a,b</sup>	South	15	49.8800		
	West	37	50.2551		
	Central	84	52.3262	52.3262	
	North	6	53.6017	53.6017	53.6017
	West	17		55.4935	55.4935
	East	12			57.9292
	Sig.			.288	.472
Scheffe <sup>a,b</sup>	South	15	49.8800		
	West	37	50.2551		
	Central	84	52.3262	52.3262	
	North	6	53.6017	53.6017	
	West	17	55.4935	55.4935	
	East	12		57.9292	
	Sig.			.078	.079

Means for groups in homogeneous subsets are displayed.

a. Uses Harmonic Mean Sample Size = 14.478.

b. The group sizes are unequal. The harmonic mean of the group sizes is used. Type I error levels are not guaranteed.

**HueCN**

		N	Subset for alpha = 0.05	
Regions			1	2
Tukey HSD <sup>a,b</sup>	West	37	48.5281	
	South	15	50.4527	
	Central	84	50.5299	
	North	6	53.7200	
	West	17	54.5412	54.5412
	East	12		60.8042
	Sig.			.111
Scheffe <sup>a,b</sup>	West	37	48.5281	
	South	15	50.4527	
	Central	84	50.5299	
	North	6	53.7200	53.7200
	West	17	54.5412	54.5412
	East	12		60.8042
	Sig.			.259

Means for groups in homogeneous subsets are displayed.

a. Uses Harmonic Mean Sample Size = 14.478.

b. The group sizes are unequal. The harmonic mean of the group sizes is used. Type I error levels are not guaranteed.

HueA

Regions		N	Subset for alpha = 0.05		
			1	2	3
Tukey HSD <sup>a,b</sup>	South	15	55.0527		
	West	37	55.6686	55.6686	
	North	6	58.0100	58.0100	58.0100
	Central	84	58.1012	58.1012	58.1012
	West	17		60.4953	60.4953
	East	12			62.9458
	Sig.			.488	.062
Scheffe <sup>a,b</sup>	South	15	55.0527		
	West	37	55.6686		
	North	6	58.0100	58.0100	
	Central	84	58.1012	58.1012	
	West	17	60.4953	60.4953	
	East	12		62.9458	
	Sig.			.082	.151

Means for groups in homogeneous subsets are displayed.

a. Uses Harmonic Mean Sample Size = 14.478.

b. The group sizes are unequal. The harmonic mean of the group sizes is used. Type I error levels are not guaranteed.



```
T-TEST PAIRS=face_L face_a face_b face_chr face_hue WITH arm_L arm_a arm_b
arm_chr arm_hue (PAIRED)
/CRITERIA=CI(.9500)
/MISSING=ANALYSIS.
```

## T-Test

### Notes

Output Created	10-AUG-2021 13:24:09	
Comments		
Input	Data	C:\Users\Toon-notebook\onedrive-nutticha\OneDrive - Rajamakala University of Technology Thanyaburi\Ph.d\thesis\statistic\face_central_paired.sav
	Active Dataset	DataSet1
	Filter	<none>
	Weight	<none>
	Split File	<none>
	N of Rows in Working Data File	85
Missing Value Handling	Definition of Missing	User defined missing values are treated as missing.
	Cases Used	Statistics for each analysis are based on the cases with no missing or out-of-range data for any variable in the analysis.
Syntax	T-TEST PAIRS=face_L face_a face_b face_chr face_hue WITH arm_L arm_a arm_b arm_chr arm_hue (PAIRED) /CRITERIA=CI(.9500) /MISSING=ANALYSIS.	
Resources	Processor Time	00:00:00.00
	Elapsed Time	00:00:00.02

[DataSet1] C:\Users\Toon-notebook\onedrive-nutticha\OneDrive - Rajamakala University of Technology Thanyaburi\Ph.d\thesis\statistic\face\_central\_paired.sav

**Paired Samples Statistics**

		Mean	N	Std. Deviation	Std. Error Mean
Pair 1	face_L	58.2682	85	5.78590	.62757
	central_arm_L	61.7764	85	7.59399	.82368
Pair 2	central_face_a	14.6042	85	2.39708	.26000
	central_arm_a	11.4273	85	2.21812	.24059
Pair 3	central_face_b	18.3540	85	1.76532	.19148
	central_arm_b	18.4375	85	2.62970	.28523
Pair 4	central_face_chr	23.4484	85	2.23259	.24216
	central_arm_chr	21.7760	85	2.93737	.31860
Pair 5	central_face_hue	51.6741	85	4.70122	.50992
	central_arm_hue	58.1624	85	5.14919	.55851

**Paired Samples Correlations**

		N	Correlation	Sig.
Pair 1	face_L & central_arm_L	85	.552	.000
Pair 2	central_face_a & central_arm_a	85	.386	.000
Pair 3	central_face_b & central_arm_b	85	.477	.000
Pair 4	central_face_chr & central_arm_chr	85	.395	.000
Pair 5	central_face_hue & central_arm_hue	85	.463	.000

**Paired Samples Test**

		Paired Differences				t	df	Sig. (2-tailed)	
		Mean	Std. Deviation	Std. Error Mean	95% Confidence Interval of the Difference				
					Lower				Upper
Pair 1	face_L - central_arm_L	-3.50814	6.53245	.70854	-4.91716	-2.09912	-4.951	84	.000
Pair 2	central_face_a - central_arm_a	3.17694	2.56132	.27781	2.62448	3.72941	11.436	84	.000
Pair 3	central_face_b - central_arm_b	-.08353	2.36680	.25672	-.59404	.42697	-.325	84	.746
Pair 4	central_face_chr - central_arm_chr	1.67238	2.90345	.31492	1.04612	2.29864	5.310	84	.000
Pair 5	central_face_hue - central_arm_hue	-6.48825	5.11714	.55503	-7.59199	-5.38451	-11.690	84	.000



```
T-TEST PAIRS=face_L face_a face_b face_chr face_hue WITH arm_L arm_a arm_b
arm_chr arm_hue (PAIRED)
/CRITERIA=CI(.9500)
/MISSING=ANALYSIS.
```

## T-Test

### Notes

Output Created	10-AUG-2021 13:39:45	
Comments		
Input	Data	C:\Users\Toon-notebook\onedrive-nutticha\OneDrive - Rajamakala University of Technology Thanyaburi\Ph.d\thesis\statistic\face_east_paired.sav
	Active Dataset	DataSet1
	Filter	<none>
	Weight	<none>
	Split File	<none>
	N of Rows in Working Data File	12
Missing Value Handling	Definition of Missing	User defined missing values are treated as missing.
	Cases Used	Statistics for each analysis are based on the cases with no missing or out-of-range data for any variable in the analysis.
Syntax	T-TEST PAIRS=face_L face_a face_b face_chr face_hue WITH arm_L arm_a arm_b arm_chr arm_hue (PAIRED) /CRITERIA=CI(.9500) /MISSING=ANALYSIS.	
Resources	Processor Time	00:00:00.00
	Elapsed Time	00:00:00.03

[DataSet1] C:\Users\Toon-notebook\onedrive-nutticha\OneDrive - Rajamakala University of Technology Thanyaburi\Ph.d\thesis\statistic\face\_east\_paired.sav

**Paired Samples Statistics**

		Mean	N	Std. Deviation	Std. Error Mean
Pair 1	face_L	54.6483	12	4.99923	1.44315
	east_arm_L	59.6522	12	4.92523	1.42179
Pair 2	east_face_a	11.4275	12	.90363	.26086
	east_arm_a	10.8073	12	.78123	.22552
Pair 3	east_face_b	18.3725	12	.39818	.11494
	east_arm_b	21.1623	12	.76678	.22135
Pair 4	east_face_chr	21.1608	12	1.93310	.55804
	east_arm_chr	23.1565	12	2.36558	.68288
Pair 5	east_face_hue	58.2217	12	1.75112	.50550
	east_arm_hue	62.9464	12	1.87017	.53987

**Paired Samples Correlations**

		N	Correlation	Sig.
Pair 1	face_L & east_arm_L	12	.971	.000
Pair 2	east_face_a & east_arm_a	12	.361	.249
Pair 3	east_face_b & east_arm_b	12	.770	.003
Pair 4	east_face_chr & east_arm_chr	12	.967	.000
Pair 5	east_face_hue & east_arm_hue	12	.206	.521

**Paired Samples Test**

		Paired Differences				t	df	Sig. (2-tailed)	
		Mean	Std. Deviation	Std. Error Mean	95% Confidence Interval of the Difference				
					Lower				Upper
Pair 1	face_L - east_arm_L	-5.00389	1.19432	.34477	-5.76273	-4.24506	-14.514	11	.000
Pair 2	east_face_a - east_arm_a	.62016	.95797	.27654	-.01150	1.22883	2.243	11	.046
Pair 3	east_face_b - east_arm_b	-2.78982	.52579	.15178	-3.12389	-2.45575	-18.380	11	.000
Pair 4	east_face_chr - east_arm_chr	-1.99566	.69879	.20172	-2.43965	-1.55167	-9.893	11	.000
Pair 5	east_face_hue - east_arm_hue	-4.72472	2.28357	.65921	-6.17562	-3.27381	-7.167	11	.000

```
T-TEST PAIRS=face_L face_a face_b face_chr face_hue WITH arm_L arm_a arm_b
arm_chr arm_hue (PAIRED)
/CRITERIA=CI(.9500)
/MISSING=ANALYSIS.
```

## T-Test

### Notes

Output Created	10-AUG-2021 13:31:33	
Comments		
Input	Data	C:\Users\Toon-notebook\onedrive-nutticha\OneDrive - Rajamakala University of Technology Thanyaburi\Ph.d\thesis\statistic\face_north_paired.sav
	Active Dataset	DataSet1
	Filter	<none>
	Weight	<none>
	Split File	<none>
	N of Rows in Working Data File	10
Missing Value Handling	Definition of Missing	User defined missing values are treated as missing.
	Cases Used	Statistics for each analysis are based on the cases with no missing or out-of-range data for any variable in the analysis.
Syntax	T-TEST PAIRS=face_L face_a face_b face_chr face_hue WITH arm_L arm_a arm_b arm_chr arm_hue (PAIRED) /CRITERIA=CI(.9500) /MISSING=ANALYSIS.	
Resources	Processor Time	00:00:00.03
	Elapsed Time	00:00:00.02

[DataSet1] C:\Users\Toon-notebook\onedrive-nutticha\OneDrive - Rajamakala University of Technology Thanyaburi\Ph.d\thesis\statistic\face\_north\_paired.sav

**Paired Samples Statistics**

	Mean	N	Std. Deviation	Std. Error Mean
Pair 1 face_L	63.0370	10	3.25463	1.02920
north_arm_L	71.2322	10	3.18707	1.00784
Pair 2 north_face_a	11.6870	10	.91633	.28977
north_arm_a	9.1584	10	.82476	.26081
Pair 3 north_face_b	16.8550	10	.51939	.16424
north_arm_b	15.2671	10	.90404	.28588
Pair 4 north_face_chr	21.0270	10	.97600	.30864
north_arm_chr	19.3603	10	2.05871	.65102
Pair 5 north_face_hue	55.3080	10	2.57436	.81408
north_arm_hue	59.0340	10	2.60249	.82298

**Paired Samples Correlations**

	N	Correlation	Sig.
Pair 1 face_L & north_arm_L	10	-.143	.694
Pair 2 north_face_a & north_arm_a	10	.207	.566
Pair 3 north_face_b & north_arm_b	10	.481	.159
Pair 4 north_face_chr & north_arm_chr	10	.592	.071
Pair 5 north_face_hue & north_arm_hue	10	.314	.377

**Paired Samples Test**

	Paired Differences					t	df	Sig. (2-tailed)
	Mean	Std. Deviation	Std. Error Mean	95% Confidence Interval of the Difference				
				Lower	Upper			
Pair 1 face_L - north_arm_L	-8.19521	4.86992	1.54001	-11.67894	-4.71148	-5.322	9	.000
Pair 2 north_face_a - north_arm_a	2.52856	1.09878	.34746	1.74254	3.31457	7.277	9	.000
Pair 3 north_face_b - north_arm_b	1.58786	.79715	.25208	1.01762	2.15811	6.299	9	.000
Pair 4 north_face_chr - north_arm_chr	1.66668	1.67683	.53026	-.46715	2.86620	3.143	9	.012
Pair 5 north_face_hue - north_arm_hue	-3.72601	3.03224	.95888	-5.89515	-1.55688	-3.886	9	.004

```
T-TEST PAIRS=face_L face_a face_b face_chr face_hue WITH arm_L arm_a arm_b
arm_chr arm_hue (PAIRED)
/CRITERIA=CI(.9500)
/MISSING=ANALYSIS.
```

## T-Test

### Notes

Output Created	10-AUG-2021 13:26:46	
Comments		
Input	Data	C:\Users\Toon-notebook\onedrive-nutticha\OneDrive - Rajamakala University of Technology Thanyaburi\Ph.d\thesis\statistic\face_northeast_paired.sav
	Active Dataset	DataSet1
	Filter	<none>
	Weight	<none>
	Split File	<none>
	N of Rows in Working Data File	15
Missing Value Handling	Definition of Missing	User defined missing values are treated as missing.
	Cases Used	Statistics for each analysis are based on the cases with no missing or out-of-range data for any variable in the analysis.
Syntax	T-TEST PAIRS=face_L face_a face_b face_chr face_hue WITH arm_L arm_a arm_b arm_chr arm_hue (PAIRED) /CRITERIA=CI(.9500) /MISSING=ANALYSIS.	
Resources	Processor Time	00:00:00.03
	Elapsed Time	00:00:00.03

[DataSet1] C:\Users\Toon-notebook\onedrive-nutticha\OneDrive - Rajamakala University of Technology Thanyaburi\Ph.d\thesis\statistic\face\_northeast\_paired.sav

**Paired Samples Statistics**

	Mean	N	Std. Deviation	Std. Error Mean
Pair 1 face_L	58.6900	15	8.23822	2.12710
northeast_arm_L	66.5297	15	7.18630	1.85550
Pair 2 northeast_face_a	12.5113	15	2.08316	.53787
northeast_arm_a	10.2586	15	2.22821	.57532
Pair 3 northeast_face_b	17.8600	15	.88284	.22795
northeast_arm_b	18.0745	15	2.55457	.65959
Pair 4 northeast_face_chr	22.2447	15	1.72158	.44451
northeast_arm_chr	20.4389	15	2.18179	.56333
Pair 5 northeast_face_hue	55.1960	15	4.95770	1.28007
northeast_arm_hue	60.3657	15	6.17219	1.59365

**Paired Samples Correlations**

	N	Correlation	Sig.
Pair 1 face_L & northeast_arm_L	15	.403	.136
Pair 2 northeast_face_a & northeast_arm_a	15	.793	.000
Pair 3 northeast_face_b & northeast_arm_b	15	.260	.349
Pair 4 northeast_face_chr & northeast_arm_chr	15	.701	.004
Pair 5 northeast_face_hue & northeast_arm_hue	15	.588	.021

**Paired Samples Test**

	Paired Differences						t	df	Sig. (2-tailed)
	Mean	Std. Deviation	Std. Error Mean	95% Confidence Interval of the Difference					
				Lower	Upper				
Pair 1 face_L - northeast_arm_L	-7.83971	8.47329	2.18779	-12.53206	-3.14735	-3.583	14	.003	
Pair 2 northeast_face_a - northeast_arm_a	2.25271	1.39239	.35951	1.48163	3.02379	6.266	14	.000	
Pair 3 northeast_face_b - northeast_arm_b	-.21452	2.47636	.63939	-1.58588	1.15684	-.336	14	.742	
Pair 4 northeast_face_chr - northeast_arm_chr	1.80579	1.56762	.40476	.93767	2.67391	4.461	14	.001	
Pair 5 northeast_face_hue - northeast_arm_hue	-5.16965	5.16333	1.33317	-8.02901	-2.31030	-3.878	14	.002	

```
T-TEST PAIRS=face_L face_a face_b face_chr face_hue WITH arm_L arm_a arm_b
arm_chr arm_hue (PAIRED)
/CRITERIA=CI(.9500)
/MISSING=ANALYSIS.
```

## T-Test

### Notes

Output Created	10-AUG-2021 13:36:28	
Comments		
Input	Data	C:\Users\Toon-notebook\onedrive-nutticha\OneDrive - Rajamakala University of Technology Thanyaburi\Ph.d\thesis\statistic\face_south_paired.sav
	Active Dataset	DataSet1
	Filter	<none>
	Weight	<none>
	Split File	<none>
	N of Rows in Working Data File	12
Missing Value Handling	Definition of Missing	User defined missing values are treated as missing.
	Cases Used	Statistics for each analysis are based on the cases with no missing or out-of-range data for any variable in the analysis.
Syntax	T-TEST PAIRS=face_L face_a face_b face_chr face_hue WITH arm_L arm_a arm_b arm_chr arm_hue (PAIRED) /CRITERIA=CI(.9500) /MISSING=ANALYSIS.	
Resources	Processor Time	00:00:00.02
	Elapsed Time	00:00:00.04

[DataSet1] C:\Users\Toon-notebook\onedrive-nutticha\OneDrive - Rajamakala University of Technology Thanyaburi\Ph.d\thesis\statistic\face\_south\_paired.sav

**Paired Samples Statistics**

		Mean	N	Std. Deviation	Std. Error Mean
Pair 1	face_L	46.9550	12	5.29645	1.52895
	south_arm_L	52.5783	12	6.19338	1.78787
Pair 2	south_face_a	14.1467	12	1.52999	.44167
	south_arm_a	13.5460	12	1.92527	.55578
Pair 3	south_face_b	16.2133	12	1.53311	.44257
	south_arm_b	18.3224	12	2.10666	.60814
Pair 4	south_face_chr	22.3933	12	1.45525	.42009
	south_arm_chr	23.4735	12	1.64509	.47490
Pair 5	south_face_hue	48.7408	12	1.84336	.53213
	south_arm_hue	53.5956	12	2.58627	.74659

**Paired Samples Correlations**

		N	Correlation	Sig.
Pair 1	face_L & south_arm_L	12	.963	.000
Pair 2	south_face_a & south_arm_a	12	.566	.055
Pair 3	south_face_b & south_arm_b	12	.726	.007
Pair 4	south_face_chr & south_arm_chr	12	.194	.546
Pair 5	south_face_hue & south_arm_hue	12	.021	.947

**Paired Samples Test**

		Paired Differences				t	df	Sig. (2-tailed)	
		Mean	Std. Deviation	Std. Error Mean	95% Confidence Interval of the Difference				
					Lower				Upper
Pair 1	face_L - south_arm_L	-5.62326	1.80616	.52139	-6.77084	-4.47568	-10.785	11	.000
Pair 2	south_face_a - south_arm_a	.60070	1.64780	.47568	-.44626	1.64767	1.263	11	.233
Pair 3	south_face_b - south_arm_b	-2.10902	1.44829	.41809	-3.02922	-1.18882	-5.044	11	.000
Pair 4	south_face_chr - south_arm_chr	-1.08016	1.97402	.56985	-2.33440	.17407	-1.896	11	.085
Pair 5	south_face_hue - south_arm_hue	-4.85479	3.14370	.90751	-6.85221	-2.85738	-5.350	11	.000



```
T-TEST PAIRS=face_L face_a face_b face_chr face_hue WITH arm_L arm_a arm_b
arm_chr arm_hue (PAIRED)
/CRITERIA=CI(.9500)
/MISSING=ANALYSIS.
```

## T-Test

### Notes

Output Created	10-AUG-2021 13:29:02	
Comments		
Input	Data	C:\Users\Toon-notebook\onedrive-nutticha\OneDrive - Rajamakala University of Technology Thanyaburi\Ph.d\thesis\statistic\face_west_paired.sav
	Active Dataset	DataSet1
	Filter	<none>
	Weight	<none>
	Split File	<none>
	N of Rows in Working Data File	37
Missing Value Handling	Definition of Missing	User defined missing values are treated as missing.
	Cases Used	Statistics for each analysis are based on the cases with no missing or out-of-range data for any variable in the analysis.
Syntax	T-TEST PAIRS=face_L face_a face_b face_chr face_hue WITH arm_L arm_a arm_b arm_chr arm_hue (PAIRED) /CRITERIA=CI(.9500) /MISSING=ANALYSIS.	
Resources	Processor Time	00:00:00.00
	Elapsed Time	00:00:00.02

```
[DataSet1] C:\Users\Toon-notebook\onedrive-nutticha\OneDrive - Rajamakala University of Technology Thanyaburi\Ph.d\thesis\statistic\face_west_paired.sav
```

**Paired Samples Statistics**

	Mean	N	Std. Deviation	Std. Error Mean
Pair 1 face_L	55.4868	37	6.26975	1.03074
west_arm_L	59.0026	37	9.01136	1.48146
Pair 2 west_face_a	16.3516	37	2.13291	.35065
west_arm_a	13.2077	37	2.24082	.36839
Pair 3 west_face_b	19.0059	37	2.22714	.36614
west_arm_b	19.2622	37	2.22089	.36511
Pair 4 west_face_chr	25.2211	37	2.39804	.39423
west_arm_chr	23.1679	37	3.03148	.49837
Pair 5 west_face_hue	49.3443	37	4.77892	.78565
west_arm_hue	55.6685	37	3.78648	.62249

**Paired Samples Correlations**

	N	Correlation	Sig.
Pair 1 face_L & west_arm_L	37	.627	.000
Pair 2 west_face_a & west_arm_a	37	.444	.006
Pair 3 west_face_b & west_arm_b	37	.644	.000
Pair 4 west_face_chr & west_arm_chr	37	.687	.000
Pair 5 west_face_hue & west_arm_hue	37	.366	.026

**Paired Samples Test**

	Paired Differences					t	df	Sig. (2-tailed)
	Mean	Std. Deviation	Std. Error Mean	95% Confidence Interval of the Difference				
				Lower	Upper			
Pair 1 face_L - west_arm_L	-3.51589	7.04802	1.15869	-5.86582	-1.16596	-3.034	36	.004
Pair 2 west_face_a - west_arm_a	3.14389	2.30749	.37935	2.37453	3.91324	8.288	36	.000
Pair 3 west_face_b - west_arm_b	-.25624	1.87565	.30836	-.88161	.36914	-.831	36	.411
Pair 4 west_face_chr - west_arm_chr	2.05317	2.22581	.36592	1.31105	2.79529	5.611	36	.000
Pair 5 west_face_hue - west_arm_hue	-6.32413	4.89326	.80445	-7.95563	-4.69264	-7.861	36	.000

```

ONEWAY L_face a_face b_face BY region
  /STATISTICS HOMOGENEITY BROWNFORSYTHE
  /MISSING ANALYSIS
  /POSTHOC=TUKEY SCHEFFE T3 ALPHA(0.05) .

```

## Oneway

### Notes

Output Created	10-AUG-2021 12:11:32	
Comments		
Input	Data	C:\Users\Toon-notebook\onedrive-nutticha\OneDrive - Rajamakala University of Technology Thanyaburi\Ph. d\thesis\statistic\face_region.sav
	Active Dataset	DataSet1
	Filter	<none>
	Weight	<none>
	Split File	<none>
	N of Rows in Working Data File	171
Missing Value Handling	Definition of Missing	User-defined missing values are treated as missing.
	Cases Used	Statistics for each analysis are based on cases with no missing data for any variable in the analysis.
Syntax	ONEWAY L_face a_face b_face BY region /STATISTICS HOMOGENEITY BROWNFORSYTHE /MISSING ANALYSIS /POSTHOC=TUKEY SCHEFFE T3 ALPHA(0.05).	
Resources	Processor Time	00:00:00.14
	Elapsed Time	00:00:00.54

### Test of Homogeneity of Variances

	Levene Statistic	df1	df2	Sig.
L_face	1.888	5	165	.099
a_face	5.040	5	165	.000
b_face	6.456	5	165	.000

### ANOVA

		Sum of Squares	df	Mean Square	F	Sig.
L_face	Between Groups	1905.188	5	381.038	10.736	.000
	Within Groups	5856.169	165	35.492		
	Total	7761.358	170			
a_face	Between Groups	378.257	5	75.651	16.655	.000
	Within Groups	749.481	165	4.542		
	Total	1127.738	170			
b_face	Between Groups	93.553	5	18.711	6.415	.000
	Within Groups	481.276	165	2.917		
	Total	574.829	170			

### Robust Tests of Equality of Means

		Statistic <sup>a</sup>	df1	df2	Sig.
L_face	Brown-Forsythe	11.283	5	66.997	.000
a_face	Brown-Forsythe	26.751	5	94.113	.000
b_face	Brown-Forsythe	10.689	5	82.509	.000

a. Asymptotically F distributed.

### Post Hoc Tests



**Multiple Comparisons**

Dependent Variable	(I) region	(J) region	Mean Difference (I-J)	Std. Error	Sig.	95% Confidence Interval		
						Lower Bound	Upper Bound	
L_face	Tukey HSD	central	northeast	-.42176	1.66844	1.000	-5.2327	4.3892
			west	2.78148	1.17337	.173	-.6019	6.1649
			north	-4.76876	1.99167	.164	-10.5117	.9742
			south	11.31324*	1.83718	.000	6.0157	16.6107
			east	3.61990	1.83718	.364	-1.6776	8.9174
		northeast	central	.42176	1.66844	1.000	-4.3892	5.2327
			west	3.20324	1.82356	.497	-2.0550	8.4615
			north	-4.34700	2.43214	.477	-11.3601	2.6661
			south	11.73500*	2.30733	.000	5.0818	18.3882
			east	4.04167	2.30733	.500	-2.6115	10.6949
		west	central	-2.78148	1.17337	.173	-6.1649	.6019
			northeast	-3.20324	1.82356	.497	-8.4615	2.0550
			north	-7.55024*	2.12331	.006	-13.6728	-1.4277
			south	8.53176*	1.97912	.000	2.8250	14.2385
			east	.83842	1.97912	.998	-4.8684	6.5452
		north	central	4.76876	1.99167	.164	-.9742	10.5117
			northeast	4.34700	2.43214	.477	-2.6661	11.3601
			west	7.55024*	2.12331	.006	1.4277	13.6728
			south	16.08200*	2.55085	.000	8.7266	23.4374
			east	8.38867*	2.55085	.015	1.0333	15.7441
	south	central	-11.31324*	1.83718	.000	-16.6107	-6.0157	
		northeast	-11.73500*	2.30733	.000	-18.3882	-5.0818	
		west	-8.53176*	1.97912	.000	-14.2385	-2.8250	
		north	-16.08200*	2.55085	.000	-23.4374	-8.7266	
		east	-7.69333*	2.43214	.023	-14.7064	-6.802	
	east	central	-3.61990	1.83718	.364	-8.9174	1.6776	
		northeast	-4.04167	2.30733	.500	-10.6949	2.6115	
		west	-.83842	1.97912	.998	-6.5452	4.8684	
		north	-8.38867*	2.55085	.015	-15.7441	-1.0333	
		south	7.69333*	2.43214	.023	.6802	14.7064	
	Scheffe	central	northeast	-.42176	1.66844	1.000	-6.0414	5.1978
			west	2.78148	1.17337	.350	-1.1706	6.7336
			north	-4.76876	1.99167	.338	-11.4771	1.9395
			south	11.31324*	1.83718	.000	5.1253	17.5012
			east	3.61990	1.83718	.568	-2.5680	9.8078
		northeast	central	.42176	1.66844	1.000	-5.1978	6.0414
			west	3.20324	1.82356	.687	-2.9388	9.3453
			north	-4.34700	2.43214	.670	-12.5389	3.8449
			south	11.73500*	2.30733	.000	3.9635	19.5065
			east	4.04167	2.30733	.690	-3.7299	11.8132
west		central	-2.78148	1.17337	.350	-6.7336	1.1706	
		northeast	-3.20324	1.82356	.687	-9.3453	2.9388	
		north	-7.55024*	2.12331	.031	-14.7019	-.3986	
		south	8.53176*	1.97912	.003	1.8657	15.1978	
		east	.83842	1.97912	.999	-5.8276	7.5045	
north		central	4.76876	1.99167	.338	-1.9395	11.4771	
		northeast	4.34700	2.43214	.670	-3.8449	12.5389	

Multiple Comparisons

Dependent Variable	(I) region	(J) region	Mean Difference (I-J)	Std. Error	Sig.	95% Confidence Interval		
						Lower Bound	Upper Bound	
Dunnett T3	west	west	7.55024*	2.12331	.031	.3986	14.7019	
		south	16.08200*	2.55085	.000	7.4903	24.6737	
		east	8.38867	2.55085	.061	-.2031	16.9804	
	south	central	-11.31324*	1.83718	.000	-17.5012	-5.1253	
		northeast	-11.73500*	2.30733	.000	-19.5065	-3.9635	
		west	-8.53176*	1.97912	.003	-15.1978	-1.8657	
	north	west	-16.08200*	2.55085	.000	-24.6737	-7.4903	
		east	-7.69333	2.43214	.081	-15.8852	.4986	
		central	-3.61990	1.83718	.568	-9.8078	2.5680	
	east	northeast	-4.04167	2.30733	.690	-11.8132	3.7299	
		west	-.83842	1.97912	.999	-7.5045	5.8276	
		north	-8.38867	2.55085	.061	-16.9804	.2031	
	south	east	7.69333	2.43214	.081	-.4986	15.8852	
		central	-4.2176	2.21774	1.000	-7.8770	7.0334	
		west	2.78148	1.20676	.298	-.8803	6.4432	
	north	west	-4.76876*	1.20545	.015	-8.8154	-.7221	
		south	11.31324*	1.65274	.000	5.6771	16.9494	
		east	3.61990	1.57370	.356	-1.7195	8.9593	
	northeast	central	.42176	2.21774	1.000	-7.0334	7.8770	
		west	3.20324	2.36368	.924	-4.5164	10.9229	
		north	-4.34700	2.36301	.645	-12.1183	3.4243	
	south	west	11.73500*	2.61959	.002	3.3006	20.1694	
		east	4.04167	2.57046	.823	-4.2520	12.3354	
		central	-2.78148	1.20676	.298	-6.4432	.8803	
	west	northeast	-3.20324	2.36368	.924	-10.9229	4.5164	
		north	-7.55024*	1.45660	.000	-12.1664	-2.9341	
		south	8.53176*	1.84394	.002	2.5392	14.5243	
	east	west	.83842	1.77345	1.000	-4.8903	6.5671	
		central	-4.76876*	1.20545	.015	.7221	8.8154	
		northeast	4.34700	2.36301	.645	-3.4243	12.1183	
north	west	7.55024*	1.45660	.000	2.9341	12.1664		
	south	16.08200*	1.84308	.000	9.9796	22.1844		
	east	8.38867*	1.77256	.002	2.5369	14.2404		
south	central	-11.31324*	1.65274	.000	-16.9494	-5.6771		
	northeast	-11.73500*	2.61959	.002	-20.1694	-3.3006		
	west	-8.53176*	1.84394	.002	-14.5243	-2.5392		
north	west	-16.08200*	1.84308	.000	-22.1844	-9.9796		
	east	-7.69333	2.10247	.019	-14.5249	-.8618		
	central	-3.61990	1.57370	.356	-8.9593	1.7195		
east	northeast	-4.04167	2.57046	.823	-12.3354	4.2520		
	west	-.83842	1.77345	1.000	-6.5671	4.8903		
	north	-8.38867*	1.77256	.002	-14.2404	-2.5369		
south	east	7.69333	2.10247	.019	.8618	14.5249		
	central	2.09290*	.59687	.008	.3718	3.8140		
	west	-1.74739*	.41977	.001	-2.9578	-.5370		
a_face	Tukey HSD	central	northeast	2.09290*	.59687	.008	.3718	3.8140
			west	-1.74739*	.41977	.001	-2.9578	-.5370
			north	2.91724*	.71251	.001	.8627	4.9718
south	east	west	.45757	.65724	.982	-1.4376	2.3527	
		east	3.17674*	.65724	.000	1.2816	5.0719	

Multiple Comparisons

Dependent Variable	(I) region	(J) region	Mean Difference (I-J)	Std. Error	Sig.	95% Confidence Interval		
						Lower Bound	Upper Bound	
	northeast	central	-2.09290*	.59687	.008	-3.8140	-.3718	
		west	-3.84029*	.65237	.000	-5.7214	-1.9592	
		north	.82433	.87009	.933	-1.6846	3.3332	
		south	-1.63533	.82544	.358	-4.0155	.7448	
		east	1.08383	.82544	.777	-1.2963	3.4640	
	west	central	1.74739*	.41977	.001	.5370	2.9578	
		northeast	3.84029*	.65237	.000	1.9592	5.7214	
		north	4.66462*	.75960	.000	2.4743	6.8549	
		south	2.20495*	.70802	.026	.1634	4.2465	
		east	4.92412*	.70802	.000	2.8825	6.9657	
	north	central	-2.91724*	.71251	.001	-4.9718	-.8627	
		northeast	-.82433	.87009	.933	-3.3332	1.6846	
		west	-4.66462*	.75960	.000	-6.8549	-2.4743	
		south	-2.45967	.91255	.082	-5.0910	.1717	
		east	.25950	.91255	1.000	-2.3719	2.8909	
	south	central	-.45757	.65724	.982	-2.3527	1.4376	
		northeast	1.63533	.82544	.358	-.7448	4.0155	
		west	-2.20495*	.70802	.026	-4.2465	-.1634	
		north	2.45967	.91255	.082	-.1717	5.0910	
		east	2.71917*	.87009	.025	.2103	5.2281	
	east	central	-3.17674*	.65724	.000	-5.0719	-1.2816	
		northeast	-1.08383	.82544	.777	-3.4640	1.2963	
		west	-4.92412*	.70802	.000	-6.9657	-2.8825	
		north	-.25950	.91255	1.000	-2.8909	2.3719	
		south	-2.71917*	.87009	.025	-5.2281	-.2103	
	Scheffe	central	northeast	2.09290*	.59687	.035	.0825	4.1033
			west	-1.74739*	.41977	.005	-3.1612	-.3335
			north	2.91724*	.71251	.007	.5174	5.3171
			south	.45757	.65724	.993	-1.7561	2.6713
			east	3.17674*	.65724	.001	.9630	5.3904
		northeast	central	-2.09290*	.59687	.035	-4.1033	-.0825
			west	-3.84029*	.65237	.000	-6.0376	-1.6430
			north	.82433	.87009	.970	-2.1063	3.7549
			south	-1.63533	.82544	.562	-4.4156	1.1449
			east	1.08383	.82544	.885	-1.6964	3.8641
		west	central	1.74739*	.41977	.005	.3335	3.1612
			northeast	3.84029*	.65237	.000	1.6430	6.0376
			north	4.66462*	.75960	.000	2.1061	7.2231
			south	2.20495	.70802	.090	-.1798	4.5897
			east	4.92412*	.70802	.000	2.5394	7.3089
		north	central	-2.91724*	.71251	.007	-5.3171	-.5174
			northeast	-.82433	.87009	.970	-3.7549	2.1063
			west	-4.66462*	.75960	.000	-7.2231	-2.1061
			south	-2.45967	.91255	.208	-5.5333	.6140
			east	.25950	.91255	1.000	-2.8142	3.3332
south		central	-.45757	.65724	.993	-2.6713	1.7561	
		northeast	1.63533	.82544	.562	-1.1449	4.4156	

Multiple Comparisons

Dependent Variable	(I) region	(J) region	Mean Difference (I-J)	Std. Error	Sig.	95% Confidence Interval	
						Lower Bound	Upper Bound
Dunnnett T3	west	west	-2.20495	.70802	.090	-4.5897	.1798
		north	2.45967	.91255	.208	-.6140	5.5333
		east	2.71917	.87009	.088	-.2114	5.6498
	east	central	-3.17674*	.65724	.001	-5.3904	-.9630
		northeast	-1.08383	.82544	.885	-3.8641	1.6964
		west	-4.92412*	.70802	.000	-7.3089	-2.5394
	central	north	-.25950	.91255	1.000	-3.3332	2.8142
		south	-2.71917	.87009	.088	-5.6498	.2114
		northeast	2.09290*	.59741	.029	.1440	4.0419
	west	west	-1.74739*	.43653	.002	-3.0641	-.4306
		north	2.91724*	.38932	.000	1.6783	4.1561
		south	.45757	.51252	.998	-1.2281	2.1432
	northeast	east	3.17674*	.36830	.000	2.0329	4.3206
		central	-2.09290*	.59741	.029	-4.0419	-.1440
		west	-3.84029*	.64207	.000	-5.8890	-1.7916
	north	north	.82433	.61096	.926	-1.1741	2.8228
		south	-1.63533	.69597	.304	-3.8692	.5985
		east	1.08383	.59779	.664	-.8786	3.0463
	west	central	1.74739*	.43653	.002	.4306	3.0641
		northeast	3.84029*	.64207	.000	1.7916	5.8890
		north	4.66462*	.45489	.000	3.2445	6.0848
	north	south	2.20495*	.56394	.009	.4026	4.0073
		east	4.92412*	.43704	.000	3.5754	6.2729
		central	-2.91724*	.38932	.000	-4.1561	-1.6783
	south	northeast	-.82433	.61096	.926	-2.8228	1.1741
		west	-4.66462*	.45489	.000	-6.0848	-3.2445
		south	-2.45967*	.52824	.003	-4.2112	-.7081
	east	east	.25950	.38989	1.000	-1.0263	1.5453
		central	-.45757	.51252	.998	-2.1432	1.2281
		northeast	1.63533	.69597	.304	-.5985	3.8692
south	west	-2.20495*	.56394	.009	-4.0073	-.4026	
	north	2.45967*	.52824	.003	.7081	4.2112	
	east	2.71917*	.51295	.001	1.0123	4.4260	
east	central	-3.17674*	.36830	.000	-4.3206	-2.0329	
	northeast	-1.08383	.59779	.664	-3.0463	.8786	
	west	-4.92412*	.43704	.000	-6.2729	-3.5754	
north	north	-.25950	.38989	1.000	-1.5453	1.0263	
	south	-2.71917*	.51295	.001	-4.4260	-1.0123	
	central	.49400	.47830	.906	-.8852	1.8732	
b_face Tukey HSD	central	west	-.65195	.33638	.383	-1.6219	.3180
		north	1.49900	.57096	.097	-.1474	3.1454
		south	2.14067*	.52667	.001	.6220	3.6593
		east	-.01850	.52667	1.000	-1.5372	1.5002
		northeast	-4.9400	.47830	.906	-1.8732	.8852
	northeast	west	-1.14595	.52277	.247	-2.6534	.3615
		north	1.00500	.69724	.702	-1.0055	3.0155
		south	1.64667	.66146	.133	-.2606	3.5540
		east	-.51250	.66146	.971	-2.4198	1.3948



Multiple Comparisons

Dependent Variable	(I) region	(J) region	Mean Difference (I-J)	Std. Error	Sig.	95% Confidence Interval		
						Lower Bound	Upper Bound	
Scheffe	west	central	.65195	.33638	.383	-.3180	1.6219	
		northeast	1.14595	.52277	.247	-.3615	2.6534	
		north	2.15095*	.60870	.007	.3958	3.9061	
		south	2.79261*	.56736	.000	1.1566	4.4286	
		east	.63345	.56736	.874	-1.0025	2.2694	
	north	central	-1.49900	.57096	.097	-3.1454	.1474	
		northeast	-1.00500	.69724	.702	-3.0155	1.0055	
		west	-2.15095*	.60870	.007	-3.9061	-.3958	
		south	.64167	.73127	.951	-1.4669	2.7503	
		east	-1.51750	.73127	.305	-3.6261	.5911	
	south	central	-2.14067*	.52667	.001	-3.6593	-.6220	
		northeast	-1.64667	.66146	.133	-3.5540	.2606	
		west	-2.79261*	.56736	.000	-4.4286	-1.1566	
		north	-.64167	.73127	.951	-2.7503	1.4669	
		east	-2.15917*	.69724	.027	-4.1696	-.1487	
	east	central	.01850	.52667	1.000	-1.5002	1.5372	
		northeast	.51250	.66146	.971	-1.3948	2.4198	
		west	-.63345	.56736	.874	-2.2694	1.0025	
		north	1.51750	.73127	.305	-.5911	3.6261	
		south	2.15917*	.69724	.027	.1487	4.1696	
	Scheffe	central	northeast	-.49400	.47830	.956	-1.1170	2.1050
			west	-.65195	.33638	.586	-1.7849	.4810
			north	1.49900	.57096	.235	-.4241	3.4221
			south	2.14067*	.52667	.007	.3667	3.9146
			east	-.01850	.52667	1.000	-1.7924	1.7554
northeast		central	-.49400	.47830	.956	-2.1050	1.1170	
		west	-1.14595	.52277	.443	-2.9067	.6148	
		north	1.00500	.69724	.837	-1.3434	3.3534	
		south	1.64667	.66146	.293	-.5812	3.8746	
		east	-.51250	.66146	.988	-2.7404	1.7154	
west		central	.65195	.33638	.586	-.4810	1.7849	
		northeast	1.14595	.52277	.443	-.6148	2.9067	
		north	2.15095*	.60870	.033	.1007	4.2012	
		south	2.79261*	.56736	.000	.8816	4.7036	
		east	.63345	.56736	.940	-1.2775	2.5444	
north		central	-1.49900	.57096	.235	-3.4221	.4241	
		northeast	-1.00500	.69724	.837	-3.3534	1.3434	
		west	-2.15095*	.60870	.033	-4.2012	-.1007	
		south	.64167	.73127	.979	-1.8214	3.1047	
		east	-1.51750	.73127	.509	-3.9805	.9455	
south		central	-2.14067*	.52667	.007	-3.9146	-.3667	
		northeast	-1.64667	.66146	.293	-3.8746	.5812	
		west	-2.79261*	.56736	.000	-4.7036	-.8816	
		north	-.64167	.73127	.979	-3.1047	1.8214	
		east	-2.15917	.69724	.094	-4.5076	.1893	
east	central	.01850	.52667	1.000	-1.7554	1.7924		
	northeast	.51250	.66146	.988	-1.7154	2.7404		

### Multiple Comparisons

Dependent Variable	(I) region	(J) region	Mean Difference (I-J)	Std. Error	Sig.	95% Confidence Interval	
						Lower Bound	Upper Bound
Dunnett T3	west	west	-.63345	.56736	.940	-2.5444	1.2775
		north	1.51750	.73127	.509	-.9455	3.9805
		south	2.15917	.69724	.094	-.1893	4.5076
	central	northeast	.49400	.29770	.774	-.4322	1.4202
		west	-.65195	.41318	.830	-1.9115	.6076
		north	1.49900*	.25227	.000	.7189	2.2791
		south	2.14067*	.48222	.006	.5038	3.7775
		east	-.01850	.22333	1.000	-.6918	.6548
		northeast	central	-.49400	.29770	.774	-1.4202
	northeast	west	-1.14595	.43130	.141	-2.4677	.1758
		north	1.00500*	.28096	.023	.0956	1.9144
		south	1.64667	.49782	.055	-.0245	3.3179
		east	-.51250	.25529	.526	-1.3487	.3237
		west	central	.65195	.41318	.830	-.6076
	west	northeast	1.14595	.43130	.141	-.1758	2.4677
		north	2.15095*	.40129	.000	.9144	3.3874
		south	2.79261*	.57439	.001	.9641	4.6211
		east	-.63345	.38376	.781	-.5528	1.8197
		north	central	-1.49900*	.25227	.000	-2.2791
	north	northeast	-1.00500*	.28096	.023	-1.9144	-.0956
		west	-2.15095*	.40129	.000	-3.3874	-.9144
		south	.64167	.47206	.915	-.9867	2.2700
		east	-1.51750*	.20047	.000	-2.1904	-.8446
		south	central	-2.14067*	.48222	.006	-3.7775
	south	northeast	-1.64667	.49782	.055	-3.3179	.0245
		west	-2.79261*	.57439	.001	-4.6211	-.9641
		north	-.64167	.47206	.915	-2.2700	.9867
east		-2.15917*	.45725	.006	-3.7664	-.5520	
east		central	.01850	.22333	1.000	-.6548	.6918
east	northeast	.51250	.25529	.526	-.3237	1.3487	
	west	-.63345	.38376	.781	-1.8197	.5528	
	north	1.51750*	.20047	.000	.8446	2.1904	
	south	2.15917*	.45725	.006	.5520	3.7664	

\*. The mean difference is significant at the 0.05 level.

## Homogeneous Subsets

**L\_face**

region	N	Subset for alpha = 0.05			
		1	2	3	
Tukey HSD <sup>a,b</sup>	south	12	46.9550		
	east	12		54.6483	
	west	37		55.4868	
	central	85		58.2682	58.2682
	northeast	15		58.6900	58.6900
	north	10			63.0370
	Sig.		1.000	.390	.211
Scheffe <sup>a,b</sup>	south	12	46.9550		
	east	12		54.6483	
	west	37		55.4868	
	central	85		58.2682	58.2682
	northeast	15		58.6900	58.6900
	north	10			63.0370
	Sig.		1.000	.593	.400

Means for groups in homogeneous subsets are displayed.

a. Uses Harmonic Mean Sample Size = 16.124.

b. The group sizes are unequal. The harmonic mean of the group sizes is used. Type I error levels are not guaranteed.

**a\_face**

region	N	Subset for alpha = 0.05				
		1	2	3	4	
Tukey HSD <sup>a,b</sup>	east	12	11.4275			
	north	10	11.6870			
	northeast	15	12.5113	12.5113		
	south	12		14.1467		
	central	85		14.6042	14.6042	
	west	37			16.3516	
	Sig.		.700	.064	.189	
Scheffe <sup>a,b</sup>	east	12	11.4275			
	north	10	11.6870	11.6870		
	northeast	15	12.5113	12.5113	12.5113	
	south	12		14.1467	14.1467	14.1467
	central	85			14.6042	14.6042
	west	37				16.3516
	Sig.		.836	.062	.176	.131

Means for groups in homogeneous subsets are displayed.

a. Uses Harmonic Mean Sample Size = 16.124.

b. The group sizes are unequal. The harmonic mean of the group sizes is used. Type I error levels are not guaranteed.

**b\_face**

region	N	Subset for alpha = 0.05		
		1	2	3
Tukey HSD <sup>a,b</sup>				
south	12	16.2133		
north	10	16.8550	16.8550	
northeast	15	17.8600	17.8600	17.8600
central	85		18.3540	18.3540
east	12		18.3725	18.3725
west	37			19.0059
Sig.		.073	.123	.403
Scheffe <sup>a,b</sup>				
south	12	16.2133		
north	10	16.8550	16.8550	
northeast	15	17.8600	17.8600	17.8600
central	85		18.3540	18.3540
east	12		18.3725	18.3725
west	37			19.0059
Sig.		.193	.278	.605

Means for groups in homogeneous subsets are displayed.

a. Uses Harmonic Mean Sample Size = 16.124.

b. The group sizes are unequal. The harmonic mean of the group sizes is used. Type I error levels are not guaranteed.



```

ONEWAY chr_face hue_face BY region
  /STATISTICS HOMOGENEITY BROWNFORSYTHE
  /MISSING ANALYSIS
  /POSTHOC=TUKEY SCHEFFE T3 ALPHA(0.05) .

```

## Oneway

### Notes

Output Created	10-AUG-2021 12:14:54	
Comments		
Input	Data	C:\Users\Toon-notebook\onedrive-nutticha\OneDrive - Rajamakala University of Technology Thanyaburi\Ph. d\thesis\statistic\face_region.sav
	Active Dataset	DataSet1
	Filter	<none>
	Weight	<none>
	Split File	<none>
	N of Rows in Working Data File	171
Missing Value Handling	Definition of Missing	User-defined missing values are treated as missing.
	Cases Used	Statistics for each analysis are based on cases with no missing data for any variable in the analysis.
Syntax	ONEWAY chr_face hue_face BY region /STATISTICS HOMOGENEITY BROWNFORSYTHE /MISSING ANALYSIS /POSTHOC=TUKEY SCHEFFE T3 ALPHA(0.05).	
Resources	Processor Time	00:00:00.16
	Elapsed Time	00:00:00.20

### Test of Homogeneity of Variances

	Levene Statistic	df1	df2	Sig.
chr_face	2.612	5	165	.027
hue_face	2.615	5	165	.026

**ANOVA**

		Sum of Squares	df	Mean Square	F	Sig.
chr_face	Between Groups	271.139	5	54.228	12.088	.000
	Within Groups	740.184	165	4.486		
	Total	1011.323	170			
hue_face	Between Groups	1124.079	5	224.816	11.763	.000
	Within Groups	3153.552	165	19.112		
	Total	4277.630	170			

**Robust Tests of Equality of Means**

		Statistic <sup>a</sup>	df1	df2	Sig.
chr_face	Brown-Forsythe	16.885	5	95.480	.000
hue_face	Brown-Forsythe	17.651	5	77.618	.000

a. Asymptotically F distributed.

**Post Hoc Tests**

**Multiple Comparisons**

Dependent Variable	(I) region	(J) region	Mean Difference (I-J)	Std. Error	Sig.	95% Confidence Interval		
						Lower Bound	Upper Bound	
chr_face	Tukey HSD	central	northeast	1.20369	.59316	.330	-.5067	2.9141
			west	-1.77273*	.41716	.001	-2.9756	-.5699
			north	2.42135*	.70808	.010	.3796	4.4631
			south	1.05502	.65315	.590	-.8283	2.9384
			east	2.28752*	.65315	.008	.4042	4.1709
	northeast	central	west	-2.97641*	.64831	.000	-4.8458	-1.1070
			north	1.21767	.86467	.722	-1.2756	3.7110
			south	-.14867	.82030	1.000	-2.5140	2.2167
			east	1.08383	.82030	.773	-1.2815	3.4492
			west	central	northeast	2.97641*	.64831	.000
	north	4.19408*			.75488	.000	2.0174	6.3708
	south	2.82775*			.70361	.001	.7989	4.8566
	east	4.06025*			.70361	.000	2.0314	6.0891
	north	central			northeast	-2.42135*	.70808	.010
			west	-4.19408*	.75488	.000	-6.3708	-2.0174
			south	-1.36633	.90688	.661	-3.9813	1.2487
			east	-.13383	.90688	1.000	-2.7488	2.4812
			south	central	northeast	.14867	.82030	1.000
	west	-2.82775*			.70361	.001	-4.8566	-.7989
	north	1.36633			.90688	.661	-1.2487	3.9813
	east	1.23250			.86467	.712	-1.2608	3.7258
	east	central			northeast	-2.28752*	.65315	.008
			west	-1.08383	.82030	.773	-3.4492	1.2815

**Multiple Comparisons**

Dependent Variable	(I) region	(J) region	Mean Difference (I-J)	Std. Error	Sig.	95% Confidence Interval	
						Lower Bound	Upper Bound
Scheffe	west	north	.13383	.90688	1.000	-2.4812	2.7488
		south	-1.23250	.86467	.712	-3.7258	1.2608
		central	-4.06025*	.70361	.000	-6.0891	-2.0314
	central	northeast	1.20369	.59316	.535	-.7942	3.2016
		west	-1.77273*	.41716	.004	-3.1778	-.3677
		north	2.42135*	.70808	.044	.0364	4.8063
		south	1.05502	.65315	.760	-1.1449	3.2550
		east	2.28752*	.65315	.036	.0876	4.4875
		northeast	-1.20369	.59316	.535	-3.2016	.7942
	northeast	west	-2.97641*	.64831	.001	-5.1600	-.7928
		north	1.21767	.86467	.851	-1.6947	4.1300
		south	-.14867	.82030	1.000	-2.9116	2.6143
		east	1.08383	.82030	.882	-1.6791	3.8468
		central	1.77273*	.41716	.004	.3677	3.1778
	west	northeast	2.97641*	.64831	.001	.7928	5.1600
		north	4.19408*	.75488	.000	1.6515	6.7366
		south	2.82775*	.70361	.008	.4578	5.1976
		east	4.06025*	.70361	.000	1.6903	6.4301
		central	-2.42135*	.70808	.044	-4.8063	-.0364
	north	northeast	-1.21767	.86467	.851	-4.1300	1.6947
		west	-4.19408*	.75488	.000	-6.7366	-1.6515
		south	-1.36633	.90688	.810	-4.4209	1.6882
		east	-.13383	.90688	1.000	-3.1884	2.9207
		central	-1.05502	.65315	.760	-3.2550	1.1449
	south	northeast	.14867	.82030	1.000	-2.6143	2.9116
		west	-2.82775*	.70361	.008	-5.1976	-.4578
		north	1.36633	.90688	.810	-1.6882	4.4209
		east	1.23250	.86467	.844	-1.6799	4.1449
		central	-2.28752*	.65315	.036	-4.4875	-.0876
	east	northeast	-1.08383	.82030	.882	-3.8468	1.6791
west		-4.06025*	.70361	.000	-6.4301	-1.6903	
north		.13383	.90688	1.000	-2.9207	3.1884	
south		-1.23250	.86467	.844	-4.1449	1.6799	
northeast		1.20369	.50619	.292	-.4317	2.8391	
Dunnett T3	central	west	-1.77273*	.46267	.004	-3.1763	-.3692
	north	2.42135*	.39230	.000	1.1505	3.6922	
	south	1.05502	.48489	.417	-.5435	2.6536	
	east	2.28752*	.60832	.024	.2232	4.3519	
	northeast	central	-1.20369	.50619	.292	-2.8391	.4317
northeast	west	-2.97641*	.59415	.000	-4.8299	-1.1229	
	north	1.21767	.54115	.365	-.5354	2.9707	
	south	-.14867	.61161	1.000	-2.1114	1.8141	
	east	1.08383	.71344	.852	-1.2300	3.3977	
	central	1.77273*	.46267	.004	.3692	3.1763	
west	northeast	2.97641*	.59415	.000	1.1229	4.8299	
	north	4.19408*	.50068	.000	2.6359	5.7523	
	south	2.82775*	.57611	.000	1.0139	4.6416	
	east	4.06025*	.68325	.000	1.8507	6.2698	
	central	-2.42135*	.39230	.000	-3.6922	-1.1505	
north	northeast	-1.21767	.54115	.365	-2.9707	.5354	

Multiple Comparisons

Dependent Variable	(I) region	(J) region	Mean Difference (I-J)	Std. Error	Sig.	95% Confidence Interval				
						Lower Bound	Upper Bound			
		west	-4.19408*	.50068	.000	-5.7523	-2.6359			
		south	-1.36633	.52128	.196	-3.0850	.3523			
		east	-.13383	.63770	1.000	-2.2721	2.0044			
		south	central	-1.05502	.48489	.417	-2.6536	.5435		
		northeast	.14867	.61161	1.000	-1.8141	2.1114			
		west	-2.82775*	.57611	.000	-4.6416	-1.0139			
		north	1.36633	.52128	.196	-.3523	3.0850			
		east	1.23250	.69849	.698	-1.0544	3.5194			
		east	central	-2.28752*	.60832	.024	-4.3519	-.2232		
		northeast	-1.08383	.71344	.852	-3.3977	1.2300			
		west	-4.06025*	.68325	.000	-6.2698	-1.8507			
		north	.13383	.63770	1.000	-2.0044	2.2721			
		south	-1.23250	.69849	.698	-3.5194	1.0544			
		hue_face	Tukey HSD	central	northeast	-3.52188	1.22434	.051	-7.0523	.0085
					west	2.32979	.86105	.080	-.1530	4.8126
			north	-3.63388	1.46154	.134	-7.8482	.5805		
			south	2.93328	1.34817	.255	-.9542	6.8207		
			east	-6.54755*	1.34817	.000	-10.4350	-2.6601		
		northeast	central	3.52188	1.22434	.051	-.0085	7.0523		
			west	5.85168*	1.33818	.000	1.9930	9.7103		
			north	-.11200	1.78477	1.000	-5.2584	5.0344		
			south	6.45517*	1.69318	.003	1.5729	11.3375		
			east	-3.02567	1.69318	.477	-7.9080	1.8566		
		west	central	-2.32979	.86105	.080	-4.8126	.1530		
			northeast	-5.85168*	1.33818	.000	-9.7103	-1.9930		
			north	-5.96368*	1.55814	.002	-10.4566	-1.4708		
			south	.60349	1.45233	.998	-3.5843	4.7913		
			east	-8.87734*	1.45233	.000	-13.0651	-4.6896		
		north	central	3.63388	1.46154	.134	-.5805	7.8482		
			northeast	.11200	1.78477	1.000	-5.0344	5.2584		
			west	5.96368*	1.55814	.002	1.4708	10.4566		
			south	6.56717*	1.87188	.008	1.1696	11.9647		
			east	-2.91367	1.87188	.628	-8.3112	2.4839		
		south	central	-2.93328	1.34817	.255	-6.8207	.9542		
			northeast	-6.45517*	1.69318	.003	-11.3375	-1.5729		
			west	-.60349	1.45233	.998	-4.7913	3.5843		
			north	-6.56717*	1.87188	.008	-11.9647	-1.1696		
			east	-9.48083*	1.78477	.000	-14.6272	-4.3344		
		east	central	6.54755*	1.34817	.000	2.6601	10.4350		
			northeast	3.02567	1.69318	.477	-1.8566	7.9080		
			west	8.87734*	1.45233	.000	4.6896	13.0651		
			north	2.91367	1.87188	.628	-2.4839	8.3112		
			south	9.48083*	1.78477	.000	4.3344	14.6272		
	Scheffe	central	northeast	-3.52188	1.22434	.148	-7.6457	.6019		
			west	2.32979	.86105	.204	-.5704	5.2300		
			north	-3.63388	1.46154	.294	-8.5566	1.2888		
			south	2.93328	1.34817	.452	-1.6076	7.4742		
			east	-6.54755*	1.34817	.000	-11.0884	-2.0067		
		northeast	central	3.52188	1.22434	.148	-.6019	7.6457		
			west	5.85168*	1.33818	.003	1.3445	10.3589		



Multiple Comparisons

Dependent Variable	(I) region	(J) region	Mean Difference (I-J)	Std. Error	Sig.	95% Confidence Interval		
						Lower Bound	Upper Bound	
		north	-.11200	1.78477	1.000	-6.1234	5.8994	
		south	6.45517*	1.69318	.015	.7522	12.1581	
		east	-3.02567	1.69318	.671	-8.7286	2.6773	
	west	central	-2.32979	.86105	.204	-5.2300	.5704	
		northeast	-5.85168*	1.33818	.003	-10.3589	-1.3445	
		north	-5.96368*	1.55814	.015	-11.2118	-.7156	
		south	.60349	1.45233	.999	-4.2882	5.4952	
		east	-8.87734*	1.45233	.000	-13.7690	-3.9856	
	north	central	3.63388	1.46154	.294	-1.2888	8.5566	
		northeast	.11200	1.78477	1.000	-5.8994	6.1234	
		west	5.96368*	1.55814	.015	.7156	11.2118	
		south	6.56717*	1.87188	.035	.2623	12.8720	
		east	-2.91367	1.87188	.787	-9.2185	3.3912	
	south	central	-2.93328	1.34817	.452	-7.4742	1.6076	
		northeast	-6.45517*	1.69318	.015	-12.1581	-.7522	
		west	-.60349	1.45233	.999	-5.4952	4.2882	
		north	-6.56717*	1.87188	.035	-12.8720	-.2623	
		east	-9.48083*	1.78477	.000	-15.4923	-3.4694	
	east	central	6.54755*	1.34817	.000	2.0067	11.0884	
		northeast	3.02567	1.69318	.671	-2.6773	8.7286	
		west	8.87734*	1.45233	.000	3.9856	13.7690	
		north	2.91367	1.87188	.787	-3.3912	9.2185	
		south	9.48083*	1.78477	.000	3.4694	15.4923	
	Dunnett T3	central	northeast	-3.52188	1.37790	.223	-8.0796	1.0358
			west	2.32979	.93662	.200	-.5067	5.1663
			north	-3.63388*	.96060	.020	-6.8464	-.4213
			south	2.93328*	.73701	.005	.6359	5.2307
			east	-6.54755*	.71802	.000	-8.7752	-4.3199
		northeast	central	3.52188	1.37790	.223	-1.0358	8.0796
			west	5.85168*	1.50194	.009	1.0360	10.6673
			north	-.11200	1.51701	1.000	-5.0392	4.8152
			south	6.45517*	1.38627	.003	1.8648	11.0456
			east	-3.02567	1.37627	.406	-7.5955	1.5442
		west	central	-2.32979	.93662	.200	-5.1663	.5067
			northeast	-5.85168*	1.50194	.009	-10.6673	-1.0360
			north	-5.96368*	1.13136	.000	-9.5621	-2.3653
			south	.60349	.94890	1.000	-2.3182	3.5252
			east	-8.87734*	.93423	.000	-11.7515	-6.0032
		north	central	3.63388*	.96060	.020	.4213	6.8464
			northeast	.11200	1.51701	1.000	-4.8152	5.0392
			west	5.96368*	1.13136	.000	2.3653	9.5621
			south	6.56717*	.97257	.000	3.2816	9.8527
east			-2.91367	.95826	.099	-6.1673	.3400	
south		central	-2.93328*	.73701	.005	-5.2307	-.6359	
		northeast	-6.45517*	1.38627	.003	-11.0456	-1.8648	
		west	-.60349	.94890	1.000	-3.5252	2.3182	
		north	-6.56717*	.97257	.000	-9.8527	-3.2816	
		east	-9.48083*	.73396	.000	-11.8655	-7.0962	
east		central	6.54755*	.71802	.000	4.3199	8.7752	
		northeast	3.02567	1.37627	.406	-1.5442	7.5955	

### Multiple Comparisons

Dependent Variable	(I) region	(J) region	Mean Difference (I-J)	Std. Error	Sig.	95% Confidence Interval	
						Lower Bound	Upper Bound
		west	8.87734*	.93423	.000	6.0032	11.7515
		north	2.91367	.95826	.099	-.3400	6.1673
		south	9.48083*	.73396	.000	7.0962	11.8655

\*. The mean difference is significant at the 0.05 level.

## Homogeneous Subsets

chr\_face

	region	N	Subset for alpha = 0.05		
			1	2	3
Tukey HSD <sup>a,b</sup>	north	10	21.0270		
	east	12	21.1608		
	northeast	15	22.2447	22.2447	
	south	12	22.3933	22.3933	
	central	85		23.4484	23.4484
	west	37			25.2211
	Sig.			.448	.591
Scheffe <sup>a,b</sup>	north	10	21.0270		
	east	12	21.1608		
	northeast	15	22.2447		
	south	12	22.3933		
	central	85	23.4484	23.4484	
	west	37		25.2211	
	Sig.			.067	.347

Means for groups in homogeneous subsets are displayed.

a. Uses Harmonic Mean Sample Size = 16.124.

b. The group sizes are unequal. The harmonic mean of the group sizes is used. Type I error levels are not guaranteed.

hue\_face

		N	Subset for alpha = 0.05		
region	1		2	3	
Tukey HSD <sup>a,b</sup>	south	12	48.7408		
	west	37	49.3443		
	central	85	51.6741	51.6741	
	northeast	15		55.1960	55.1960
	north	10		55.3080	55.3080
	east	12			58.2217
	Sig.		.403	.177	.367
	Scheffe <sup>a,b</sup>	south	12	48.7408	
west		37	49.3443		
central		85	51.6741	51.6741	
northeast		15		55.1960	55.1960
north		10		55.3080	55.3080
east		12			58.2217
Sig.			.605	.355	.571

Means for groups in homogeneous subsets are displayed.

a. Uses Harmonic Mean Sample Size = 16.124.

b. The group sizes are unequal. The harmonic mean of the group sizes is used. Type I error levels are not guaranteed.



## ประวัติผู้เขียน

ชื่อ-สกุล นางสาวณัชชิตา ภัทร์โสภณกุล  
วัน เดือน ปีเกิด 6 สิงหาคม 2538  
ที่อยู่ 1/4 หมู่ 7 ตำบลโคกแย้ อำเภอนองแคว จังหวัดสระบุรี 18230  
การศึกษา ปริญญาตรี คณะเทคโนโลยีสารสนเทศ สาขาเทคโนโลยีการถ่ายภาพ  
และภาพยนตร์ มหาวิทยาลัยเทคโนโลยีราชมงคลธัญบุรี  
เบอร์โทรศัพท์ 089-2382236  
อีเมล nutticha\_p@mail.rmutt.ac.th

